



VYSOKÉ UČENÍ TECHNICKÉ V BRNĚ
BRNO UNIVERSITY OF TECHNOLOGY

FAKULTA STAVEBNÍ
FACULTY OF CIVIL ENGINEERING

ÚSTAV KOVOVÝCH A DŘEVĚNÝCH KONSTRUKCÍ
INSTITUTE OF METAL AND TIMBER STRUCTURES

SILNIČNÍ A TRAMVAJOVÝ MOST
ROAD AND TRAM BRIDGE

DIPLOMOVÁ PRÁCE
DIPLOMA THESIS

AUTOR PRÁCE Bc. Martin Vošček
AUTHOR

VEDOUCÍ PRÁCE Ing. PETR BROSCH
SUPERVISOR

BRNO 2017



VYSOKÉ UČENÍ TECHNICKÉ V BRNĚ

FAKULTA STAVEBNÍ

Studijní program

N3607 Stavební inženýrství

Typ studijního programu

Navazující magisterský studijní program s prezenční formou studia

Studijní obor

3607T009 Konstrukce a dopravní stavby

Pracoviště

Ústav kovových a dřevěných konstrukcí

ZADÁNÍ DIPLOMOVÉ PRÁCE

Student

Bc. Martin Vošček

Název

Silniční a tramvajový most

Vedoucí práce

Ing. Petr Brosch

Datum zadání

31. 3. 2016

Datum odevzdání

13. 1. 2017

V Brně dne 31. 3. 2016

prof. Ing. Marcela Karmazínová, CSc.
Vedoucí ústavu

prof. Ing. Rostislav Drochytka, CSc., MBA
Děkan Fakulty stavební VUT

PODKLADY A LITERATURA

Výkresy původního řešení objektu

Platné české technické normy

zejména:

ČSN EN 1990 Zásady navrhování konstrukcí

ČSN EN 1991-1 Zatížení konstrukcí

ČSN EN 1991-2 Zatížení konstrukcí - Část 2: Zatížení mostů dopravou

ČSN EN 1993-1-1 Navrhování ocelových konstrukcí - Část 1-1: Obecná pravidla pro pozemní stavby.

ČSN EN 1993-2 Navrhování ocelových konstrukcí - Část 2: Ocelové mosty

ČKAIT: Navrhování mostních konstrukcí podle Eurokódů

A.Schindler: Kovové mosty (učebnice)

ZÁSADY PRO VYPRACOVÁNÍ

Předmětem práce je variantní návrh silničního a tramvajového mostu v městské zástavbě. Jedná se o přemostění vodního toku mostem o délce cca 55 m.

Úkolem je navržení variant řešení přemostění s ohledem na účelnost statického a konstrukčního systému a optimalizaci účinků na spodní stavbu případně využití mezilehlých podpěr.

Předepsané přílohy:

Technická zpráva - s odůvodněním zvolené varianty

Statický výpočet - hlavních částí konstrukce

Výkaz materiálu

Výkresová část:

Přehledné výkresy

Výkresy detailů

Hodnocení variant z hlediska statického a konstrukčního systému, výroby, montáže, účinků na spodní stavbu, případně architektury atp.

STRUKTURA DIPLOMOVÉ PRÁCE

VŠKP vypracujte a rozčleňte podle dále uvedené struktury:

1. Textová část VŠKP zpracovaná podle Směrnice rektora "Úprava, odevzdávání, zveřejňování a uchovávání vysokoškolských kvalifikačních prací" a Směrnice děkana "Úprava, odevzdávání, zveřejňování a uchovávání vysokoškolských kvalifikačních prací na FAST VUT" (povinná součást VŠKP).

2. Přílohy textové části VŠKP zpracované podle Směrnice rektora "Úprava, odevzdávání, zveřejňování a uchovávání vysokoškolských kvalifikačních prací" a Směrnice děkana "Úprava, odevzdávání, zveřejňování a uchovávání vysokoškolských kvalifikačních prací na FAST VUT" (nepovinná součást VŠKP v případě, že přílohy nejsou součástí textové části VŠKP, ale textovou část doplňují).

Ing. Petr Brosch
Vedoucí diplomové práce

ABSTRAKT

Predmetom práce je variantný návrh cestného a električkového mostu v mestskej zástavbe. Jedná sa o premostenie rieky mostom o dĺžke 52,5 m. Sú porovnané dva návrhy pričom v prvom návrhu sa jedná o oblúkovú konštrukciu s tiahłami. Druhý návrh, ktorý je nakoniec rozpracovaný aj ako víťazný je návrh priečadovej konštrukcie. Obe návrhy majú betónovou mostovku spráženú s oceľovými priečnikmi. Ako materiál je použitá oceľ S355 a betón C35/45. Nosná konštrukcia je posudená v súlade s platnými technickými normami.

KLÍČOVÁ SLOVA

cestný most, električka, oceľobetónová mostovka, priečnik, oblúk, oceľ, priečadová konštrukcia, oblúková konštrukcia

ABSTRACT

The subject of this Diploma Thesis is to develop different alternatives of the road and tram bridge. It is a river bridge with the length of 52,5 m. There are compared two proposals, while in the first proposal it is an arch bridge with the tension bars. The second proposal which is also finalized as the winning proposal is the truss structure. Both proposals have composite deck. The structure is designed from steel S355 and concrete C35/45. The load bearing structure is designed in accordance with applicable technical standards.

KEYWORDS

road bridge, tram, composite deck, crossbeam, arch, steel, truss structure, arch structure

BIBLIOGRAFICKÁ CITACE VŠKP

Bc. Martin Vošček *Silniční a tramvajový most.* Brno, 2017. 180 s., 32 s. příl. Diplomová práce. Vysoké učení technické v Brně, Fakulta stavební, Ústav kovových a dřevěných konstrukcí. Vedoucí práce Ing. Petr Brosch

PROHLÁŠENÍ

Prohlašuji, že jsem diplomovou práci zpracoval(a) samostatně a že jsem uvedl(a) všechny použité informační zdroje.

V Brně dne 12. 1. 2017



Bc. Martin Vošček
autor práce

PROHLÁŠENÍ O SHODĚ LISTINNÉ A ELEKTRONICKÉ FORMY VŠKP

PROHLÁŠENÍ

Prohlašuji, že elektronická forma odevzdané diplomové práce je shodná s odevzdanou listinnou formou.

V Brně dne 12. 1. 2017



Bc. Martin Vošček
autor práce

POPISNÝ SOUBOR ZÁVĚREČNÉ PRÁCE

Vedoucí práce Ing. Petr Brosch

Autor práce Bc. Martin Vošček

Škola Vysoké učení technické v Brně

Fakulta Stavební

Ústav Ústav kovových a dřevěných konstrukcí

Studijní obor 3607T009 Konstrukce a dopravní stavby

Studijní program N3607 Stavební inženýrství

Název práce Silniční a tramvajový most

**Název práce
v anglickém
jazyce** Road and tram bridge

Typ práce Diplomová práce

Přidělovaný titul Ing.

Jazyk práce Čeština

**Datový formát
elektronické
verze** PDF

Abstrakt práce Predmetom práce je variantný návrh cestného a električkového mostu v mestskej zástavbe. Jedná sa o premostenie rieky mostom o dĺžke 52,5 m. Sú porovnané dva návrhy pričom v prvom návrhu sa jedná o oblúkovú konštrukciu s tiahłami. Druhý návrh, ktorý je nakoniec rozpracovaný aj ako víťazný je návrh priečradovej konštrukcie. Obe návrhy majú betónovou mostovku spraženú s oceľovými priečnikmi. Ako materiál je použitá oceľ S355 a betón C35/45. Nosná konštrukcia je posudená v súlade s platnými technickými normami.

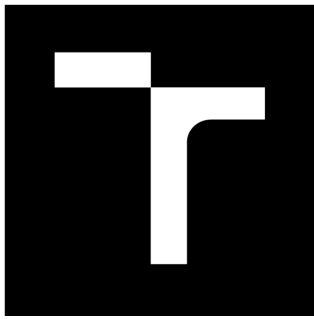
**Abstrakt práce
v anglickém
jazyce** The subject of this Diploma Thesis is to develop different alternatives of the road and tram bridge. It is a river bridge with the length of 52,5 m. There are compared two proposals, while in the first proposal it is an arch bridge with the tension bars. The second proposal which is also finalized as the winning proposal is the truss structure. Both proposals have composite deck. The structure is designed from steel S355 and concrete C35/45. The load bearing structure is designed in accordance with applicable technical standards.

Klíčová slova cestný most, električka, oceľobetónová mostovka, priečnik, oblúk, oceľ, priečradová konštrukcia, oblúková konštrukcia

**Klíčová slova
v anglickém
jazyce** road bridge, tram, composite deck, crossbeam, arch, steel, truss structure, arch structure

POĎAKOVANIE

Týmto by som chcel podakovať vedúcemu mojej diplomovej práce Ing.Petrovi Broschovi a Ing. Pavlovi Báčovi za odborné vedenie, pripomienky a konzultácie pri vedení diplomovej práce.



VYSOKÉ UČENÍ TECHNICKÉ V BRNĚ

BRNO UNIVERSITY OF TECHNOLOGY

FAKULTA STAVEBNÍ
FACULTY OF CIVIL ENGINEERING

ÚSTAV KOVOVÝCH A DŘEVĚNÝCH KONSTRUKCÍ
INSTITUTE OF METAL AND TIMBER STRUCTURES

SILNIČNÍ A TRAMVAJOVÝ MOST
ROAD AND TRAM BRIDGE

B. TECHNICKÁ SPRÁVA – VÍΤAZNÝ VARIANT
TECHNICAL DOCUMENTATION

DIPLOMOVÁ PRÁCE
DIPLOMA THESIS

AUTOR PRÁCE Bc. Martin Vošček
AUTHOR

VEDOUCÍ PRÁCE Ing. PETR BROSCH
SUPERVISOR

BRNO 2017

Obsah

1	Základné údaje	3
1.1	Identifikačné údaje stavby	3
1.2	ZÁKLADNÉ ÚDAJE O MOSTE	3
2	Umiestnenie a zdôvodnenie stavby	3
3	Geologické podmienky	4
4	Priestorové určenie stavby	4
5	Technický popis konštrukcie	4
5.1	Smerové riešenie	4
5.2	Výškové riešenie	4
5.3	Priečne usporiadanie	4
5.4	Statický systém	4
5.5	Spodná stavba	4
5.6	Uloženie OK	5
5.7	Vybavenie mostu	5
5.7.1	Odvodnenie	5
5.7.2	Izolácia	5
5.7.3	Osvetlenie	5
5.7.4	Zvodidlá	5
5.7.5	Zábradlie	5
6	Technické riešenie mostu	6
6.1	Hlavné nosníky	6
6.2	Priečniky	6
6.3	Chodníková konzola	6
6.4	Spraženie	7
6.5	Železobetónová doska	7
7	Materiál	7
8	Povrchová ochrana	8
9	Výroba nosnej konštrukcie	8
10	Návrh montáže konštrukcie	8
11	Údržba mostu	9
12	Zoznam použitej literatúry	10

1 Základné údaje

1.1 Identifikačné údaje stavby

Názov stavby:	Cestný a električkový most
Kraj:	Olomoucký
Okres:	Olomouc
Katastrálne územie:	Olomouc
Charakter stavby:	Nový stav
Premostovaná prekážka:	Rieka Morava

1.2 Základné údaje o moste

Dĺžka premostenia: 50,7 m

Počet polí: 1

Teoretické rozpätia

- ľavý nosník 52,5 m
- v ose mostu 52,5 m
- pravý nosník 52,5 m

Dĺžka oceľovej konštrukcie 54,0 m

Šikmost' uloženia 60°

Šírka mostu 9,275 m

Voľná šírka vozovky 3,75 m

Voľná šírka chodníku 2,6 m

2 Umiestnenie a zdôvodnenie stavby

Most sa nachádza v intraviláne mesta Olomouc na Masarykovej ulici. Hlavný dôvodom k výmene pôvodného mostu za nový sú nevyhovujúce prietokové pomery. Je teda nutné rozšíriť koryto rieky Morava, tým zväčsiť prietok rieky a to si následne vyžaduje predĺženie mosta.

3 Geologické podmienky

Riešenie spodnej stavby nie je predmetom tejto diplomovej práce. Predpokladá sa, že podmienky sú dobré a teda nie je nutné navrhovať špeciálne opatrenia.

4 Priestorové určenie stavby

Polohové určenie nosnej konštrukcie nadväzuje na umiestnenie stavby, ktoré je urobené na základe súradnicového systému S-JTSK a výškovom systéme Balt po vyrovnaní.

5 Technický popis konštrukcie

5.1 Smerové riešenie

Trasa je vedená v smerovej priamej.

5.2 Výškové riešenie

Trasa je vedená v konštantnom spáde 0,5 %.

5.3 Priečne usporiadanie

Medzi hlavnými nosníkmi sa nachádza jazdný pruh o šírke 3,75 m a električkový pruh o šírke 3,5 m. Chodník, ktorý je vedený z vonkajšej strany pravého oblúku je široký 2,6 m. Tento most prevádzka dopravu v jednom smere. Po ľavej strane sa nachádza samostatná konštrukcia, ktorá prevádzka dopravu v opačnom smere má rovnaké parametre aj konštrukčné riešenie.

5.4 Statický systém

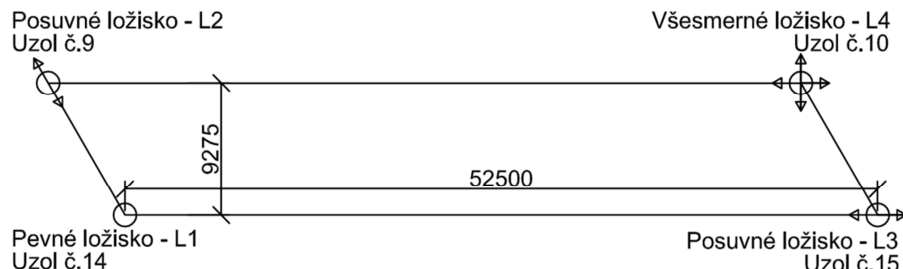
Nosná oceľová konštrukcia je navrhnutá ako prostý nosník, ktorý je vystužený priečadovou konštrukciou tvorenou diagonálami bez zvislíc.

5.5 Spodná stavba

Spodnú stavbu tvoria dve železobetónové opery, ktoré sú uložené na pilotách. Podrobnejšie riešenie spodnej stavby nie je predmetom tejto práce.

5.6 Uloženie OK

Uloženie oceľovej konštrukcie na spodnú stavbu je navrhnuté pomocou hrncových ložísk. Pri výmene ložísk sa tiež počíta s nadvihnutím OK pomocou hydraulických lisov umiestnených pod prídavnými výstuhami. OK je umiestnená na štyroch ložiskách pričom jedno ložisko je pevné, dva sú posuvné v jednom smere a posledné je posuvné v oboch smeroch. Schéma ložísk a ich povolené posuny sú zobrazené na obrázku 5.6.



Obr. 5.6 – Schéma ložísk

5.7 Vybavenie mostu

5.7.1 Odvodnenie

Povrch vozovky a chodníku je odvodnený priečnym a pozdĺžnym sklonom k mostným odvodňovačom. Odvodňovače sú pripojené na pozdĺžny zvod vody.

5.7.2 Izolácia

Na ŽB mostovke je navrhnutá celoplošná izolácia. Doska chodníku je pokrytá priamo pochôdzou izoláciou v celej šírke.

5.7.3 Osvetlenie

Osvetlenie bude zhotovené v oblasti vozovky aj chodníku.

5.7.4 Zvodidlá

Na pravej strane jazdného pruhu bude umiestnené zvodidlo. Zvodidlo je funkčnej triedy H2.

5.7.5 Zábradlie

Na pravej strane chodníku sa nachádza zábradlie o minimálnej výške 1,1 m a zo zvislou výplňou. Zábradlie musí splňovať požiadavky podľa normy 73 6201.

Nad trakčným vedením budú zhotovené zábrany proti dotyku.

Na koncoch oblúkov budú umiestnené zábrany proti vystúpeniu na oblúk.

6 Technické riešenie mostu

Premostenie rieky Morava je riešené dvomi nezávislými konštrukciami – pre každý smer jedna. Keďže ich statický systém je rovnaký a zároveň sa jedná o konštrukcie na ktoré sú kladené totožné požiadavky čo sa týka konštrukčného riešenia a zaťaženia, tak sa budem zaoberať len jednou z nich – konštrukciou prevádzajúcou dopravu smerom k železničnej stanici.

6.1 Hlavné nosníky

Mostná konštrukcia o jednom poli je tvorená dvomi priehradovými hlavnými nosníkmi, ktorých osová vzdialenosť je 9,275 m. Osová výška je v najvyššom mieste 7 m. Horný pás priehradového nosníku je v tvaru oblúku, pričom dolný pás je priamy. Ľavý oblúk je tvorený dutým prierezom o rozmeroch 500x400 mm. Stojiny sú z plechu P26 a pásnice z plechu P30. Pravý horný pás je dutý prierez 550x400 mm, pričom je tvorený plechmi P30. Oba dolné pásy sú rovnaké a sú tiež z dutého prierezu, pričom ich rozmery sú 800x400 mm. Všetky plechy sú hrubé 20 mm. Všetky duté prierezy sú vystužené diafragmatmi vždy v tretinách vzdialenosť medzi jednotlivými diagonálami. Diagonály sú vytvorené zo zváraného I profilu. Diagonály v ľavom nosníku majú pásnice s hrúbkou 12 mm a šírkou 200 mm. Ich stojina je z plechu P10 o výške 360 mm. Diagonály v pravom nosníku majú mierne hrubšie plechy P14 v pásnici, respektívne P12 v stojine.

6.2 Priečniky

Priečniky nad operami sú z uzavretého obdlžníkového profilu. Majú rozmery 650x750 mm. Pásnice aj stojiny sú zo plechu P35. Osa priečniku je zhodná s osou uložení ložísk. Oba koncové priečniky sú spražené s betónovou mostovkou.

Typické priečniky sú navrhnuté ako nesymetrické zvárané I profily o výške 300 mm. Priečniky sú spražené s betónovou mostovkou pomocou sprahovacích trnov. Horná pásnica je so šírkou 200mm a hrúbkou plechu 14 mm výrazne menšia oproti dolnej pásnici so šírkou 300 mm a plechom P24. Stojina je z plechu P14 s výškou 262 mm.

6.3 Chodníková konzola

Na priečniky nadväzuje na vonkajšej strane konzola, ktorá vynáša chodník pre peších. Konzola je navrhnutá zo zváraného I profilu, pričom od polovice je premenného prierezu. Horná pásnica je vodorovná, spodná pomaly stúpa smerom k hornej pásnici trámu. Vo vzdialosti 1500 mm od konca konzoly je nosník konštantného prierezu s výškou 150 mm. Konzoly sú na koncoch vystužené o pozdĺžnik s plechom stojiny vysokým 130 mm a hrubým 12 mm. Pásnice sú hrubé 10 mm a široké 100 mm. Konzoly sú spojené s betónovou doskou sprahovacími trnmi, pričom sa tam tieto trny nachádzajú len z konštrukčných dôvodov – so spražením sa neuvažuje.

6.4 Spraženie

Spraženie sa realizuje pomocou sprahovacích prostriedkov. Spraženie sa realizuje medzi priečnikom a ŽB doskou ako dokonalé tuhé spraženie a je to docielené pomocou sprahovacích trnov Ø19 mm, dl. 125 mm. Trny sú navrhnuté na horných pásniciach I profilov v celej dĺžke konštrukcie. Počet trnov odpovedá priebehu šmykovej sily – v krajných štvrtinách sú trny zahustené na dvojnásobok. Pre presnejšie rozdelenie viď príslušné výkresy. Všetky trny budú navarené v mostárne.

Privarenie trnov bude urobené podľa ČSN EN ISO 14555. Pre privarovanie trnov je potrebné viesť samostatný výrobný denník. Minimálna vzdialenosť trnov od pevnej prekážky je 50 mm. Navrhnuté trny sú podľa ČSN EN ISO 13 918:2008 s označením SD1 priemer x dĺžka.

6.5 Železobetónová doska

Železobetónová doska medzi hlavnými nosníkmi je spražená s oceľovými priečnikmi. Doska je navrhnutá z betónu triedy C35/45. Výška dosky je 240 mm pričom výška je premenná z dôvodu dosiahnutia spádu konštrukcie.

Železobetónová doska je navrhnutá aj na chodníkových konzolách. Doska je 150 mm vysoká a je konštrukčne spojená s oceľovými konzolami pomocou trnov.

7 Materiál

Nosná konštrukcia je navrhnutá z oceli S355J2. Nenosné časti konštrukcie sú navrhnuté z oceli S235JR.

Požadované skúšky:

- a) Chemické zloženie podľa ČSN EN 10025-3 tab 2.
- b) Hodnota uhlíkového ekvivalentu podľa ČSN EN 10025-3 tab.4.
- c) Čahová skúška podľa ČSN EN ISO 6892-1 hodnoty podľa ČSN EN 10 025-3 tab. 5.
- d) Preverenie neprítomnosti vnútorných vád ultrazvukom v rastru 200x200 na stupeň S1 podľa ČSN EN 10 160.

Nosná doska je navrhnutá z betónu triedy C35/45-XF4. Rovnaký materiál je použitý pre hlavnú dosku medzi hlavnými trámami a dosku chodníku. Betón je vystužený oceľou B550B.

8 Povrchová ochrana

Protikorózna ochrana OK bude zaistená pomocou ochranných náterových systémov navrhnutých podľa ČSN EN ISO 12944, pre korózne prostredie mostu C4 (s aerosólmi). Základná požiadavka pre náterový systém je záruka 5 rokov a životnosť minimálne 15 rokov.

Nižšie uvedené hrúbky povlakov sú uvedené ako minimálne, dodávateľ je povinný navrhnuť ochranný systém ktorý splní vyššie uvedené podmienky, záruku, životnosť, stupeň korózneho prostredia a prípadne uvedené minimálne hrúbky.

Rozdelenie protikoróznej ochrany podľa typu konštrukcií

Vonkajšia nosná oceľová konštrukcia vrátane ložísk bude opatrená protikoróznou ochranou pre stupeň korózneho prostredia C4 podľa TKP 19B.

Navrhnutý systém ochrany:

- | | |
|------------------------------|-----------------|
| - epoxidový pigmentovaný Zn | NDFT min. 60 µm |
| - podkladový epoxidový náter | NDFT 100 µm |
| - polyuretánový vrchný náter | NDFT 80 µm |

Celkovo min. NDFT 240 µm

Príprava podkladu tryskaním najmenej Sa 2½ podľa ISO 8501-1

Konštrukcia bude vo výrobe opatrená maximálnym množstvom finálneho náteru. V miestach montážnych stykov bude náter vynechaný a urobí sa len príprava. Po montáži bude základný náter obnovený a náterový systém dokončený.

9 Výroba nosnej konštrukcie

Hlavná nosná konštrukcia je zaradená do výrobnej skupiny EXC4 – dynamicky namáhané konštrukcie s požiadavkami na zostavenie v dielni.

10 Návrh montáže konštrukcie

Predpokladá sa bloková montáž na dve montážne podpery. Jednotlivé dielce budú osadzované pomocou žeriavov z úrovne komunikácie. Dielce budú skompletizované na predmontážnych plošinách umiestnených v príľahlých bermách. Montážne dielce budú na montážnych podperách uložené na lisocho umožňujúcich rektifikáciu dielcov.

Po vybetónovaní oper a zabudovaní ložísk sa začne s montážou OK. Ako prvé sa na predmontáži zmontujú zárodky oceľových nosníkov. Tieto zárodky sa osadia na ložiská a spoja koncovým priečnikom pre zaistenie stability. Následne sa osadia na predmontáži zhodené dielce oceľových nosníkov. Predpokladá sa rozdelenie nosníku na 3 časti. Po

vybudovaní hlavných nosníkov sa začne s osadzovaním priečnikov medzi hlavné nosníky. Priečniky sa zvaria do jednotlivých dielcov spolu s pozdlžníkmi, slúžiacimi ako výstuhy pod koľajnicami. Následne sa privaria k dolnému pásu chodníkové konzoly. Vybetónuje sa mostovka medzi hlavnými nosníkmi a potom aj betónova doska chodníku. Konštrukcia sa rektifikuje a osadí z dočasných ložísk na trvalé hrncové ložiská. Doplňia sa koľajnice električkovej trati, vrstvy vozovky, betonáž ríms, uložia sa inžinierske siete a zostávajúce mostné vybavenie.

Zhotoviteľ musí spracovať technologický predpis montáže ktorý musí byť schválený objednávateľom.

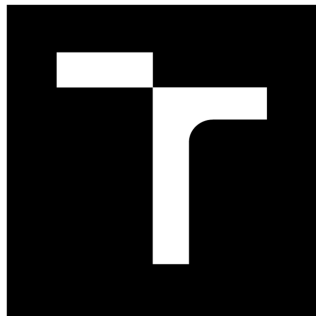
11 Údržba mostu

Za údržbu mostu je zodpovedný majiteľ, respektíve správca mostu. Most je nutné udržiavať v dobrom technickom a prevádzkyschopnom stave. Je nutné dodržiavať najmä:

- Pravidelné čistenie dilatačných záverov, ložísk a častí konštrukcie kde sa udržiavajú nečistoty.
- Kontrolovať a obnovovať náter oceľovej konštrukcie.
- V zimnom období je nutné udržovať a chrániť konštrukciu od posypových solí.
- Kontrolovať a čistiť odvodňovače.

12 Zoznam použitej literatúry

- [1] ČSN EN 1990 ed.2 Eurokód: Zásady navrhování konstrukcí. ČNI, únor 2012
- [2] ČSN EN 1991-1-1 Eurokód 1: zatížení konstrukcí. Část 1-1: Obecná zatížení – Objemové tíhy, vlastní tíha a užitná zatížení pozemních staveb. ČNI, únor 2010.
- [3] ČSN EN 1991-1-4. Eurokód 1: Zatížení konstrukcí. Část 1-4: Obecná zatížení – Zatížení větrem. ČNI, duben 2007.
- [4] ČSN EN 1991-1-5. Eurokód 1: Zatížení konstrukcí. Část 1-5: Obecná zatížení – Zatížení teplotou. ČNI, květen 2005.
- [5] ČSN EN 1991-2. Eurokód 1: Zatížení konstrukcí. Část 2: Zatížení mostů dopravou. ČNI, červenec 2005.
- [6] ČSN EN 1991-2 ZMĚNA Z3. Eurokód 1: Zatížení konstrukcí. Část 2: Zatížení mostů dopravou. ČNI, říjen 2012.
- [7] ČSN EN 1992-1-1. Eurokód 2: Navrhování betonových konstrukcí. Část 1-1: Obecná pravidla pro pozemní stavby. ČNI, 2006.
- [8] ČSN EN 1993-1-1 ed. 2. Eurokód 3: Navrhování ocelových konstrukcí. Část 1-1: Obecná pravidla pro pozemní stavby. ČNI, červenec 2011.
- [9] ČSN EN 1993-1-5. Eurokód 3: Navrhování ocelových konstrukcí. Část 1-5: Boulení stěn. ČNI, únor 2018.
- [10] ČSN EN 1993-2. Eurokód 3: Navrhování ocelových konstrukcí. Část 2: Ocelové mosty. ČNI, leden 2008.
- [11] ČSN EN 1994-1-1 ed. 2. Eurokód 4: Navrhování spřažených ocelobetonových konstrukcí. Část 1: Obecná pravidla a pravidla pro pozemní stavby. ČNI, únor 2011.
- [12] ČSN EN 1994-1-2. Eurokód 4: Navrhování spřažených ocelobetonových konstrukcí. Část 2: Obecná pravidla a pravidla pro mosty. ČNI, únor 2007.



VYSOKÉ UČENÍ TECHNICKÉ V BRNĚ

BRNO UNIVERSITY OF TECHNOLOGY

FAKULTA STAVEBNÍ

FACULTY OF CIVIL ENGINEERING

ÚSTAV KOVOVÝCH A DŘEVĚNÝCH KONSTRUKCÍ

INSTITUTE OF METAL AND TIMBER STRUCTURES

SILNIČNÍ A TRAMVAJOVÝ MOST

ROAD AND TRAM BRIDGE

C. STATICKÝ VÝPOČET - VARIANTY

STATICAL DOCUMENTATION – VARIANTS

DIPLOMOVÁ PRÁCE

DIPLOMA THESIS

AUTOR PRÁCE

AUTHOR

Bc. Martin Vošček

VEDOUCÍ PRÁCE SUPERVISOR

Ing. PETR BROSCH

BRNO 2017

Statický výpočet

Variandy

Obsah

1	Úvod	4
2	Variant A	5
2.1	Popis konštrukcie.....	5
2.1.1	Výpočtový model.....	5
2.2	Zaťaženie:	6
2.2.1	Vlastná tiaž	6
2.2.2	Vietor (ČSN EN 1991-1-4)	6
2.2.3	Zaťaženie chodcami.....	7
2.2.4	Automobilová doprava.....	7
2.2.5	Koľajová doprava.....	8
2.3	Zaťažovacie stavy.....	8
2.3.1	ZS1 – Vlastná tiaž.....	8
2.3.2	ZS2 – Ostatná vlastná tiaž.....	9
2.3.3	ZS4 – Zaťaženie chodcami na chodník - plný.....	9
2.3.4	ZS5 – Zaťaženie chodcami na chodník $\frac{3}{4}$	10
2.3.5	ZS6 – Zaťaženie chodcami na chodník $\frac{1}{2}$	10
2.3.6	ZS7 – Zaťaženie chodcami na chodník $\frac{1}{4}$	11
2.3.7	ZS8 – Vietor v smere x (os y v RFEMU)	11
2.3.8	ZS9 – Vietor v smere x (os y v RFEMU)	12
2.3.9	ZS10-ZS37 – LM3	12
2.3.10	ZS38 – ZS65 - Električka	12
2.3.11	ZS66 – ZS93 – LM1 – TS – Stred mostu.....	13
2.3.12	ZS94 – ZS121 – LM1 – TS – Kraj mostu.....	13
2.3.13	ZS122 – ZS149 – LM1 – UDL – Stred mostu.....	13
2.3.14	ZS150 – ZS177 – LM1 – UDL – Kraj mostu.....	14
2.4	Kombinácie zaťažovacích stavov	14
2.5	Použité prierezy	16
2.6	Vnútorné sily	25
2.7	MSU – Medzný stav únosnosti	30
2.8	MSP – Medzný stav použiteľnosti	35
2.9	Výkaz materiálu	36
3	Úvod – Variant B.....	38
3.1	Popis konštrukcie.....	38

Statický výpočet

Variandy

3.1.1	Výpočtový model.....	38
3.2	Zaťaženie:	38
3.2.1	Vlastná tiaž	38
3.2.2	Vietor (ČSN EN 1991-1-4)	39
3.2.3	Zaťaženie chodcami.....	39
3.2.4	Automobilová doprava	39
3.2.5	Koľajová doprava.....	39
3.3	Zaťažovacie stavy.....	39
3.3.1	ZS1 – Vlastná tiaž.....	39
3.3.2	ZS2 – Ostatná vlastná tiaž.....	39
3.3.3	ZS4 – Zaťaženie chodcami na chodník - plný.....	40
3.3.4	ZS5 – Zaťaženie chodcami na chodník $\frac{3}{4}$	40
3.3.5	ZS6 – Zaťaženie chodcami na chodník $\frac{1}{2}$	41
3.3.6	ZS7 – Zaťaženie chodcami na chodník $\frac{1}{4}$	41
3.3.7	ZS8 – Vietor v smere x (os y v RFEMU)	42
3.3.8	ZS9 – Vietor v smere x (os y v RFEMU)	42
3.3.9	ZS10-ZS37 – LM3	42
3.3.10	ZS38 – ZS65 - Električka	43
3.3.11	ZS66 – ZS93 – LM1 – TS – Stred mostu.....	43
3.3.12	ZS94 – ZS121 – LM1 – TS – Kraj mostu	44
3.3.13	ZS122 – ZS149 – LM1 – UDL – Stred mostu.....	44
3.3.14	ZS150 – ZS177 – LM1 – UDL – Kraj mostu	44
3.4	Kombinácie zaťažovacích stavov	45
3.5	Použité prierezy	47
3.6	Vnútorné sily	56
3.7	MSÚ – Medzný stav únosnosti	64
3.8	MSP – Medzný stav použiteľnosti	69
3.9	Výkaz materiálu	70
4	Vyhodnotenia variant.....	72
4.1	Hmotnosť oceli	72
4.2	Náročnosť montáže	72
4.3	Estetika	72
4.4	Náročnosť detailov	72
4.5	Vyhodnotenie	73

1 Úvod

Cieľom tejto diplomovej práce je navrhnúť nový most prevádzajúci cestnú, električkovú a pešiu dopravu cez rieku Morava v Olomouci. Most sa nachádza v Masarykovej ulici v centre Olomouca. Hlavným dôvodom k výmene pôvodného mostu za nový sú nevyhovujúce prietokové pomery. Je teda nutné rozšíriť koryto rieky Morava, tým zväčšiť prietok rieky a to si následne vyžaduje predĺženie mosta. V diplomovej práci sú navrhnuté dva nové varianty možného riešenia. Z nich je vybraný výhodnejší variant ktorý je ďalej rozpracovaný.

V posúdení variantov je uvažované so základným zaťažením od dopravy, vlastnej tiaže a vetru. Následne je konštrukcia spočítaná v programe RFEM, pričom tam sú tam okrem iného posúdené jednotlivé prvky na medzný stav únosnosti a použiteľnosti. Jednotlivé varianty sú navrhnuté s ohľadom na smerové a výškové pomery.

Na most bola požiadavka aby mal v každom jazdnom smere vlastný most. Vzhľadom na to, že konštrukčné riešenie, zaťaženie a statický systém sú rovnaké tak sa budem venovať len jednej strane mostu, pričom všetky výsledky sú aplikovateľné aj na most v opačnom jazdnom smere.

Podklady k diplomovej práci

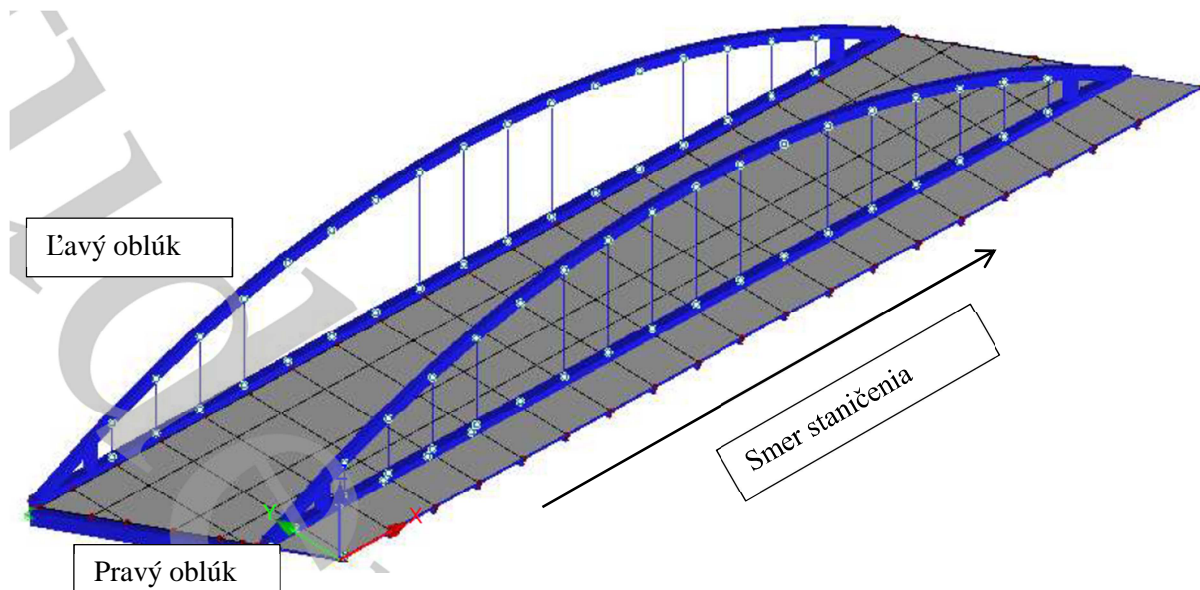
Firma OKF s.r.o. mi pre vypracovanie diplomovej práce poskytla smerové a výškové pomery k mostu a taktiež základné požiadavky na funkčnosť objektu.

2 Variant A

2.1 Popis konštrukcie

Variant A je oceľová konštrukcia o rozpäti 52,5 m. Je to prostý podoprený hlavný nosník s výstužným oblúkom, ktorý je spojený s trámom tiahłami. Osová vzdialenosť oblúkov je 9,275 m a tiahla sú od seba vzdialené po 2,675 m. Oblúk aj trám sú duté prierezy obdlžnikového tvaru.

Na trám sú pripojené priečniky ktoré sú spražené s betónovou mostovkou. Priečniky sú nesymetrické I profily. Na koncoch v miestach podpor sa nachádzajú koncové priečniky, ktoré sú z obdlžnikového dutého profilu. Z vonkajšej strany pravého oblúku je umiestnený chodník. Chodník je tvorený betónovou doskou ktorá leží na oceľových H profiliach privarených na trám. Všetky oceľové prvky sú z oceli S355 a použitý betón je triedy C35/45.



Obr. 2.1 – Ilustračný obrázok z výpočtového programu

2.1.1 Výpočtový model

Výpočtový model je vytvorený v programe RFEM. Model bol vytvorený ako priestorový, pričom jednotlivé oceľové prvky sú modelované ako 1D prúty a betónová doska je modelovaná ako 2D prvak. V modeli sú uvažované jednotlivé excentricity prvkov. Spražené priečniky sú modelované ako rebrá betónovej dosky. Betónová doska zabezpečujúca tuhost' je modelovaná ako 2D prvak len medzi oblúkmi. Betónová doska umiestnená na chodníkových konzolách je aplikovaná len ako zaťaženie.

2.2 Zaťaženie:

2.2.1 Vlastná tiaž

Vlastná tiaž nosných prvkov je generovaná automaticky programom – všetky oceľové prvky a betónová doska medzi oblúkmi. Betónová doska chodníku je uvažovaná ako spojité zaťaženie na chodníkové konzoly. Ďalej je uvažované s konštrukčnými vrstvami vozovky, zábradlím, rímsami a ostatným vybavením mostu.

2.2.2 Vietor (ČSN EN 1991-1-4)

Veterná oblasť I – Centrum mesta Olomouc

$$\text{Základná rýchlosť vetru} \quad v_{b,0} = 22,5 \text{ m/s}$$

$$\text{Kategória terénu I} \quad z_0 = 1 \text{ m}$$

$$Z_{\min} = 10 \text{ m}$$

$$\text{Výška konštrukcie} \quad z = 9 \text{ m}$$

$$\text{Súčinieľ smeru vetru} \quad C_{\text{dir}} = 1,0$$

$$\text{Súčinieľ ročného obdobia} \quad C_{\text{season}} = 1,0$$

$$\text{Základná rýchlosť vetru} \quad V_b = C_{\text{dir}} * C_{\text{season}} * v_{b,0} = 1,0 * 1,0 * 22,5 \text{ m/s} = 22,5 \text{ m/s}$$

$$\text{Súčinieľ drsnosti terénu} \quad C_r(z) = K_r * \ln\left(\frac{z}{z_0}\right) = 0,234 * \ln\left(\frac{9}{1}\right) = 0,515$$

$$K_r = 0,19 * \left(\frac{z}{z_{0,II}}\right)^{0,07} = 0,19 * \left(\frac{1}{0,05}\right)^{0,07} = 0,234$$

$$\text{Stredná rýchlosť vetru} \quad v_m = C_r(z) * C_0(z) * v_b = 0,515 * 1,0 * 22,5 = 11,585 \text{ m/s}$$

$$\text{Základný dynamický tlak} \quad q_b = 0,5 * \rho * v_m^2 = 0,5 * 1,25 * 11,585^2 = 83,877 \text{ kg/ms}^2$$

$$\text{Súčinieľ expozície} \quad C_e(z) = 1 + 7 * l_v(z) = 1 + 7 * \frac{k_1}{c_0(z) * \ln\left(\frac{z}{z_0}\right)} = 1 + 7 * \frac{1}{1 * \ln\left(\frac{9}{1}\right)} = 4,18$$

$$\text{Maximálny dynamický tlak} \quad q_p(z) = C_e(z) * q_b = 4,18 * 83,877 = 0,351 \text{ kN/m}^2$$

Vietor v smere x

$$c_{fx,0} = \frac{b}{d_{tot}} = \frac{12,275}{9} = 1,363$$

$$q_b = 0,5 * \rho * v_b^2 = 0,5 * 1,25 * 22,5^2 = 0,316$$

$$c_e = \frac{q_p}{q_b} = \frac{0,351}{0,316} = 1,1$$

Statický výpočet Variandy

Súčinieľ zaťaženia vetrom podľa tabuľky 8.2 z normy 1991-1-4

$$Z_e < 20 \text{ m} \Rightarrow c = 5,94$$

Súčinieľ zaťaženia vetrom $c = c_e * c_{fx,0} = 1,1 * 1,363 = 1,512$

Plocha $A_{ref,x} = 1 \text{ m}^2$

Tlak vetru na konštrukciu $F_w = 0,5 * \rho * v_b^2 * c * A_{ref,x} = 0,5 * 1,25 * 22,5^2 * 5,94 * 1 = 1,88 \text{ kN/m}^2$

Vietor v smere z

Plocha $A_{ref,x} = b * L = 12,275 * 52,5 = 644,4 \text{ m}^2$

$$c_{f,z} = \pm 0,9$$

$$c_z = c_{f,z} + c_e = \pm 0,9 * 1,1 = 0,99$$

Tlak vetru na konštrukciu $F_w = 0,5 * \rho * v_b^2 * c_z * A_{ref,x} = 0,5 * 1,25 * 22,5^2 * 0,99 * 644,4 = 201 \text{ kN}$

Vzhľadom k veľkosti celkovej reakcie od vetru k celkovej reakcie k stálemu zaťaženiu môžem vietor v z-tovom smere zanedbať.

Vietor v smere y

Neuvažujem

2.2.3 Zaťaženie chodcami

Zaťaženie chodcami uvažujem len na chodníku, pričom uvažujem s rovnomerným zaťažením $q_{fk} = 5 \text{ kN/m}^2$.

2.2.4 Automobilová doprava

Zaťaženie automobilovou dopravou je predstavené zaťažovacími modelmi LM1 a LM3. Na most je aplikované ako pohyblivé zaťaženie pomocou modulu RF-MOVE. Pomocou tohto modulu sú vygenerované potrebné zaťažovacie stavy následne použité v kombináciách.

Model LM1

Zo šírkového usporiadania mostu je pre cestnú dopravu určených 4,85 m. To znamená, že plochu je možné rozdeliť na 3 m jazdného pruhu číslo 1 a ostatnej plochy – 1,85 m. Zaťaženie obsahuje dynamickú zložku.

Zaťaženie pre jazdný pruh číslo 1:

$$TS - \alpha_Q Q_k = 1 * 300 = 300 \text{ kN}$$

$$UDL - \alpha_q q_k = 1,0 * 9 = 9 \text{ kN/m}^2$$

Zaťaženie na zvyšnej ploche

$$UDL - \alpha_q q_k = 1,2 * 2,5 = 3 \text{ kN/m}^2$$

Model LM3

Na moste uvažujem taktiež zaťažovací model 3 – špeciálne vozidlo. Pre tento most je uvažované vozidlo určené na prvú, respektíve druhú triedu ciest podľa štátnej prílohy (ČSN EN 1991-2-Tabuľka – NA2.3). Uvažujeme 9 náprav po 200 kN. Dynamický súčinatel' je 1,25 a toto vozidlo sa uvažuje na moste osamotené – všetka ostatná doprava je vylúčená.

Vo variantnom riešení nie sú uvažované žiadne horizontálne sily od dopravy.

2.2.5 Kolajová doprava

Zaťažovací model od mestskej kolajovej dopravy na moste používam podľa národnej prílohy ČSN EN 1991-2-NB2.1. Model je zložený z ôsmich nápravových sôl o veľkosti 120 kN (obr.2.5). Na moste je uvažovaná sústava s maximálne tromi takýmito modelmi za sebou. V mojom prípade uvažujem 1 až 3 modelmi za sebou.

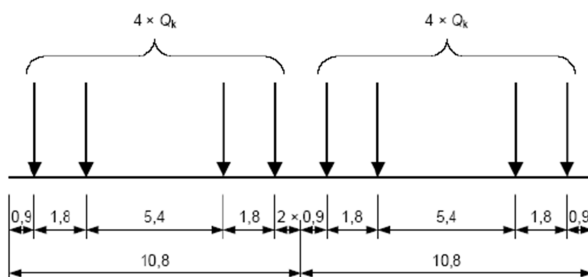
Dynamický faktor je určený rovnicami

$$\Phi_t = 1 + 0,85 * (\Phi_3 - 1) = 1 + 0,85 * (1,16 - 1) = 1,14 \text{ a to leží medzi } <1,13 \text{ až } 1,68>$$

$$\Phi_3 = \frac{2,16}{\sqrt{L_\Phi} - 0,2} + 0,73 = \frac{2,16}{\sqrt{26,25} - 0,2} + 0,73 = 1,16 \text{ a to leží medzi } <1 \text{ až } 2>$$

$$Q_k = 120 \text{ kN} * 1,14 = 136,8 \text{ kN}$$

Rovnica φ_t je z normy ČSN EN 1991-2 NA2.1 a rovnica pre výpočet φ_3 je rovnica 6.2 z normy CSN EN 1991-2. L φ je určený podľa tabuľky 6.2 z normy CSN EN 1991-2 ako polovica rozpätia mostu.



Obr. 2.2.5 – Zaťažovací model električky na moste v mestách ČSN EN 1991-2-NB2.1

2.3 Zaťažovacie stavy

2.3.1 ZS1 – Vlastná tiaž

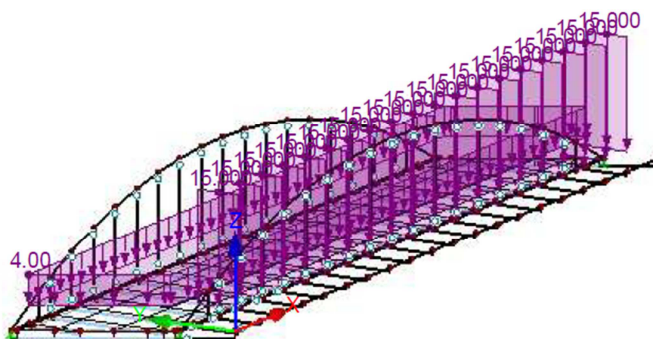
Vlastná tiaž jednotlivých oceľových nosných prvkov je generovaná programom. S tým je zároveň generovaná aj vlastná tiaž betónovej dosky ktorá je sprážená s priečnikmi – betónová doska medzi oblúkmi.

Statický výpočet

Varianty

2.3.2 ZS2 – Ostatná vlastná tiaž

Tento zaťažovací stav obsahuje zaťaženie od chodníkovej betónovej dosky. Táto doska je zadaná ako spojité zaťaženie na chodníkové konzoly a teda nezabezpečuje tuhost konštrukcie. Ďalej sa tu nachádza zaťaženie tvorené konštrukčnými vrstvami vozovky a chodníku, zábradlie, zvodidlá a rímsy.



Obr.2.3.2 – Ostatná vlastná tiaž

Vozovka	Šírka [m]	Plocha v reze [m ²]	Objemová hmotnosť [kN/m ³]	Zaťaženie na plochu [kN/m ²]
Konštrukčné vrstvy vozovky	0,10		25,00	2,50
Rímsa		0,058	25,00	1,45
Zvodidlo				0,05
Celkom				4,00
Chodník	Šírka [m]	Objemová hmotnosť [kN/m ³]	Zaťažovacia šírka [m]	Zaťaženie na plochu [kN/m]
Konštrukčné vrstvy chodníku	0,05	25,00	2,675	3,34
Zábradlie a vybavenie mostu				1,63
Betónová doska	0,15	25,00	2,675	10,03
Celkom				15,00

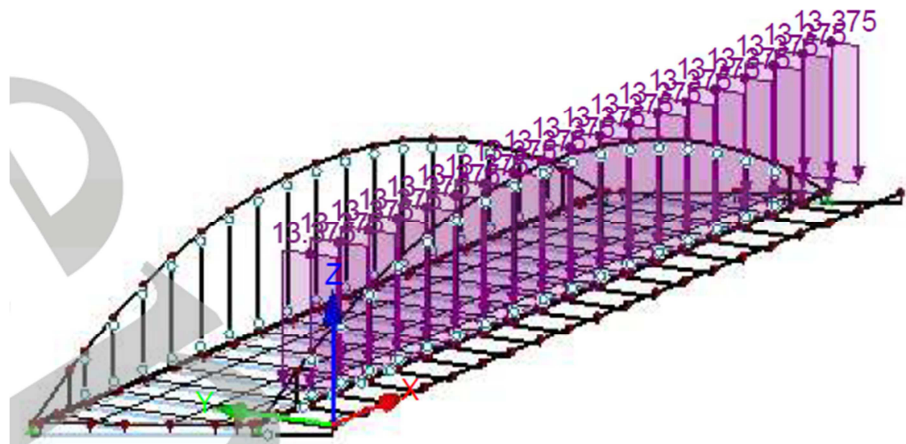
Tab 2.3.2 – Ostatná vlastná tiaž

2.3.3 ZS4 – Zaťaženie chodcami na chodník - plný

Uvažujem spojité zaťaženie na chodníkové konzoly o veľkosti 5 vynásobené zaťažovacou šírkou 2,675 m. Toto zaťaženie je umiestnené na chodník po celej dĺžke.

$$q = 5 \text{ kN/m}^2 * 2,675 \text{ m} = 13,375 \text{ kN/m.}$$

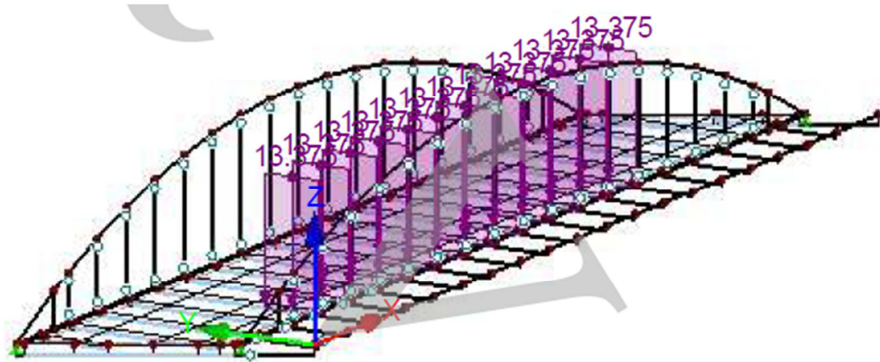
Statický výpočet Variandy



Obr.2.3.3 – Zaťaženie chodcami

2.3.4 ZS5 – Zaťaženie chodcami na chodník $\frac{3}{4}$

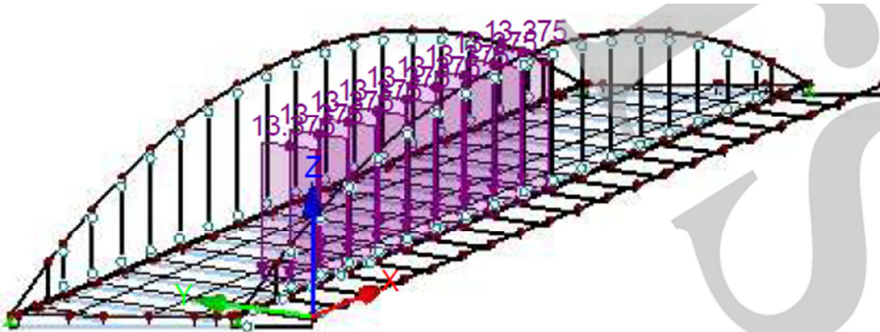
Rovnako ako ZS4, ale teraz je dané zaťaženie umiestnené na chodník v troch štvrtinách dĺžky v smere staničenia.



Obr.2.3.4 – Zaťaženie chodcami

2.3.5 ZS6 – Zaťaženie chodcami na chodník $\frac{1}{2}$

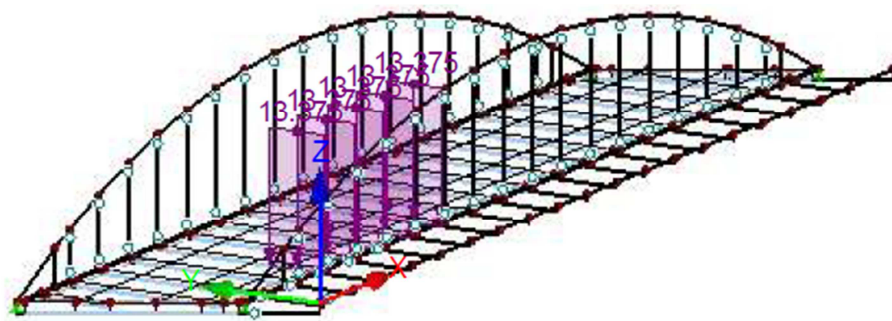
Rovnako ako ZS4, ale teraz je dané zaťaženie umiestnené na chodník na polovicu dĺžky v smere staničenia.



Obr.2.3.5 – Zaťaženie chodcami

2.3.6 ZS7 – Zaťaženie chodcami na chodník ¼

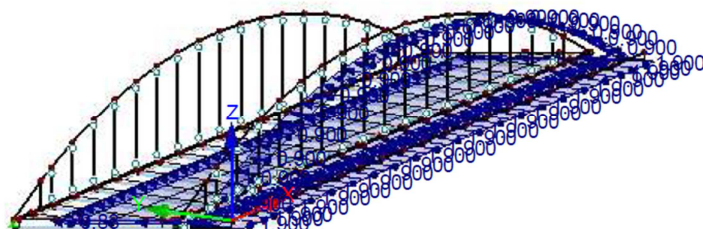
Rovnako ako ZS4, ale teraz je dané zaťaženie umiestnené na chodník v jednej štvrtine dĺžky v smere staničenia.



Obr.2.3.6 – Zaťaženie chodcami

2.3.7 ZS8 – Vietor v smere x (os y v RFEMU)

Zaťaženie vetrom na plochu o veľkosti 1,88 kN/m² je rozpočítané na jednotlivé prvky podľa plochy prvku. Zaťaženie pôsobí na oblúk a trám. Taktiež uvažujem s tým, že na moste sa nachádza električka. Zaťaženie je aplikované na betónovú dosku a odtiaľ je ďalej prenesené do OK.



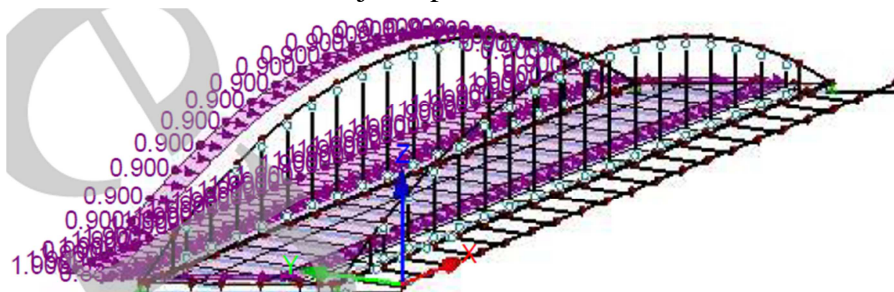
Obr.2.3.7 – Zaťaženie vetrom

Zaťaženie vetrom v smere x		Šírka (m)	q (N/m)
Prvok			
Horný pás - Pravý		0,55	1,034
Horný pás - Ľavý		0,5	0,940
Trám		1	1,880
Električka - uvažované na dosku		4	7,520

Tab. 2.3.7 – Zaťaženie vetrom

2.3.8 ZS9 – Vietor v smere x (os y v RFEMU)

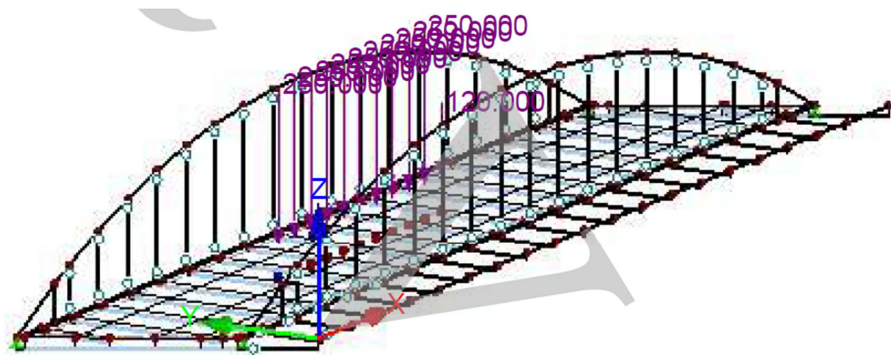
Rovnako ako ZS8, ale zaťaženie je v opačnom smere.



Obr.2.3.8 – Zaťaženie vetrom

2.3.9 ZS10-ZS37 – LM3

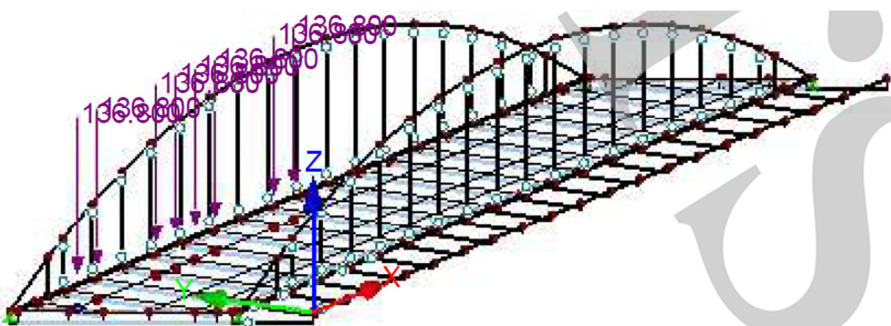
Zaťažovacie stavy sú generované z RFEM-MOVE. Reprezentujú pohyblivé zaťaženie od špeciálneho vozidla. Vozidlo prechádza v ose mostu pričom je ďalej v kombináciach uvažované osamotene.



Obr.2.3.9 – Zaťaženie automobilovou dopravou – Model LM3

2.3.10 ZS38 – ZS65 - Električka

Zaťažovacie stavy sú generované z RFEM-MOVE. Reprezentujú pohyblivé zaťaženie od električky. Vozidlo prechádza v ose koľajového pásu mostu.

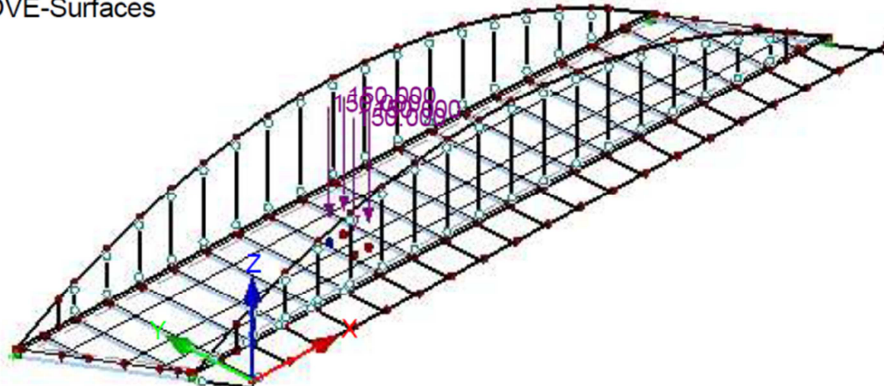


Obr.2.3.10 – Zaťaženie koľajovou dopravou

2.3.11 ZS66 – ZS93 – LM1 – TS – Stred mostu

Zaťažovacie stavy sú generované z RFEM-MOVE. Reprezentujú pohyb dvojnápravy po moste s tým, že dvojnáprava je umiestnená do stredu jazdného pruhu. Jazdný pruh sa uvažuje bližšie k ľavému oblúku – vo vzdialosti 1,85 +1,5 m od pravého oblúku. Ostatný priestor je umiestnený pri pravom oblúku.

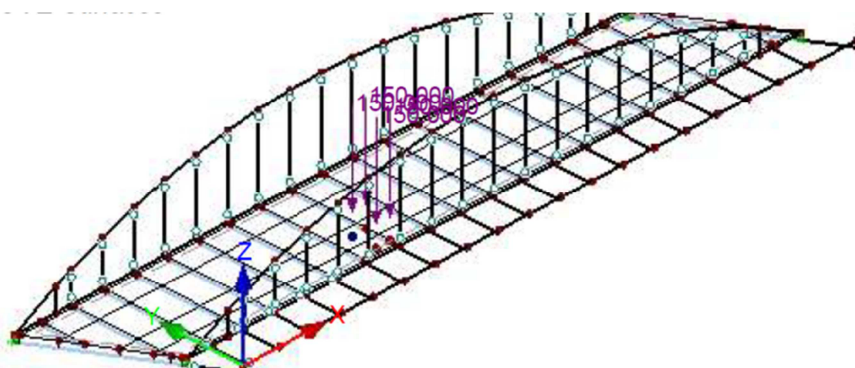
OVE-Surfaces



Obr.2.3.11 – Zaťaženie automobilovou dopravou – LM1 – TS

2.3.12 ZS94 – ZS121 – LM1 – TS – Kraj mostu

Zaťažovacie stavy sú generované z RFEM-MOVE. Reprezentujú pohyb dvojnápravy po moste s tým že dvojnáprava je umiestnená do stredu jazdného pruhu. Jazdný pruh sa uvažuje bližšie k pravému oblúku – vo vzdialosti 1,5 m. Ostatný priestor je umiestnený smerom do stredu mostu.

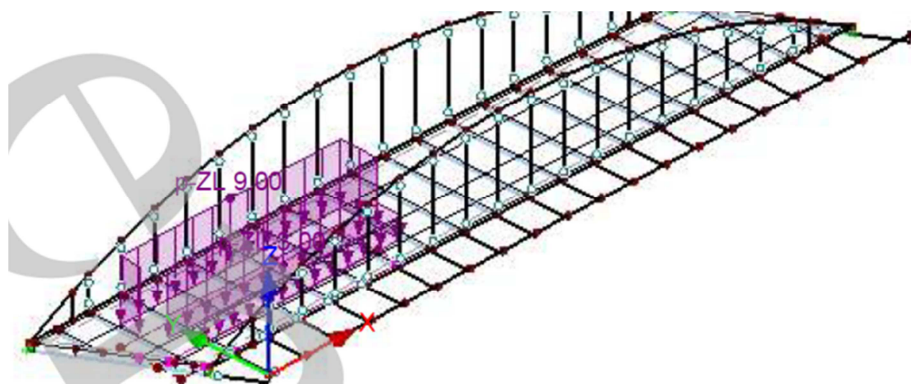


Obr.2.3.12 – Zaťaženie automobilovou dopravou – LM1 – TS

2.3.13 ZS122 – ZS149 – LM1 – UDL – Stred mostu

Zaťažovacie stavy sú generované z RFEM-MOVE. Reprezentujú pohyb rovnomerného zaťaženia z LM1. UDL sa môže nachádzať na celom moste alebo napríklad len pred/za dvojnápravou. Preto je modelované ako súvislý pás „prichádzajúci“ na most. V tomto ZS uvažujem, že jazdný pruh a teda zaťaženie 9 kN/m^2 sa nachádza bližšie k osi mostu. Ostatná časť so zaťažením 3kN/m^2 sa nachádza bližšie k pravému oblúku. Uvažujem s ním samostatne oproti tandem systému pretože ich kombinačný súčinatel' sa lísi.

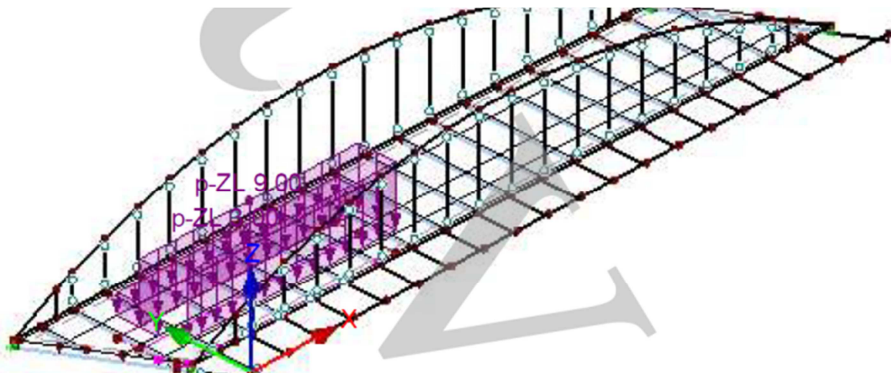
Statický výpočet Varianty



Obr.2.3.13 – Zaťaženie automobilovou dopravou – LM1 – UDL

2.3.14 ZS150 – ZS177 – LM1 – UDL – Kraj mostu

Zaťažovacie stavy sú generované z RFEM-MOVE. Reprezentujú pohyb rovnomenného zaťaženia z LM1. UDL sa môže nachádzať na celom moste alebo napríklad len pred/za dvojnápravou. Preto je modelované ako súvislý pás „prichádzajúci“ na most. V tomto ZS uvažujem, že jazdný pruh a teda zaťaženie 9 kN/m^2 sa nachádza bližšie k pravému oblúku mostu. Ostatná časť so zaťažením 3kN/m^2 sa nachádza bližšie k osi mostu. Uvažujem s ním osamotene pretože jeho kombinačný súčiníteľ je rôzny oproti tandem systému.



Obr.2.3.15 – Zaťaženie automobilovou dopravou – LM1 – UDL

2.4 Kombinácie zaťažovacích stavov

Kombinácie rôznych zaťažovacích stavov boli zostavené na základe normy ČSN EN 1990 ed.2. Keďže národná príloha zaradzuje električku do koľajovej dopravy, tak je most klasifikovaný ako kombinovaný. Kombinačné súčinitele pre kombinované mosty však nie sú normou dané. Kombinácie sú vytvorené ručne v RFEMu ako kombinácie zaťaženia. Kombinačné koeficienty boli dodržané pre koľajovú dopravu ako pre železničné mosty (Tab. A2.3) a pre cestnú dopravu ako pre cestné mosty (Tab. A2.1). V prípade nesúladu som počítal s konzervatívnym koeficientom. Kombinácie boli vytvorené na základe rovníc 6.10a a 6.10b.

Statický výpočet
Variandy

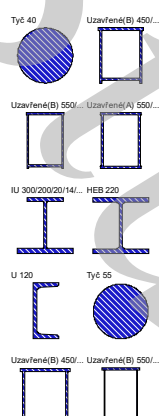
KOMBINÁCIE VÝSLEDKOV

Result Combin	Označenie	Zaťažovanie
KV9	Vlastná tiaž - ULS	$1.35 \cdot ZS1/s + 1.35 \cdot ZS2/s$
KV10	Chodník	$1.5 \cdot ZS4$ alebo $1.5 \cdot ZS6$ alebo $1.5 \cdot ZS7 + 1.5 \cdot ZS5$
KV11	Auticka	$1.45 \cdot KV15 + 1.35 \cdot KV16$ alebo $1.35 \cdot KV17 + 1.35 \cdot KV18$ alebo $1.35 \cdot KV19$
KV12	MAX-ULS	$1.35 \cdot ZS1/s + 1.35 \cdot ZS2/s + 1.5 \cdot ZS4$ alebo $1.5 \cdot ZS5$ alebo $1.5 \cdot ZS6$ alebo $1.5 \cdot ZS7 + 1.5 \cdot ZS8$ alebo $1.5 \cdot ZS9 + 1.45 \cdot KV15 + 1.35 \cdot KV16$ alebo $1.35 \cdot KV17 + 1.35 \cdot KV18$ alebo $1.35 \cdot KV19$
KV13	MAX-SLS	$ZS1/s + ZS2/s + ZS4$ alebo $ZS5$ alebo $ZS6$ alebo $ZS7 + ZS8$ alebo $ZS9 + KV15 + KV16$ alebo $KV17 + KV18$ alebo $KV19$
KV14	RF-MOVE-Surfaces LM3	$ZS10$ alebo $ZS11$ alebo $ZS12$ alebo $ZS13$ alebo $ZS14$ alebo $ZS15$ alebo $ZS16$ alebo $ZS17$ alebo $ZS18$ alebo $ZS19$ alebo $ZS20$ alebo $ZS21$ alebo $ZS22$ alebo $ZS23$ alebo $ZS24$ alebo $ZS25$ alebo $ZS26$ alebo $ZS27$ alebo $ZS28$ alebo $ZS29$ alebo $ZS30$ alebo $ZS31$ alebo $ZS32$ alebo $ZS33$ alebo $ZS34$ alebo $ZS35$ alebo $ZS36$ alebo $ZS37$
KV15	RF-MOVE-Surfaces Električka	$ZS38$ alebo $ZS39$ alebo $ZS40$ alebo $ZS41$ alebo $ZS42$ alebo $ZS43$ alebo $ZS44$ alebo $ZS45$ alebo $ZS46$ alebo $ZS47$ alebo $ZS48$ alebo $ZS49$ alebo $ZS50$ alebo $ZS51$ alebo $ZS52$ alebo $ZS53$ alebo $ZS54$ alebo $ZS55$ alebo $ZS56$ alebo $ZS57$ alebo $ZS58$ alebo $ZS59$ alebo $ZS60$ alebo $ZS61$ alebo $ZS62$ alebo $ZS63$ alebo $ZS64$ alebo $ZS65$
KV16	RF-MOVE-Surfaces LM1 - Stred - TS	$ZS66$ alebo $ZS67$ alebo $ZS68$ alebo $ZS69$ alebo $ZS70$ alebo $ZS71$ alebo $ZS72$ alebo $ZS73$ alebo $ZS74$ alebo $ZS75$ alebo $ZS76$ alebo $ZS77$ alebo $ZS78$ alebo $ZS79$ alebo $ZS80$ alebo $ZS81$ alebo $ZS82$ alebo $ZS83$ alebo $ZS84$ alebo $ZS85$ alebo $ZS86$ alebo $ZS87$ alebo $ZS88$ alebo $ZS89$ alebo $ZS90$ alebo $ZS91$ alebo $ZS92$ alebo $ZS93$
KV17	RF-MOVE-Surfaces LM1 - Kraj - TS	$ZS94$ alebo $ZS95$ alebo $ZS96$ alebo $ZS97$ alebo $ZS98$ alebo $ZS99$ alebo $ZS100$ alebo $ZS101$ alebo $ZS102$ alebo $ZS103$ alebo $ZS104$ alebo $ZS105$ alebo $ZS106$ alebo $ZS107$ alebo $ZS108$ alebo $ZS109$ alebo $ZS110$ alebo $ZS111$ alebo $ZS112$ alebo $ZS113$ alebo $ZS114$ alebo $ZS115$ alebo $ZS116$ alebo $ZS117$ alebo $ZS118$ alebo $ZS119$ alebo $ZS120$ alebo $ZS121$
KV18	RF-MOVE-Surfaces LM1 - Stred - UDL	$ZS122$ alebo $ZS123$ alebo $ZS124$ alebo $ZS125$ alebo $ZS126$ alebo $ZS127$ alebo $ZS128$ alebo $ZS129$ alebo $ZS130$ alebo $ZS131$ alebo $ZS132$ alebo $ZS133$ alebo $ZS134$ alebo $ZS135$ alebo $ZS136$ alebo $ZS137$ alebo $ZS138$ alebo $ZS139$ alebo $ZS140$ alebo $ZS141$ alebo $ZS142$ alebo $ZS143$ alebo $ZS144$ alebo $ZS145$ alebo $ZS146$ alebo $ZS147$ alebo $ZS148$ alebo $ZS149$
KV19	RF-MOVE-Surfaces LM1 - Kraj - UDL	$ZS150$ alebo $ZS151$ alebo $ZS152$ alebo $ZS153$ alebo $ZS154$ alebo $ZS155$ alebo $ZS156$ alebo $ZS157$ alebo $ZS158$ alebo $ZS159$ alebo $ZS160$ alebo $ZS161$ alebo $ZS162$ alebo $ZS163$ alebo $ZS164$ alebo $ZS165$ alebo $ZS166$ alebo $ZS167$ alebo $ZS168$ alebo $ZS169$ alebo $ZS170$ alebo $ZS171$ alebo $ZS172$ alebo $ZS173$ alebo $ZS174$ alebo $ZS175$ alebo $ZS176$ alebo $ZS177$
KV20		$1.35 \cdot ZS1/s + 1.35 \cdot ZS2/s + 0.54 \cdot ZS4$ alebo $0.54 \cdot ZS5$ alebo $0.54 \cdot ZS6$ alebo $0.54 \cdot ZS7 + 1.13 \cdot ZS8$ alebo $1.13 \cdot ZS9 + 1.16 \cdot KV15 + 1.01 \cdot KV16$ alebo $1.01 \cdot KV17 + 0.54 \cdot KV18$ alebo $0.54 \cdot KV19$
KV21		$ZS1/s + ZS2/s + 1.35 \cdot ZS4$ alebo $1.35 \cdot ZS5$ alebo $1.35 \cdot ZS6$ alebo $1.35 \cdot ZS7 + 1.13 \cdot ZS8$ alebo $1.13 \cdot ZS9$
KV22		$ZS1/s + ZS2/s + 0.54 \cdot ZS4$ alebo $0.54 \cdot ZS5$ alebo $0.54 \cdot ZS6$ alebo $0.54 \cdot ZS7 + 1.5 \cdot ZS8$ alebo $1.5 \cdot ZS9$
KV23		$1.15 \cdot ZS1/s + 1.15 \cdot ZS2/s + 1.13 \cdot ZS8$ alebo $1.13 \cdot ZS9 + 1.35 \cdot KV14$
KV24		$1.15 \cdot ZS1/s + 1.15 \cdot ZS2/s + 1.35 \cdot KV14$
KV25		$ZS1/s + ZS2/s + 1.35 \cdot KV14$
KV26		$1.15 \cdot ZS1/s + 1.15 \cdot ZS2/s + 1.35 \cdot ZS4$ alebo $1.35 \cdot ZS5$ alebo $1.35 \cdot ZS6$ alebo $1.35 \cdot ZS7 + 1.13 \cdot ZS8$ alebo $1.13 \cdot ZS9 + 1.16 \cdot KV15 + 1.01 \cdot KV16$ alebo $1.01 \cdot KV17 + 0.54 \cdot KV18$ alebo $0.54 \cdot KV19$
KV27		$1.15 \cdot ZS1/s + 1.15 \cdot ZS2/s + 0.54 \cdot ZS4$ alebo $0.54 \cdot ZS5$ alebo $0.54 \cdot ZS6$ alebo $0.54 \cdot ZS7 + 1.5 \cdot ZS8$ alebo $1.5 \cdot ZS9 + 1.16 \cdot KV15 + 1.01 \cdot KV16$ alebo $1.01 \cdot KV17 + 0.54 \cdot KV18$ alebo $0.54 \cdot KV19$
KV28		$1.15 \cdot ZS1/s + 1.15 \cdot ZS2/s + 0.54 \cdot ZS4$ alebo $0.54 \cdot ZS5$ alebo $0.54 \cdot ZS6$ alebo $0.54 \cdot ZS7 + 1.13 \cdot ZS8$ alebo $1.13 \cdot ZS9 + 1.45 \cdot KV15 + 1.01 \cdot KV16$ alebo $1.01 \cdot KV17 + 0.54 \cdot KV18$ alebo $0.54 \cdot KV19$
KV29		$1.15 \cdot ZS1/s + 1.15 \cdot ZS2/s + 0.54 \cdot ZS4$ alebo $0.54 \cdot ZS5$ alebo $0.54 \cdot ZS6$ alebo $0.54 \cdot ZS7 + 1.13 \cdot ZS8$ alebo $1.13 \cdot ZS9 + 1.16 \cdot KV15 + 1.35 \cdot KV16$ alebo $1.35 \cdot KV17 + 1.35 \cdot KV18$ alebo $1.35 \cdot KV19$
KV30	MSP - Kombinovaný most	$0.4 \cdot ZS4$ alebo $0.4 \cdot ZS5$ alebo $0.4 \cdot ZS6$ alebo $0.4 \cdot ZS7 + 0.75 \cdot ZS8$ alebo $0.75 \cdot ZS9 + 0.8 \cdot KV15 + 0.5 \cdot KV16$ alebo $0.5 \cdot KV17 + 0.5 \cdot KV18$ alebo $0.5 \cdot KV19$
KV31	MSP - Kombinovaný most	$0.4 \cdot ZS4$ alebo $0.4 \cdot ZS5$ alebo $0.4 \cdot ZS6$ alebo $0.4 \cdot ZS7 + 0.75 \cdot ZS8$ alebo $0.75 \cdot ZS9 + 0.4 \cdot ZS4$ alebo $0.4 \cdot ZS5$ alebo $0.4 \cdot ZS6$ alebo $0.4 \cdot ZS7 + 0.75 \cdot ZS8$ alebo $0.75 \cdot ZS9 + KV15 + 0.38 \cdot KV16$ alebo $0.38 \cdot KV17 + 0.2 \cdot KV18$ alebo $0.2 \cdot KV19$
KV32	MSP - Cestný most	$0.4 \cdot ZS4$ alebo $0.4 \cdot ZS5$ alebo $0.4 \cdot ZS6$ alebo $0.4 \cdot ZS7 + 0.75 \cdot ZS8$ alebo $0.75 \cdot ZS9 + 0.8 \cdot KV15 + KV16$ alebo $KV17 + KV18$ alebo $KV19$

STATICKÝ VÝPOČET

VARIANTA A

KONŠTRUKCIA

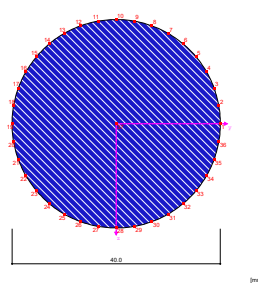


■ 5. PRIEREZY

Prierez č.	Mater. č.	I_T [cm ⁴] A [cm ²]	I_y [cm ⁴] A_y [cm ²]	I_z [cm ⁴] A_z [cm ²]	Hlavné osy α [°]	Pootočenie prú α' [°]	Celkové rozmery [mm] Šírka b	Výška h
1	Tyč 40 1	25.13 12.57	12.57 10.56	12.57 10.56	0.00	0.00	40.0	40.0
	Tiahlo - Ľavé							
2	Uzavřené(B) 450/28/24/550/370/28/25/5/5 1	221592.84 480.16	200563.39 177.11	130441.63 215.12	0.00	0.00	450.0	550.0
	Oblúk - pravý							
3	Uzavřené(B) 550/30/20/800/480/30/20/5/5 1	520569.47 617.00	588865.19 275.99	261844.42 275.99	0.00	0.00	550.0	800.0
	Dolný pás - pravý							
4	Uzavřené(A) 550/30/30/470/750/550/30/7/7 1	639619.81 744.00	592182.00 232.48	342248.00 383.77	0.00	0.00	550.0	750.0
	Koncový priečnik							
5	IU 300/200/20/14/300/25/5/5 1	223.40 150.70	22590.46 86.71	6964.16 35.87	0.00	0.00	300.0	300.0
	Štandardný priečnik							
6	HEB 220 1	76.57 91.04	8091.00 58.71	2843.00 17.87	0.00	0.00	220.0	220.0
	Chodníková konzola							
7	U 120 DIN 1026-1:1963 1	4.15 17.00	364.00 5.12	43.20 6.95	0.00	0.00	55.0	120.0
	Obvodový pás							
9	Tyč 55 1	89.84 23.76	44.92 19.96	44.92 19.96	0.00	0.00	55.0	55.0
	Tiahlo - Pravé							
10	Uzavřené(B) 450/28/22/500/370/28/25/5/5 1	179878.27 437.28	154849.64 180.32	112947.65 176.40	0.00	0.00	450.0	500.0
	Horný pás - Ľavý							
11	Uzavřené(B) 550/25/20/800/450/25/25/5/5 1	442347.44 560.00	508744.50 173.48	224946.67 276.62	0.00	0.00	550.0	800.0
	Dolný pás - Ľavý							

■ TIAHLO - ĽAVÉ

Tyč 40



■ PRIEREZOVÉ CHARAKTERISTIKY

Prierezová charakteristika

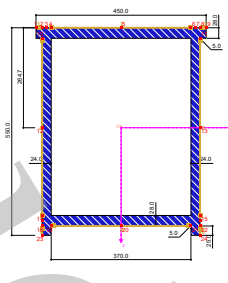
- Priemer
- Plocha prierezu
- Šmyková plocha
- Moment zotrváčnosti (plošný moment 2. stupňa)
- Polomer zotrváčnosti
- Polárny polomer zotrváčnosti
- Hmotnosť prierezu
- Plocha pláštia
- Moment tuhosti v kútení
- Prierezový modul
- Statický moment
- Plastický prierezový modul
- Vzperná križka (DIN 18880-2:2008-11)
- Vzperná križka podľa EN
- Vzperná križka podľa EN pre oceľ S 460

Tyč 40

Symbol	Hodnota	Jednotka
D	40.0	mm
A	12.57	cm ²
A_y	10.56	cm ²
I_y	12.57	cm ⁴
i_y	10.0	mm
i_p	14.1	mm
G	9.9	kg/m
$A_{plášť}$	0.126	m ² /m
I_t	25.13	cm ⁴
W_y	6.28	cm ³
$S_{y,max}$	5.33	cm ³
$W_{pl,y,max}$	10.67	cm ³
$VK_{y,DIN}$	c	
$VK_{y,EN}$	c	
$VK_{y,EN,S460}$	c	

■ OBLÚK - PRAVÝ

Uzavrené(B) 450/28/24/550/370/28/25/5/5



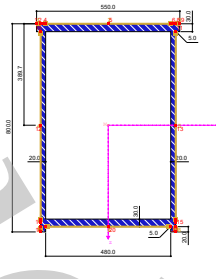
■ PRIEREZOVÉ CHARAKTERISTIKY

Uzavrené(B) 450/28/24/550/370/28/25/5/5

Prierezová charakteristika	Symbol	Hodnota	Jednotka
Upper flange width	b_o	450.0	mm
Upper flange thickness	t_o	28.0	mm
Web thickness	s	24.0	mm
Depth	h	550.0	mm
Lower flange width	b_u	370.0	mm
Lower flange thickness	t_u	28.0	mm
Lower overlap	u	25.0	mm
Upper fillet weld thickness	a_o	5.0	mm
Lower fillet weld thickness	a_u	5.0	mm
Plocha prierezu	A	480.16	cm ²
Šmyková plocha	A_y	177.11	cm ²
Šmyková plocha	A_z	215.12	cm ²
Účinná šmyková plocha podľa EN 3	$A_{v,y}$	229.60	cm ²
Účinná šmyková plocha podľa EN 3	$A_{v,z}$	250.56	cm ²
Plocha jadra	$A_{jadrá}$	1958.18	cm ²
Vzdialenosť ľažiska	e_z	264.7	mm
Moment zotvačnosti (plošný moment 2. stupňa)	I_y	200563.00	cm ⁴
Moment zotvačnosti (plošný moment 2. stupňa)	I_z	130442.00	cm ⁴
Polárny moment zotvačnosti	I_p	331005.00	cm ⁴
Polárny moment zotvačnosti	$I_{p,M}$	331085.00	cm ⁴
Polomer zotvačnosti	i_y	204.4	mm
Polomer zotvačnosti	i_z	164.8	mm
Hlavný polomer zotvačnosti	i_u	204.4	mm
Hlavný polomer zotvačnosti	i_v	164.8	mm
Polárny polomer zotvačnosti	i_p	262.6	mm
Polárny polomer zotvačnosti	$i_{p,M}$	262.6	mm
Hmotnosť prierezu	G	376.9	kg/m
Plocha pláštia	$A_{plášt}$	2.050	m ² /m
Moment tuhosťi v kútení	I_t	221593.00	cm ⁴
St. Venantov moment tuhosťi v krútení	$I_{t,StVén}$	1092.84	cm ⁴
Bredtov moment tuhosťi v krútení	$I_{t,Bredt}$	220500.00	cm ⁴
Vzdialenosť stredu šmyku k ľažisku	Z_M	-4.0	mm
Výsekový moment zotvačnosti vztižený k M	I_{ω}	1.662E+06	cm ⁶
Výsekový polomer zotvačnosti	$i_{\omega,M}$	22.4	mm
Súčinieľ tlmenia	λ	0.022677	1/mm
Prierezový modul	$W_{y,max}$	7030.79	cm ³
Prierezový modul	$W_{y,min}$	-7575.99	cm ³
Prierezový modul	W_z	-5797.41	cm ³
Výsekový prierezový modul	W_o	10456.80	cm ⁴
Statický moment	$S_{y,max}$	2252.16	cm ³
Statický moment	$S_{z,max}$	1831.43	cm ³
Výseková súradnica	α_{max}	158.94	cm ²
Výseková plocha (plošný moment 1. stupňa výseku)	$S_{\omega,max}$	3536.87	cm ⁴
Stabilitný parameter podľa Kindema	$r_{y,Kindem}$	-1.4	mm
Stabilitný parameter	$r_{M,z}$	6.7	mm
Poloha osi plochy vztiženej k S	f_z	0.9	mm
Plasticický prierezový modul	$W_{pl,y,max}$	9008.59	cm ³
Plasticický prierezový modul	$W_{pl,z,max}$	7311.83	cm ³
Plasticický tvarový súčinieľ	$\alpha_{pl,y,max}$	1.281	
Plasticický tvarový súčinieľ	$\alpha_{pl,z,max}$	1.261	
Vzperná križka (DIN 18880-2:2008-11)	VK_y,DIN	c	
Vzperná križka (DIN 18880-2:2008-11)	VK_z,DIN	c	
Vzperná križka podľa EN	VK_y,EN	c	
Vzperná križka podľa EN	VK_z,EN	c	
Vzperná križka podľa EN pre oceľ S 460	$VK_{y,EN,S460}$	c	
Vzperná križka podľa EN pre oceľ S 460	$VK_{z,EN,S460}$	c	

■ DOLNÝ PÁS - PRAVÝ

Uzavrené(B) 550/30/20/800/480/30/20/5/5



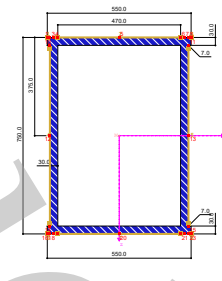
■ PRIEREZOVÉ CHARAKTERISTIKY

Uzavrené(B) 550/30/20/800/480/30/20/5/5

Prierezová charakteristika	Symbol	Hodnota	Jednotka
Upper flange width	b_o	550.0	mm
Upper flange thickness	t_o	30.0	mm
Web thickness	s	20.0	mm
Depth	h	800.0	mm
Lower flange width	b_u	480.0	mm
Lower flange thickness	t_u	30.0	mm
Lower overlap	u	20.0	mm
Upper fillet weld thickness	a_o	5.0	mm
Lower fillet weld thickness	a_u	5.0	mm
Plocha prierezu	A	617.00	cm ²
Šmyková plocha	A_y	216.45	cm ²
Šmyková plocha podľa EN 3	A_z	275.99	cm ²
Účinná šmyková plocha podľa EN 3	$A_{v,y}$	309.00	cm ²
Účinná šmyková plocha podľa EN 3	$A_{v,z}$	308.00	cm ²
Plocha jadra	$A_{jadrá}$	3750.00	cm ²
Vzdialenosť ľažiska	e_z	389.7	mm
Moment zotvačnosti (plošný moment 2. stupňa)	I_y	588865.00	cm ⁴
Moment zotvačnosti (plošný moment 2. stupňa)	I_z	261844.00	cm ⁴
Polárny moment zotvačnosti	I_p	850710.00	cm ⁴
Polárny moment zotvačnosti	$I_{p,M}$	850727.00	cm ⁴
Polomer zotvačnosti	i_y	308.9	mm
Polomer zotvačnosti	i_z	206.0	mm
Hlavný polomer zotvačnosti	i_u	308.9	mm
Hlavný polomer zotvačnosti	i_v	206.0	mm
Polárny polomer zotvačnosti	i_p	371.3	mm
Polárny polomer zotvačnosti	$i_{p,M}$	371.3	mm
Hmotnosť prierezu	G	484.3	kg/m
Plocha plášťa	$A_{plášť}$	2.740	m ² /m
Moment tuhosťi v kútení	I_t	520569.00	cm ⁴
St. Venantov moment tuhosťi v krútení	$I_{t,StVén}$	1338.71	cm ⁴
Bredtov moment tuhosťi v krútení	$I_{t,Bredt}$	519231.00	cm ⁴
Vzdialenosť stredu šmyku k ľažisku	Z_M	-1.6	mm
Výsekový moment zotvačnosti vztižnutý k M	I_{ω}	2.991E+07	cm ⁶
Výsekový polomer zotvačnosti	$i_{\omega,M}$	59.3	mm
Súčinieľ tlmenia	λ	0.008193	1/mm
Prierezový modul	$W_{y,max}$	14352.60	cm ³
Prierezový modul	$W_{y,min}$	-15110.10	cm ³
Prierezový modul	W_z	-9521.62	cm ³
Výsekový prierezový modul	W_o	66597.30	cm ⁴
Statický moment	$S_{y,max}$	4385.37	cm ³
Statický moment	$S_{z,max}$	2934.39	cm ³
Výseková súradnica	α_{max}	449.11	cm ²
Výseková plocha (plošný moment 1. stupňa výseku)	$S_{\omega,max}$	18962.70	cm ⁴
Stabilitný parameter podľa Kindema	$r_{y,Kindem}$	1.2	mm
Stabilitný parameter	$r_{M,z}$	4.4	mm
Poloha osi plochy vztižnutej k S	f_z	-1.0	mm
Plasticický prierezový modul	$W_{pl,y,max}$	17541.40	cm ³
Plasticický prierezový modul	$W_{pl,z,max}$	11696.80	cm ³
Plasticický tvarový súčinieľ	$\alpha_{pl,y,max}$	1.222	
Plasticický tvarový súčinieľ	$\alpha_{pl,z,max}$	1.228	
Vzperná križka (DIN 18880-2:2008-11)	VK_y,DIN	c	
Vzperná križka (DIN 18880-2:2008-11)	VK_z,DIN	c	
Vzperná križka podľa EN	VK_y,EN	c	
Vzperná križka podľa EN	VK_z,EN	c	
Vzperná križka podľa EN pre oceľ S 460	$VK_{y,EN,S460}$	c	
Vzperná križka podľa EN pre oceľ S 460	$VK_{z,EN,S460}$	c	

■ KONCOVÝ PRIEČNIK

Uzavrené(A) 550/30/30/470/750/550/30/7/7



■ PRIEREZOVÉ CHARAKTERISTIKY

Uzavrené(A) 550/30/30/470/750/550/30/7/7

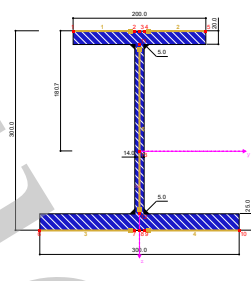
Prierezová charakteristika	Symbol	Hodnota	Jednotka
Upper flange width	b_o	550.0	mm
Upper flange thickness	t_o	30.0	mm
Web thickness	s	30.0	mm
Inner size	b_i	470.0	mm
Depth	h	750.0	mm
Lower flange width	b_u	550.0	mm
Lower flange thickness	t_u	30.0	mm
Upper fillet weld thickness	a_o	7.0	mm
Lower fillet weld thickness	a_u	7.0	mm
Plocha prierezu	A	744.00	cm ²
Šmyková plocha	A_y	232.48	cm ²
Šmyková plocha	A_z	383.77	cm ²
Účinná šmyková plocha podľa EN 3	$A_{v,y}$	330.00	cm ²
Účinná šmyková plocha podľa EN 3	$A_{v,z}$	414.00	cm ²
Plocha jadra	$A_{jadrá}$	3600.00	cm ²
Vzdialenosť ťažiska	e_z	375.0	mm
Moment zotrvačnosti (plošný moment 2. stupňa)	I_y	592182.00	cm ⁴
Moment zotrvačnosti (plošný moment 2. stupňa)	I_z	342248.00	cm ⁴
Polárny moment zotrvačnosti	I_o	934430.00	cm ⁴
Polárny moment zotrvačnosti	$I_{p,M}$	934430.00	cm ⁴
Polomer zotrvačnosti	i_y	282.1	mm
Polomer zotrvačnosti	i_z	214.5	mm
Polárny polomer zotrvačnosti	i_p	354.4	mm
Polárny polomer zotrvačnosti	$i_{p,M}$	354.4	mm
Hmotnosť prierezu	G	584.0	kg/m
Plocha pláštia	$A_{plášt}$	2.760	m ² /m
Moment tuhosťi v kútení	I_t	639620.00	cm ⁴
St. Venantov moment tuhosťi v krútení	$I_{t,StVén}$	2242.75	cm ⁴
Bredtov moment tuhosťi v krútení	$I_{t,Bredt}$	637377.00	cm ⁴
Vzdialenosť stredu šmyku k ťažisku	Z_M	0.0	mm
Výsekový moment zotrvačnosti vztiahnutý k M	I_o	7.736E+06	cm ⁶
Výsekový polomer zotrvačnosti	$i_{o,M}$	28.8	mm
Súčinatel' tlmenia	λ	0.017858	1/mm
Prierezový modul	$W_{y,max}$	15791.50	cm ³
Prierezový modul	$W_{y,min}$	-15791.50	cm ³
Prierezový modul	W_z	12445.40	cm ³
Výsekový prierezový modul	W_o	30663.60	cm ⁴
Statický moment	$S_{y,max}$	4755.38	cm ³
Statický moment	$S_{z,max}$	3721.88	cm ³
Výseková súradnica	α_{max}	252.30	cm ²
Výseková plocha (plošný moment 1. stupňa výseku)	$S_{o,max}$	8788.85	cm ⁴
Stabilitný parameter podľa Kindera	$r_{y,Kindem}$	0.0	mm
Stabilitný parameter	$r_{M,z}$	0.0	mm
Poloha osi plochy vztiahnutej k S	f_z	0.0	mm
Plasticický prierezový modul	$W_{pl,y,max}$	19021.50	cm ³
Plasticický prierezový modul	$W_{pl,z,max}$	14887.50	cm ³
Plasticický tvarový súčinatel'	$\alpha_{pl,y,max}$	1.205	
Plasticický tvarový súčinatel'	$\alpha_{pl,z,max}$	1.196	
Vzperná krvka (DIN 18880-2:2008-11)	$VK_{y,DIN}$	c	
Vzperná krvka (DIN 18880-2:2008-11)	$VK_{z,DIN}$	c	
Vzperná krvka podľa EN	$VK_{y,EN}$	c	
Vzperná krvka podľa EN	$VK_{z,EN}$	c	
Vzperná krvka podľa EN pre oceľ S 460	$VK_{y,EN,S460}$	c	
Vzperná krvka podľa EN pre oceľ S 460	$VK_{z,EN,S460}$	c	

STATICKÝ VÝPOČET

VARIANTA A

KONŠTRUKCIA

■ ŠTANDARDNÝ PRIEČNIK



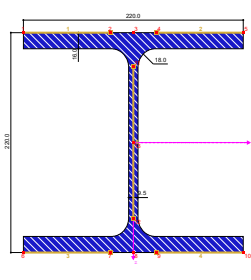
IU 300/200/20/14/300/25/5/5

■ PRIEREZOVÉ CHARAKTERISTIKY

Prierezová charakteristika

	Symbol	Hodnota	Jednotka
Depth	h	300.0	mm
Upper flange width	b_o	200.0	mm
Upper flange thickness	t_o	20.0	mm
Web thickness	s	14.0	mm
Lower flange width	b_u	300.0	mm
Lower flange thickness	t_u	25.0	mm
Upper fillet weld thickness	a_o	5.0	mm
Lower fillet weld thickness	a_u	5.0	mm
Plocha prierezu	A	150.70	cm^2
Šmyková plocha	A_y	86.71	cm^2
Šmyková plocha	A_z	35.87	cm^2
Vzdialenosť ďažiska	e_z	180.7	mm
Moment zotrvačnosti (plošný moment 2. stupňa)	I_y	22590.50	cm^4
Moment zotrvačnosti (plošný moment 2. stupňa)	I_z	6964.16	cm^4
Polárny moment zotrvačnosti	I_p	29554.60	cm^4
Polárny moment zotrvačnosti	$I_{p,M}$	33884.60	cm^4
Moment zotrvačnosti vziahanutý k menšej pásnici	$I_{y,SF}$	22847.70	cm^4
Polomer zotrvačnosti	i_y	122.4	mm
Polomer zotrvačnosti	i_z	68.0	mm
Polárny polomer zotrvačnosti	i_p	140.0	mm
Polárny polomer zotrvačnosti	$i_{p,M}$	150.1	mm
Hmotnosť prierezu	G	118.3	kg/m
Plocha pláštia	$A_{plášť}$	1.572	m^2/m
Moment tuhosť v kútení	I_t	223.40	cm^4
Vzdialenosť stredu šmyku k ďažisku	Z_M	53.6	mm
Výsekový moment zotrvačnosti vziahanutý k M	$I_{o,i}$	830008.00	cm^6
Súčinieľ tlmenia	λ	0.001019	$1/\text{mm}$
Prierezový modul	$W_{y,max}$	1893.24	cm^3
Prierezový modul	$W_{y,min}$	-1250.31	cm^3
Prierezový modul	W_z	464.28	cm^3
Výsekový prierezový modul	W_o	3700.75	cm^4
Statický moment	$S_{y,max}$	863.44	cm^3
Statický moment	$S_{z,max}$	281.11	cm^3
Výseková súradnica	Ω_{max}	224.28	cm^2
Výseková plocha (plošný moment 1. stupňa výseku)	$S_{o,max}$	2242.81	cm^4
Stabilitný parameter podľa Kindema	$r_{y,Kindem}$	-42.2	mm
Stabilitný parameter	$r_{M,z}$	-149.4	mm
Poloha osi plochy vziahanutej k S	f_z	91.8	mm
Plasticický prierezový modul	$W_{pl,y,max}$	1608.84	cm^3
Plasticický prierezový modul	$W_{pl,z,max}$	774.99	cm^3
Plasticický tvarový súčinieľ	$\alpha_{pl,y,max}$	1.287	
Plasticický tvarový súčinieľ	$\alpha_{pl,z,max}$	1.669	
Vzperná krivka (DIN 18880-2:2008-11)	$VK_{y,DIN}$	c	
Vzperná krivka (DIN 18880-2:2008-11)	$VK_{z,DIN}$	c	
Vzperná krivka podľa EN	$VK_{y,EN}$	b	
Vzperná krivka podľa EN	$VK_{z,EN}$	c	
Vzperná krivka podľa EN pre ocel S 460	$VK_{y,EN,S460}$	b	
Vzperná krivka podľa EN pre ocel S 460	$VK_{z,EN,S460}$	c	

■ CHODNÍKOVÁ KONZOLA



HEB 220

STATICKÝ VÝPOČET

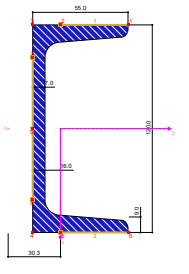
VARIANTA A

KONŠTRUKCIA

PRIEREZOVÉ CHARAKTERISTIKY

	Prierezová charakteristika	Symbol	Hodnota	Jednotka
Výška profilu		h	220.0	mm
Sírka profilu		b	220.0	mm
Hrubka stojiny		t _w	9.5	mm
Hrubka pásnice		t _f	16.0	mm
Vnútorný polomer zaoblenia		r	18.0	mm
Vnútorná výška medzi pásnicami		h _i	188.0	mm
Výška rovnéj časti stojiny		d	152.0	mm
Plocha prierezu		A	91.04	cm ²
Šmyková plocha		A _y	58.71	cm ²
Šmyková plocha		A _z	17.87	cm ²
Účinná šmyková plocha podľa EN 3		A _{v,y}	73.01	cm ²
Účinná šmyková plocha podľa EN 3		A _{v,z}	27.92	cm ²
Plasticická šmyková plocha		A _{pl,y}	70.40	cm ²
Plasticická šmyková plocha		A _{pl,z}	19.38	cm ²
Moment zotrvačnosti (plošný moment 2. stupňa)		I _y	8091.00	cm ⁴
Moment zotrvačnosti (plošný moment 2. stupňa)		I _z	2843.00	cm ⁴
Polomer zotrvačnosti		i _y	94.3	mm
Polomer zotrvačnosti		i _z	55.9	mm
Polárny polomer zotrvačnosti		i _p	109.6	mm
Polomer zotrvačnosti pásnice + 1/5 výšky stojiny		i _{zg}	59.5	mm
Objem		V	9104.00	cm ³ /m
Hmotnosť prierezu		G	71.5	kg/m
Plocha plášťa		A _{plášť}	1.270	m ² /m
Súčinieľ profilu		A _{m/V}	139.499	1/m
Moment tuhosť v kútení		I _t	76.57	cm ⁴
Výsekový moment zotrvačnosti		I _o	295400.00	cm ⁶
Prierezový modul		W _y	735.50	cm ³
Prierezový modul		W _z	258.50	cm ³
Výsekový prierezový modul		W _o	2632.80	cm ⁴
Statický moment		S _{y,max}	413.50	cm ³
Statický moment		S _{z,max}	96.80	cm ³
Výseková súradnice		Ω _{max}	112.20	cm ²
Výseková plocha (plošný moment 1. stupňa výseku)		S _{o,max}	987.36	cm ⁴
Plasticický prierezový modul		W _{pl,y}	827.00	cm ³
Plasticický prierezový modul		W _{pl,z}	393.90	cm ³
Plasticický výsekový prierezový modul		W _{pl,o}	3949.44	cm ⁴
Plasticický tvarový súčinieľ		α _{pl,y}	1.124	
Plasticický tvarový súčinieľ		α _{pl,z}	1.524	
Plasticický tvarový súčinieľ		α _{pl,o}	1.500	
Vzperná krivka (DIN 18880-2:2008-11)		VK _{y,DIN}	b	
Vzperná krivka (DIN 18880-2:2008-11)		VK _{z,DIN}	c	
Vzperná krivka pre oceľ s $f_y \geq 460 \text{ N/mm}^2$ (DIN 18880-2:2008-11)		VK _{y,DIN,S460}	a	
Vzperná krivka pre oceľ s $f_y \geq 460 \text{ N/mm}^2$ (DIN 18880-2:2008-11)		VK _{z,DIN,S460}	b	
Vzperná krivka podľa EN		VK _{y,EN}	b	
Vzperná krivka podľa EN		VK _{z,EN}	c	
Vzperná krivka podľa EN pre oceľ S 460		VK _{y,EN,S460}	a	
Vzperná krivka podľa EN pre oceľ S 460		VK _{z,EN,S460}	a	

OBVODOVÝ PÁS



DIN 1026-1:1963

PRIEREZOVÉ CHARAKTERISTIKY

	Prierezová charakteristika	Symbol	Hodnota	Jednotka
Výška profilu		h	120.0	mm
Sírka profilu		b	55.0	mm
Hrubka stojiny		t _w	7.0	mm
Hrubka pásnice		t _f	9.0	mm
Vnútorný polomer zaoblenia		r	9.0	mm
Vonkajší polomer zaoblenia		r ₁	4.5	mm
Plocha prierezu		A	17.00	cm ²
Šmyková plocha		A _y	5.12	cm ²
Šmyková plocha		A _z	6.95	cm ²
Plocha pásnic		A _G	7.14	cm ²
Účinná šmyková plocha podľa EN 3		A _{v,y}	11.02	cm ²
Účinná šmyková plocha podľa EN 3		A _{v,z}	8.54	cm ²
Plasticická šmyková plocha		A _{pl,y}	9.27	cm ²
Plasticická šmyková plocha		A _{pl,z}	7.77	cm ²
Vzdialenosť ľažiskovej osi z-z		e _y	16.0	mm
Moment zotrvačnosti (plošný moment 2. stupňa)		I _y	364.00	cm ⁴
Moment zotrvačnosti (plošný moment 2. stupňa)		I _z	43.20	cm ⁴
Polomer zotrvačnosti		i _y	46.2	mm
Polomer zotrvačnosti		i _z	15.9	mm

U 120

STATICKÝ VÝPOČET

VARIANTA A

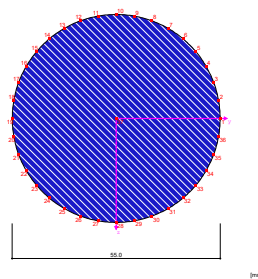
KONŠTRUKCIA

■ PRIEREZOVÉ CHARAKTERISTIKY

Prierezová charakteristika	Symbol	Hodnota	Jednotka
Polárny polomer zotrvačnosti	i_p	48.9	mm
Polárny polomer zotrvačnosti	$i_{p,M}$	57.5	mm
Objem	V	1700.00	cm^3/m
Hmotnosť prierezu	G	13.3	kg/m
Plocha pláštia	$A_{plášť}$	0.434	m^2/m
Súčinieľ profilu	A_m/V	255.294	1/m
Moment tuhosti v kútení	I_t	4.15	cm^4
Vzdialenosť stredu šmyku k ťažisku	y_M	-30.3	mm
Výsekový moment zotrvačnosti vziahanutý k M	I_o	900.00	cm^6
Prierezový modul	$W_{z,min}$	-27.00	cm^3
Prierezový modul	$W_{z,max}$	11.08	cm^3
Prierezový modul	W_y	60.67	cm^3
Prierezový modul	W_z	11.08	cm^3
Výsekový prierezový modul	W_o	51.86	cm^4
Statický moment	$S_{y,max}$	36.30	cm^3
Statický moment	$S_{z,max}$	5.80	cm^3
Výseková súradnica	Ω_{max}	17.36	cm^2
Výseková plocha (plošný moment 1. stupňa výseku)	$S_{o,max}$	23.66	cm^4
Stabilitný parameter podľa Kindera	$\Gamma_{Kindern}$	64.8	mm
Stabilitný parameter	$r_{M,y}$	125.4	mm
Plasticický prierezový modul (pre max. priateľný ohybový moment)	$W_{pl,y,max}$	72.73	cm^3
Plasticický prierezový modul (pre plne plasticický ohybový moment)	$W_{pl,y,pln.}$	66.51	cm^3
Plasticický prierezový modul	$W_{pl,z}$	21.26	cm^3
Plasticický výsekový prierezový modul	$W_{pl,0}$	99.40	cm^4
Plasticický tvarový súčinieľ (pre max. priateľný ohybový moment)	$\alpha_{pl,y,max}$	1.199	
Plasticický tvarový súčinieľ (pre plne plasticický ohyb. moment)	$\alpha_{pl,y,pln.}$	1.096	
Plasticický tvarový súčinieľ	$\alpha_{pl,z}$	1.919	
Plasticický tvarový súčinieľ	$\alpha_{pl,0}$	1.917	
Poloha stredu šmyku vziahanutá k ťažisku (na základe MKP)	$y_{M,FEM}$	-29.6	mm
Výsekový moment zotrvačnosti (na základe MKP)	$I_{o,FEM}$	896.60	cm^6
Vzperná krvka (DIN 18880-2:2008-11)	$VK_{y,DIN}$	c	
Vzperná krvka (DIN 18880-2:2008-11)	$VK_{z,DIN}$	c	
Vzperná krvka pre ocel s $f_y \geq 460 \text{ N/mm}^2$ (DIN 18880-2:2008-11)	$VK_{y,DIN,S460}$	c	
Vzperná krvka pre ocel s $f_y \geq 460 \text{ N/mm}^2$ (DIN 18880-2:2008-11)	$VK_{z,DIN,S460}$	c	
Vzperná krvka podľa EN	$VK_{y,EN}$	c	
Vzperná krvka podľa EN	$VK_{z,EN}$	c	
Vzperná krvka podľa EN pre ocel S 460	$VK_{y,EN,S460}$	c	
Vzperná krvka podľa EN pre ocel S 460	$VK_{z,EN,S460}$	c	
Priemer otvorov na pásnici	d_L	13.0	mm
Vzdialenosť otvorov v pásnici	w	37.0	mm
Plná plast. normállová sila podľa DIN 18800-1 pre $f_{y,d} = 21,82 \text{ kN/cm}^2$	$N_{pl,d}$	370.600	kN
Plná plasticická normállová sila podľa DIN 18800-1 pre $f_{y,d} = 21,82 \text{ kN/cm}^2$	$V_{pl,z,d}$	97.880	kN
Plný plasticický ohyb. moment podľa DIN 18800-1 pre $f_{y,d} = 21,82 \text{ kN/cm}^2$	$M_{pl,y,d}$	14.512	kNm

■ TIAHLO - PRAVÉ

Tyč 55

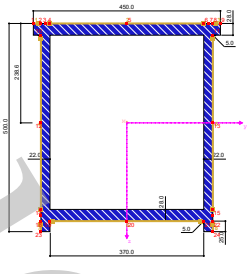


■ PRIEREZOVÉ CHARAKTERISTIKY

Prierezová charakteristika	Symbol	Hodnota	Jednotka
Priemer	D	55.0	mm
Plocha prierezu	A	23.76	cm^2
Šmyková plocha	A_y	19.96	cm^2
Moment zotrvačnosti (plošný moment 2. stupňa)	i_y	44.92	cm^4
Polomer zotrvačnosti	i_y	13.8	mm
Polárny polomer zotrvačnosti	i_p	19.4	mm
Hmotnosť prierezu	G	18.7	kg/m
Plocha pláštia	$A_{plášť}$	0.173	m^2/m
Moment tuhosti v kútení	I_t	89.84	cm^4
Prierezový modul	W_y	16.33	cm^3
Statický moment	$S_{y,max}$	13.86	cm^3
Plasticický prierezový modul	$W_{pl,y,max}$	27.73	cm^3
Vzperná krvka (DIN 18880-2:2008-11)	$VK_{y,DIN}$	c	
Vzperná krvka podľa EN	$VK_{y,EN}$	c	
Vzperná krvka podľa EN pre ocel S 460	$VK_{y,EN,S460}$	c	

■ HORNÝ PÁS - ĽAVÝ

Uzavrené(B) 450/28/22/500/370/28/25/5/5



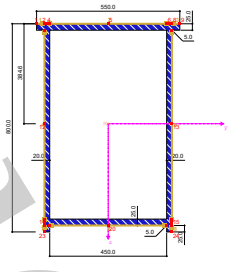
■ PRIEREZOVÉ CHARAKTERISTIKY

Uzavrené(B) 450/28/22/500/370/28/25/5/5

Prierezová charakteristika	Symbol	Hodnota	Jednotka
Upper flange width	b_o	450.0	mm
Upper flange thickness	t_o	28.0	mm
Web thickness	s	22.0	mm
Depth	h	500.0	mm
Lower flange width	b_u	370.0	mm
Lower flange thickness	t_u	28.0	mm
Lower overlap	u	25.0	mm
Upper fillet weld thickness	a_o	5.0	mm
Lower fillet weld thickness	a_u	5.0	mm
Plocha prierezu	A	437.28	cm ²
Šmyková plocha	A_y	180.32	cm ²
Šmyková plocha	A_z	176.40	cm ²
Účinná šmyková plocha podľa EN 3	$A_{v,y}$	229.60	cm ²
Účinná šmyková plocha podľa EN 3	$A_{v,z}$	207.68	cm ²
Plocha jadra	A_{jadra}	1752.24	cm ²
Vzdialenosť ľažiska	e_z	238.6	mm
Moment zotvačnosti (plošný moment 2. stupňa)	I_y	154850.00	cm ⁴
Moment zotvačnosti (plošný moment 2. stupňa)	I_z	112948.00	cm ⁴
Polárny moment zotvačnosti	I_p	267797.00	cm ⁴
Polárny moment zotvačnosti	$I_{p,M}$	267849.00	cm ⁴
Polomer zotvačnosti	i_y	188.2	mm
Polomer zotvačnosti	i_z	160.7	mm
Hlavný polomer zotvačnosti	i_u	188.2	mm
Hlavný polomer zotvačnosti	i_v	160.7	mm
Polárny polomer zotvačnosti	i_p	247.5	mm
Polárny polomer zotvačnosti	$i_{p,M}$	247.5	mm
Hmotnosť prierezu	G	343.3	kg/m
Plocha pláštia	$A_{plášt}$	1.950	m ² /m
Moment tuhosťi v kútení	I_t	179878.00	cm ⁴
St. Venantov moment tuhosťi v krútení	$I_{t,StVén}$	944.26	cm ⁴
Bredtov moment tuhosťi v krútení	$I_{t,Bredt}$	178934.00	cm ⁴
Vzdialenosť stredu šmyku k ľažisku	Z_M	-3.4	mm
Výsekový moment zotvačnosti vztižnutý k M	$I_{o,y}$	1.150E+06	cm ⁶
Výsekový polomer zotvačnosti	$i_{o,M}$	20.7	mm
Súčinieľ tlmenia	λ	0.024565	1/mm
Prierezový modul	$W_{y,max}$	5924.69	cm ³
Prierezový modul	$W_{y,min}$	-6488.92	cm ³
Prierezový modul	W_z	-5019.90	cm ³
Výsekový prierezový modul	W_o	8186.12	cm ⁴
Statický moment	$S_{y,max}$	1903.26	cm ³
Statický moment	$S_{z,max}$	1614.43	cm ³
Výseková súradnica	α_{max}	140.45	cm ²
Výseková plocha (plošný moment 1. stupňa výseku)	$S_{o,max}$	2868.60	cm ⁴
Stabilitný parameter podľa Kindema	$r_{y,Kindem}$	-0.2	mm
Stabilitný parameter	$r_{M,z}$	6.6	mm
Poloha osi plochy vztižnutej k S	f_z	-0.1	mm
Plasticický prierezový modul	$W_{pl,y,max}$	7613.04	cm ³
Plasticický prierezový modul	$W_{pl,z,max}$	6446.33	cm ³
Plasticický tvarový súčinieľ	$\alpha_{pl,y,max}$	1.285	
Plasticický tvarový súčinieľ	$\alpha_{pl,z,max}$	1.284	
Vzperná križka (DIN 18880-2:2008-11)	$VK_{y,DIN}$	c	
Vzperná križka (DIN 18880-2:2008-11)	$VK_{z,DIN}$	c	
Vzperná križka podľa EN	$VK_{y,EN}$	c	
Vzperná križka podľa EN	$VK_{z,EN}$	c	
Vzperná križka podľa EN pre oceľ S 460	$VK_{y,EN,S460}$	c	
Vzperná križka podľa EN pre oceľ S 460	$VK_{z,EN,S460}$	c	

DOLNÝ PÁS - ĽAVÝ

Uzavřené(B) 550/25/20/800/450/25/25/5/5



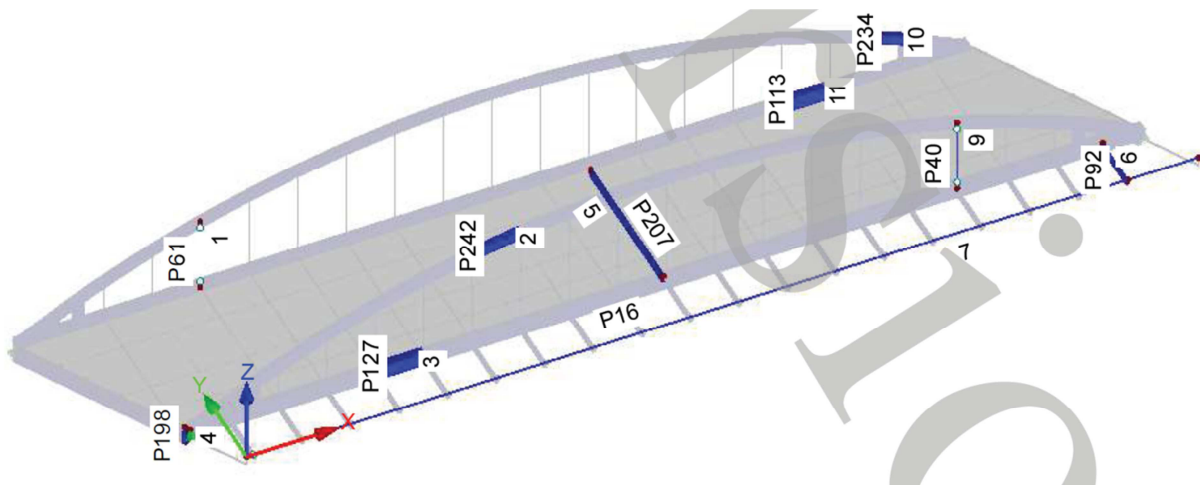
PRIEREZOVÉ CHARAKTERISTIKY

Uzavřené(B) 550/25/20/800/450/25/25/5/5

	Prierezová charakteristika	Symbol	Hodnota	Jednotka
Upper flange width	b_o	550.0	mm	
Upper flange thickness	t_o	25.0	mm	
Web thickness	s	20.0	mm	
Depth	h	800.0	mm	
Lower flange width	b_u	450.0	mm	
Lower flange thickness	t_u	25.0	mm	
Lower overlap	u	25.0	mm	
Upper fillet weld thickness	a_o	5.0	mm	
Lower fillet weld thickness	a_u	5.0	mm	
Plocha prierezu	A	560.00	cm ²	
Šmyková plocha	A_y	173.48	cm ²	
Šmyková plocha	A_z	276.62	cm ²	
Účinná šmyková plocha podľa EN 3	$A_{v,y}$	250.00	cm ²	
Účinná šmyková plocha podľa EN 3	$A_{v,z}$	310.00	cm ²	
Plocha jadra	A_{jadra}	3525.00	cm ²	
Vzdialenosť tăžiska	e_z	384.6	mm	
Moment zotvračnosti (plošný moment 2. stupňa)	I_y	508745.00	cm ⁴	
Moment zotvračnosti (plošný moment 2. stupňa)	I_z	224947.00	cm ⁴	
Polárny moment zotvračnosti	I_p	733691.00	cm ⁴	
Polárny moment zotvračnosti	$I_{p,M}$	733706.00	cm ⁴	
Polomer zotvračnosti	i_y	301.4	mm	
Polomer zotvračnosti	i_z	200.4	mm	
Hlavný polomer zotvračnosti	i_u	301.4	mm	
Hlavný polomer zotvračnosti	i_v	200.4	mm	
Polárny polomer zotvračnosti	i_p	362.0	mm	
Polárny polomer zotvračnosti	$i_{o,M}$	362.0	mm	
Hmotnosť prierezu	G	439.6	kg/m	
Plocha plášťa	$A_{plášť}$	2.750	m ² /m	
Moment tuhosti v kútení	I_t	442347.00	cm ⁴	
St. Venantov moment tuhosti v krútení	$I_{t,StVén}$	939.81	cm ⁴	
Bredtov moment tuhosti v krútení	$I_{t,Bredt}$	441408.00	cm ⁴	
Vzdialenosť stredu šmyku k tăžisku	Z_M	-1.5	mm	
Výsekový moment zotvračnosti vztiahnutý k M	I_{ω}	1.891E+07	cm ⁶	
Výsekový polomer zotvračnosti	$i_{o,M}$	50.8	mm	
Súčinatel' tlmenia	λ	0.009498	1/mm	
Prierezový modul	$W_{y,max}$	12247.00	cm ³	
Prierezový modul	$W_{y,min}$	-13227.90	cm ³	
Prierezový modul	W_z	-8179.88	cm ³	
Výsekový prierezový modul	W_{ω}	43928.50	cm ⁴	
Statický moment	$S_{y,max}$	3851.28	cm ³	
Statický moment	$S_{z,max}$	2638.59	cm ³	
Výseková súradnica	Ω_{max}	430.55	cm ²	
Výseková plocha (plošný moment 1. stupňa výseku)	$S_{\omega,max}$	13665.30	cm ⁴	
Stabilitný parameter podľa Kindema	$\Gamma_{y,Kindem}$	4.4	mm	
Stabilitný parameter	$\Gamma_{M,z}$	7.4	mm	
Poloha osi plochy vztiahnutej k S	f_z	-3.3	mm	
Plasticický prierezový modul	$W_{pl,y,max}$	15404.70	cm ³	
Plasticický prierezový modul	$W_{pl,z,max}$	10441.30	cm ³	
Plasticický tvarový súčinatel'	$\Omega_{pl,y,max}$	1.258		
Plasticický tvarový súčinatel'	$\Omega_{pl,z,max}$	1.276		
Vzperná križka (DIN 18880-2:2008-11)	$VK_{y,DIN}$	c		
Vzperná križka (DIN 18880-2:2008-11)	$VK_{z,DIN}$	c		
Vzperná križka podľa EN	$VK_{y,EN}$	c		
Vzperná križka podľa EN	$VK_{z,EN}$	c		
Vzperná križka podľa EN pre ocel' S 460	$VK_{y,EN,S460}$	c		
Vzperná križka podľa EN pre ocel' S 460	$VK_{z,EN,S460}$	c		

2.6 Vnútorné sily

V kapitolách 2.6. a 2.7 sú zobrazené vnútorné sily a následne posúdené prvky ktoré sú najviac využité pri daných kombináciach. Čísla najviac namáhaných prvkov a ich prierezy sú zobrazené na obrázku 2.6. Pri každom prvku sú dve čísla. Číslo s písmenom P značí číslo prvku a druhé, osamotené číslo, je číslo prierezu.



Obr.2.6 – Čísla najviac namáhaných prútov a ich čísla prierezu

STATICKÝ VÝPOČET

VARIANTA A

VÝSLEDKY

■ 2.6 PRÚTY - VNÚTORNÉ SÍLY

Kombinácie výsledkov

Typ prútu č.	Uzol č.	Miesto x x [m]		Síly [kN]			Momenty [kNm]			Príslušný zať. stav	
				N	V _y	V _z	M _T	M _y	M _z		
16	KV23	24.523	Max N	20.20	0.01	0.33	-0.00	0.68	0.03	ZS 1,2,9,28	
		48.598	Min N	0.03	-0.04	0.32	0.00	-0.04	-0.09	ZS 1,2,8	
		18	0.000	Max V _y	1.86	3.23	-0.54	-0.00	0.00	ZS 1,2,9,31	
		45.923	Min V _y	4.94	-0.42	0.70	0.00	0.22	-0.54	ZS 1,2,9,32	
		45.923	Max V _z	4.70	-0.39	1.12	0.00	-1.53	-0.50	ZS 1,2,9,23	
		3.123	Min V _z	5.33	0.29	-1.07	-0.00	-1.61	-0.39	ZS 1,2,9,28	
		40.573	Max M _T	11.20	-0.26	0.38	0.00	0.46	-0.34	ZS 1,2,30	
		18	0.000	Min M _T	1.86	3.22	-0.52	-0.00	0.00	ZS 1,2,9,30	
		11.148	Max M _y	10.86	0.09	0.10	0.00	1.84	0.13	ZS 1,2,9,18	
		8.473	Min M _y	11.06	0.23	-0.47	-0.00	-2.07	-0.30	ZS 1,2,9,29	
		48.598	Max M _z	4.94	-0.42	0.29	0.00	1.56	0.57	ZS 1,2,9,32	
		0.448	Min M _z	1.86	3.23	-0.61	-0.00	-0.26	-1.45	ZS 1,2,9,31	
18	KV26	24.523	Max N	18.35	-0.00	0.27	0.00	0.33	0.00	ZS 1,2,4,9,60,112,177	
		18	0.000	Min N	-1.58	-2.74	1.91	0.01	0.00	ZS 1,2,6,8,99,160	
		18	0.000	Max V _y	1.93	3.34	-0.52	-0.00	0.00	ZS 1,2,9,61,113,149	
		18	0.000	Min V _y	-1.58	-2.74	1.91	0.01	0.00	ZS 1,2,6,8,99,160	
		24.523	Max V _z	-1.52	-2.63	1.92	0.01	0.00	0.00	ZS 1,2,6,99,161	
		18	0.000	Min V _z	12.65	0.03	-1.81	-0.00	-1.47	ZS 1,2,6,9,47,104,164	
		29.873	Max M _T	-1.57	-2.72	1.91	0.01	0.00	0.00	ZS 1,2,6,8,100,160	
		11.148	Min M _T	9.95	-0.01	-1.31	-0.01	1.47	-0.01	ZS 1,2,5,8,40,103,164	
		32.548	Max M _y	8.18	0.11	-1.36	-0.00	3.39	0.15	ZS 1,2,7,9,47,99,162	
		0.448	Min M _y	10.01	-0.01	-1.72	-0.01	-2.67	0.02	ZS 1,2,5,8,45,102,163	
		48.598	Max M _z	-1.58	-2.74	1.84	0.01	0.84	1.23	ZS 1,2,6,8,99,160	
		0.448	Min M _z	1.93	3.34	-0.59	-0.00	-0.25	-1.50	ZS 1,2,9,61,113,149	
18	KV29	24.523	Max N	20.50	-0.01	0.31	0.00	0.32	-0.01	ZS 1,2,4,9,60,112,177	
		18	0.000	Min N	-0.85	-1.47	1.24	0.00	0.00	ZS 1,2,6,8,99,160	
		18	0.000	Max V _y	2.42	4.19	-0.77	-0.00	0.00	ZS 1,2,9,61,113,149	
		18	0.000	Min V _y	-0.85	-1.47	1.24	0.00	0.00	ZS 1,2,6,8,99,160	
		45.923	Max V _z	5.36	-0.45	1.30	0.00	-1.55	-0.58	ZS 1,2,4,9,62,105,170	
		24.523	Min V _z	13.89	0.03	-1.02	-0.00	-0.28	-0.03	ZS 1,2,6,9,47,104,164	
		18	0.000	Max M _T	-0.83	-1.44	1.23	0.00	0.00	ZS 1,2,6,8,100,160	
		18	0.000	Min M _T	2.41	4.18	-0.77	-0.00	0.00	ZS 1,2,9,62,113,149	
		11.148	Max M _y	9.07	0.11	-0.55	-0.00	2.68	0.15	ZS 1,2,7,9,47,99,162	
		43.248	Min M _y	8.48	-0.28	0.61	-0.00	-2.00	-0.35	ZS 1,2,5,9,49,104,168	
		48.598	Max M _z	5.73	-0.48	0.83	0.00	1.51	0.66	ZS 1,2,4,9,61,108,177	
		0.448	Min M _z	2.42	4.19	-0.84	-0.00	-0.36	-1.88	ZS 1,2,9,61,113,149	
40	KV23	50	4.497	Max N	396.42	0.00	0.00	-0.01	0.00	0.00	ZS 1,2,9,31
		49	0.000	Min N	234.49	0.00	0.00	-0.06	0.00	0.00	ZS 1,2,8
		49	0.000	Max V _y	234.89	0.00	0.00	-0.00	0.00	0.00	ZS 1,2
		49	0.000	Min V _y	234.89	0.00	0.00	-0.00	0.00	0.00	ZS 1,2
		49	0.000	Max V _z	234.89	0.00	0.00	-0.00	0.00	0.00	ZS 1,2
		49	0.000	Min V _z	234.89	0.00	0.00	-0.00	0.00	0.00	ZS 1,2
		49	0.000	Max M _T	347.70	0.00	0.00	0.01	0.00	0.00	ZS 1,2,9,23
		49	0.000	Min M _T	257.31	0.00	0.00	-0.06	0.00	0.00	ZS 1,2,8,14
		49	0.000	Max M _y	234.89	0.00	0.00	-0.00	0.00	0.00	ZS 1,2
		49	0.000	Min M _y	234.89	0.00	0.00	-0.00	0.00	0.00	ZS 1,2
		49	0.000	Max M _z	234.89	0.00	0.00	-0.00	0.00	0.00	ZS 1,2
		49	0.000	Min M _z	234.89	0.00	0.00	-0.00	0.00	0.00	ZS 1,2
18	KV26	50	4.497	Max N	457.22	0.00	0.00	-0.01	0.00	0.00	ZS 1,2,4,9,60,115,177
		49	0.000	Min N	234.21	0.00	0.00	-0.06	0.00	0.00	ZS 1,2,8,66,123
		49	0.000	Max V _y	234.89	0.00	0.00	-0.00	0.00	0.00	ZS 1,2
		49	0.000	Min V _y	234.89	0.00	0.00	-0.00	0.00	0.00	ZS 1,2
		49	0.000	Max V _z	234.89	0.00	0.00	-0.00	0.00	0.00	ZS 1,2
		49	0.000	Min V _z	234.89	0.00	0.00	-0.00	0.00	0.00	ZS 1,2
		49	0.000	Max M _T	308.69	0.00	0.00	0.00	0.00	0.00	ZS 1,2,6,9,104,166
		49	0.000	Min M _T	299.26	0.00	0.00	-0.06	0.00	0.00	ZS 1,2,8,40,116,128
		49	0.000	Max M _y	234.89	0.00	0.00	-0.00	0.00	0.00	ZS 1,2
		49	0.000	Min M _y	234.89	0.00	0.00	-0.00	0.00	0.00	ZS 1,2
		49	0.000	Max M _z	234.89	0.00	0.00	-0.00	0.00	0.00	ZS 1,2
		49	0.000	Min M _z	234.89	0.00	0.00	-0.00	0.00	0.00	ZS 1,2
18	KV29	50	4.497	Max N	498.80	0.00	0.00	-0.01	0.00	0.00	ZS 1,2,4,9,60,115,177
		49	0.000	Min N	234.10	0.00	0.00	-0.06	0.00	0.00	ZS 1,2,8,66,123
		49	0.000	Max V _y	234.89	0.00	0.00	-0.00	0.00	0.00	ZS 1,2
		49	0.000	Min V _y	234.89	0.00	0.00	-0.00	0.00	0.00	ZS 1,2
		49	0.000	Max V _z	234.89	0.00	0.00	-0.00	0.00	0.00	ZS 1,2
		49	0.000	Min V _z	234.89	0.00	0.00	-0.00	0.00	0.00	ZS 1,2
		49	0.000	Max M _T	333.10	0.00	0.00	0.00	0.00	0.00	ZS 1,2,6,9,104,166
		49	0.000	Min M _T	322.37	0.00	0.00	-0.06	0.00	0.00	ZS 1,2,8,40,116,128
		49	0.000	Max M _y	234.89	0.00	0.00	-0.00	0.00	0.00	ZS 1,2
		49	0.000	Min M _y	234.89	0.00	0.00	-0.00	0.00	0.00	ZS 1,2
		49	0.000	Max M _z	234.89	0.00	0.00	-0.00	0.00	0.00	ZS 1,2
		49	0.000	Min M _z	234.89	0.00	0.00	-0.00	0.00	0.00	ZS 1,2
61	KV23	92	4.497	Max N	315.33	0.00	0.00	-0.00	0.00	0.00	ZS 1,2,8,17
		91	0.000	Min N	159.41	0.00	0.00	-0.02	0.00	0.00	ZS 1,2,9
		91	0.000	Max V _y	159.75	0.00	0.00	-0.00	0.00	0.00	ZS 1,2
		91	0.000	Min V _y	159.75	0.00	0.00	-0.00	0.00	0.00	ZS 1,2
		91	0.000	Max V _z	159.75	0.00	0.00	-0.00	0.00	0.00	ZS 1,2
		91	0.000	Min V _z	159.75	0.00	0.00	-0.00	0.00	0.00	ZS 1,2
		91	0.000	Max M _T	272.81	0.00	0.00	0.00	0.00	0.00	ZS 1,2,25
		91	0.000	Min M _T	179.40	0.00	0.00	-0.02	0.00	0.00	ZS 1,2,9,34
		91	0.000	Max M _y	159.75	0.00	0.00	-0.00	0.00	0.00	ZS 1,2
		91	0.000	Min M _y	159.75	0.00	0.00	-0.00	0.00	0.00	ZS 1,2
		91	0.000	Max M _z	159.75	0.00	0.00	-0.00	0.00	0.00	ZS 1,2
		91	0.000	Min M _z	159.75	0.00	0.00	-0.00	0.00	0.00	ZS 1,2
18	KV26	92	4.497	Max N	335.59	0.00	0.00	-0.00	0.00	0.00	ZS 1,2,8,63,70,146
		91	0.000	Min N	152.04	0.00	0.00	-0.02	0.00	0.00	ZS 1,2,4,9,118
		91	0.000	Max V _y	159.75	0.00	0.00	-0.00	0.00	0.00	

STATICKÝ VÝPOČET

VARIANTA A

VÝSLEDKY

■ 2.6 PRÚTY - VNÚTORNÉ SÍLY

Kombinácie výsledkov

Typ prútu č.	KZS	Uzol č.	Miesto x x [m]		Síly [kN]			Momenty [kNm]			Príslušný zať. stav
61	KV26	91	0.000	Max M _T	305.07	0.00	0.00	-0.00	0.00	0.00	ZS 1,2,5,53,79,167
		91	0.000	Min M _T	221.30	0.00	0.00	-0.02	0.00	0.00	ZS 1,2,4,9,40,88,177
		91	0.000	Max M _y	159.75	0.00	0.00	-0.00	0.00	0.00	ZS 1,2
		91	0.000	Min M _y	159.75	0.00	0.00	-0.00	0.00	0.00	ZS 1,2
		91	0.000	Max M _z	159.75	0.00	0.00	-0.00	0.00	0.00	ZS 1,2
		91	0.000	Min M _z	159.75	0.00	0.00	-0.00	0.00	0.00	ZS 1,2
	KV29	92	4.497	Max N	371.40	0.00	0.00	-0.00	0.00	0.00	ZS 1,2,8,63,70,146
		91	0.000	Min N	155.75	0.00	0.00	-0.02	0.00	0.00	ZS 1,2,4,9,118
		91	0.000	Max V _y	159.75	0.00	0.00	-0.00	0.00	0.00	ZS 1,2
		91	0.000	Min V _y	159.75	0.00	0.00	-0.00	0.00	0.00	ZS 1,2
92	KV23	138	0.000	Max V _z	159.75	0.00	0.00	-0.00	0.00	0.00	ZS 1,2,5,53,79,167
		138	0.000	Min V _z	159.75	0.00	0.00	-0.00	0.00	0.00	ZS 1,2,4,9,40,88,177
		138	0.000	Max M _T	330.11	0.00	0.00	-0.02	0.00	0.00	ZS 1,2,5,53,79,167
		138	0.000	Min M _T	244.37	0.00	0.00	-0.02	0.00	0.00	ZS 1,2,4,9,40,88,177
		138	0.000	Max M _y	159.75	0.00	0.00	-0.00	0.00	0.00	ZS 1,2
		138	0.000	Min M _y	159.75	0.00	0.00	-0.00	0.00	0.00	ZS 1,2
		138	0.000	Max M _z	159.75	0.00	0.00	-0.00	0.00	0.00	ZS 1,2
	KV26	138	0.000	Max N	0.33	4.88	0.06	-0.03	-0.08	0.77	ZS 1,2,9,32
		138	0.000	Min N	0.17	2.46	-0.07	-0.00	-0.04	0.38	ZS 1,2,8
		138	0.000	Max V _y	0.33	4.88	0.06	-0.03	-0.08	0.77	ZS 1,2,9,32
		138	0.000	Min V _y	0.17	2.46	-0.07	-0.00	-0.04	0.38	ZS 1,2,8
		138	0.000	Max V _z	0.31	4.73	0.35	0.00	-0.08	0.75	ZS 1,2,9,24
		139	3.000	Min V _z	0.19	2.79	-54.30	0.00	-81.61	-7.95	ZS 1,2
		138	0.000	Max M _T	0.24	3.71	0.10	0.02	-0.06	0.58	ZS 1,2,9,16
113	KV29	138	0.000	Min M _T	0.29	4.24	0.06	-0.04	-0.07	0.67	ZS 1,2,8,32
		138	0.000	Max M _y	0.17	2.46	-0.07	-0.00	-0.04	0.38	ZS 1,2,8
		139	3.000	Min M _y	0.19	2.79	-54.30	0.00	-81.61	-7.95	ZS 1,2
		138	0.000	Max M _z	0.32	4.87	0.29	-0.01	-0.08	0.77	ZS 1,2,9,27
		139	3.000	Min M _z	0.33	4.88	-54.15	-0.03	-81.21	-13.89	ZS 1,2,9,32
		138	0.000	Max N	0.35	5.07	0.71	0.02	-0.08	0.80	ZS 1,2,4,9,61,108,177
		138	0.000	Min N	0.17	2.46	-0.07	-0.00	-0.04	0.38	ZS 1,2,8
	KV26	138	0.000	Max V _y	0.33	5.09	0.33	-0.00	-0.08	0.80	ZS 1,2,5,9,61,109,177
		138	0.000	Min V _y	0.17	2.46	-0.07	-0.00	-0.04	0.38	ZS 1,2,8
		138	0.000	Max V _z	0.34	4.91	0.73	0.02	-0.08	0.77	ZS 1,2,4,9,61,105,170
		139	3.000	Min V _z	0.25	3.55	-108.07	0.03	-161.69	-10.12	ZS 1,2,4,38,116,123
		138	0.000	Max M _T	0.27	3.87	0.51	0.04	-0.07	0.60	ZS 1,2,4,9,45,70,133
		138	0.000	Min M _T	0.27	4.08	0.17	-0.02	-0.07	0.64	ZS 1,2,6,8,60,89,148
		138	0.000	Max M _y	0.17	2.46	-0.07	-0.00	-0.04	0.38	ZS 1,2,8
113	KV29	139	3.000	Min M _y	0.25	3.55	-108.07	0.03	-161.69	-10.12	ZS 1,2,4,38,116,123
		138	0.000	Max M _z	0.33	5.09	0.33	-0.00	-0.08	0.80	ZS 1,2,5,9,61,109,177
		139	3.000	Min M _z	0.33	5.09	-53.88	-0.00	-80.41	-14.45	ZS 1,2,5,9,61,109,177
		138	0.000	Max N	0.38	5.67	0.55	0.01	-0.09	0.90	ZS 1,2,4,9,61,108,177
		138	0.000	Min N	0.17	2.46	-0.07	-0.00	-0.04	0.38	ZS 1,2,8
		138	0.000	Max V _y	0.37	5.68	0.39	-0.00	-0.09	0.90	ZS 1,2,5,9,61,109,177
		138	0.000	Min V _y	0.17	2.46	-0.07	-0.00	-0.04	0.38	ZS 1,2,8
	KV26	138	0.000	Max V _z	0.36	5.32	0.60	0.01	-0.09	0.84	ZS 1,2,4,9,61,105,170
		139	3.000	Min V _z	0.23	3.44	-75.89	0.02	-113.89	-9.80	ZS 1,2,4,38,116,123
		138	0.000	Max M _T	0.25	3.81	0.27	0.03	-0.06	0.59	ZS 1,2,4,9,45,70,133
		138	0.000	Min M _T	0.31	4.66	0.21	-0.02	-0.07	0.74	ZS 1,2,6,8,60,89,148
		138	0.000	Max M _y	0.17	2.46	-0.07	-0.00	-0.04	0.38	ZS 1,2,8
		139	3.000	Min M _y	0.23	3.44	-75.89	0.02	-113.89	-9.80	ZS 1,2,4,38,116,123
		138	0.000	Max M _z	0.37	5.68	0.39	-0.00	-0.09	0.90	ZS 1,2,5,9,61,109,177
113	KV23	139	3.000	Min M _z	0.37	5.68	-53.83	-0.00	-80.25	-16.12	ZS 1,2,5,9,61,109,177
		110	0.000	Max N	2119.66	-15.53	28.59	-288.96	+219.24	-18.77	ZS 1,2,8,20
		110	0.000	Min N	954.05	-8.29	-23.88	-20.63	27.54	-15.33	ZS 1,2,9
		110	0.000	Max V _y	1805.15	-5.41	-304.06	-76.66	1367.25	-8.06	ZS 1,2,8,27
		79	2.670	Min V _y	1167.89	-26.23	81.74	353.41	1788.57	27.23	ZS 1,2,9,35
		110	0.000	Max V _z	1389.54	-20.08	98.31	337.91	1534.51	-30.79	ZS 1,2,8,35
		79	2.670	Min V _z	1583.51	-11.57	-320.63	-61.16	547.07	10.81	ZS 1,2,9,27
	KV26	110	0.000	Max M _T	1222.05	-15.53	59.63	366.11	2113.17	-26.56	ZS 1,2,9,34
		110	0.000	Min M _T	2040.73	-14.75	73.99	-339.87	-2174.01	-18.47	ZS 1,2,8,17
		110	0.000	Max M _y	1348.15	-12.07	-121.43	268.19	3034.89	-25.57	ZS 1,2,9,31
		110	0.000	Min M _y	2113.59	-15.46	51.34	-317.28	-2300.15	-18.96	ZS 1,2,8,19
		79	2.670	Max M _z	1858.80	-21.41	-56.85	-197.73	-1856.57	27.43	ZS 1,2,9,22
		110	0.000	Min M _z	1167.89	-20.50	95.23	353.41	1552.33	-35.16	ZS 1,2,9,35
		110	0.000	Max N	2209.88	-14.06	-72.54	-101.32	-362.99	-18.10	ZS 1,2,8,62,74,149
113	KV29	110	0.000	Min N	898.82	-7.06	-20.04	-43.76	44.21	-15.39	ZS 1,2,4,9
		110	0.000	Max V _y	1252.13	-0.47	-79.58	-108.30	134.59	-1.22	ZS 1,2,5,8,85,170
		79	2.670	Min V _y	1863.42	-34.00	-26.92	64.22	246.06	43.21	ZS 1,2,9,54,87,149
		110	0.000	Max V _z	1682.78	-14.12	74.40	-94.74	-643.91	-22.67	ZS 1,2,4,8,44,88,133
		79	2.670	Min V _z	1777.97	-13.00	-184.00	-196.80	-621.48	13.45	ZS 1,2,5,9,52,84,142
		110	0.000	Max M _T	1761.64	-22.18	26.14	133.75	413.11	-35.23	ZS 1,2,9,65,88
		110	0.000	Min M _T	1779.43	-11.42	26.60	-291.33	-1526.57	-15.82	ZS 1,2,5,8,44,72,169
	KV26	110	0.000	Max M _y	1823.40	-7.63	-122.06	-53.86	724.85	-12.95	ZS 1,2,4,9,57,85,177
		110	0.000	Min M _y	1933.27	-14.12	18.82	-249.87	-1757.78	-17.50	ZS 1,2,6,8,47,74,137
		79	2.670	Max M _z	1834.85	-33.66	-23.03	40.17	38.07	43.23	ZS 1,2,9,54,87,138
		110	0.000	Min M _z	1808.19	-27.04	-9.57	41.09	316.57	-39.98	ZS 1,2,4,9,54,87,149
		110	0.000	Max N	2423.66	-15.67	-73.40	-130.89	-490.41	-20.81	ZS 1,2,8,62,74,149
		110	0.000	Min N	931.96	-7.79	-22.35	-29.89	34.20	-15.35	ZS 1,2,4,9
		110	0.000	Max V _y	1404.95	0.92	-106.67	-133.78	594.50	1.29	ZS 1,2,5,8,85,170
113	KV29	79	2.670	Min V _y	2048.92	-37.47	-21.30	86.44	452.89	47.33	ZS 1,2,9,54,87,149
		110	0.000	Max V _z	1816.05	-16.40	95.99	-79.79	-783.55	-25.59	ZS 1,2,4,8,44,88,133
		79	2								

■ 2.6 PRÚTY - VNÚTORNÉ SÍLY

Kombinácie výsledkov

Typ prútu	Uzol	Miesto x		Síly [kN]			Momenty [kNm]			Príslušný zať. stav
č.	KZS	č.	x [m]	N	V _y	V _z	M _T	M _y	M _z	
113	KV29	110	0.000	Min M _z	2026.83	-31.25	-6.27	77.19	498.41	-45.09 ZS 1,2,4,9,54,87,149
127	KV23	153	0.000	Max N	2520.88	-1.64	321.64	-220.77	-536.57	4.93 ZS 1,2,8,23
		153	0.000	Min N	1492.37	1.63	54.42	31.29	-65.04	0.94 ZS 1,2,9
		61	2.670	Max V _y	2513.65	9.81	335.76	-193.71	1152.20	-9.62 ZS 1,2,8,22
		153	0.000	Min V _y	2018.70	-5.51	-144.64	539.81	2423.10	-4.56 ZS 1,2,8,14
		153	0.000	Max V _z	2513.65	4.08	350.63	-193.71	235.94	8.92 ZS 1,2,8,22
		61	2.670	Min V _z	2011.26	-2.37	-164.02	532.68	1992.46	2.43 ZS 1,2,9,14
		153	0.000	Max M _t	2018.70	-5.51	-144.64	539.81	2423.10	-4.56 ZS 1,2,8,14
		153	0.000	Min M _t	2335.35	2.71	67.71	-268.75	-2596.87	2.04 ZS 1,2,29
		61	2.670	Max M _y	2268.73	6.08	7.35	383.22	3208.68	-4.74 ZS 1,2,8,17
		153	0.000	Min M _y	2331.50	2.82	65.59	-268.17	-2603.97	1.60 ZS 1,2,9,29
		153	0.000	Max M _z	1830.63	3.80	-85.40	380.48	1261.92	10.24 ZS 1,2,12
		61	2.670	Min M _z	2485.49	5.12	308.18	-116.43	1909.16	-12.47 ZS 1,2,9,21
	KV26	153	0.000	Max N	2691.81	-1.21	115.33	62.19	-461.71	-2.57 ZS 1,2,4,8,60,107,147
		153	0.000	Min N	1487.56	1.63	53.96	29.97	-72.63	1.01 ZS 1,2,9,93
		61	2.670	Max V _y	2329.22	13.94	85.51	23.69	1649.24	-25.00 ZS 1,2,7,8,62,73,131
		153	0.000	Min V _y	1962.28	-9.94	-22.61	289.59	1817.51	-17.13 ZS 1,2,8,43,72,129
		153	0.000	Max V _z	2416.17	6.15	254.29	143.59	1463.15	8.20 ZS 1,2,5,8,51,101,166
		61	2.670	Min V _z	1785.23	-4.38	-161.41	298.11	1794.83	1.10 ZS 1,2,7,9,39,99,156
		153	0.000	Max M _t	1929.28	-6.68	-58.52	420.76	1845.12	-6.65 ZS 1,2,5,8,39,71,130
		153	0.000	Min M _t	2236.94	4.72	42.12	-88.16	-132.35	3.93 ZS 1,2,7,62,114
		61	2.670	Max M _y	2135.73	10.83	209.94	219.60	2717.15	-15.46 ZS 1,2,6,8,45,101,161
		153	0.000	Min M _y	2024.43	2.36	66.27	39.69	-688.58	1.37 ZS 1,2,4,9,111,177
		153	0.000	Max M _z	2219.49	6.22	-13.79	132.38	737.92	14.30 ZS 1,2,57,70,127
		61	2.670	Min M _z	2329.85	10.76	80.15	25.84	1658.39	-25.88 ZS 1,2,7,9,56,73,131
	KV29	153	0.000	Max N	2912.10	-0.98	127.77	42.25	-565.40	-2.20 ZS 1,2,4,8,60,107,147
		153	0.000	Min N	1485.94	1.63	53.80	29.53	-75.18	1.03 ZS 1,2,9,93
		61	2.670	Max V _y	2456.86	16.14	99.85	83.77	2132.39	-29.13 ZS 1,2,7,8,62,73,131
		153	0.000	Min V _y	2059.15	-12.68	-66.74	374.69	2443.38	-22.80 ZS 1,2,8,43,72,129
		153	0.000	Max V _z	2579.22	8.06	307.12	146.74	1876.19	10.66 ZS 1,2,5,8,51,101,166
		61	2.670	Min V _z	1848.48	-6.85	-225.86	384.30	2072.31	5.66 ZS 1,2,7,9,39,99,156
		153	0.000	Max M _t	1961.74	-7.97	-123.06	473.85	2365.33	-7.73 ZS 1,2,5,8,39,71,130
		153	0.000	Min M _t	2274.36	4.43	47.95	-101.27	-532.83	4.79 ZS 1,2,7,62,114
		61	2.670	Max M _y	2251.71	12.67	252.40	229.45	3310.90	-17.69 ZS 1,2,6,8,45,101,161
		153	0.000	Min M _y	2232.59	2.61	67.53	8.30	-869.39	2.01 ZS 1,2,4,9,111,177
		153	0.000	Max M _z	2277.24	7.32	-58.00	207.90	1122.08	18.12 ZS 1,2,57,70,127
		61	2.670	Min M _z	2457.49	12.96	94.49	85.92	2141.53	-30.01 ZS 1,2,7,9,56,73,131
198	KV23	35	0.000	Max N	-455.41	1659.43	-664.77	1003.34	618.55	-232.62 ZS 1,2,8,10
		35	0.000	Min N	-1750.98	2265.22	-208.22	483.07	383.11	-623.55 ZS 1,2,9,23
		35	0.000	Max V _y	-1264.54	2881.04	-229.80	733.84	116.50	-637.68 ZS 1,2,8,21
		35	0.000	Min V _y	-911.94	1072.74	-690.51	727.09	767.82	-231.50 ZS 1,2,9,10
		35	0.000	Max V _z	-991.88	2080.85	-59.51	944.21	914.16	-348.95 ZS 1,2,8,31
		14	0.346	Min V _z	-947.19	1233.62	-789.26	812.05	643.95	-695.13 ZS 1,2,9,12
		35	0.000	Max M _t	-706.76	2230.00	-638.72	1181.18	751.47	-339.96 ZS 1,2,8,15
		35	0.000	Min M _t	-1080.08	1086.74	-207.15	397.06	474.14	-288.24 ZS 1,2,9
		35	0.000	Max M _y	-1448.41	1494.16	-85.25	667.96	1063.43	-347.83 ZS 1,2,9,31
		14	0.346	Min M _y	-1230.74	2855.34	-251.28	738.82	32.84	-1616.79 ZS 1,2,8,20
		35	0.000	Max M _z	-707.07	1437.94	-645.13	966.13	778.24	-214.43 ZS 1,2,11
		14	0.346	Min M _z	-1264.54	2881.04	-232.12	733.84	36.49	-1635.72 ZS 1,2,8,21
	KV26	35	0.000	Max N	-478.81	1702.71	-600.40	1080.15	663.45	-208.77 ZS 1,2,8,38,67,125
		35	0.000	Min N	-1770.68	2246.35	-317.77	748.69	544.22	-540.64 ZS 1,2,4,9,65,103,176
		35	0.000	Max V _y	-1251.31	2899.02	-339.06	953.57	250.05	-578.15 ZS 1,2,5,8,58,75,145
		35	0.000	Min V _y	-1020.17	1044.53	-548.02	462.94	563.63	-295.17 ZS 1,2,9,94,124
		35	0.000	Max V _z	-683.99	1684.06	-140.25	781.49	560.39	-265.67 ZS 1,2,8,113
		14	0.346	Min V _z	-1147.13	1354.07	-745.52	603.71	136.09	-818.83 ZS 1,2,6,9,38,94,134
		35	0.000	Max M _t	-1055.63	2616.37	-541.25	1303.91	715.32	-411.32 ZS 1,2,4,8,61,67,149
		35	0.000	Min M _t	-1392.58	1518.97	-362.42	202.28	-120.16	-493.40 ZS 1,2,6,9,99,161
		35	0.000	Max M _y	-1476.48	1946.71	-252.62	931.70	1047.34	-385.21 ZS 1,2,9,61,113,149
		14	0.346	Min M _y	-951.38	2124.20	-335.63	487.83	-391.47	-1232.56 ZS 1,2,6,8,100,162
		35	0.000	Max M _z	-717.78	1439.43	-570.59	1017.51	756.35	-181.58 ZS 1,2,39,67,124
		14	0.346	Min M _z	-1237.60	2875.72	-389.75	806.12	-149.20	-1614.54 ZS 1,2,6,8,58,100,168
	KV29	35	0.000	Max N	-438.18	1691.24	-740.51	1162.36	736.73	-196.46 ZS 1,2,8,38,67,125
		35	0.000	Min N	-1885.99	2431.22	-360.48	771.78	645.32	-606.15 ZS 1,2,4,9,65,103,176
		35	0.000	Max V _y	-1351.73	3102.08	-372.40	1042.23	454.87	-625.59 ZS 1,2,5,8,58,75,145
		35	0.000	Min V _y	-990.91	1026.19	-697.66	498.89	606.54	-296.10 ZS 1,2,9,94,124
		35	0.000	Max V _z	-704.33	1687.64	-126.39	817.91	639.67	-257.70 ZS 1,2,8,113
		14	0.346	Min V _z	-1124.48	1391.49	-892.98	677.82	272.78	-842.58 ZS 1,2,6,9,38,94,134
		35	0.000	Max M _t	-1076.35	2747.03	-666.57	1414.38	919.42	-438.60 ZS 1,2,4,8,61,67,149
		35	0.000	Min M _t	-1445.11	1630.39	-423.02	188.21	-83.33	-545.31 ZS 1,2,6,9,99,161
		35	0.000	Max M _y	-1651.97	2169.01	-286.56	1044.40	1232.88	-435.29 ZS 1,2,9,61,113,149
		14	0.346	Min M _y	-1018.00	2252.85	-395.28	477.50	-378.61	-1333.30 ZS 1,2,6,8,100,162
		35	0.000	Max M _z	-678.48	1422.64	-703.07	1091.58	819.38	-169.00 ZS 1,2,39,67,124
		14	0.346	Min M _z	-1359.14	3055.09	-437.16	829.65	-67.10	-1741.08 ZS 1,2,6,8,58,100,168
207	KV23	4.593	Max N	2763.51	0.70	-18.69	0.01	214.67	0.13	ZS 1,2,9,25
		184	0.000	Min N	-19.08	-36.26	239.98	0.14	-55.72	-0.89 ZS 1,2,9,28
		184	0.000	Max V _y	113.92	28.14	154.04	-0.19	29.92	2.46 ZS 1,2,8,21
		184	0.000	Min V _y	7.02	-45.29	190.39	0.18	-34.78	-1.13 ZS 1,2,9,29
		184	0.000	Max V _z	12.50	-6.38	267.62	0.05	-49.20	-0.33 ZS 1,2,8,26
		27	8.675	Min V _z	146.12	0.31	-239.72	0.07	29.67	1.22 ZS 1,2,9,24
		27	8.675	Max M _t	128.77	-4.75	-160.25	0.24	34.36	4.59 ZS 1,2,8,21
		27	8.675	Min M _t	194.65	14.17	-147.35	-0.24	78.47	-4.22 ZS 1,2,9,29
		4.593	Max M _y	2763.51	0.70	-18.69	0.01	214.67	0.13	ZS 1,2,9,25
		184	0.000	Min M _y	-6.64	-18.55	263.75	0.09	-58.42	-0.48 ZS 1,2,27
		27	8.675	Max M _z	128.77	-4.75	-160.25	0.24	34.36	4.59 ZS 1,2,8,21
		27	8.675	Min M _z	194.65	14.17	-147.35	-0.24	78.47	-4.22 ZS 1,2,9,29
	KV26	4.593	Max N	1758.21	1.08	-5.02	-0.03	133.94	0.00	ZS 1,

STATICKÝ VÝPOČET

VARIANTA A

VÝSLEDKY

■ 2.6 PRÚTY - VNÚTORNÉ SÍLY

Kombinácie výsledkov

Typ prútu č.	KZS	Uzol č.	Miesto x x [m]		Síly [kN]			Momenty [kNm]			Príslušný zať. stav
207	KV26	184	0.000	Max V _z	15.15	29.29	300.89	-0.16	-43.60	-1.83	ZS 1,2,4,8,57,107,177
		27	8.675	Min V _z	93.63	14.50	-238.12	-0.01	6.96	0.05	ZS 1,2,9,52,80,139
		184	0.000	Max M _T	75.89	-56.12	253.48	0.24	-4.79	2.63	ZS 1,2,6,8,64,108,167
		184	0.000	Min M _T	37.75	26.03	263.59	-0.25	-26.44	0.24	ZS 1,2,4,9,46,107,136
			4.593	Max M _y	1757.72	1.02	-4.90	-0.01	133.98	0.01	ZS 1,2,7,9,57,80,149
		184	0.000	Min M _y	-103.66	-9.28	228.15	-0.01	-94.16	0.90	ZS 1,2,4,57,80
		184	0.000	Max M _z	36.70	-67.95	241.37	0.08	-23.98	7.74	ZS 1,2,4,9,46,108,177
		184	0.000	Min M _z	82.72	36.29	281.42	-0.09	-5.70	-4.58	ZS 1,2,6,8,59,107,164
			4.082	Max N	2181.19	1.24	6.84	-0.03	166.25	0.13	ZS 1,2,8,57,80,149
		184	0.000	Min N	-69.83	-25.85	229.65	-0.00	-74.25	1.67	ZS 1,2,4,9,80
234	KV29	184	0.000	Max V _y	154.50	64.01	332.65	-0.25	24.51	-3.51	ZS 1,2,8,50,107,136
		184	0.000	Min V _y	105.90	-103.17	301.55	0.21	2.93	8.36	ZS 1,2,4,9,108,177
		184	0.000	Max V _z	121.54	40.45	379.39	-0.20	-0.05	-2.81	ZS 1,2,4,8,57,107,177
		27	8.675	Min V _z	81.24	14.03	-272.72	0.01	-5.60	0.43	ZS 1,2,9,52,80,139
		184	0.000	Max M _T	148.46	-73.96	320.21	0.29	22.63	4.12	ZS 1,2,6,8,64,108,167
		184	0.000	Min M _T	133.35	46.67	321.63	-0.30	15.12	-1.46	ZS 1,2,4,9,46,107,136
		184	0.000	Max M _y	2181.03	1.35	6.94	-0.03	166.29	0.13	ZS 1,2,9,57,80,149
		184	0.000	Min M _y	-64.14	-4.90	259.47	0.01	-76.90	0.34	ZS 1,2,4,57,80
		184	0.000	Max M _z	140.32	-86.30	307.80	0.14	19.95	9.12	ZS 1,2,4,9,46,108,177
		184	0.000	Min M _z	147.45	53.47	351.37	-0.17	17.74	-5.71	ZS 1,2,6,8,59,107,164
242	KV23	171	0.000	Max N	-3152.57	-21.81	44.68	0.14	-42.87	137.45	ZS 1,2,9
		171	1.481	Min N	-5993.90	0.09	107.49	-3.49	-380.77	-3.05	ZS 1,2,8,21
		171	0.000	Max V _y	3800.16	1.71	23.40	17.89	605.73	-47.40	ZS 1,2,33
		171	1.481	Min V _y	5779.92	-24.11	67.46	-10.19	-306.16	195.07	ZS 1,2,9,24
		171	0.000	Max V _z	-5749.05	-21.59	127.83	0.05	-508.06	128.88	ZS 1,2,9,18
		171	1.481	Min V _z	-4809.69	0.66	-21.43	5.43	235.52	-17.84	ZS 1,2,8,29
		171	0.000	Max M _T	-3612.18	1.67	35.94	18.35	554.99	-46.32	ZS 1,2,8,34
		171	0.000	Min M _T	-5777.48	-22.60	72.76	-10.19	-409.99	160.48	ZS 1,2,9,24
		171	1.481	Max M _y	-3793.60	-22.17	18.30	14.30	638.57	137.38	ZS 1,2,9,33
		171	0.000	Min M _y	-5967.30	0.30	120.73	-1.22	-549.38	-9.52	ZS 1,2,8,20
242	KV26	171	1.481	Max M _z	-5779.92	-24.11	67.46	-10.19	-306.16	195.07	ZS 1,2,9,24
		171	0.000	Min M _z	-3606.15	1.71	30.65	18.01	606.52	-49.99	ZS 1,2,34
		171	0.000	Max N	-3012.45	-21.48	52.48	3.09	40.05	128.33	ZS 1,2,4,9,118
		171	1.481	Min N	6172.32	0.68	89.48	4.39	-33.68	-19.59	ZS 1,2,8,60,75,146
		171	0.000	Max V _y	-4094.14	1.52	81.21	9.98	-9.10	-41.85	ZS 1,2,4,41,115,177
		171	1.481	Min V _y	-3551.86	-23.68	44.64	-4.00	-142.55	180.64	ZS 1,2,6,9,104,165
		171	0.000	Max V _z	-5251.22	-21.49	110.14	-0.20	-371.70	128.03	ZS 1,2,4,9,47,72,136
		171	1.481	Min V _z	-3278.66	0.58	20.91	4.02	40.22	-16.71	ZS 1,2,5,8,85
		171	0.000	Max M _T	-4099.07	1.42	87.33	11.21	4.85	-39.64	ZS 1,2,4,8,40,89,149
		171	0.000	Min M _T	-5371.90	-21.99	92.31	-4.92	-430.47	142.54	ZS 1,2,5,9,49,105,167
242	KV29	171	1.481	Max M _y	-5576.70	-22.61	82.25	5.73	230.47	150.28	ZS 1,2,4,9,60,88,177
		171	0.000	Min M _y	-5781.30	0.36	101.91	0.57	-463.08	-10.88	ZS 1,2,6,8,50,75,138
		171	1.481	Max M _z	-3716.70	-23.67	46.55	-4.08	-136.83	180.73	ZS 1,2,6,9,78,166
		171	1.481	Min M _z	-3978.55	1.51	72.28	10.43	118.93	-44.32	ZS 1,2,4,40,115,177
		171	0.000	Max N	-3080.97	-21.46	54.70	4.04	56.47	127.86	ZS 1,2,4,9,118
		171	1.481	Min N	-6797.87	0.72	99.02	3.98	-65.10	-20.94	ZS 1,2,8,60,75,146
		171	0.000	Max V _y	-4511.25	1.70	86.99	11.63	27.17	-46.90	ZS 1,2,4,41,115,177
		171	1.481	Min V _y	-3936.35	-23.75	53.44	5.31	-205.34	182.48	ZS 1,2,6,9,104,165
		171	0.000	Max V _z	-5802.84	-21.59	123.53	-1.04	-480.49	130.30	ZS 1,2,4,9,47,72,136
		171	1.481	Min V _z	-3373.79	0.69	17.90	5.23	90.32	-19.80	ZS 1,2,5,8,85
242	KV23	58	2.718	Max N	-4246.24	-7.54	6.46	-5.32	88.93	69.20	ZS 1,2,8
		60	0.000	Min N	-6926.58	0.16	103.12	-1.56	-525.07	-0.09	ZS 1,2,9,27
		60	0.000	Max V _y	-4923.44	2.11	-74.74	36.19	630.01	24.58	ZS 1,2,9,15
		60	0.000	Min V _y	-6764.70	-11.13	114.36	-22.52	124.39	33.00	ZS 1,2,8,24
		60	0.000	Max V _z	-6871.86	-0.12	121.86	-6.79	-134.89	-5.30	ZS 1,2,9,25
		58	2.718	Min V _z	-5124.04	-6.26	-97.28	16.89	539.12	82.45	ZS 1,2,8,16
		60	0.000	Max M _T	-4735.76	2.10	-56.04	36.41	477.52	24.58	ZS 1,2,9,14
		60	0.000	Min M _T	-6764.70	-11.13	114.36	-22.52	124.39	33.00	ZS 1,2,8,24
		60	0.000	Max M _y	-5837.08	-10.09	-36.87	-3.40	992.52	46.31	ZS 1,2,8,19
		60	0.000	Min M _y	-6655.63	0.78	62.77	10.68	-732.45	10.13	ZS 1,2,9,30
242	KV26	58	2.718	Max M _z	-4717.98	-6.11	-67.97	21.33	314.03	84.42	ZS 1,2,8,14
		60	0.000	Min M _z	-6780.38	-0.16	114.70	-7.44	118.88	-6.48	ZS 1,2,9,24
		58	2.718	Max N	-4241.14	-7.42	5.45	-1.95	91.50	70.30	ZS 1,2,8,66,123
		60	0.000	Min N	-7520.77	1.02	46.25	14.05	-23.98	8.74	ZS 1,2,4,9,61,108,177
		60	0.000	Max V _y	-6565.55	1.79	7.47	27.20	113.08	18.73	ZS 1,2,4,9,44,115,149
		60	0.000	Min V _y	-5665.98	-11.08	22.52	-14.47	569.68	32.40	ZS 1,2,6,8,103,166
		60	0.000	Max V _z	-7447.40	0.84	65.92	12.57	171.51	6.22	ZS 1,2,4,9,59,105,176
		58	2.718	Min V _z	-4997.16	-7.44	-76.84	0.18	412.12	68.57	ZS 1,2,7,8,41,100,159
		60	0.000	Max M _T	-5568.37	1.69	-14.00	28.14	287.42	17.37	ZS 1,2,4,9,41,68,129
		60	0.000	Min M _T	-6087.12	-11.03	58.33	-14.98	331.36	33.12	ZS 1,2,5,8,105,167
242	KV29	58	2.718	Max M _y	-5697.53	-10.51	-32.17	-5.55	857.67	39.80	ZS 1,2,6,8,45,102,162
		60	0.000	Min M _y	-4918.40	0.91	25.83	12.55	-142.17	9.01	ZS 1,2,9,112
		58	2.718	Max M _z	-4841.87	-6.53	-15.97	10.57	44.52	80.37	ZS 1,2,8,41,115,128
		60	0.000	Min M _z	-5701.67	-0.11	22.85	0.61	564.17	-7.08	ZS 1,2,6,9,103,166
		58	2.718	Max N	-4239.23	-7.38	5.02	-0.59	92.56	70.75	ZS 1,2,8,66,123
		60	0.000	Min N	-8059.75	1.04	54.06	13.36	-52.55	9.72	ZS 1,2,4,9,61,108,177
		60	0.000	Max V _y	-6915.34	1.98	8.70	29.35	68.34	22.33	ZS 1,2,4,9,44,115,149
		60	0.000	Min V _y	-6179.96	-10.99	27.53	-13.93	696.71	33.56	ZS 1,2,6,8,103,166
		60	0.000	Max V _z	-7965.98	0.81	79.71	11.32	208.98	6.38	ZS 1,2,4,9,59,105,176
		58	2.718	Min V _z	-5222.35	-7.					

STATICKÝ VÝPOČET

VARIANTA A

VÝSLEDKY

■ 2.6 PRÚTY - VNÚTORNÉ SÍLY

Typ prútu č.	KZS	Uzol č.	Miesto x x [m]		Sily [kN]			Momenty [kNm]			Príslušný zať. stav
					N	V _y	V _z	M _T	M _y	M _z	
242	KV29	60	0.000	Min M _y	-5138.69	1.00	28.34	13.48	-206.89	10.20	ZS 1,2,9,112
		58	2.718	Max M _y	-5056.82	-6.28	-21.76	14.73	10.01	83.02	ZS 1,2,8,41,115,128
		60	0.000	Min M _z	-6195.64	-0.02	27.86	1.15	691.20	-5.92	ZS 1,2,6,9,103,166

Kombinácie výsledkov

RF-STEEL EC3

CA1
Design of steel members
according to Eurocode 3

■ 2.7. POSÚDENIE MSU - NAJVIAC NAMÁHANÉ PRUTY DANÉHO PRIEREZU

Prút č.	Místo x [m]	ZS/SZS KZS	Posouzení		Posouzen č.	Označenie				
40	Prierez č. 9 - Tyč 55 4.497 KV29	0.63	≤ 1	101)	Posúdenie prierezu - ťah podľa 6.2.3					
	Návrhové vnútorné sily N_{Ed} 498.80 kN $V_{y,Ed}$ 0.00 kN		$V_{z,Ed}$		0.00 kN	$M_{y,Ed}$	0.00 kNm			
	Posúdenie $N_{t,Ed}$ 498.80 kN A 23.76 cm ² f_y 33.50 kN/cm ²		T_{Ed}		-0.01 kNm	$M_{z,Ed}$	0.00 kNm	0.63		
	Design Formula $N_{t,Ed} / N_{t,Rd} = 0.63 \leq 1$ (6.5)									
61	Prierez č. 1 - Tyč 40 4.497 KV29	0.83	≤ 1	101)	Posúdenie prierezu - ťah podľa 6.2.3					
	Návrhové vnútorné sily N_{Ed} 371.40 kN $V_{y,Ed}$ 0.00 kN		$V_{z,Ed}$		0.00 kN	$M_{y,Ed}$	0.00 kNm			
	Posúdenie $N_{t,Ed}$ 371.40 kN A 12.57 cm ² f_y 35.50 kN/cm ²		T_{Ed}		0.00 kNm	$M_{z,Ed}$	0.00 kNm	0.83		
	Design Formula $N_{t,Ed} / N_{t,Rd} = 0.83 \leq 1$ (6.5)									
92	Prierez č. 6 - HEB 220 1.500 KV26	0.65	≤ 1	1003)	Tlaková sila prekračuje pružnú kritickú sílu pre vybočenie skrútením $N_{cr,T}$					
	Návrhové vnútorné sily N_{Ed} 0.35 kN $V_{y,Ed}$ 5.07 kN		$V_{z,Ed}$		-53.48 kN	$M_{y,Ed}$	-39.67 kNm			
	Posúdenie h 220.0 mm b 220.0 mm h/b 1.00 KVP_{LT} b α_{LT} 0.340 E 21000.00 kN/cm ² G 8100.00 kN/cm ² k_z 1.000 k_w 1.000 L 3.000 m I_w 295400.00 cm ⁶ I_l 76.57 cm ⁴ $M_{cr,0}$ 922.74 kNm C_1 2.543 C_2 0.242 z_g 110.0 mm M_{cr} 1945.11 kNm W_y 827.00 cm ³		T_{Ed}		0.02 kNm	$M_{z,Ed}$	-6.81 kNm			
	Design Formula $N_{Ed} / (X_y N_{Rk} / \gamma_{M1}) + k_{yy} M_{y,Ed} / (\chi_{LT} M_{y,Rk} / \gamma_{M1}) + k_{yz} M_{z,Ed} / (M_{z,Rk} / \gamma_{M1}) = 0.61 \leq 1$ (6.61) $N_{Ed} / (X_z N_{Rk} / \gamma_{M1}) + k_{zy} M_{y,Ed} / (\chi_{LT} M_{y,Rk} / \gamma_{M1}) + k_{zz} M_{z,Ed} / (M_{z,Rk} / \gamma_{M1}) = 0.65 \leq 1$ (6.62)									
	0.000 KV26 0.65		≤ 1	1004)	Tlaková sila prekračuje pružnú kritickú sílu pre rovinný vzper $N_{cr,y}$					
	Návrhové vnútorné sily N_{Ed} 0.35 kN $V_{y,Ed}$ 5.07 kN		$V_{z,Ed}$		0.71 kN	$M_{y,Ed}$	-0.08 kNm			
	Posúdenie $N_{cr,T}$ 10828.30 kN λ_{LT} 0.546 KVP_z c α_z 0.490 Φ_T 0.734 χ_T 0.817 E 21000.00 kN/cm ² I_y 8091.00 cm ⁴ $L_{cr,y}$ 3.000 m $N_{cr,y}$ 18632.80 kN A 91.04 cm ² f_y 35.50 kN/cm ² λ_{Ly} 0.416 KVP_y b α_y 0.340 Φ_y 0.624 X_y 0.919 I_z 2843.00 cm ⁴ $L_{cr,z}$ 3.000 m $N_{cr,z}$ 6547.17 kN		T_{Ed}		0.02 kNm	$M_{z,Ed}$	0.80 kNm			

■ 2.7. POSÚDENIE MSU - NAJVIAC NAMÁHANÉ PRUTY DANÉHO PRIEREZU

■ 2.7. POSÚDENIE MSU - NAJVIAC NAMÁHANÉ PRUTY DANÉHO PRIEREZU

Prút č.	Místo x [m]	ZS/SZS KZS	Posouzení	Posouzen č.	Označenie				
					N _{Ed}	2579.22	kN	V _{z,Ed}	
					V _{y,Ed}	13.79	kN	T _{Ed}	
					Posúdenie				
					N _{Ed}	2579.22	kN	y _{SP}	
					A	617.00	cm ²	σ _{x,Mz,Ed}	
					σ _{x,N,Ed}	4.18	kN/cm ²	σ _{x,Ed}	
					M _{y,Ed}	2676.28	kNm	22.09	kN/cm ²
					I _y	588865.00	cm ⁴	S _y	
					Z _{SP}	389.7	mm	t	
					σ _{x,My,Ed}	17.71	kN/cm ²	τ _{v,z,Ed}	
					M _{z,Ed}	-18.51	kNm	V _{y,Ed}	
					I _z	261844.00	cm ⁴	S _z	
					Design Formula				
					σ _{x,Ed} / σ _{x,Rd}	= 0.62 ≤ 1	(6.42)		
					2.670	KV29	0.73	≤ 1	
					232)			Posúdenie prierezu - dvojosý ohyb, šmyk a osová sila podľa 6.2.10 a 6.2.9.3 - trieda 4 - uholník	
					Návrhové vnútorné sily				
					N _{Ed}	2277.14	kN	V _{z,Ed}	
					V _{y,Ed}	12.69	kN	T _{Ed}	
					Posúdenie				
					N _{Ed}	2277.14	kN	σ _{x,Ed}	
					A	617.00	cm ²	T _{Ed}	
					σ _{x,N,Ed}	3.69	kN/cm ²	A _k	
					M _{y,Ed}	3306.33	kNm	t	
					I _y	588865.00	cm ⁴	τ _{t,Ed}	
					Z _{SP}	389.7	mm	V _{z,Ed}	
					σ _{x,My,Ed}	21.88	kN/cm ²	S _y	
					M _{z,Ed}	-17.89	kNm	τ _{v,z,Ed}	
					I _z	261844.00	cm ⁴	V _{y,Ed}	
					y _{SP}	275.0	mm	S _z	
					σ _{x,Mz,Ed}	0.19	kN/cm ²	τ _{v,y,Ed}	
					Design Formula				
					σ _{x,Ed} / σ _{x,Rd}	= 0.73 ≤ 1	(6.42)		
					2.670	KV29	0.73	≤ 1	
					304)			Posúdenie stability - vzper okolo y podľa 6.3.1.1 a 6.3.1.2 - trieda 4	
					Návrhové vnútorné sily				
					N _{Ed}	2277.14	kN	V _{z,Ed}	
					V _{y,Ed}	12.69	kN	T _{Ed}	
					Posúdenie				
					NB č.	3		y _{SP}	
					N _{Ed}	2277.14	kN	σ _{x,Mz,Ed}	
					A	617.00	cm ²	σ _{x,Ed}	
					σ _{x,N,Ed}	3.69	kN/cm ²	V _{z,Ed}	
					M _{y,Ed}	3306.33	kNm	S _y	
					I _y	588865.00	cm ⁴	t	
					Z _{SP}	389.7	mm	τ _{t,Ed}	
					σ _{x,My,Ed}	21.88	kN/cm ²	V _{y,Ed}	
					M _{z,Ed}	-17.89	kNm	S _z	
					I _z	261844.00	cm ⁴	τ _{v,y,Ed}	
					Design Formula				
					(σ _{x,Ed} / f _y / γ _{MO}) ² + 3(τ _{t,Ed} / f _y / γ _{MO}) ² = 0.73 ≤ 1	(6.1)			
198					Prierez č. 4 - Uzavrené(A) 550/30/30/470/750/550/30/77	0.000	KV29	0.81	≤ 1
					142)			Posúdenie prierezu - ohyb a šmyk podľa 6.2.9.2 a 6.2.10 - trieda 3	
					Návrhové vnútorné sily				
					N _{Ed}	-1076.35	kN	V _{z,Ed}	
					V _{y,Ed}	2747.03	kN	T _{Ed}	
					Posúdenie				
					V _{y,Ed}	2747.03	kN	Y _{SP}	
					S _z	3721.88	cm ³	σ _{x,Mz,Ed}	
					I _z	342248.00	cm ⁴	σ _{x,Ed}	
					t	30.0	mm	V _{z,Ed}	
					τ _{v,y,Ed}	9.96	kN/cm ²	t _{Ed}	
					0.346	KV29	0.84	≤ 1	
					304)			Posúdenie stability - vzper okolo y podľa 6.3.1.1 a 6.3.1.2 - trieda 4	
					Návrhové vnútorné sily				
					N _{Ed}	-1308.02	kN	V _{z,Ed}	
					V _{y,Ed}	2854.77	kN	T _{Ed}	
					Posúdenie				
					NB č.	22		y _{SP}	
					N _{Ed}	-1308.02	kN	σ _{x,Mz,Ed}	
					A	744.00	cm ²	σ _{x,Ed}	
					σ _{x,N,Ed}	-1.76	kN/cm ²	V _{z,Ed}	
					M _{y,Ed}	931.97	kNm	S _y	
					I _y	592182.00	cm ⁴	t	
					Z _{SP}	-375.0	mm	τ _{v,z,Ed}	
					σ _{x,My,Ed}	-5.90	kN/cm ²	V _{y,Ed}	
					M _{z,Ed}	-1464.09	kNm	S _z	
					I _z	342248.00	cm ⁴	τ _{v,y,Ed}	
					Design Formula				
					(σ _{x,Ed} / f _y / γ _{MO}) ² + 3(τ _{t,Ed} / f _y / γ _{MO}) ² = 0.84 ≤ 1	(6.1)			
207					Prierez č. 5 - IU 300/200/200/14/300/25/5/5	4.593	KV23	0.85	≤ 1
					185)			Posúdenie prierezu - ohyb, šmyk a osová sila podľa 6.2.10 a 6.2.9 - trieda 3 - uholník	

■ 2.7. POSÚDENIE MSU - NAJVIAC NAMÁHANÉ PRUTY DANÉHO PRIEREZU

Prút č.	Místo x [m]	ZS/SZS KZS	Posouzení	Posouzen č.	Označenie			
Návrhové vnútorné sily								
					N_{Ed}	2763.51 kN	$V_{z,Ed}$	-18.69 kN
					$V_{y,Ed}$	0.70 kN	T_{Ed}	0.01 kNm
Posúdenie								
					$M_{y,Ed}$	214.67 kNm	$M_{y,Ed}$	214.67 kNm
					f_y	35.50 kN/cm ²	v_z	0.021 mm
					$Z_{pl,0}$	272.5 mm	N_{Ed}	2763.51 kN
					γ_M	1.000	A	150.70 cm ²
					$M_{ply,Rd}$	571.14 kNm	$N_{pl,Rd}$	5349.85 kNm
					$V_{z,Ed}$	18.69 kN	h_w	255.0 mm
					$A_{v,z}$	42.84 cm ²	t_w	14.0 mm
					$V_{pl,z,Rd}$	878.05 kN	n	0.517
							η	0.85
Design Formula								
					$M_{y,Ed} / M_{N,y,Rd} = 0.85 \leq 1 \quad (6.31)$			
234	0.000	KV23	0.62	≤ 1	187)	Posúdenie prierezu - ohyb, šmyk, krútenie a osová sila podľa 6.2.9.2 - trieda 3		
Návrhové vnútorné sily								
					N_{Ed}	-5991.45 kN	$V_{z,Ed}$	112.80 kN
					$V_{y,Ed}$	0.09 kN	T_{Ed}	-3.49 kNm
Posúdenie								
					N_{Ed}	-5991.45 kN	$\sigma_{x,My,Ed}$	-8.38 kN/cm ²
					A	437.28 cm ²	$\sigma_{x,Ed}$	-22.08 kN/cm ²
					$\sigma_{x,N,Ed}$	-13.70 kN/cm ²	$V_{z,Ed}$	112.80 kN
					$M_{y,Ed}$	-543.89 kNm	S_y	1216.05 cm ³
					I_y	154850.00 cm ⁴	t	28.0 mm
					Z_{SP}	238.6 mm	$\tau_{V,z,Ed}$	0.32 kN/cm ²
Design Formula								
					$\sigma_{x,Ed} / \sigma_{x,Rd} = 0.62 \leq 1 \quad (6.42)$			
	0.000	KV29	0.73	≤ 1	227)	Posúdenie prierezu - dvojósý ohyb, šmyk, krútenie a osová sila podľa 6.2.10 a 6.2.9 - trieda 3		
Návrhové vnútorné sily								
					N_{Ed}	-6356.42 kN	$V_{z,Ed}$	115.58 kN
					$V_{y,Ed}$	-21.99 kN	T_{Ed}	-4.41 kNm
Posúdenie								
					N_{Ed}	-6356.42 kN	y_{SP}	225.0 mm
					A	437.28 cm ²	$\sigma_{x,Mz,Ed}$	-2.82 kN/cm ²
					$\sigma_{x,N,Ed}$	-14.54 kN/cm ²	$\sigma_{x,Ed}$	-25.75 kN/cm ²
					$M_{y,Ed}$	-544.66 kNm	$V_{z,Ed}$	115.58 kN
					I_y	154850.00 cm ⁴	S_y	0.00 cm ³
					Z_{SP}	238.6 mm	t	28.0 mm
Design Formula								
					$\sigma_{x,Ed} / \sigma_{x,Rd} = 0.73 \leq 1 \quad (6.42)$			
	0.000	KV29	0.65	≤ 1	1005)	Tlaková sila prekračuje pružnú kritickú sílu pre rovinový vzper $N_{cr,z}$		
Návrhové vnútorné sily								
					N_{Ed}	-6373.91 kN	$V_{z,Ed}$	115.35 kN
					$V_{y,Ed}$	0.35 kN	T_{Ed}	-0.48 kNm
Posúdenie								
					$M_{z,Ed}$	-10.32 kNm	$\alpha_{ult,k}$	1.541
					$M_{pl,z,Rd}$	2288.45 kNm	$\alpha_{cr,op}$	149.481
					$\eta_{Mz,limit}$	0.200	λ_{op}	0.102
					η_{Mz}	0.080	$S_{t,req}$	59780600.00 kN
					$\eta_{ult,k,max}$	0.649	$\chi_{op,z}$	1.000
Design Formula								
					$\gamma_{M1} / (\chi_{op} \alpha_{ult,k}) = 0.65 \leq 1 \quad (6.63)$			
242	0.000	KV29	0.77	≤ 1	187)	Posúdenie prierezu - ohyb, šmyk, krútenie a osová sila podľa 6.2.9.2 - trieda 3		
Návrhové vnútorné sily								
					N_{Ed}	-6187.91 kN	$V_{z,Ed}$	-34.49 kN
					$V_{y,Ed}$	0.48 kN	T_{Ed}	8.68 kNm
Posúdenie								
					N_{Ed}	-6187.91 kN	$\sigma_{x,My,Ed}$	-14.42 kN/cm ²
					A	480.16 cm ²	$\sigma_{x,Ed}$	-27.31 kN/cm ²
					$\sigma_{x,N,Ed}$	-12.89 kN/cm ²	$V_{z,Ed}$	34.49 kN
					$M_{y,Ed}$	1014.14 kNm	S_y	0.00 cm ³
					I_y	200563.00 cm ⁴	t	24.0 mm
					Z_{SP}	-285.3 mm	$\tau_{V,z,Ed}$	0.00 kN/cm ²
Design Formula								
					$\sigma_{x,Ed} / \sigma_{x,Rd} = 0.77 \leq 1 \quad (6.42)$			
	0.000	KV29	0.79	≤ 1	227)	Posúdenie prierezu - dvojósý ohyb, šmyk, krútenie a osová sila podľa 6.2.10 a 6.2.9 - trieda 3		
Návrhové vnútorné sily								
					N_{Ed}	-6179.84 kN	$V_{z,Ed}$	-34.63 kN
					$V_{y,Ed}$	-10.49 kN	T_{Ed}	-6.28 kNm
Posúdenie								
					N_{Ed}	-6179.84 kN	y_{SP}	209.0 mm
					A	480.16 cm ²	$\sigma_{x,Mz,Ed}$	-0.64 kN/cm ²
					$\sigma_{x,N,Ed}$	-12.87 kN/cm ²	$\sigma_{x,Ed}$	-27.97 kN/cm ²
					$M_{y,Ed}$	1016.82 kNm	$V_{z,Ed}$	34.63 kN
					I_y	200563.00 cm ⁴	S_y	0.00 cm ³
Design Formula								
					$\gamma_{M1} / (\chi_{op} \alpha_{ult,k}) = 0.65 \leq 1 \quad (6.63)$			

STATICKÝ VÝPOČET

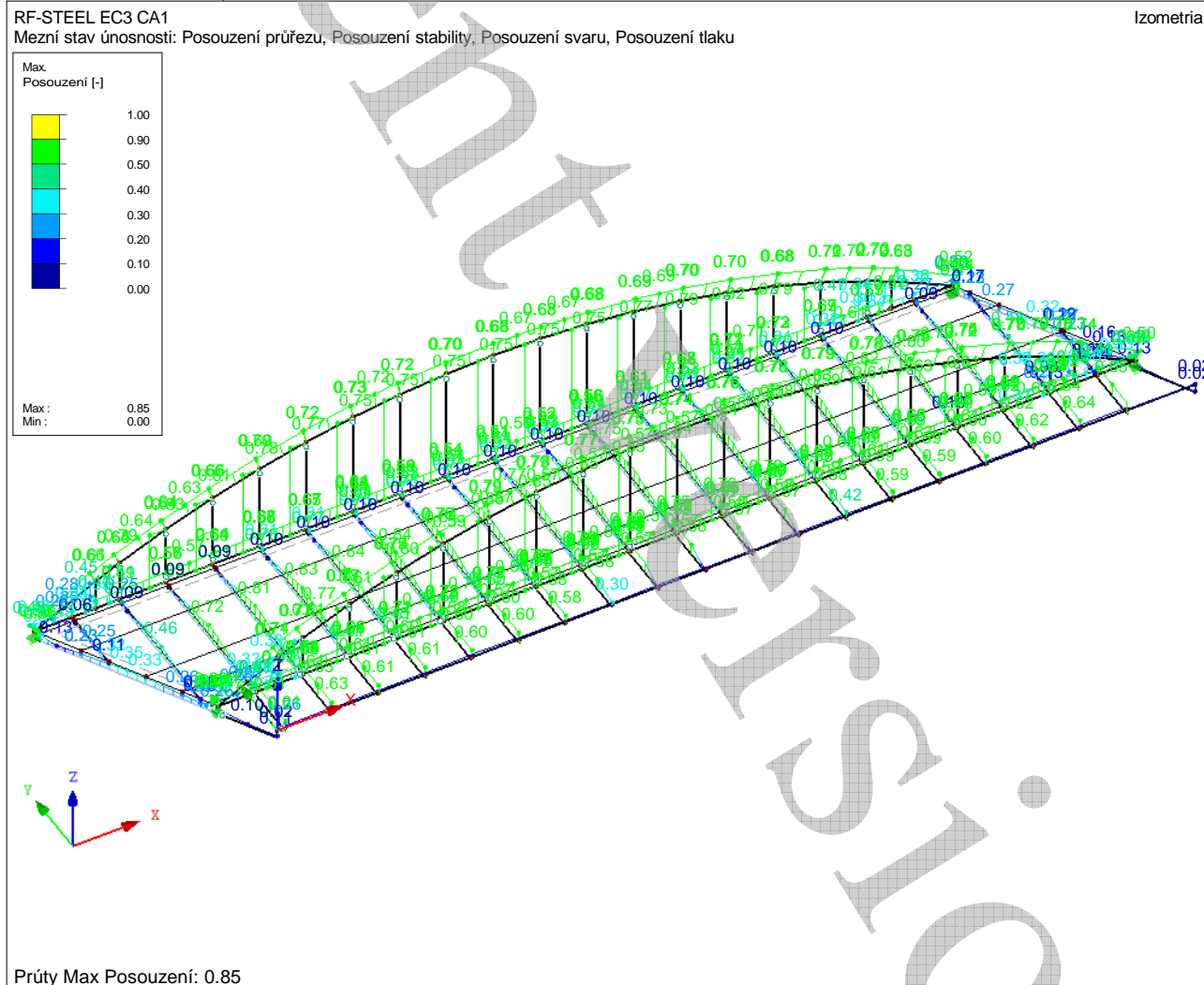
VARIANTA A

RF-STEEL EC3

■ 2.7. POSÚDENIE MSU - NAJVIAC NAMÁHANÉ PRUTY DANÉHO PRIEREZU

Prút č.	Místo x [m]	ZS/SZS KZS	Posouzení	Posouzen č.	Označenie			
				t	24.0	mm	v _z	0.007
$\sigma_{x,My,Ed}$	-285.3	mm	$\tau_{V,z,Ed}$	0.00	kN/cm ²	v _y	0.002	
$M_{z,Ed}$	-14.46	kN/cm ²	$V_{y,Ed}$	10.49	kN	$\sigma_{x,Rd}$	35.50	kN/cm ²
I_z	40.08	kNm	S _z	0.00	cm ³	η	0.79	
	130442.00	cm ⁴						
Design Formula								
	$\sigma_{x,Ed} / \sigma_{x,Rd} = 0.79 \leq 1 \quad (6.42)$							
	0.000	KV29	0.77		≤ 1	1005	Tlaková sila prekračuje pružnú kritickú sílu pre rovinný vzper N _{cr,z}	
Návrhové vnútorné sily								
N _{Ed}	-6179.84	kN	V _{z,Ed}	-34.63	kN	M _{y,Ed}	1016.82	kNm
V _{y,Ed}	-10.49	kN	T _{Ed}	-6.28	kNm	M _{z,Ed}	40.08	kNm
Posúdenie								
M _{z,Ed}	40.08	kNm	$\alpha_{ult,k}$	1.299		χ_{op}	1.000	
M _{pl,z,Rd}	2595.70	kNm	$\alpha_{cr,op}$	43.836		γ_{M1}	1.000	
$\eta_{Mz,limit}$	0.200		λ_{op}	0.172		η	0.77	
η_{Mz}	0.032		S _{t,req}	48046000.00	kN			
$\eta_{ult,k,max}$	0.770		$\chi_{op,z}$	1.000				
Design Formula								
	$\gamma_{M1} / (\chi_{op} \alpha_{ult,k}) = 0.77 \leq 1 \quad (6.63)$							

■ Využitie profilov v konštrukcii



2.8 MSP – Medzný stav použiteľnosti

V medznom stave použiteľnosti posudzujem vertikálny priehyb konštrukcie. Podľa normy sa má priehyb pre kombinované mosty posudzovať k hodnote, akoby to bol železničný most, pričom v danom ZS sa ma uvažovať iba polovičné zaťaženie od automobilovej dopravy.

Priehyb hlavných nosníkov

Priehyb od stáleho zaťaženia

$$w^g = 48,7 \text{ mm}$$

Priehyb od náhodného zaťaženia

$$w^q = 80,0 \text{ mm}$$

Hodnota nadvýšenia

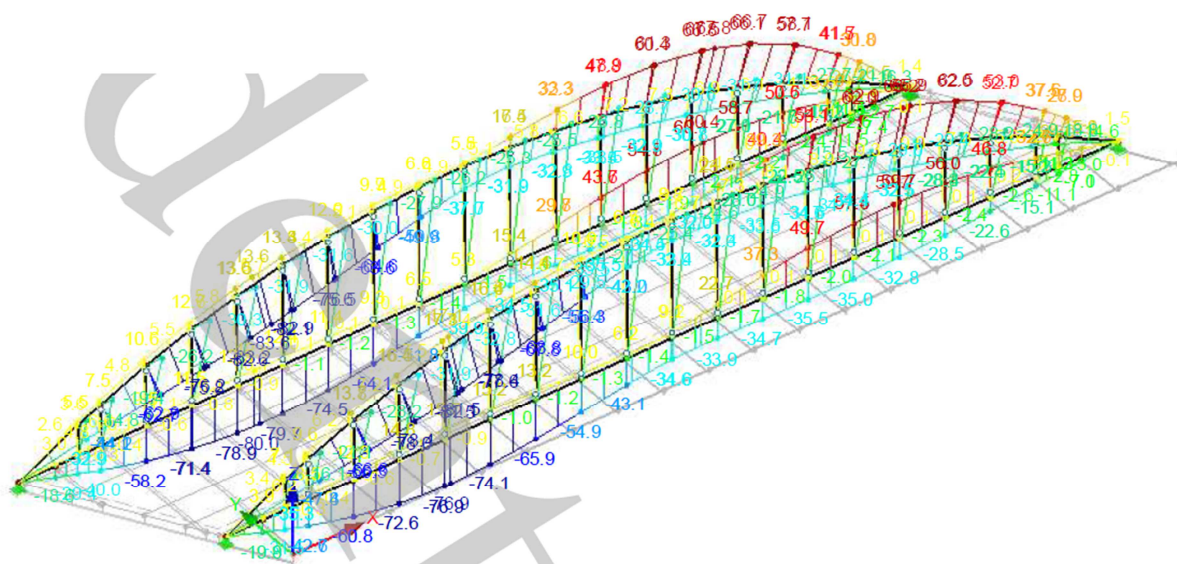
$$w^+ = w^g + 0,25w^q = 68,7 \text{ mm}$$

Limitná hodnota priehybu pre kombinované mosty

$$w^{\max} = L/600 = 52,5/600 = 87 \text{ mm}$$

$$> w^q = 80,0 \text{ mm}$$

Vyhovuje



Obr.2.8 – Priehyb hlavných nosníkov od náhodného zaťaženia

■ 2.9. VÝKAZ MATERIÁLU PRO PRUTY

Položka č.	Označenie priezru	Počet Prúty	Dĺžka [m]	Cel. dĺžka [m]	Plocha [m ²]	Objem [m ³]	Mer. hmot. [kg/m]	Hmotnosť [kg]	Celk. hmot. [t]
1	4 - Uzavrené(A) 550/30/30/470/750/550/30/ 7/7	4	0.35	1.39	3.82	0.10	584.04	202.32	0.809
2	4 - Uzavrené(A) 550/30/30/470/750/550/30/ 7/7	1	0.65	0.65	1.80	0.05	584.04	381.70	0.382
3	4 - Uzavrené(A) 550/30/30/470/750/550/30/ 7/7	1	3.62	3.62	9.98	0.27	584.04	2112.89	2.113
4	4 - Uzavrené(A) 550/30/30/470/750/550/30/ 7/7	1	0.66	0.66	1.83	0.05	584.04	387.79	0.388
5	4 - Uzavrené(A) 550/30/30/470/750/550/30/ 7/7	1	2.14	2.14	5.89	0.16	584.04	1246.94	1.247
6	11 - Uzavrené(B) 550/25/20/800/450/25/25/5 /5	15	2.67	40.05	110.13	2.24	439.60	1173.64	17.605
7	11 - Uzavrené(B) 550/25/20/800/450/25/25/5 /5	1	2.18	2.18	6.00	0.12	439.60	958.42	0.958
8	1 - Tyč 40	1	7.00	7.00	0.88	0.01	9.86	69.05	0.069
9	7 - U 120 DIN 1026-1:1963	2	3.46	6.93	3.01	0.01	13.35	46.23	0.092
10	3 - Uzavrené(B) 550/30/20/800/480/30/20/5 /5	1	2.17	2.17	5.96	0.13	484.34	1053.45	1.053
11	9 - Tyč 55	1	7.00	7.00	1.21	0.02	18.65	130.55	0.131
12	7 - U 120 DIN 1026-1:1963	1	52.50	52.50	22.78	0.09	13.34	700.61	0.701
13	11 - Uzavrené(B) 550/25/20/800/450/25/25/5 /5	15	0.01	0.08	0.22	0.00	439.60	2.29	0.034
14	9 - Tyč 55	2	6.93	13.86	2.40	0.03	18.65	129.29	0.259
15	9 - Tyč 55	2	6.73	13.46	2.32	0.03	18.65	125.48	0.251
16	9 - Tyč 55	2	6.39	12.77	2.21	0.03	18.65	119.09	0.238
17	9 - Tyč 55	2	5.90	11.81	2.04	0.03	18.65	110.09	0.220
18	9 - Tyč 55	2	5.28	10.55	1.82	0.03	18.65	98.38	0.197
19	9 - Tyč 55	2	4.50	8.99	1.55	0.02	18.65	83.88	0.168
20	9 - Tyč 55	2	3.56	7.12	1.23	0.02	18.65	66.44	0.133
21	1 - Tyč 40	2	6.93	13.86	1.74	0.02	9.86	68.38	0.137
22	1 - Tyč 40	2	6.73	13.46	1.69	0.02	9.86	66.37	0.133
23	1 - Tyč 40	2	6.39	12.77	1.60	0.02	9.86	62.99	0.126
24	1 - Tyč 40	2	5.90	11.81	1.48	0.01	9.86	58.23	0.116
25	1 - Tyč 40	2	5.28	10.55	1.33	0.01	9.86	52.04	0.104
26	1 - Tyč 40	2	4.50	8.99	1.13	0.01	9.86	44.37	0.089
27	1 - Tyč 40	2	3.56	7.12	0.90	0.01	9.86	35.14	0.070
28	5 - IU	38	0.30	11.40	17.92	0.17	118.30	35.49	1.349
29	300/200/20/14/300/25/5/5	1	8.11	8.11	12.75	0.12	118.30	959.29	0.959
30	5 - IU	1	3.48	3.48	5.46	0.05	118.30	411.21	0.411
31	6 - HEB 220	19	3.00	57.00	72.39	0.52	71.47	214.40	4.074
32	4 - Uzavrené(A) 550/30/30/470/750/550/30/ 7/7	2	1.73	3.46	9.56	0.26	584.04	1011.59	2.023
33	11 - Uzavrené(B) 550/25/20/800/450/25/25/5 /5	1	2.67	2.67	7.36	0.15	439.60	1175.93	1.176
34	11 - Uzavrené(B) 550/25/20/800/450/25/25/5 /5	1	1.34	1.34	3.70	0.08	439.60	591.17	0.591
35	11 - Uzavrené(B) 550/25/20/800/450/25/25/5 /5	1	2.17	2.17	5.97	0.12	439.60	953.84	0.954
36	11 - Uzavrené(B) 550/25/20/800/450/25/25/5 /5	1	1.32	1.32	3.63	0.07	439.60	580.18	0.580
37	4 - Uzavrené(A) 550/30/30/470/750/550/30/ 7/7	1	1.62	1.62	4.47	0.12	584.04	944.86	0.945
38	3 - Uzavrené(B) 550/30/20/800/480/30/20/5 /5	19	0.01	0.10	0.27	0.01	484.35	2.53	0.048
39	3 - Uzavrené(B) 550/30/20/800/480/30/20/5 /5	1	1.32	1.32	3.62	0.08	484.35	639.23	0.639
40	3 - Uzavrené(B) 550/30/20/800/480/30/20/5 /5	16	2.67	42.72	117.04	2.64	484.35	1293.10	20.690
41	3 - Uzavrené(B) 550/30/20/800/480/30/20/5 /5	1	1.34	1.34	3.68	0.08	484.35	651.34	0.651
42	3 - Uzavrené(B) 550/30/20/800/480/30/20/5 /5	1	2.17	2.17	5.95	0.13	484.35	1050.92	1.051
43	4 - Uzavrené(A) 550/30/30/470/750/550/30/ 7/7	1	0.14	0.14	0.37	0.01	584.04	78.91	0.079
44	4 - Uzavrené(A) 550/30/30/470/750/550/30/ 7/7	2	2.14	4.27	11.79	0.32	584.04	1247.64	2.495
45	4 - Uzavrené(A) 550/30/30/470/750/550/30/ 7/7	1	1.08	1.08	2.98	0.08	584.04	629.90	0.630
46	1 - Tyč 40	1	2.46	2.46	0.31	0.00	9.86	24.30	0.024

STATICKÝ VÝPOČET

VARIANTA A

RF-STEEL EC3

■ 2.9. VÝKAZ MATERIÁLU PRO PRUTY

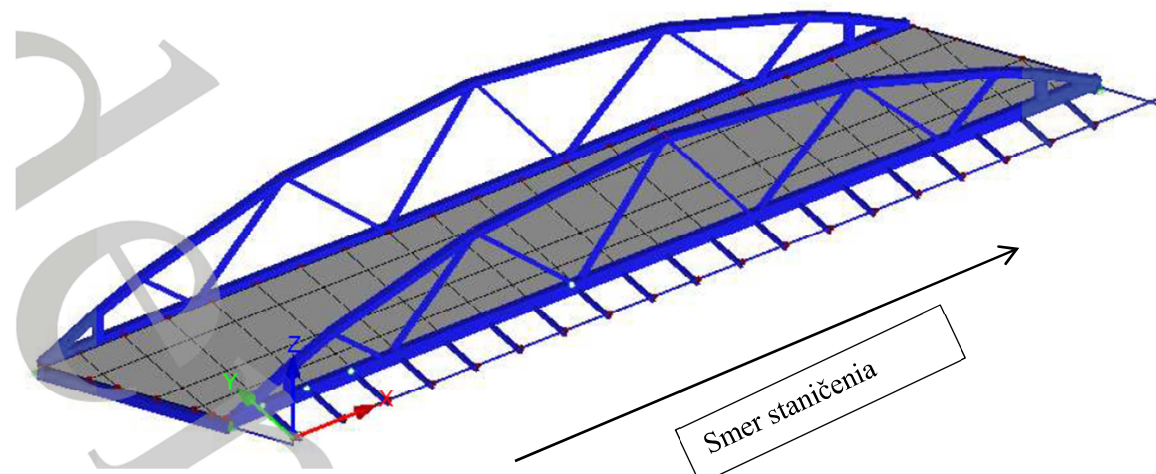
Položka č.	Označenie prierezu	Počet Prúty	Dĺžka [m]	Cel. dĺžka [m]	Plocha [m ²]	Objem [m ³]	Mer. hmot. [kg/m]	Hmotnosť [kg]	Celk. hmot. [t]
47	3 - Uzavřené(B) 550/30/20/800/480/30/20/5 /5	1	1.35	1.35	3.70	0.08	484.35	653.87	0.654
48	9 - Tyč 55	2	2.46	4.92	0.85	0.01	18.65	45.90	0.092
49	1 - Tyč 40	1	2.46	2.46	0.31	0.00	9.86	24.26	0.024
50	10 - Uzavřené(B) 450/28/22/500/370/28/25/5 /5	2	1.84	3.68	7.17	0.16	343.26	631.14	1.262
51	11 - Uzavřené(B) 550/25/20/800/450/25/25/5 /5	1	1.36	1.36	3.73	0.08	439.60	595.75	0.596
52	3 - Uzavřené(B) 550/30/20/800/480/30/20/5 /5	1	1.33	1.33	3.63	0.08	484.35	641.76	0.642
53	2 - Uzavřené(B) 450/28/24/550/370/28/25/5 /5	2	1.84	3.68	7.54	0.18	376.93	693.03	1.386
54	11 - Uzavřené(B) 550/25/20/800/450/25/25/5 /5	1	1.33	1.33	3.66	0.07	439.60	584.76	0.585
55	4 - Uzavřené(A) 550/30/30/470/750/550/30/ 7/7	1	2.40	2.40	6.61	0.18	584.04	1399.38	1.399
56	5 - IU 300/200/20/14/300/25/5/5	1	3.47	3.47	5.45	0.05	118.30	410.15	0.410
57	5 - IU 300/200/20/14/300/25/5/5	17	8.68	147.48	231.83	2.22	118.30	1026.25	17.446
58	5 - IU 300/200/20/14/300/25/5/5	1	8.10	8.10	12.73	0.12	118.30	958.22	0.958
59	10 - Uzavřené(B) 450/28/22/500/370/28/25/5 /5	2	3.95	7.91	15.42	0.35	343.26	1357.11	2.714
60	10 - Uzavřené(B) 450/28/22/500/370/28/25/5 /5	1	1.49	1.49	2.91	0.07	343.26	512.27	0.512
61	10 - Uzavřené(B) 450/28/22/500/370/28/25/5 /5	1	2.89	2.89	5.63	0.13	343.26	991.05	0.991
62	10 - Uzavřené(B) 450/28/22/500/370/28/25/5 /5	2	2.83	5.67	11.05	0.25	343.26	972.70	1.945
63	10 - Uzavřené(B) 450/28/22/500/370/28/25/5 /5	2	2.79	5.57	10.86	0.24	343.26	956.25	1.913
64	10 - Uzavřené(B) 450/28/22/500/370/28/25/5 /5	2	2.75	5.50	10.72	0.24	343.26	943.17	1.886
65	10 - Uzavřené(B) 450/28/22/500/370/28/25/5 /5	2	2.72	5.44	10.60	0.24	343.26	933.08	1.866
66	10 - Uzavřené(B) 450/28/22/500/370/28/25/5 /5	2	2.70	5.39	10.52	0.24	343.26	925.72	1.851
67	10 - Uzavřené(B) 450/28/22/500/370/28/25/5 /5	2	2.68	5.37	10.46	0.23	343.26	920.91	1.842
68	10 - Uzavřené(B) 450/28/22/500/370/28/25/5 /5	2	2.68	5.35	10.44	0.23	343.26	918.53	1.837
69	10 - Uzavřené(B) 450/28/22/500/370/28/25/5 /5	1	2.90	2.90	5.65	0.13	343.26	994.97	0.995
70	10 - Uzavřené(B) 450/28/22/500/370/28/25/5 /5	1	1.48	1.48	2.89	0.06	343.26	508.34	0.508
71	2 - Uzavřené(B) 450/28/24/550/370/28/25/5 /5	2	1.49	2.97	6.10	0.14	376.93	560.35	1.121
72	2 - Uzavřené(B) 450/28/24/550/370/28/25/5 /5	2	3.95	7.91	16.21	0.38	376.93	1490.19	2.980
73	2 - Uzavřené(B) 450/28/24/550/370/28/25/5 /5	2	2.89	5.79	11.86	0.28	376.93	1090.38	2.181
74	2 - Uzavřené(B) 450/28/24/550/370/28/25/5 /5	2	2.83	5.67	11.62	0.27	376.93	1068.08	2.136
75	2 - Uzavřené(B) 450/28/24/550/370/28/25/5 /5	2	2.79	5.57	11.42	0.27	376.93	1050.02	2.100
76	2 - Uzavřené(B) 450/28/24/550/370/28/25/5 /5	2	2.75	5.50	11.27	0.26	376.93	1035.65	2.071
77	2 - Uzavřené(B) 450/28/24/550/370/28/25/5 /5	2	2.72	5.44	11.14	0.26	376.93	1024.57	2.049
78	2 - Uzavřené(B) 450/28/24/550/370/28/25/5 /5	2	2.70	5.39	11.06	0.26	376.93	1016.49	2.033
79	2 - Uzavřené(B) 450/28/24/550/370/28/25/5 /5	2	2.68	5.37	11.00	0.26	376.93	1011.21	2.022
80	2 - Uzavřené(B) 450/28/24/550/370/28/25/5 /5	2	2.68	5.35	10.97	0.26	376.93	1008.60	2.017
Celkom		253		723.10	993.18	16.84		132.219	

3 Úvod – Variant B

3.1 Popis konštrukcie

Variant B je oceľová konštrukcia o rozpäti 52,5 m. Je to prostý podoprený priečradový nosník s horným pásmom v tvare oblúku. Osová vzdialenosť priečrad je 9,275 m. Priečrady sú pomerne riedko umiestnené (Obr.3.1). Horný aj dolný pás tvoria zvárané duté prierezy obdlžnikového tvaru. Diagonály sú zvárané prierezy v tvare písmena I.

Na dolný pás sú pripojené priečniky ktoré sú spražené s betónovou mostovkou. Priečniky sú nesymetrické I profily. Na koncoch v miestach podpor sa nachádzajú koncové priečniky, ktoré sú z obdlžnikového dutého profilu. Z vonkajšej strany pravého oblúku je umiestnený chodník. Chodník je tvorený betónovou doskou ktorá leží na oceľových H profiloach privarených na trám. Všetky oceľové prvky sú z oceli S355 a použitý betón je triedy C35/45.



Obr. 3.1 – Ilustračný obrázok z výpočtového programu

3.1.1 Výpočtový model

Výpočtový model je vytvorený v programe RFEM. Model bol vytvorený ako priestorový pričom jednotlivé oceľové prvky sú modelované ako 1D prúty a betónová doska je modelovaná ako 2D prvak. V modeli sú uvažované jednotlivé excentricity prvkov. Spražené priečniky sú modelované ako rebrá betónovej dosky. Betónová doska zabezpečujúca tuhost' je modelovaná ako 2D prvak len medzi oblúkmi. Betónová doska umiestnená na chodníkových konzolách je aplikovaná len ako zaťaženie.

3.2 Zatiaženie:

3.2.1 Vlastná tiaž

Výpočet je rovnaký ako pre Variantu A – odsek 2.2.1.

3.2.2 Vietor (ČSN EN 1991-1-4)

Výpočet je rovnaký ako pre Variantu A – odsek 2.2.2.

3.2.3 Zaťaženie chodcami

Výpočet je rovnaký ako pre Variantu A – odsek 2.2.3.

3.2.4 Automobilová doprava

Výpočet je rovnaký ako pre Variantu A – odsek 2.2.4.

3.2.5 Kol'ajová doprava

Výpočet je rovnaký ako pre Variantu A – odsek 2.2.5.

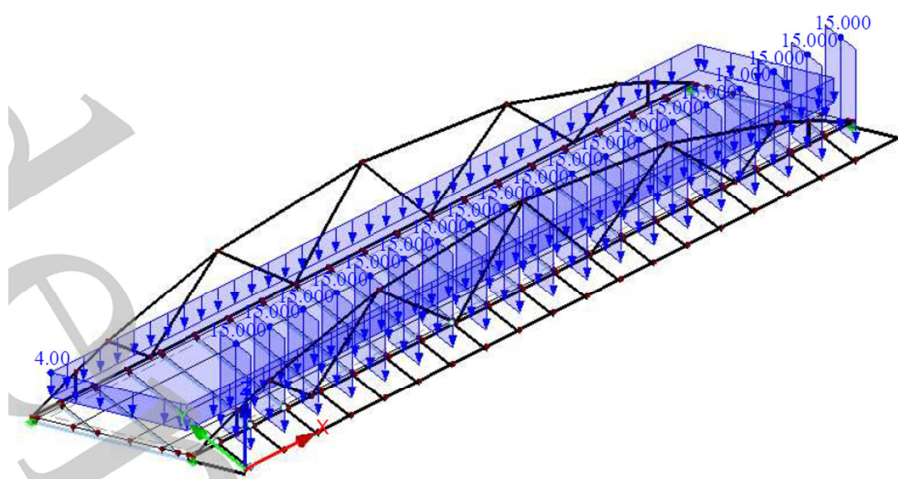
3.3 Zaťažovacie stavy

3.3.1 ZS1 – Vlastná tiaž

Vlastná tiaž jednotlivých oceľových nosných prvkov je generovaná programom. S tým je zároveň generovaná aj vlastná tiaž betónovej dosky ktorá je sprážená s priečnikmi – betónová doska medzi oblúkmi.

3.3.2 ZS2 – Ostatná vlastná tiaž

Tento zaťažovací stav obsahuje zaťaženie od chodníkovej betónovej dosky. Táto doska je zadaná ako spojité zaťaženie na chodníkové konzoly a teda nezabezpečuje tuhost konštrukcie. Ďalej sa tu nachádza zaťaženie tvorené konštrukčnými vrstvami vozovky a chodníku, zábradlie, zvodidlá a rímsy.



Obr.3.3.2 – Ostatná vlastná tiaž

Statický výpočet
Variandy

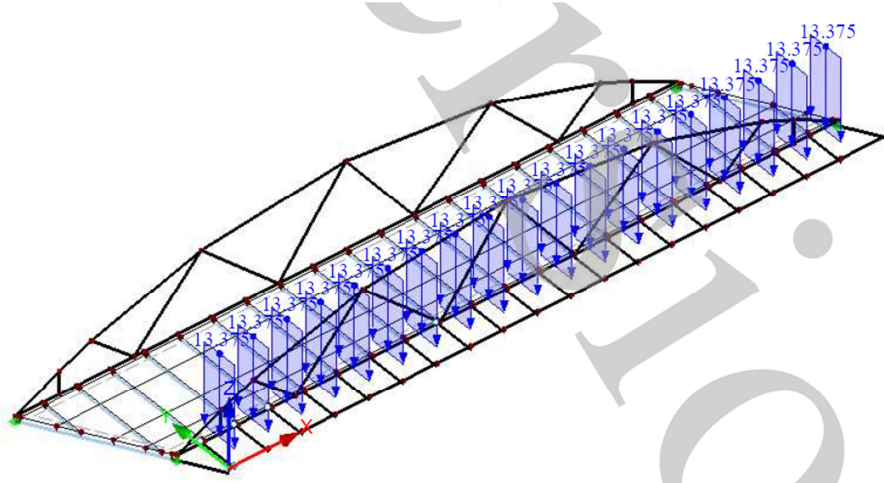
Vozovka	Šírka [m]	Plocha v reze [m ²]	Objemová hmotnosť [kN/m ³]	Zaťaženie na plochu [kN/m ²]
Konštrukčné vrstvy vozovky	0,10		25,00	2,50
Rímsa		0,058	25,00	1,45
Zvodidlo				0,05
Celkom				4,00
Chodník	Šírka [m]	Objemová hmotnosť [kN/m ³]	Zaťažovacia šírka [m]	Zaťaženie na plochu [kN/m]
Konštrukčné vrstvy chodníku	0,05	25,00	2,675	3,34
Zábradlie a vybavenie mostu				1,63
Betónová doska	0,15	25,00	2,675	10,03
Celkom				15,00

Tab.3.3.2 – Ostatná vlastná tiaž

3.3.3 ZS4 – Zaťaženie chodcami na chodník - plný

Uvažujem spojité zaťaženie na chodníkové konzoly o veľkosti 5 vynásobené zaťažovacou šírkou 2,675 m. Toto zaťaženie je umiestnené na chodník po celej dĺžke.

$$q = 5 \text{ kN/m}^2 * 2,675 \text{ m} = 13,375 \text{ kN/m.}$$

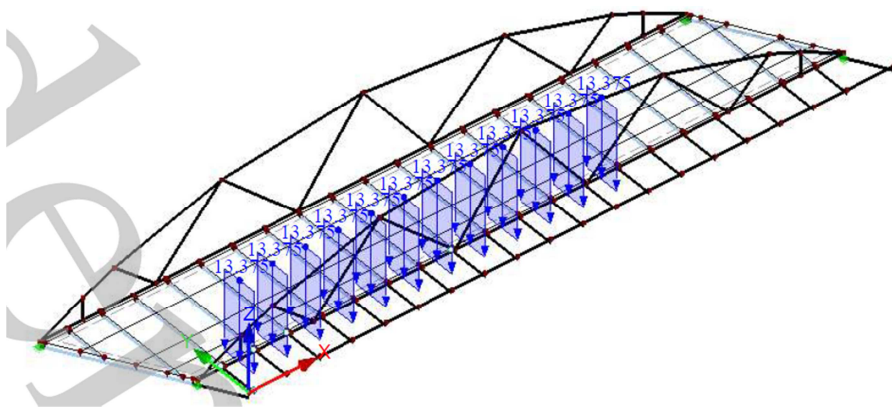


Obr.3.3.3 – Zaťaženie chodcami

3.3.4 ZS5 – Zaťaženie chodcami na chodník ¾

Rovnako ako ZS4 ale teraz je dané zaťaženie umiestnené na chodník v troch štvrtinách dĺžky v smere staničenia.

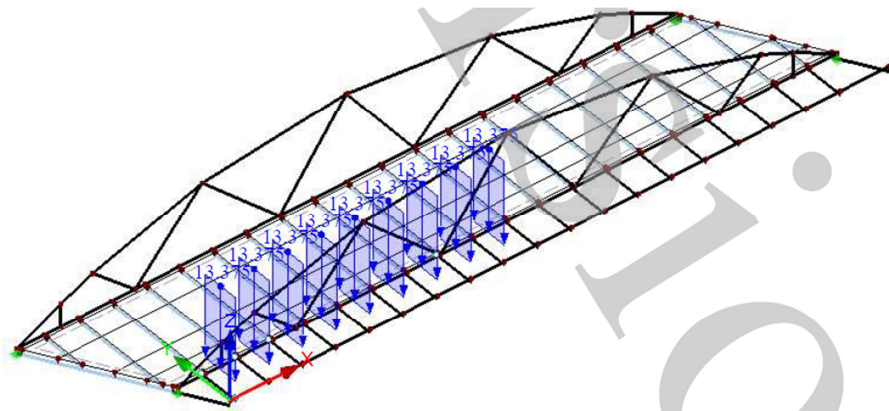
Statický výpočet
Varianty



Obr.3.3.4 – Zaťaženie chodcami

3.3.5 ZS6 – Zaťaženie chodcami na chodník ½

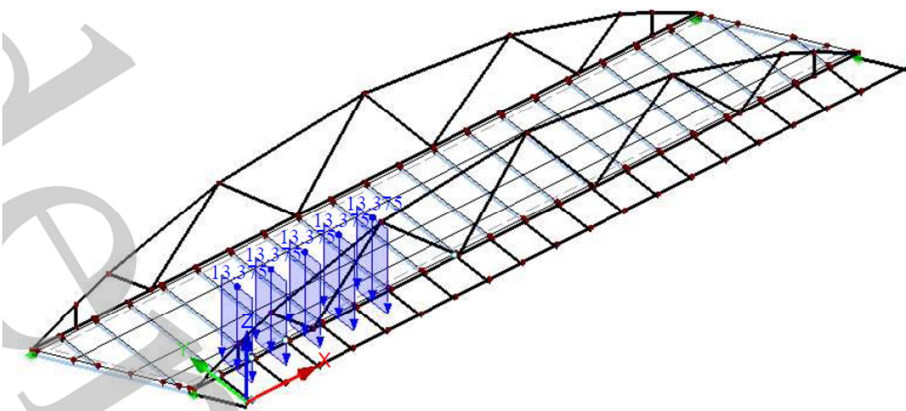
Rovnako ako ZS4 ale teraz je dané zaťaženie umiestnené na chodník na polovicu dĺžky v smere staničenia.



Obr.3.3.5 – Zaťaženie chodcami

3.3.6 ZS7 – Zaťaženie chodcami na chodník ¼

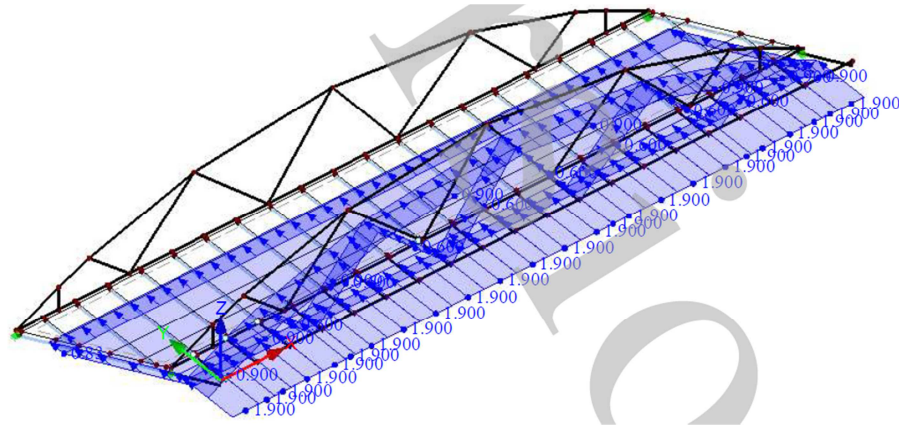
Rovnako ako ZS4 ale teraz je dané zaťaženie umiestnené na chodník v jednej štvrtine dĺžky v smere staničenia.



Obr.3.3.6 – Zaťaženie chodcami

3.3.7 ZS8 – Vietor v smere x (os y v RFEMU)

Zaťaženie vetrom na plochu o veľkosti 1,88 kN/m² je rozpočítané na jednotlivé prvky podľa plochy prvkú. Zaťaženie pôsobí na oblúk a trám. Taktiež uvažujem s tým, že na moste sa nachádza električka. Zaťaženie je aplikované na betónovú dosku a odiaľ je ďalej prenesené do OK.



Obr.3.3.7 – Zaťaženie vetrom

Zaťaženie vetrom		Šírka (m)	q (N/m)
Prvok			
Diagonálna		0,32	0,602
Horný pás - Pravý		0,45	0,846
Horný pás - Ľavý		0,4	0,752
Trám		1	1,880
Električka - uvažované na dosku		4	7,520

Tab. 3.3.7 – Zaťaženie vetrom na prvak

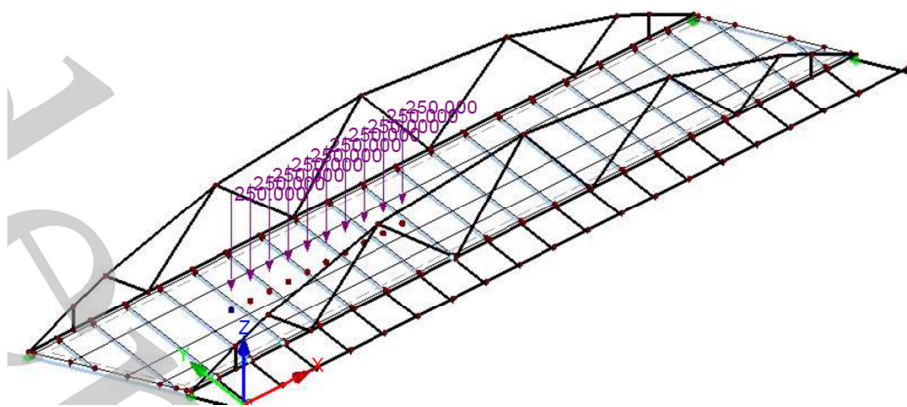
3.3.8 ZS9 – Vietor v smere x (os y v RFEMU)

Rovnako ako ZS8, ale zaťaženie je v opačnom smere.

3.3.9 ZS10-ZS37 – LM3

Zaťažovacie stavy sú generované z RFEM-MOVE. Reprezentujú pohyblivé zaťaženie od špeciálneho vozidla. Vozidlo prechádza v ose mostu pričom je ďalej v kombináciách uvažované osamotene.

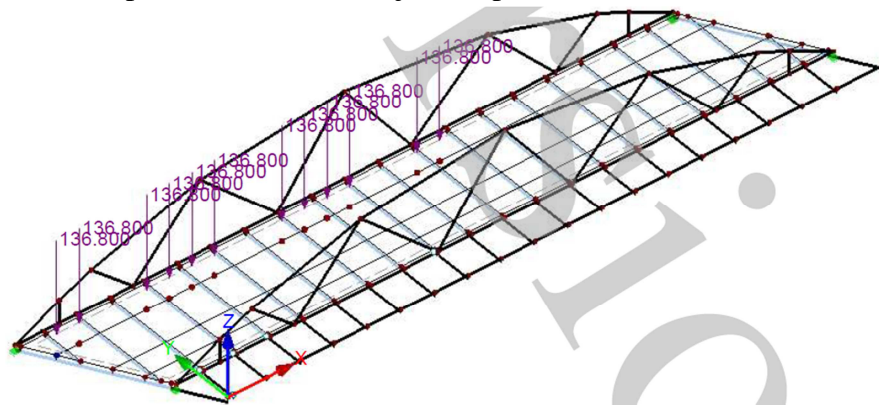
Statický výpočet Variandy



Obr.3.3.9 – Zaťaženie automobilovou dopravou – Model LM3

3.3.10 ZS38 – ZS65 - Električka

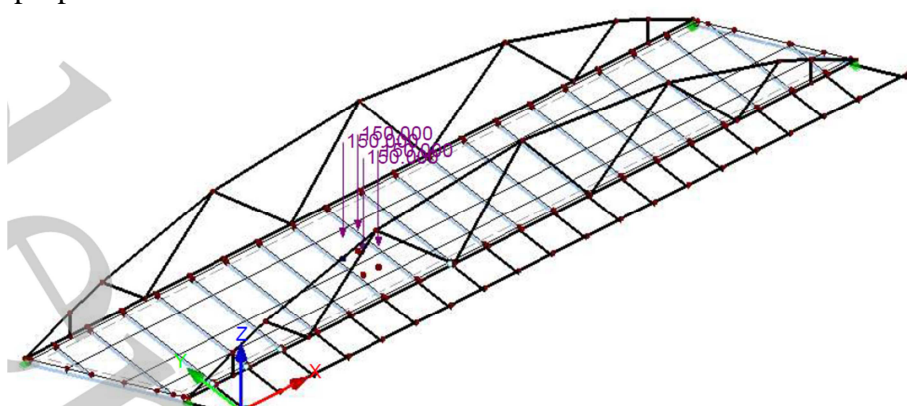
Zaťažovacie stavy sú generované z RFEM-MOVE. Reprezentujú pohyblivé zaťaženie od električky. Vozidlo prechádza v ose kolajového pásu mostu.



Obr.3.3.10 – Zat a enie ko ajovou dopravou

3.3.11 ZS66 – ZS93 – LM1 – TS – Stred mostu

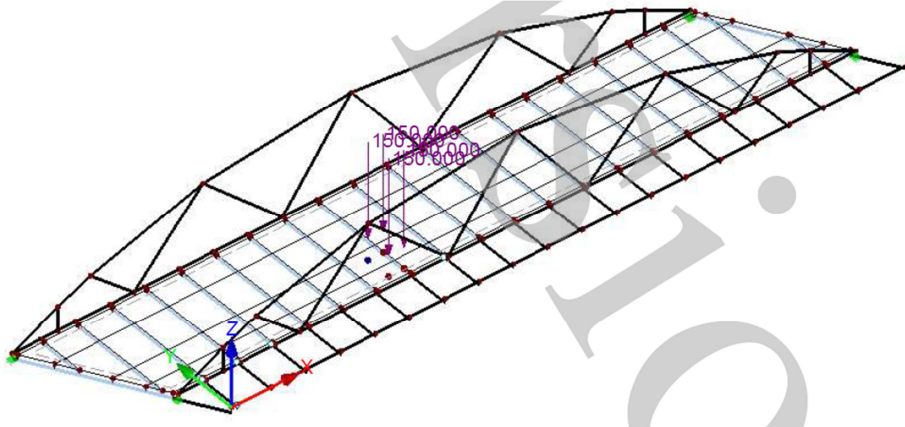
Zaťažovacie stavy sú generované z RFEM-MOVE. Reprezentujú pohyb dvojnápravy po moste s tým, že dvojnáprava je umiestnená do stredu jazdného pruhu. Jazdný pruh sa uvažuje bližšie k ľavému oblúku – vo vzdialosti 1,85 +1,5 m od pravého oblúku. Ostatný priestor je umiestnený pri pravom oblúku.



Obr. 3.3.11 – Zařažení automobilovou dopravou – LM1 - TS

3.3.12 ZS94 – ZS121 – LM1 – TS – Kraj mostu

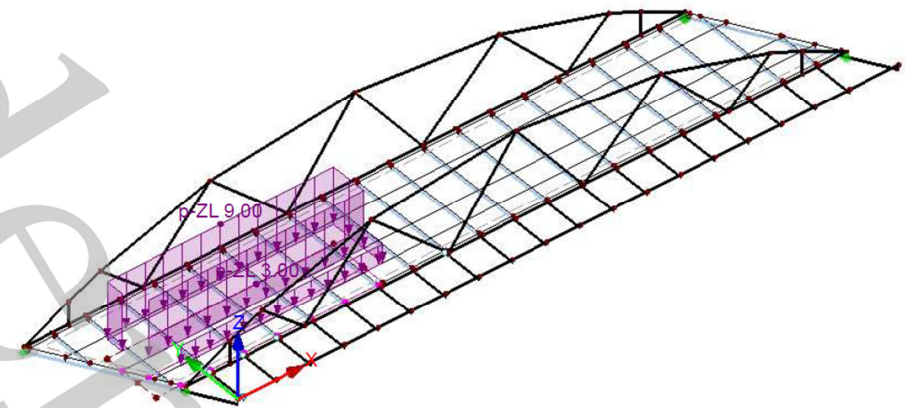
Zaťažovacie stavy sú generované z RFEM-MOVE. Reprezentujú pohyb dvojnápravy po moste s tým, že dvojnáprava je umiestnená do stredu jazdného pruhu. Jazdný pruh sa uvažuje bližšie k pravému oblúku – vo vzdialosti 1,5 m. Ostatný priestor je umiestnený smerom do stredu mostu.



Obr.3.3.12 – Zaťaženie automobilovou dopravou – LM1 – TS

3.3.13 ZS122 – ZS149 – LM1 – UDL – Stred mostu

Zaťažovacie stavy sú generované z RFEM-MOVE. Reprezentujú pohyb rovnomerného zaťaženia z LM1. UDL sa môže nachádzať na celom moste alebo napríklad len pred/za dvojnápravou. Preto je modelované ako súvislý pás „prichádzajúci“ na most. V tomto ZS uvažujem, že jazdný pruh a teda zaťaženie 9 kN/m^2 sa nachádza bližšie k osi mostu. Ostatná časť so zaťažením 3kN/m^2 sa nachádza bližšie k pravému oblúku. Uvažujem s ním samostatne oproti tandem systému pretože ich kombinačný súčiniteľ sa lísi.

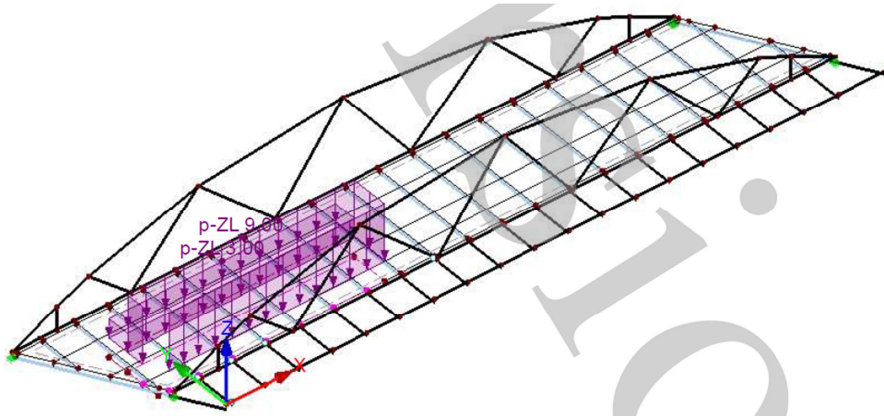


Obr.3.3.13 – Zaťaženie automobilovou dopravou – LM1 – UDL

3.3.14 ZS150 – ZS177 – LM1 – UDL – Kraj mostu

Zaťažovacie stavy sú generované z RFEM-MOVE. Reprezentujú pohyb rovnomerného zaťaženia z LM1. UDL sa môže nachádzať na celom moste alebo napríklad len pred/za dvojnápravou. Preto je modelované ako súvislý pás „prichádzajúci“ na most. V tomto ZS uvažujem, že jazdný pruh a teda zaťaženie 9 kN/m^2 sa nachádza bližšie k pravému oblúku

mostu. Ostatná časť so zaťažením 3kN/m^2 sa nachádza bližšie k osi mostu. Uvažujem s ním osamotene pretože jeho kombinačný súčinatel' je rôzny oproti tandem systému.



Obr.3.3.15 – Zaťaženie automobilovou dopravou – LM1 – UDL

3.4 Kombinácie zaťažovacích stavov

Kombinácie rôznych zaťažovacích stavov boli zostavené na základe normy ČSN EN 1990 ed.2. Keďže národná príloha zaradzuje električku do koľajovej dopravy, tak je most klasifikovaný ako kombinovaný. Kombinačné súčinitele pre kombinované mosty však nie sú normou dané. Kombinácie sú vytvorené ručne v RFEMe ako kombinácie zaťaženia. Kombinačné koeficienty boli dodržané pre električku ako pre železničné mosty (Tab. A2.3) a pre cestnú dopravu ako pre cestné mosty (Tab. A2.1). V prípade nesúladu súčiniek som počítal s konzervatívnym koeficientom. Kombinácie boli vytvorené na základe rovníc 6.10a a 6.10b z normy ČSN 1990 ed.2.

V kapitole 3.6 sa nachádzajú maximálne vnútorné sily pre dané prvky respektíve profily. V poslednom stĺpčeku je zobrazený kľúč kombinácií pre dané vnútorné sily.

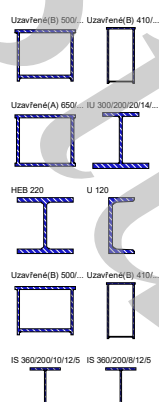
■ KOMBINÁCIE VÝSLEDKOV

Result Combin	Označenie	Zaťažovanie
KV9	Vlastná tiaž - ULS	$1.35 \cdot ZS1/s + 1.35 \cdot ZS2/s$
KV10	Chodník	$1.5 \cdot ZS4$ alebo $1.5 \cdot ZS6$ alebo $1.5 \cdot ZS7 + 1.5 \cdot ZS5$
KV11	Auticka	$1.45 \cdot KV15 + 1.35 \cdot KV16$ alebo $1.35 \cdot KV17 + 1.35 \cdot KV18$ alebo $1.35 \cdot KV19$
KV12	MAX-ULS	$1.35 \cdot ZS1/s + 1.35 \cdot ZS2/s + 1.5 \cdot ZS4$ alebo $1.5 \cdot ZS5$ alebo $1.5 \cdot ZS6$ alebo $1.5 \cdot ZS7 + 1.5 \cdot ZS8$ alebo $1.5 \cdot ZS9 + 1.45 \cdot KV15 + 1.35 \cdot KV16$ alebo $1.35 \cdot KV17 + 1.35 \cdot KV18$ alebo $1.35 \cdot KV19$
KV13	MAX-SLS	$ZS1/s + ZS2/s + ZS4$ alebo $ZS5$ alebo $ZS6$ alebo $ZS7 + ZS8$ alebo $ZS9 + KV15 + KV16$ alebo $KV17 + KV18$ alebo $KV19$
KV14	RF-MOVE-Surfaces LM3	$ZS10$ alebo $ZS11$ alebo $ZS12$ alebo $ZS13$ alebo $ZS14$ alebo $ZS15$ alebo $ZS16$ alebo $ZS17$ alebo $ZS18$ alebo $ZS19$ alebo $ZS20$ alebo $ZS21$ alebo $ZS22$ alebo $ZS23$ alebo $ZS24$ alebo $ZS25$ alebo $ZS26$ alebo $ZS27$ alebo $ZS28$ alebo $ZS29$ alebo $ZS30$ alebo $ZS31$ alebo $ZS32$ alebo $ZS33$ alebo $ZS34$ alebo $ZS35$ alebo $ZS36$ alebo $ZS37$
KV15	RF-MOVE-Surfaces Električka	$ZS38$ alebo $ZS39$ alebo $ZS40$ alebo $ZS41$ alebo $ZS42$ alebo $ZS43$ alebo $ZS44$ alebo $ZS45$ alebo $ZS46$ alebo $ZS47$ alebo $ZS48$ alebo $ZS49$ alebo $ZS50$ alebo $ZS51$ alebo $ZS52$ alebo $ZS53$ alebo $ZS54$ alebo $ZS55$ alebo $ZS56$ alebo $ZS57$ alebo $ZS58$ alebo $ZS59$ alebo $ZS60$ alebo $ZS61$ alebo $ZS62$ alebo $ZS63$ alebo $ZS64$ alebo $ZS65$
KV16	RF-MOVE-Surfaces LM1 - Stred - TS	$ZS66$ alebo $ZS67$ alebo $ZS68$ alebo $ZS69$ alebo $ZS70$ alebo $ZS71$ alebo $ZS72$ alebo $ZS73$ alebo $ZS74$ alebo $ZS75$ alebo $ZS76$ alebo $ZS77$ alebo $ZS78$ alebo $ZS79$ alebo $ZS80$ alebo $ZS81$ alebo $ZS82$ alebo $ZS83$ alebo $ZS84$ alebo $ZS85$ alebo $ZS86$ alebo $ZS87$ alebo $ZS88$ alebo $ZS89$ alebo $ZS90$ alebo $ZS91$ alebo $ZS92$ alebo $ZS93$
KV17	RF-MOVE-Surfaces LM1 - Kraj - TS	$ZS94$ alebo $ZS95$ alebo $ZS96$ alebo $ZS97$ alebo $ZS98$ alebo $ZS99$ alebo $ZS100$ alebo $ZS101$ alebo $ZS102$ alebo $ZS103$ alebo $ZS104$ alebo $ZS105$ alebo $ZS106$ alebo $ZS107$ alebo $ZS108$ alebo $ZS109$ alebo $ZS110$ alebo $ZS111$ alebo $ZS112$ alebo $ZS113$ alebo $ZS114$ alebo $ZS115$ alebo $ZS116$ alebo $ZS117$ alebo $ZS118$ alebo $ZS119$ alebo $ZS120$ alebo $ZS121$
KV18	RF-MOVE-Surfaces LM1 - Stred - UDL	$ZS122$ alebo $ZS123$ alebo $ZS124$ alebo $ZS125$ alebo $ZS126$ alebo $ZS127$ alebo $ZS128$ alebo $ZS129$ alebo $ZS130$ alebo $ZS131$ alebo $ZS132$ alebo $ZS133$ alebo $ZS134$ alebo $ZS135$ alebo $ZS136$ alebo $ZS137$ alebo $ZS138$ alebo $ZS139$ alebo $ZS140$ alebo $ZS141$ alebo $ZS142$ alebo $ZS143$ alebo $ZS144$ alebo $ZS145$ alebo $ZS146$ alebo $ZS147$ alebo $ZS148$ alebo $ZS149$
KV19	RF-MOVE-Surfaces LM1 - Kraj - UDL	$ZS150$ alebo $ZS151$ alebo $ZS152$ alebo $ZS153$ alebo $ZS154$ alebo $ZS155$ alebo $ZS156$ alebo $ZS157$ alebo $ZS158$ alebo $ZS159$ alebo $ZS160$ alebo $ZS161$ alebo $ZS162$ alebo $ZS163$ alebo $ZS164$ alebo $ZS165$ alebo $ZS166$ alebo $ZS167$ alebo $ZS168$ alebo $ZS169$ alebo $ZS170$ alebo $ZS171$ alebo $ZS172$ alebo $ZS173$ alebo $ZS174$ alebo $ZS175$ alebo $ZS176$ alebo $ZS177$
KV20		$1.35 \cdot ZS1/s + 1.35 \cdot ZS2/s + 0.54 \cdot ZS4$ alebo $0.54 \cdot ZS5$ alebo $0.54 \cdot ZS6$ alebo $0.54 \cdot ZS7 + 1.13 \cdot ZS8$ alebo $1.13 \cdot ZS9 + 1.16 \cdot KV15 + 1.01 \cdot KV16$ alebo $1.01 \cdot KV17 + 0.54 \cdot KV18$ alebo $0.54 \cdot KV19$
KV21		$ZS1/s + ZS2/s + 1.35 \cdot ZS4$ alebo $1.35 \cdot ZS5$ alebo $1.35 \cdot ZS6$ alebo $1.35 \cdot ZS7 + 1.13 \cdot ZS8$ alebo $1.13 \cdot ZS9$
KV22		$ZS1/s + ZS2/s + 0.54 \cdot ZS4$ alebo $0.54 \cdot ZS5$ alebo $0.54 \cdot ZS6$ alebo $0.54 \cdot ZS7 + 1.5 \cdot ZS8$ alebo $1.15 \cdot ZS1/s + 1.15 \cdot ZS2/s + 1.13 \cdot ZS8$ alebo $1.13 \cdot ZS9 + 1.35 \cdot KV14$
KV23		$1.15 \cdot ZS1/s + 1.15 \cdot ZS2/s + 1.13 \cdot ZS8$ alebo $1.13 \cdot ZS9 + 1.35 \cdot KV14$
KV24		$1.15 \cdot ZS1/s + 1.15 \cdot ZS2/s + 1.35 \cdot KV14$
KV25		$ZS1/s + ZS2/s + 1.35 \cdot KV14$
KV26		$1.15 \cdot ZS1/s + 1.15 \cdot ZS2/s + 1.35 \cdot ZS4$ alebo $1.35 \cdot ZS5$ alebo $1.35 \cdot ZS6$ alebo $1.35 \cdot ZS7 + 1.13 \cdot ZS8$ alebo $1.13 \cdot ZS9 + 1.16 \cdot KV15 + 1.01 \cdot KV16$ alebo $1.01 \cdot KV17 + 0.54 \cdot KV18$ alebo $0.54 \cdot KV19$
KV27		$1.15 \cdot ZS1/s + 1.15 \cdot ZS2/s + 0.54 \cdot ZS4$ alebo $0.54 \cdot ZS5$ alebo $0.54 \cdot ZS6$ alebo $0.54 \cdot ZS7 + 1.5 \cdot ZS8$ alebo $1.5 \cdot ZS9 + 1.16 \cdot KV15 + 1.01 \cdot KV16$ alebo $1.01 \cdot KV17 + 0.54 \cdot KV18$ alebo $0.54 \cdot KV19$
KV28		$1.15 \cdot ZS1/s + 1.15 \cdot ZS2/s + 0.54 \cdot ZS4$ alebo $0.54 \cdot ZS5$ alebo $0.54 \cdot ZS6$ alebo $0.54 \cdot ZS7 + 1.13 \cdot ZS8$ alebo $1.13 \cdot ZS9 + 1.45 \cdot KV15 + 1.01 \cdot KV16$ alebo $1.01 \cdot KV17 + 0.54 \cdot KV18$ alebo $0.54 \cdot KV19$
KV29		$1.15 \cdot ZS1/s + 1.15 \cdot ZS2/s + 0.54 \cdot ZS4$ alebo $0.54 \cdot ZS5$ alebo $0.54 \cdot ZS6$ alebo $0.54 \cdot ZS7 + 1.13 \cdot ZS8$ alebo $1.13 \cdot ZS9 + 1.16 \cdot KV15 + 1.35 \cdot KV16$ alebo $1.35 \cdot KV17 + 1.35 \cdot KV18$ alebo $1.35 \cdot KV19$
KV30	MSP - Kombinovaný most	$0.4 \cdot ZS4$ alebo $0.4 \cdot ZS5$ alebo $0.4 \cdot ZS6$ alebo $0.4 \cdot ZS7 + 0.75 \cdot ZS8$ alebo $0.75 \cdot ZS9 + 0.8 \cdot KV15 + 0.5 \cdot KV16$ alebo $0.5 \cdot KV17 + 0.5 \cdot KV18$ alebo $0.5 \cdot KV19$
KV31	MSP - Kombinovaný most	$0.4 \cdot ZS4$ alebo $0.4 \cdot ZS5$ alebo $0.4 \cdot ZS6$ alebo $0.4 \cdot ZS7 + 0.75 \cdot ZS8$ alebo $0.75 \cdot ZS9 + 0.8 \cdot KV15 + 0.38 \cdot KV16$ alebo $0.38 \cdot KV17 + 0.2 \cdot KV18$ alebo $0.2 \cdot KV19$
KV32	MSP - Cestný most	$0.4 \cdot ZS4$ alebo $0.4 \cdot ZS5$ alebo $0.4 \cdot ZS6$ alebo $0.4 \cdot ZS7 + 0.75 \cdot ZS8$ alebo $0.75 \cdot ZS9 + 0.8 \cdot KV15 + 0.16 \cdot KV16$ alebo $KV17 + KV18$ alebo $KV19$

STATICKÝ VÝPOČET

VARIANTA B

KONŠTRUKCIA

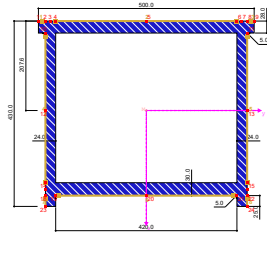


■ 3.5. PRIEREZY

Prierez č.	Mater. č.	I_T [cm ⁴] A [cm ²]	I_y [cm ⁴] A_y [cm ²]	I_z [cm ⁴] A_z [cm ²]	Hlavné osy α [°]	Pootočenie prú α' [°]	Celkové rozmery [mm] Šírka b Výška h
1	Uzavřené(B) 500/28/24/430/420/30/25/5/5						
	1	180966.13 458.96	121448.81 225.15	142879.69 153.76	0.00	0.00	500.0 430.0
							Horný pás - Pravý
2	Uzavřené(B) 410/18/18/800/350/18/15/6/6						
	1	253147.41 418.32	345455.69 89.65	112156.82 255.03	0.00	0.00	410.0 800.0
							Dolný pás - Pravý
3	Uzavřené(A) 650/30/30/550/550/650/30/7/7						
	1	498232.91 684.00	322757.00 306.09	384787.00 257.92	0.00	0.00	650.0 550.0
							Koncový priečnik
4	IU 300/200/20/14/300/25/5/5						
	1	223.40 150.70	22590.46 86.71	6964.16 35.87	0.00	0.00	300.0 300.0
							Štandardný priečnik
5	HEB 220						
	1	76.57 91.04	8091.00 58.71	2843.00 17.87	0.00	0.00	220.0 220.0
							Chodníková konzola
6	U 120 DIN 1026-1:1963						
	1	4.15 17.00	364.00 5.12	43.20 6.95	0.00	0.00	55.0 120.0
							Obvodový pás
9	Uzavřené(B) 500/24/20/400/420/24/25/5/5						
	1	133570.36 371.20	86732.16 187.35	112661.34 118.27	0.00	0.00	500.0 400.0
							Horný pás - Ľavý
10	Uzavřené(B) 410/18/18/800/350/18/15/6/6						
	1	253147.41 418.32	345455.69 89.65	112156.82 255.03	0.00	0.00	410.0 800.0
							Dolný pás - Ľavý
11	IS 360/200/10/12/5						
	3	33.77 81.60	17699.33 40.16	1602.80 32.65	0.00	0.00	200.0 360.0
							Diagonálna - Pravá
12	IS 360/200/8/12/5						
	1	28.11 74.88	17067.11 40.08	1601.43 26.38	0.00	0.00	200.0 360.0
							Diagonálna - Ľavá

■ HORNÝ PÁS - PRAVÝ

Uzavřené(B) 500/28/24/430/420/30/25/5/5



■ PRIEREZOVÉ CHARAKTERISTIKY

Prierezová charakteristika	Symbol	Hodnota	Jednotka
Upper flange width	b_o	500.0	mm
Upper flange thickness	t_o	28.0	mm
Web thickness	s	24.0	mm
Depth	h	430.0	mm
Lower flange width	b_u	420.0	mm
Lower flange thickness	t_u	30.0	mm
Lower overlap	u	25.0	mm
Upper fillet weld thickness	a_o	5.0	mm
Lower fillet weld thickness	a_u	5.0	mm
Plocha prierezu	A	458.96	cm ²
Šmyková plocha	A_y	225.15	cm ²
Šmyková plocha	A_z	153.76	cm ²
Účinná šmyková plocha podľa EN 3	$A_{v,y}$	266.00	cm ²
Účinná šmyková plocha podľa EN 3	$A_{v,z}$	192.96	cm ²
Plocha jadra	A_{jedra}	1669.44	cm ²
Vzdialenosť ťažiska	e_z	207.6	mm
Moment zotvácnosti (plošný moment 2. stupňa)	I_y	121449.00	cm ⁴
Moment zotvácnosti (plošný moment 2. stupňa)	I_z	142880.00	cm ⁴
Polárny moment zotvácnosti	I_p	264329.00	cm ⁴
Polárny moment zotvácnosti	$I_{p,M}$	264336.00	cm ⁴
Polomer zotvácnosti	i_y	162.7	mm
Polomer zotvácnosti	i_z	176.4	mm
Hlavný polomer zotvácnosti	i_u	162.7	mm
Hlavný polomer zotvácnosti	i_v	176.4	mm
Polárny polomer zotvácnosti	i_p	240.0	mm
Polárny polomer zotvácnosti	$i_{p,M}$	240.0	mm
Hmotnosť prierezu	G	360.3	kg/m

STATICKÝ VÝPOČET

VARIANTA B

KONŠTRUKCIA

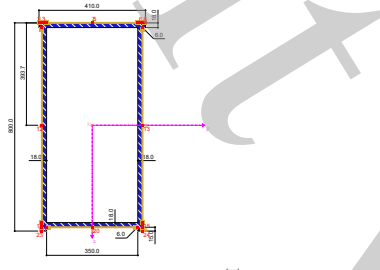
■ PRIEREZOVÉ CHARAKTERISTIKY

Uzavřené(B) 500/28/24/430/420/30/25/5

Prierezová charakteristika	Symbol	Hodnota	Jednotka
Plocha plášťa	$A_{plášť}$	1.910	m^2/m
Moment tuhosti v kútení	I_t	180966.00	cm^4
St. Venantov moment tuhosti v krútení	$I_{t,\text{St}\ddot{\text{e}}\text{vén}}$	1130.12	cm^4
Bredov moment tuhosti v krútení	$I_{t,\text{Bredt}}$	179836.00	cm^4
Vzdialenosť stredu šmyku k tāžisku	Z_M	-1.2	mm
Výsekový moment zotrvačnosti vztiahnutý k M	I_ω	60343.70	cm^6
Výsekový polomer zotrvačnosti	$i_{\omega,M}$	4.8	mm
Súčinatel' tlmenia	λ	0.107551	1/mm
Prierezový modul	$W_{y,\text{max}}$	5461.24	cm^3
Prierezový modul	$W_{y,\text{min}}$	-5849.66	cm^3
Prierezový modul	W_z	-5715.19	cm^3
Výsekový prierezový modul	W_ω	755.56	cm^4
Statický moment	$S_{y,\text{max}}$	1742.46	cm^3
Statický moment	$S_{z,\text{max}}$	1886.25	cm^3
Výseková súradnica	ω_{max}	79.87	cm^2
Výseková plocha (plošný moment 1. stupňa výseku)	$S_{\omega,\text{max}}$	340.47	cm^4
Stabilitný parameter podľa Kindera	$\Gamma_{y,\text{Kindem}}$	-8.8	mm
Stabilitný parameter	$\Gamma_{M,z}$	-6.5	mm
Poloha osi plochy vztiahnutej k S	f_z	6.8	mm
Plasticický prierezový modul	$W_{pl,y,\text{max}}$	6967.64	cm^3
Plasticický prierezový modul	$W_{pl,z,\text{max}}$	7356.71	cm^3
Plasticický tvarový súčinatel'	$\alpha_{pl,y,\text{max}}$	1.276	
Plasticický tvarový súčinatel'	$\alpha_{pl,z,\text{max}}$	1.287	
Vzperná križka (DIN 18880-2:2008-11)	$VK_{y,\text{DIN}}$	c	
Vzperná križka (DIN 18880-2:2008-11)	$VK_{z,\text{DIN}}$	c	
Vzperná križka podľa EN	$VK_{y,\text{EN}}$	c	
Vzperná križka podľa EN	$VK_{z,\text{EN}}$	c	
Vzperná križka podľa EN pre ocel S 460	$VK_{y,\text{EN},S460}$	c	
Vzperná križka podľa EN pre ocel S 460	$VK_{z,\text{EN},S460}$	c	

■ DOLNÝ PÁS

Uzavřené(B) 410/18/18/800/350/18/15/6



■ PRIEREZOVÉ CHARAKTERISTIKY

Uzavřené(B) 410/18/18/800/350/18/15/6

Prierezová charakteristika	Symbol	Hodnota	Jednotka
Upper flange width	b_o	410.0	mm
Upper flange thickness	t_o	18.0	mm
Web thickness	s	18.0	mm
Depth	h	800.0	mm
Lower flange width	b_u	350.0	mm
Lower flange thickness	t_u	18.0	mm
Lower overlap	u	15.0	mm
Upper fillet weld thickness	a_y	6.0	mm
Lower fillet weld thickness	a_z	6.0	mm
Plocha prierezu	A	418.32	cm^2
Šmyková plocha	A_y	89.65	cm^2
Šmyková plocha	A_z	255.03	cm^2
Účinná šmyková plocha podľa EN 3	$A_{v,y}$	136.80	cm^2
Účinná šmyková plocha podľa EN 3	$A_{v,z}$	281.52	cm^2
Plocha jadra	A_{jadra}	2822.56	cm^2
Vzdialenosť tāžiska	e_z	393.7	mm
Moment zotrvačnosti (plošný moment 2. stupňa)	I_y	345456.00	cm^4
Moment zotrvačnosti (plošný moment 2. stupňa)	I_z	112157.00	cm^4
Polárny moment zotrvačnosti	I_o	457613.00	cm^4
Polárny moment zotrvačnosti	$I_{o,M}$	457627.00	cm^4
Polomer zotrvačnosti	i_y	287.4	mm
Polomer zotrvačnosti	i_z	163.7	mm
Hlavný polomer zotrvačnosti	i_u	287.4	mm
Hlavný polomer zotrvačnosti	i_v	163.7	mm
Polárny polomer zotrvačnosti	i_p	330.7	mm
Polárny polomer zotrvačnosti	$i_{p,M}$	330.8	mm
Hmotnosť prierezu	G	328.4	kg/m
Plocha plášťa	$A_{plášť}$	2.450	m^2/m
Moment tuhosti v kútení	I_t	253147.00	cm^4
St. Venantov moment tuhosti v krútení	$I_{t,\text{St}\ddot{\text{e}}\text{vén}}$	454.53	cm^4
Bredov moment tuhosti v krútení	$I_{t,\text{Bredt}}$	252693.00	cm^4
Vzdialenosť stredu šmyku k tāžisku	Z_M	-1.8	mm
Výsekový moment zotrvačnosti vztiahnutý k M	I_ω	9.456E+06	cm^6
Výsekový polomer zotrvačnosti	$i_{\omega,M}$	45.5	mm
Súčinatel' tlmenia	λ	0.010162	1/mm
Prierezový modul	$W_{y,\text{max}}$	8502.54	cm^3

STATICKÝ VÝPOČET

VARIANTA B

KONŠTRUKCIA

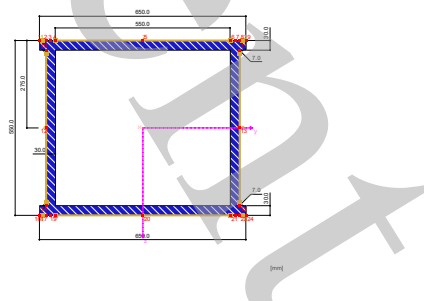
■ PRIEREZOVÉ CHARAKTERISTIKY

Uzavrené(B) 410/18/18/800/350/18/15/6/6

Prierezová charakteristika	Symbol	Hodnota	Jednotka
Prierezový modul	W_y,\min	-8774.52	cm ³
Prierezový modul	W_z	-5471.06	cm ³
Výsekový prierezový modul	W_o	28886.20	cm ⁴
Statický moment	S_y,\max	2689.93	cm ³
Statický moment	S_z,\max	1622.93	cm ³
Výseková súradnica	ω_{\max}	327.35	cm ²
Výseková plocha (plošný moment 1. stupňa výseku)	$S_{o,\max}$	7819.17	cm ⁴
Stabilitný parameter podľa Kindera	$r_{y,Kindem}$	-0.8	mm
Stabilitný parameter	$r_{M,z}$	2.8	mm
Poloha osi plochy vztiahnutej k S	f_z	0.3	mm
Plasticický prierezový modul	$W_{pl,y,\max}$	10759.70	cm ³
Plasticický prierezový modul	$W_{pl,z,\max}$	6487.67	cm ³
Plasticický tvarový súčinatel'	$\alpha_{pl,y,\max}$	1.265	
Plasticický tvarový súčinatel'	$\alpha_{pl,z,\max}$	1.186	
Vzperná krivka (DIN 18880-2:2008-11)	VK_y,DIN	c	
Vzperná krivka (DIN 18880-2:2008-11)	VK_z,DIN	c	
Vzperná krivka podľa EN	VK_y,EN	c	
Vzperná krivka podľa EN	VK_z,EN	c	
Vzperná krivka podľa EN pre oceľ S 460	$VK_{y,EN,S460}$	c	
Vzperná krivka podľa EN pre oceľ S 460	$VK_{z,EN,S460}$	c	

■ KONCOVÝ PRIEČNIK

Uzavrené(A) 650/30/30/550/550/650/30/7/7



■ KONCOVÝ PRIEČNIK

Uzavrené(A) 650/30/30/550/550/650/30/7/7

Prierezová charakteristika	Symbol	Hodnota	Jednotka
Upper flange width	b_o	650.0	mm
Upper flange thickness	t_o	30.0	mm
Web thickness	s	30.0	mm
Inner size	b_i	550.0	mm
Depth	h	550.0	mm
Lower flange width	b_u	650.0	mm
Lower flange thickness	t_u	30.0	mm
Upper fillet weld thickness	a_o	7.0	mm
Lower fillet weld thickness	a_u	7.0	mm
Plocha prierezu	A	684.00	cm ²
Šmyková plocha	A_y	306.09	cm ²
Šmyková plocha	A_z	257.92	cm ²
Účinná šmyková plocha podľa EN 3	$A_{v,y}$	390.00	cm ²
Účinná šmyková plocha podľa EN 3	$A_{v,z}$	294.00	cm ²
Plocha jadra	A_{jadra}	3016.00	cm ²
Vzdialenosť ťažiska	e_z	275.0	mm
Moment zotrvačnosti (plošný moment 2. stupňa)	I_y	322757.00	cm ⁴
Moment zotrvačnosti (plošný moment 2. stupňa)	I_z	384787.00	cm ⁴
Polárny moment zotrvačnosti	I_p	707544.00	cm ⁴
Polárny moment zotrvačnosti	$I_{p,M}$	707544.00	cm ⁴
Polomer zotrvačnosti	i_y	217.2	mm
Polomer zotrvačnosti	i_z	237.2	mm
Polárny polomer zotrvačnosti	i_p	321.6	mm
Polárny polomer zotrvačnosti	$i_{p,M}$	321.6	mm
Hmotnosť prierezu	G	536.9	kg/m
Plocha pláštia	$A_{plášt}$	2.600	m ² /m
Moment tuhosťi v kútení	I_t	498233.00	cm ⁴
St. Venantov moment tuhosťi v krútení	$I_{t,StVén}$	2073.50	cm ⁴
Bredov moment tuhosťi v krútení	$I_{t,Bredt}$	496159.00	cm ⁴
Vzdialenosť stredu šmyku k ťažisku	Z_M	0.0	mm
Výsekový moment zotrvačnosti vztiahnutý k M	I_o	401906.00	cm ⁶
Výsekový polomer zotrvačnosti	$i_{o,M}$	7.5	mm
Súčinatel' tlmenia	λ	0.069149	1/mm
Prierezový modul	$W_{y,\max}$	11736.60	cm ³
Prierezový modul	$W_{y,\min}$	-11736.60	cm ³
Prierezový modul	W_z	11839.60	cm ³
Výsekový prierezový modul	W_o	8058.64	cm ⁴
Statický moment	S_y,\max	3435.38	cm ³
Statický moment	S_z,\max	3715.88	cm ³
Výseková súradnica	ω_{\max}	49.87	cm ²
Výseková plocha (plošný moment 1. stupňa výseku)	$S_{o,\max}$	1703.14	cm ⁴
Stabilitný parameter podľa Kindera	$r_{y,Kindem}$	0.0	mm
Stabilitný parameter	$r_{M,z}$	0.0	mm
Poloha osi plochy vztiahnutej k S	f_z	0.0	mm
Plasticický prierezový modul	$W_{pl,y,\max}$	13741.50	cm ³

STATICKÝ VÝPOČET

VARIANTA B

KONŠTRUKCIA

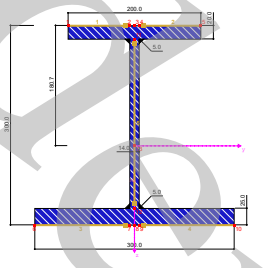
■ KONCOVÝ PRIEČNIK

Uzavrené(A) 650/30/30/550/550/650/30/7/7

Prierezová charakteristika	Symbol	Hodnota	Jednotka
Plasticický prierezový modul	$W_{pl,z,max}$	14863.50	cm ³
Plasticický tvarový súčinieľ	$\alpha_{pl,y,max}$	1.171	
Plasticický tvarový súčinieľ	$\alpha_{pl,z,max}$	1.255	
Vzperná krvka (DIN 18880-2:2008-11)	VK_y,DIN	c	
Vzperná krvka (DIN 18880-2:2008-11)	VK_z,DIN	c	
Vzperná krvka podľa EN	VK_y,EN	c	
Vzperná krvka podľa EN	VK_z,EN	c	
Vzperná krvka podľa EN pre oceľ S 460	$VK_{y,EN,S460}$	c	
Vzperná krvka podľa EN pre oceľ S 460	$VK_{z,EN,S460}$	c	

■ ŠTANDARDNÝ PRIEČNIK

IU 300/200/20/14/300/25/5/5



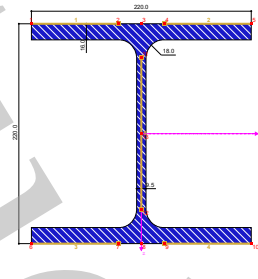
■ PRIEREZOVÉ CHARAKTERISTIKY

IU 300/200/20/14/300/25/5/5

Prierezová charakteristika	Symbol	Hodnota	Jednotka
Depth	h	300.0	mm
Upper flange width	b_o	200.0	mm
Upper flange thickness	t_o	20.0	mm
Web thickness	s	14.0	mm
Lower flange width	b_u	300.0	mm
Lower flange thickness	t_u	25.0	mm
Upper fillet weld thickness	a_o	5.0	mm
Lower fillet weld thickness	a_u	5.0	mm
Placha prierezu	A	150.70	cm ²
Šmyková placha	A_y	86.71	cm ²
Šmyková placha	A_z	35.87	cm ²
Vzdialenosť tāžiska	e_z	180.7	mm
Moment zotvácnosti (plošný moment 2. stupňa)	I_y	22590.50	cm ⁴
Moment zotvácnosti (plošný moment 2. stupňa)	I_z	6964.16	cm ⁴
Polárny moment zotvácnosti	I_p	29554.60	cm ⁴
Polárny moment zotvácnosti	$I_{p,M}$	33884.60	cm ⁴
Moment zotvácnosti vztiahnutý k menšej pásnici	$I_{y,SF}$	22847.70	cm ⁴
Polomer zotvácnosti	i_y	122.4	mm
Polomer zotvácnosti	i_z	68.0	mm
Polárny polomer zotvácnosti	i_p	140.0	mm
Polárny polomer zotvácnosti	$i_{p,M}$	150.1	mm
Hmotnosť prierezu	G	118.3	kg/m
Placha pláštia	$A_{plášt}$	1.572	m ² /m
Moment tuhosti v kútení	I_t	223.40	cm ⁴
Vzdialenosť stredu šmyku k tāžisku	Z_M	53.6	mm
Výsekový moment zotvácnosti vztiahnutý k M	I_{ω}	830008.00	cm ⁶
Súčinieľ tlmenia	λ	0.001019	1/mm
Prierezový modul	$W_{y,max}$	1893.24	cm ³
Prierezový modul	$W_{y,min}$	-1250.31	cm ³
Prierezový modul	W_z	464.28	cm ³
Výsekový prierezový modul	W_{ϕ}	3700.75	cm ⁴
Statický moment	$S_{y,max}$	863.44	cm ³
Statický moment	$S_{z,max}$	281.11	cm ³
Výseková súradnica	ω_{max}	224.28	cm ²
Výseková plocha (plošný moment 1. stupňa výseku)	$S_{\omega,max}$	2242.81	cm ⁴
Stabilitný parameter podľa Kindera	$r_{y,Kindem}$	-42.2	mm
Stabilitný parameter	$r_{M,z}$	-149.4	mm
Poľoha osi plochy vztiahnutej k S	f_z	91.8	mm
Plasticický prierezový modul	$W_{pl,y,max}$	1608.84	cm ³
Plasticický prierezový modul	$W_{pl,z,max}$	774.99	cm ³
Plasticický tvarový súčinieľ	$\alpha_{pl,y,max}$	1.287	
Plasticický tvarový súčinieľ	$\alpha_{pl,z,max}$	1.669	
Vzperná krvka (DIN 18880-2:2008-11)	VK_y,DIN	c	
Vzperná krvka (DIN 18880-2:2008-11)	VK_z,DIN	c	
Vzperná krvka podľa EN	VK_y,EN	b	
Vzperná krvka podľa EN	VK_z,EN	c	
Vzperná krvka podľa EN pre oceľ S 460	$VK_{y,EN,S460}$	b	
Vzperná krvka podľa EN pre oceľ S 460	$VK_{z,EN,S460}$	c	

■ CHODNÍKOVÁ KONZOLA

HEB 220



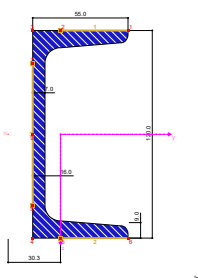
■ PRIEREZOVÉ CHARAKTERISTIKY

HEB 220

Prierezová charakteristika	Symbol	Hodnota	Jednotka
Výška profilu	h	220.0	mm
Šírka profilu	b	220.0	mm
Hrubka stojiny	t_w	9.5	mm
Hrubka pásnice	t_f	16.0	mm
Vnútorný polomer zaoblenia	r	18.0	mm
Vnútorná výška medzi pásnicami	h_l	188.0	mm
Výška rovnnej časti stojiny	d	152.0	mm
Plocha prierezu	A	91.04	cm ²
Šmyková plocha	A_y	58.71	cm ²
Šmyková plocha	A_z	17.87	cm ²
Účinná šmyková plocha podľa EN 3	A_v,y	73.01	cm ²
Účinná šmyková plocha podľa EN 3	A_v,z	27.92	cm ²
Plasticická šmyková plocha	A_pl,y	70.40	cm ²
Plasticická šmyková plocha	A_pl,z	19.38	cm ²
Moment zotrvačnosti (plošný moment 2. stupňa)	I_y	8091.00	cm ⁴
Moment zotrvačnosti (plošný moment 2. stupňa)	I_z	2843.00	cm ⁴
Polomer zotrvačnosti	i_y	94.3	mm
Polomer zotrvačnosti	i_z	55.9	mm
Polárny polomer zotrvačnosti	i_p	109.6	mm
Polomer zotrvačnosti pásnice + 1/5 výšky stojiny	i_zg	59.5	mm
Objem	V	9104.00	cm ³ /m
Hmotnosť prierezu	G	71.5	kg/m
Plocha plášťa	A_plášť	1.270	m ² /m
Súčinatel profilu	A_m/V	139.499	1/m
Moment tuhosti v kútení	I_t	76.57	cm ⁴
Výsekový moment zotrvačnosti	I_o	295400.00	cm ⁶
Prierezový modul	W_z	735.50	cm ³
Prierezový modul	W_y	258.50	cm ³
Výsekový prierezový modul	W	2632.80	cm ⁴
Statický moment	S_y,max	413.50	cm ³
Statický moment	S_z,max	796.80	cm ³
Výseková súradnica	ω _{max}	112.20	cm ²
Výseková plocha (plošný moment 1. stupňa výseku)	S_o,max	987.36	cm ⁴
Plasticický prierezový modul	W _{pl,y}	827.00	cm ³
Plasticický prierezový modul	W _{pl,z}	393.90	cm ³
Plasticický výsekový prierezový modul	W _{pl,o}	3949.44	cm ⁴
Plasticický tvarový súčinatel	α _{pl,y}	1.124	
Plasticický tvarový súčinatel	α _{pl,z}	1.524	
Plasticický tvarový súčinatel	α _{pl,o}	1.500	
Vzperná krivka (DIN 18880-2:2008-11)	VK _{y,DIN}	b	
Vzperná krivka (DIN 18880-2:2008-11)	VK _{z,DIN}	c	
Vzperná krivka pre ocel s $f_y \geq 460 \text{ N/mm}^2$ (DIN 18880-2:2008-11)	VK _{y,DIN,S460}	a	
Vzperná krivka pre ocel s $f_y \geq 460 \text{ N/mm}^2$ (DIN 18880-2:2008-11)	VK _{z,DIN,S460}	b	
Vzperná krivka podľa EN	VK _{y,EN}	b	
Vzperná krivka podľa EN	VK _{z,EN}	c	
Vzperná krivka podľa EN pre ocel S 460	VK _{y,EN,S460}	a	
Vzperná krivka podľa EN pre ocel S 460	VK _{z,EN,S460}	a	

■ OBVODOVÝ PÁS

DIN 1026-1:1963



STATICKÝ VÝPOČET

VARIANTA B

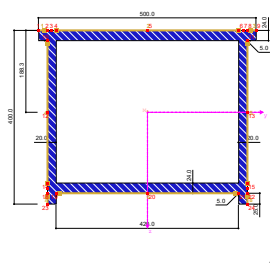
KONŠTRUKCIA

■ PRIEREZOVÉ CHARAKTERISTIKY

Prierezová charakteristika	Symbol	Hodnota	Jednotka
Výška profilu	h	120.0	mm
Sírka profilu	b	55.0	mm
Hrubka stojiny	t _w	7.0	mm
Hrubka pásnice	t _f	9.0	mm
Vnútorný polomer zaoblenia	r	9.0	mm
Vonkajší polomer zaoblenia	r ₁	4.5	mm
Plocha prierezu	A	17.00	cm ²
Šmyková plocha	A _y	5.12	cm ²
Šmyková plocha	A _z	6.95	cm ²
Plocha pásnic	A _G	7.14	cm ²
Účinná šmyková plocha podľa EN 3	A _{v,y}	11.02	cm ²
Účinná šmyková plocha podľa EN 3	A _{v,z}	8.54	cm ²
Plasticická šmyková plocha	A _{pl,y}	9.27	cm ²
Plasticická šmyková plocha	A _{pl,z}	7.77	cm ²
Vzdialenosť tāžiskovej osi z-z	e _y	16.0	mm
Moment zotrvačnosti (plošný moment 2. stupňa)	I _y	364.00	cm ⁴
Moment zotrvačnosti (plošný moment 2. stupňa)	I _z	43.20	cm ⁴
Polomer zotrvačnosti	i _y	46.2	mm
Polomer zotrvačnosti	i _z	15.9	mm
Polárny polomer zotrvačnosti	i _p	48.9	mm
Polárny polomer zotrvačnosti	i _{p,M}	57.5	mm
Objem	V	1700.00	cm ³ /m
Hmotnosť prierezu	G	13.3	kg/m
Plocha plášťa	A _{plášť}	0.434	m ² /m
Súčinatel' profilu	A _{plášť} /V	255.294	1/m
Moment tuhosti v kútení	I _t	4.15	cm ⁴
Vzdialenosť stredu šmyku k tāžisku	y _M	-30.3	mm
Výsekový moment zotrvačnosti vztiahnutý k M	I _o	900.00	cm ⁶
Prierezový modul	W _{z,min}	-27.00	cm ³
Prierezový modul	W _{z,max}	11.08	cm ³
Prierezový modul	W _y	60.67	cm ³
Prierezový modul	W _z	11.08	cm ³
Výsekový prierezový modul	W _o	51.86	cm ⁴
Statický moment	S _{y,max}	36.30	cm ³
Statický moment	S _{z,max}	5.80	cm ³
Výseková súradnica	ω _{max}	17.36	cm ²
Výseková plocha (plošný moment 1. stupňa výseku)	S _{o,max}	23.66	cm ⁴
Stabilitný parameter podľa Kindema	r _{z,Kindem}	64.8	mm
Stabilitný parameter	r _{M,y}	125.4	mm
Plasticický prierezový modul (pre max. priateľný ohybový moment)	W _{pl,y,max}	72.73	cm ³
Plasticický prierezový modul (pre plne plasticický ohybový moment)	W _{pl,y,pln.}	66.51	cm ³
Plasticický prierezový modul	W _{pl,z}	21.26	cm ³
Plasticický výsekový prierezový modul	W _{pl,o}	99.40	cm ⁴
Plasticický tvarový súčinatel' (pre max. priateľný ohybový moment)	α _{pl,y,max}	1.199	
Plasticický tvarový súčinatel' (pre plne plasticický ohyb. moment)	α _{pl,y,pln.}	1.096	
Plasticický tvarový súčinatel'	α _{pl,z}	1.919	
Plasticický tvarový súčinatel'	α _{pl,o}	1.917	
Poloha stredu šmyku vztiahnutá k tāžisku (na základe MKP)	y _{M,FEM}	-29.6	mm
Výsekový moment zotrvačnosti (na základe MKP)	I _{o,FEM}	896.60	cm ⁶
Vzperná krivka (DIN 18800-2:2008-11)	VK _{y,DIN}	c	
Vzperná krivka (DIN 18800-2:2008-11)	VK _{z,DIN}	c	
Vzperná krivka pre oceľ s $f_y \geq 460 \text{ N/mm}^2$ (DIN 18800-2:2008-11)	VK _{y,DIN,S460}	c	
Vzperná krivka pre oceľ s $f_y \geq 460 \text{ N/mm}^2$ (DIN 18800-2:2008-11)	VK _{z,DIN,S460}	c	
Vzperná krivka podľa EN	VK _{y,EN}	c	
Vzperná krivka podľa EN	VK _{z,EN}	c	
Vzperná krivka podľa EN pre oceľ S 460	VK _{y,EN,S460}	c	
Vzperná krivka podľa EN pre oceľ S 460	VK _{z,EN,S460}	c	
Priemer otvorov na pásnici	d _L	13.0	mm
Vzdialenosť otvorov v pásnici	w	37.0	mm
Plná plast. normálková sila podľa DIN 18800-1 pre $f_{y,d} = 21,82 \text{ kN/cm}^2$	N _{pl,d}	370.600	kN
Plná plastická normálková sila podľa DIN 18800-1 pre $f_{y,d} = 21,82 \text{ kN/cm}^2$	V _{pl,z,d}	97.880	kN
Plný plastický ohyb. moment podľa DIN 18800-1 pre $f_{y,d} = 21,82 \text{ kN/cm}^2$	M _{pl,y,d}	14.512	kNm

■ HORNÝ PÁS - ĽAVÝ

Uzavrené(B) 500/24/20/400/420/24/25/5/5



■ PRIEREZOVÉ CHARAKTERISTIKY

Uzavrené(B) 500/24/20/400/420/24/25/5/5

Prierezová charakteristika	Symbol	Hodnota	Jednotka
Upper flange width	b _o	500.0	mm
Upper flange thickness	t _o	24.0	mm
Web thickness	s	20.0	mm

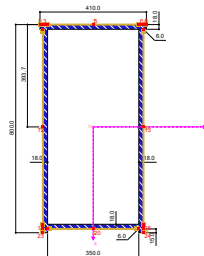
■ PRIEREZOVÉ CHARAKTERISTIKY

Uzavrené(B) 500/24/20/400/420/24/25/5

Prierezová charakteristika	Symbol	Hodnota	Jednotka
Depth	h	400.0	mm
Lower flange width	b _u	420.0	mm
Lower flange thickness	t _u	24.0	mm
Lower overlap	u	25.0	mm
Upper fillet weld thickness	a _o	5.0	mm
Lower fillet weld thickness	a _u	5.0	mm
Plocha prierezu	A	371.20	cm ²
Šmyková plocha	A _y	187.35	cm ²
Šmyková plocha	A _z	118.27	cm ²
Účinná šmyková plocha podľa EN 3	A _{v,y}	220.80	cm ²
Účinná šmyková plocha podľa EN 3	A _{v,z}	150.40	cm ²
Plocha jadra	A _{jadra}	1544.40	cm ²
Vzdialenosť tāžiska	e _z	188.3	mm
Moment zotrvačnosti (plošný moment 2. stupňa)	I _y	86732.20	cm ⁴
Moment zotrvačnosti (plošný moment 2. stupňa)	I _z	112661.00	cm ⁴
Polárny moment zotrvačnosti	I _p	199393.00	cm ⁴
Polárny moment zotrvačnosti	I _{p,M}	199425.00	cm ⁴
Polomer zotrvačnosti	i _y	152.9	mm
Polomer zotrvačnosti	i _z	174.2	mm
HLAVNÝ polomer zotrvačnosti	i _u	152.9	mm
HLAVNÝ polomer zotrvačnosti	i _v	174.2	mm
Polárny polomer zotrvačnosti	i _p	231.8	mm
Polárny polomer zotrvačnosti	i _{p,M}	231.8	mm
Hmotnosť prierezu	G	291.4	kg/m
Plocha plášťa	A _{pášť}	1.850	m ² /m
Moment tuhosť v kútení	I _t	133570.00	cm ⁴
St. Venantov moment tuhosť v krútení	I _{t,StVén}	630.02	cm ⁴
Bredtov moment tuhosť v krútení	I _{t,Bredt}	132940.00	cm ⁴
Vzdialenosť stredu šmyku k tāžisku	Z _M	-2.9	mm
Výsekový moment zotrvačnosti vztiahnutý k M	I _o	55949.90	cm ⁶
Výsekový polomer zotrvačnosti	i _{o,M}	5.3	mm
Súčinatel' ľmenia	λ	0.095960	1/mm
Prierezový modul	W _{y,max}	4097.89	cm ³
Prierezový modul	W _{y,min}	-4604.86	cm ³
Prierezový modul	W _z	-4506.45	cm ³
Výsekový prierezový modul	W _o	655.11	cm ⁴
Statický moment	S _{y,max}	1328.20	cm ³
Statický moment	S _{z,max}	1470.27	cm ³
Výseková súradnica	ω _{max}	85.41	cm ²
Výseková plocha (plošný moment 1. stupňa výseku)	S _{o,max}	330.82	cm ⁴
Stabilitný parameter podľa Kindera	γ _{Kindem}	-0.3	mm
Stabilitný parameter	Γ _{M,z}	5.5	mm
Poloha osi plochy vztiahnutej k S	f _z	-0.3	mm
Plastický prierezový modul	W _{pl,y,max}	5312.80	cm ³
Plastický prierezový modul	W _{pl,z,max}	5867.20	cm ³
Plastický tvarový súčinatel'	α _{pl,y,max}	1.296	
Plastický tvarový súčinatel'	α _{pl,z,max}	1.302	
Vzperná križka (DIN 18880-2:2008-11)	VK _{y,DIN}	c	
Vzperná križka (DIN 18880-2:2008-11)	VK _{z,DIN}	c	
Vzperná križka podľa EN	VK _{y,EN}	c	
Vzperná križka podľa EN	VK _{z,EN}	c	
Vzperná križka podľa EN pre oceľ S 460	VK _{y,EN,S460}	c	
Vzperná križka podľa EN pre oceľ S 460	VK _{z,EN,S460}	c	

■ DOLNÝ PÁS

Uzavrené(B) 410/18/18/800/350/18/15/6/6



■ PRIEREZOVÉ CHARAKTERISTIKY

Uzavrené(B) 410/18/18/800/350/18/15/6/6

Prierezová charakteristika	Symbol	Hodnota	Jednotka
Upper flange width	b _o	410.0	mm
Upper flange thickness	t _o	18.0	mm
Web thickness	s	18.0	mm
Depth	h	800.0	mm
Lower flange width	b _u	350.0	mm
Lower flange thickness	t _u	18.0	mm
Lower overlap	u	15.0	mm
Upper fillet weld thickness	a _o	6.0	mm
Lower fillet weld thickness	a _u	6.0	mm
Plocha prierezu	A	418.32	cm ²
Šmyková plocha	A _y	89.65	cm ²
Šmyková plocha	A _z	255.03	cm ²

STATICKÝ VÝPOČET

VARIANTA B

KONŠTRUKCIA

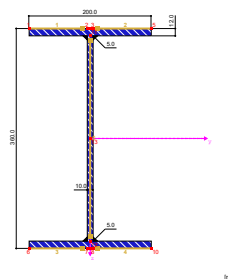
■ PRIEREZOVÉ CHARAKTERISTIKY

Uzavřené(B) 410/18/18/800/350/18/15/6/6

Prierezová charakteristika	Symbol	Hodnota	Jednotka
Účinná šmyková plocha podľa EN 3	$A_{v,y}$	136.80	cm ²
Účinná šmyková plocha podľa EN 3	$A_{v,z}$	281.52	cm ²
Plocha jadra	$A_{j,adra}$	2822.56	cm ²
Vzdialenosť ťažiska	e_z	393.7	mm
Moment zotrvačnosti (plošný moment 2. stupňa)	I_y	345456.00	cm ⁴
Moment zotrvačnosti (plošný moment 2. stupňa)	I_z	112157.00	cm ⁴
Polárny moment zotrvačnosti	I_o	457613.00	cm ⁴
Polárny moment zotrvačnosti	$I_{p,M}$	457627.00	cm ⁴
Polomer zotrvačnosti	i_y	287.4	mm
Polomer zotrvačnosti	i_z	163.7	mm
Hlavný polomer zotrvačnosti	i_u	287.4	mm
Hlavný polomer zotrvačnosti	i_v	163.7	mm
Polárny polomer zotrvačnosti	i_p	330.7	mm
Polárny polomer zotrvačnosti	$i_{p,M}$	330.8	mm
Hmotnosť prierezu	G	328.4	kg/m
Plocha plášťa	$A_{plášt}$	2.450	m ² /m
Moment tuhosť v kútení	I_t	253147.00	cm ⁴
St. Venantov moment tuhosť v krútení	$I_{t,StVén}$	454.53	cm ⁴
Bredtov moment tuhosť v krútení	$I_{t,Bredt}$	252693.00	cm ⁴
Vzdialenosť stredu šmyku k ťažisku	Z_M	-1.8	mm
Výsekový moment zotrvačnosti vztižnutý k M	$i_{o,M}$	9.456E+06	cm ⁶
Výsekový polomer zotrvačnosti	λ	45.5	mm
Súčinatel tlmenia	$W_{y,max}$	0.010162	1/mm
Prierezový modul	$W_{y,min}$	8502.54	cm ³
Prierezový modul	W_z	-8774.52	cm ³
Prierezový modul	W_o	-5471.06	cm ³
Výsekový prierezový modul	$W_{o,max}$	28886.20	cm ⁴
Statický moment	$S_{y,max}$	2689.93	cm ³
Statický moment	$S_{z,max}$	1622.93	cm ³
Výseková súradnica	α_{max}	327.35	cm ²
Výseková plocha (plošný moment 1. stupňa výšku)	$S_{o,max}$	7819.17	cm ⁴
Stabilitný parameter podľa Kindema	$r_{y,Kindem}$	-0.8	mm
Stabilitný parameter	$r_{M,z}$	2.8	mm
Poloha osi plochy vztižnutej k S	f_z	0.3	mm
Plasticický prierezový modul	$W_{pl,y,max}$	10759.70	cm ³
Plasticický prierezový modul	$W_{pl,z,max}$	6487.67	cm ³
Plasticický tvarový súčinatel	$\alpha_{pl,y,max}$	1.265	
Plasticický tvarový súčinatel	$\alpha_{pl,z,max}$	1.186	
Vzperná krivka (DIN 18880-2:2008-11)	$VK_{y,DIN}$	c	
Vzperná krivka (DIN 18880-2:2008-11)	$VK_{z,DIN}$	c	
Vzperná krivka podľa EN	$VK_{y,EN}$	c	
Vzperná krivka podľa EN	$VK_{z,EN}$	c	
Vzperná krivka podľa EN pre oceľ S 460	$VK_{y,EN,S460}$	c	
Vzperná krivka podľa EN pre oceľ S 460	$VK_{z,EN,S460}$	c	

■ DIAGONÁLA - PRAVÁ

IS 360/200/10/12/5



■ PRIEREZOVÉ CHARAKTERISTIKY

IS 360/200/10/12/5

Prierezová charakteristika	Symbol	Hodnota	Jednotka
Depth	h	360.0	mm
Width	b	200.0	mm
Web thickness	s	10.0	mm
Hrubká pásnice	t	12.0	mm
Fillet weld thickness	a	5.0	mm
Plocha prierezu	A	81.60	cm ²
Šmyková plocha	A_y	40.16	cm ²
Šmyková plocha	A_z	32.65	cm ²
Účinná šmyková plocha podľa EN 3	$A_{v,y}$	48.00	cm ²
Účinná šmyková plocha podľa EN 3	$A_{v,z}$	33.60	cm ²
Plasticická šmyková plocha	$A_{pl,y}$	48.00	cm ²
Plasticická šmyková plocha	$A_{pl,z}$	34.80	cm ²
Moment zotrvačnosti (plošný moment 2. stupňa)	I_y	17699.30	cm ⁴
Moment zotrvačnosti (plošný moment 2. stupňa)	I_z	1602.80	cm ⁴
Polárny moment zotrvačnosti	I_o	19302.10	cm ⁴
Polomer zotrvačnosti	i_y	147.3	mm
Polomer zotrvačnosti	i_z	44.3	mm
Polárny polomer zotrvačnosti	i_p	153.8	mm
Polomer zotrvačnosti pásnice + 1/5 výšky stojiny	i_{zg}	51.0	mm
Hmotnosť prierezu	G	64.1	kg/m
Plocha plášťa	$A_{plášt}$	1.500	m ² /m
Moment tuhosť v kútení	I_t	33.77	cm ⁴

STATICKÝ VÝPOČET

VARIANTA B

KONŠTRUKCIA

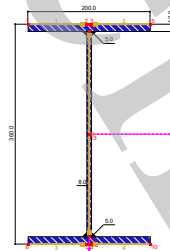
■ PRIEREZOVÉ CHARAKTERISTIKY

IS 360/200/10/12/5

Prierezová charakteristika	Symbol	Hodnota	Jednotka
Výsekový moment zotračnosti vztiahnutý k M	I_{ω}	484416.00	cm ⁶
Súčinieľ tlmenia	λ	0.000519	1/mm
Prierezový modul	W_y	983.30	cm ³
Prierezový modul	W_z	160.28	cm ³
Výsekový prierezový modul	W_{ω}	2784.00	cm ⁴
Statický moment	$S_{y,max}$	558.72	cm ³
Statický moment	$S_{z,max}$	59.96	cm ³
Výseková súradnica	α_{max}	174.00	cm ²
Výseková plocha (plošný moment 1. stupňa výseku)	$S_{\omega,max}$	1044.00	cm ⁴
Plasticický prierezový modul	$W_{pl,y,max}$	1117.44	cm ³
Plasticický prierezový modul	$W_{pl,z,max}$	248.40	cm ³
Plasticický výsekový prierezový modul	$W_{pl,\omega}$	4176.00	cm ⁴
Plasticický tvarový súčinieľ	$\alpha_{pl,y,max}$	1.136	
Plasticický tvarový súčinieľ	$\alpha_{pl,z,max}$	1.550	
Plasticický tvarový súčinieľ	$\alpha_{pl,\omega}$	1.500	
Vzperná krivka (DIN 18880-2:2008-11)	$VK_{y,DIN}$	c	
Vzperná krivka (DIN 18880-2:2008-11)	$VK_{z,DIN}$	c	
Vzperná krivka podľa EN	$VK_{y,EN}$	b	
Vzperná krivka podľa EN	$VK_{z,EN}$	c	
Vzperná krivka podľa EN pre oceľ S 460	$VK_{y,EN,S460}$	b	
Vzperná krivka podľa EN pre oceľ S 460	$VK_{z,EN,S460}$	c	

■ DIAGONÁLA - L'AVÁ

IS 360/200/8/12/5



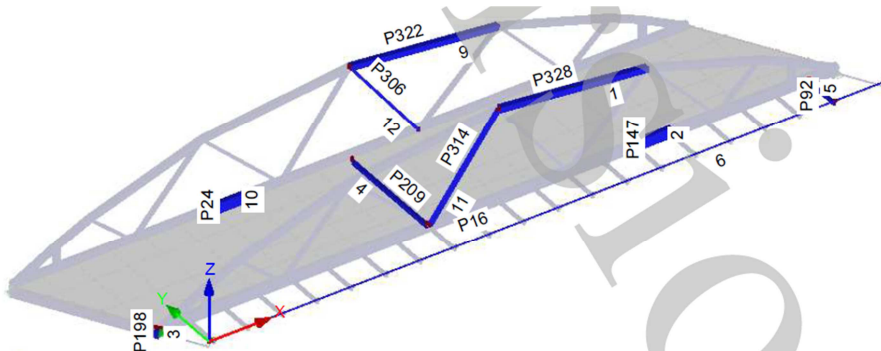
■ PRIEREZOVÉ CHARAKTERISTIKY

IS 360/200/8/12/5

Prierezová charakteristika	Symbol	Hodnota	Jednotka
Depth	h	360.0	mm
Width	b	200.0	mm
Web thickness	s	8.0	mm
Hrubka pásnice	t	12.0	mm
Fillet weld thickness	a	5.0	mm
Plocha prierezu	A	74.88	cm ²
Šmyková plocha	A_y	40.08	cm ²
Šmyková plocha	A_z	26.38	cm ²
Učinná šmyková plocha podľa EN 3	$A_{v,y}$	48.00	cm ²
Učinná šmyková plocha podľa EN 3	$A_{v,z}$	26.88	cm ²
Plasticická šmyková plocha	$A_{pl,y}$	48.00	cm ²
Plasticická šmyková plocha	$A_{pl,z}$	27.84	cm ²
Moment zotračnosti (plošný moment 2. stupňa)	I_y	17067.10	cm ⁴
Moment zotračnosti (plošný moment 2. stupňa)	I_z	160143	cm ⁴
Polárny moment zotračnosti	I_p	18668.50	cm ⁴
Polomer zotračnosti	i_y	151.0	mm
Polomer zotračnosti	i_z	46.2	mm
Polárny polomer zotračnosti	i_p	157.9	mm
Polomer zotračnosti pásnice + 1/5 výšky stojiny	i_{sg}	52.2	mm
Hmotnosť prierezu	G	58.8	kg/m
Plocha plášťa	A_{plast}	1.504	m ² /m
Moment tuhosti v kútení	I_t	28.11	cm ⁴
Výsekový moment zotračnosti vztiahnutý k M	I_{ω}	484416.00	cm ⁶
Súčinieľ tlmenia	λ	0.000473	1/mm
Prierezový modul	W_y	948.17	cm ³
Prierezový modul	W_z	160.14	cm ³
Výsekový prierezový modul	W_{ω}	2784.00	cm ⁴
Statický moment	$S_{y,max}$	530.50	cm ³
Statický moment	$S_{z,max}$	59.98	cm ³
Výseková súradnica	α_{max}	174.00	cm ²
Výseková plocha (plošný moment 1. stupňa výseku)	$S_{\omega,max}$	1044.00	cm ⁴
Plasticický prierezový modul	$W_{pl,y,max}$	1060.99	cm ³
Plasticický prierezový modul	$W_{pl,z,max}$	245.38	cm ³
Plasticický výsekový prierezový modul	$W_{pl,\omega}$	4176.00	cm ⁴
Plasticický tvarový súčinieľ	$\alpha_{pl,y,max}$	1.119	
Plasticický tvarový súčinieľ	$\alpha_{pl,z,max}$	1.532	
Plasticický tvarový súčinieľ	$\alpha_{pl,\omega}$	1.500	
Vzperná krivka (DIN 18880-2:2008-11)	$VK_{y,DIN}$	c	
Vzperná krivka (DIN 18880-2:2008-11)	$VK_{z,DIN}$	c	
Vzperná krivka podľa EN	$VK_{y,EN}$	b	
Vzperná krivka podľa EN	$VK_{z,EN}$	c	
Vzperná krivka podľa EN pre oceľ S 460	$VK_{y,EN,S460}$	b	
Vzperná krivka podľa EN pre oceľ S 460	$VK_{z,EN,S460}$	c	

3.6 Vnútorné sily

V kapitolách 3.6. a 3.7 sú zobrazené vnútorné sily a následne posúdené prvky, ktoré sú najviac využité pri daných kombináciach. Čísla najviac namáhaných prvkov a ich prierezy sú zobrazené na obrázku 3.6. Pri každom prvku sú dve čísla. Číslo s písmenom P značí číslo prvku a druhé, osamotené číslo, je číslo prierezu.



Obr.3.6 – Čísla najviac namáhaných prútov a ich čísla prierezu

STATICKÝ VÝPOČET

VARIANTA B

VÝSLEDKY

■ 3.6. VNÚTORNÉ SÍLY NA PRUTOCH S KRITICKÝM PRIEREZOM

Kombinácie výsledkov

Typ prútu č.	Uzol č.	Miesto x x [m]		Síly [kN]			Momenty [kNm]			Príslušný zať. stav	
				N	V _y	V _z	M _T	M _y	M _z		
16	KV23	27.198	Max N	20.56	-0.00	-0.62	0.00	0.02	0.01	ZS 1,2,9,27	
		48.598	Min N	0.03	-0.05	0.30	0.00	0.02	-0.12	ZS 1,2,8	
		0.000	Max V _y	3.43	5.92	-0.91	0.00	0.00	0.00	ZS 1,2,9,16	
		45.923	Min V _y	5.70	-0.46	0.89	0.00	-0.19	-0.60	ZS 1,2,9,32	
		29.873	Max V _z	19.33	-0.07	1.21	-0.00	-2.28	-0.08	ZS 1,2,9,30	
		19.173	Min V _z	19.08	0.11	-1.26	0.00	-2.32	-0.13	ZS 1,2,9,21	
		0.000	Max M _T	1.78	3.06	-0.12	0.01	0.00	0.00	ZS 1,2,8,25	
		24.523	Min M _T	16.20	0.07	-0.33	-0.00	0.88	0.10	ZS 1,2,8,30	
		13.823	Max M _y	17.62	0.12	-0.43	-0.00	2.00	0.17	ZS 1,2,9,20	
		29.873	Min M _y	19.95	-0.10	1.16	0.00	-2.38	-0.11	ZS 1,2,9,28	
		48.598	Max M _z	5.70	-0.46	0.48	0.00	1.63	0.64	ZS 1,2,9,32	
		0.448	Min M _z	3.43	5.92	-0.98	0.00	-0.42	-2.65	ZS 1,2,9,16	
	KV24	27.198	Max N	19.25	0.00	-0.62	0.00	0.02	0.02	ZS 1,2,27	
		48.598	Min N	0.04	-0.06	0.31	0.00	-0.01	-0.13	ZS 1,2	
		0.000	Max V _y	3.26	5.63	-0.86	0.00	0.00	0.00	ZS 1,2,16	
		45.923	Min V _y	5.41	-0.44	0.86	0.00	-0.17	-0.57	ZS 1,2,32	
		29.873	Max V _z	18.07	-0.06	1.20	-0.00	-2.27	-0.07	ZS 1,2,30	
		19.173	Min V _z	17.93	0.10	-1.25	0.00	-2.31	-0.12	ZS 1,2,21	
		0.000	Max M _T	1.95	3.35	-0.17	0.00	0.00	0.00	ZS 1,2,25	
		24.523	Min M _T	17.51	0.07	-0.33	-0.00	0.89	0.10	ZS 1,2,30	
		13.823	Max M _y	16.58	0.11	-0.42	-0.00	1.98	0.15	ZS 1,2,20	
		29.873	Min M _y	18.70	-0.09	1.16	0.00	-2.37	-0.11	ZS 1,2,28	
		48.598	Max M _z	5.41	-0.44	0.45	0.00	1.59	0.60	ZS 1,2,32	
		0.448	Min M _z	3.26	5.63	-0.93	0.00	-0.40	-2.52	ZS 1,2,16	
	KV25	27.198	Max N	17.80	0.00	-0.60	0.00	0.02	0.02	ZS 1,2,27	
		48.598	Min N	0.03	-0.05	0.27	0.00	-0.01	-0.11	ZS 1,2	
		0.000	Max V _y	3.14	5.41	-0.88	0.00	0.00	0.00	ZS 1,2,16	
		45.923	Min V _y	4.99	-0.40	0.79	0.00	-0.14	-0.52	ZS 1,2,32	
		29.873	Max V _z	16.65	-0.06	1.11	-0.00	-2.13	-0.06	ZS 1,2,30	
		19.173	Min V _z	16.61	0.09	-1.15	0.00	-2.17	-0.10	ZS 1,2,21	
		0.000	Max M _T	1.82	3.13	-0.19	0.00	0.00	0.00	ZS 1,2,25	
		24.523	Min M _T	16.07	0.07	-0.33	-0.00	0.83	0.10	ZS 1,2,30	
		13.823	Max M _y	15.37	0.10	-0.41	-0.00	1.87	0.14	ZS 1,2,20	
		29.873	Min M _y	17.28	-0.08	1.07	0.00	-2.23	-0.10	ZS 1,2,28	
		48.598	Max M _z	4.99	-0.40	0.43	0.00	1.49	0.56	ZS 1,2,32	
		0.448	Min M _z	3.14	5.41	-0.94	0.00	-0.41	-2.43	ZS 1,2,16	
	KV26	27.198	Max N	21.22	0.00	-0.67	-0.00	0.22	0.02	ZS 1,2,4,9,61,110,177	
		0.000	Min N	-0.30	-0.54	1.29	0.01	0.00	0.00	ZS 1,2,7,8,66	
		18	0.000	Max V _y	2.99	5.15	-0.70	0.00	0.00	ZS 1,2,9,62,68,147	
		18	0.000	Min V _y	-0.30	-0.54	1.29	0.01	0.00	ZS 1,2,7,8,66	
		19.173	Max V _z	15.50	0.03	1.69	-0.00	-2.04	0.04	ZS 1,2,6,8,54,105,167	
		13.823	Min V _z	13.10	0.13	-1.72	-0.01	-0.83	-0.17	ZS 1,2,7,9,58,75,124	
		18	0.000	Max M _T	-0.17	-0.32	1.27	0.01	0.00	ZS 1,2,5,8,66,124	
		21.848	Min M _T	14.66	0.02	-1.03	-0.01	2.23	0.03	ZS 1,2,6,8,58,81	
		11.148	Max M _y	14.26	0.13	-1.25	-0.00	3.50	0.18	ZS 1,2,7,9,64,102,177	
		19.173	Min M _y	17.22	0.12	-1.26	-0.00	-2.33	-0.15	ZS 1,2,5,9,49,77,167	
		48.598	Max M _z	5.81	-0.47	0.71	0.00	2.06	0.65	ZS 1,2,4,9,61,114,177	
		0.448	Min M _z	2.99	5.15	-0.77	0.00	-0.33	-2.31	ZS 1,2,9,62,68,147	
	KV29	27.198	Max N	23.42	0.00	-0.76	-0.00	0.26	0.02	ZS 1,2,4,9,61,110,177	
		48.598	Min N	0.03	-0.05	0.23	-0.00	0.29	-0.12	ZS 1,2,4,8	
		18	0.000	Max V _y	3.60	6.20	-0.95	0.00	0.00	ZS 1,2,9,62,68,147	
		45.923	Min V _y	6.45	-0.52	0.95	0.00	-0.15	-0.68	ZS 1,2,4,9,61,116,177	
		19.173	Max V _z	18.11	0.02	1.42	0.00	-2.27	0.03	ZS 1,2,6,8,54,105,167	
		19.173	Min V _z	20.85	0.13	-1.45	0.00	-2.28	-0.17	ZS 1,2,4,9,61,102,177	
		18	0.000	Max M _T	0.43	0.73	0.66	0.01	0.00	ZS 1,2,5,8,66,124	
		21.848	Min M _T	15.09	0.03	-0.20	-0.00	1.20	0.04	ZS 1,2,6,8,58,81	
		11.148	Max M _y	17.05	0.16	-0.40	-0.00	2.64	0.21	ZS 1,2,7,9,64,102,177	
		19.173	Min M _y	19.40	0.13	-1.34	-0.00	-2.55	-0.16	ZS 1,2,5,9,49,77,167	
		48.598	Max M _z	6.46	-0.52	0.63	0.00	1.83	0.72	ZS 1,2,4,9,61,114,177	
		0.448	Min M _z	3.60	6.20	-1.02	0.00	-0.44	-2.78	ZS 1,2,9,62,68,147	
	KV23	101	0.000	Max N	1567.23	-0.04	-256.24	126.03	1365.64	-4.21	ZS 1,2,8,18
		101	0.000	Min N	790.08	10.27	-82.27	56.51	425.25	10.16	ZS 1,2,9
		101	0.000	Max V _y	1104.44	18.65	-95.54	94.45	359.38	21.94	ZS 1,2,9,26
		101	0.000	Min V _y	1492.36	-1.99	-259.77	28.65	1405.88	-5.02	ZS 1,2,8,16
		85	2.670	Min V _z	1409.38	0.38	-273.67	-25.12	599.63	-1.94	ZS 1,2,8,15
		101	0.000	Max M _T	1378.56	9.35	-111.60	246.36	528.00	7.36	ZS 1,2,9,22
		101	0.000	Min M _T	1295.51	3.44	-254.78	-59.87	1139.26	3.53	ZS 1,2,8,14
		101	0.000	Max M _y	1542.91	-1.60	-258.25	80.64	1417.29	-5.71	ZS 1,2,8,17
		85	2.670	Min M _y	1256.20	10.25	-124.66	158.17	-3.97	-14.69	ZS 1,2,8,24
		101	0.000	Max M _z	1104.44	18.65	-95.54	94.45	359.38	21.94	ZS 1,2,9,26
		85	2.670	Min M _z	1056.12	12.85	-92.96	80.32	168.02	-20.29	ZS 1,2,9,27
	KV24	101	0.000	Max N	1551.64	2.18	-254.16	126.58	1362.98	-1.45	ZS 1,2,18
		101	0.000	Min N	805.25	5.18	-84.33	56.01	427.85	6.11	ZS 1,2
		101	0.000	Max V _y	1119.61	13.56	-97.60	93.94	361.98	17.89	ZS 1,2,26
		101	0.000	Min V _y	1476.77	0.24	-257.69	29.20	1403.21	-2.27	ZS 1,2,16
		85	2.670	Max V _z	981.39	11.82	-70.03	67.81	456.69	14.95	ZS 1,2,30
		101	0.000	Max M _T	1393.74	4.26	-113.66	245.86	530.61	3.32	ZS 1,2,22
		101	0.000	Min M _T	1279.91	5.66	-252.71	-59.32	1136.59	6.29	ZS 1,2,14
		101	0.000	Max M _y	1527.31	0.63	-256.18	81.19	1414.63	-2.96	ZS 1,2,17
		85	2.670	Min M _y	1240.60	12.47	-122.59	158.72	-1.09	-17.86	ZS 1,2,24
		101	0.000	Max M _z	1119.61	13.56	-97.60	93.94	361.98	17.89	ZS 1,2,26
		85	2.670	Min M _z	1071.29	13.49	-95.02	79.81	165.13	-18.38	ZS 1,2,27
	KV25	101	0.000	Max N	1446.61	1.50	-243.16	119.27	1307.17	-2.25	ZS 1,2,18
		101	0.000	Min N	700.22	4.50	-73.33	48.70	372.04	5.32	ZS 1,2
		101	0.000	Max V _y	1014.57	12.88	-86.60	86.64	306.18	17.10	ZS 1,2,26
		101	0.000	Min V _y	1371.74	-0.44	-246.69	21.89	1347.41	-3.06	ZS 1,2,16
		101	0.000	Max V _z	876.36	11.15	-59.03	60.50	400.88	14.15	ZS 1,2,30

STATICKÝ VÝPOČET

VARIANTA B

VÝSLEDKY

■ 3.6. VNÚTORNÉ SÍLY NA PRUTOCH S KRITICKÝM PRIEREZOM

Kombinácie výsledkov

Typ prútu č.	Uzol č.	Miesto x x [m]		Síly [kN]			Momenty [kNm]			Príslušný zať. stav	
				N	V _y	V _z	M _T	M _y	M _z		
24	KV25	85	2.670	Min V _z	1288.75	1.92	-259.28	-31.88	577.81	-4.11	ZS 1,2,15
		101	0.000	Max M _T	1288.70	3.58	-102.66	238.55	474.80	2.52	ZS 1,2,22
		101	0.000	Min M _T	1174.88	4.98	-241.71	-66.62	1080.79	5.49	ZS 1,2,14
		101	0.000	Max M _y	1422.28	-0.05	-245.18	73.88	1358.82	-3.76	ZS 1,2,17
		85	2.670	Min M _y	1135.57	11.79	-110.27	151.41	-25.78	-16.86	ZS 1,2,24
		101	0.000	Max M _z	1014.57	12.88	-86.60	86.64	306.18	17.10	ZS 1,2,26
		85	2.670	Min M _z	966.26	12.82	-82.71	72.51	140.44	-17.38	ZS 1,2,27
		101	0.000	Max N	1512.96	2.07	-164.42	131.89	1025.78	1.40	ZS 1,2,4,8,61,73,149
		101	0.000	Min N	790.08	10.27	-82.27	56.51	425.25	10.16	ZS 1,2,9
		101	0.000	Max V _y	1428.48	18.05	-253.50	37.88	1043.99	18.95	ZS 1,2,4,9,59,71,177
92	KV26	101	0.000	Min V _y	1205.79	-5.76	-126.68	125.25	867.26	-9.01	ZS 1,2,8,41,74,132
		101	0.000	Max V _z	1020.09	8.52	-71.89	126.79	513.50	7.06	ZS 1,2,4,9,74,123
		85	2.670	Min V _z	1319.32	6.85	-279.73	24.23	321.71	-10.87	ZS 1,2,8,48,71,137
		101	0.000	Max M _T	1424.65	4.91	-116.49	171.56	803.70	1.22	ZS 1,2,4,9,46,74,177
		101	0.000	Min M _T	1089.13	3.04	-206.24	-13.81	891.11	2.81	ZS 1,2,8,39,70,128
		101	0.000	Max M _y	1295.10	2.93	-225.97	54.94	1161.11	2.66	ZS 1,2,8,44,72,132
		85	2.670	Min M _y	938.93	4.27	-103.86	81.85	110.55	-6.32	ZS 1,2,7,8,77,125
		101	0.000	Max M _z	1384.10	17.32	-191.30	83.18	770.72	19.41	ZS 1,2,4,9,64,107,177
		85	2.670	Min M _z	1428.48	12.32	-263.58	37.88	353.75	-21.58	ZS 1,2,4,9,59,71,177
		101	0.000	Max N	1653.20	1.42	-188.08	148.54	1178.93	0.28	ZS 1,2,4,8,61,73,149
92	KV29	101	0.000	Min N	790.08	10.27	-82.27	56.51	425.25	10.16	ZS 1,2,9
		101	0.000	Max V _y	1557.52	19.28	-286.04	32.41	1185.02	20.29	ZS 1,2,4,9,59,71,177
		101	0.000	Min V _y	1328.49	-7.17	-139.28	147.17	984.56	-11.38	ZS 1,2,8,41,74,132
		101	0.000	Max V _z	1006.00	6.57	-73.96	139.07	559.87	4.26	ZS 1,2,4,9,74,123
		85	2.670	Min V _z	1472.59	7.86	-315.23	21.93	376.25	-12.62	ZS 1,2,8,48,71,137
		101	0.000	Max M _T	1558.57	4.33	-128.60	197.50	902.52	0.05	ZS 1,2,4,9,46,74,177
		101	0.000	Min M _T	1156.79	3.04	-231.76	-36.78	980.57	2.49	ZS 1,2,8,39,70,128
		101	0.000	Max M _y	1419.72	3.24	-254.91	54.28	1329.90	2.77	ZS 1,2,8,44,72,132
		85	2.670	Min M _y	971.25	4.45	-110.26	85.65	90.80	-6.47	ZS 1,2,7,8,77,125
		101	0.000	Max M _z	1499.16	18.39	-205.34	91.66	830.53	20.76	ZS 1,2,4,9,64,107,177
		85	2.670	Min M _z	1557.52	13.55	-296.12	32.41	407.90	-23.54	ZS 1,2,4,9,59,71,177
92	KV23	138	0.000	Max N	0.36	5.63	0.22	-0.02	-0.09	0.89	ZS 1,2,9,32
		138	0.000	Min N	0.18	2.83	-0.17	0.00	-0.04	0.43	ZS 1,2,8
		138	0.000	Max V _y	0.36	5.63	0.22	-0.02	-0.09	0.89	ZS 1,2,9,32
		138	0.000	Min V _y	0.18	2.83	-0.17	0.00	-0.04	0.43	ZS 1,2,8
		138	0.000	Max V _z	0.36	5.63	0.22	-0.02	-0.09	0.89	ZS 1,2,9,32
		139	3.000	Min V _z	0.18	2.83	-54.39	0.00	-81.88	-8.05	ZS 1,2,8
		138	0.000	Max M _T	0.29	4.68	-0.02	0.01	-0.07	0.73	ZS 1,2,9,22
		138	0.000	Min M _T	0.32	5.04	0.19	-0.03	-0.08	0.79	ZS 1,2,8,32
		138	0.000	Max M _y	0.18	2.83	-0.17	0.00	-0.04	0.43	ZS 1,2,8
		139	3.000	Min M _y	0.18	2.83	-54.39	0.00	-81.88	-8.05	ZS 1,2,8
		138	0.000	Max M _z	0.36	5.63	0.22	-0.02	-0.09	0.89	ZS 1,2,9,32
		139	3.000	Min M _z	0.36	5.63	-53.99	-0.02	-80.74	-16.01	ZS 1,2,9,32
92	KV24	138	0.000	Max N	0.34	5.34	0.21	-0.03	-0.08	0.84	ZS 1,2,32
		138	0.000	Min N	0.20	3.13	-0.16	0.00	-0.05	0.48	ZS 1,2
		138	0.000	Max V _y	0.34	5.34	0.21	-0.03	-0.08	0.84	ZS 1,2,32
		138	0.000	Min V _y	0.20	3.13	-0.16	0.00	-0.05	0.48	ZS 1,2
		138	0.000	Max V _z	0.34	5.34	0.21	-0.03	-0.08	0.84	ZS 1,2,32
		139	3.000	Min V _z	0.20	3.13	-54.37	0.00	-81.84	-8.90	ZS 1,2
		138	0.000	Max M _T	0.27	4.39	-0.03	0.00	-0.07	0.68	ZS 1,2,22
		138	0.000	Min M _T	0.34	5.34	0.21	-0.03	-0.08	0.84	ZS 1,2,32
		138	0.000	Max M _y	0.20	3.13	-0.16	0.00	-0.05	0.48	ZS 1,2
		139	3.000	Min M _y	0.20	3.13	-54.37	0.00	-81.84	-8.90	ZS 1,2
92	KV25	138	0.000	Max N	0.31	4.93	0.23	-0.03	-0.07	0.78	ZS 1,2,32
		138	0.000	Min N	0.17	2.72	-0.14	0.00	-0.04	0.42	ZS 1,2
		138	0.000	Max V _y	0.31	4.93	0.23	-0.03	-0.07	0.78	ZS 1,2,32
		138	0.000	Min V _y	0.17	2.72	-0.14	0.00	-0.04	0.42	ZS 1,2
		138	0.000	Max V _z	0.31	4.93	0.23	-0.03	-0.07	0.78	ZS 1,2,32
		139	3.000	Min V _z	0.17	2.72	-47.28	0.00	-71.16	-7.74	ZS 1,2
		138	0.000	Max M _T	0.25	3.98	-0.01	0.00	-0.06	0.62	ZS 1,2,22
		138	0.000	Min M _T	0.31	4.93	0.23	-0.03	-0.07	0.78	ZS 1,2,32
		138	0.000	Max M _y	0.17	2.72	-0.14	0.00	-0.04	0.42	ZS 1,2
		139	3.000	Min M _y	0.17	2.72	-47.28	0.00	-71.16	-7.74	ZS 1,2
92	KV26	138	0.000	Max M _z	0.31	4.93	0.23	-0.03	-0.07	0.78	ZS 1,2,32
		138	0.000	Min M _z	0.31	4.93	-46.92	-0.03	-70.11	-14.02	ZS 1,2,32
		138	0.000	Max N	0.37	5.74	0.50	0.02	-0.09	0.91	ZS 1,2,4,9,61,116,177
		138	0.000	Min N	0.18	2.83	-0.17	0.00	-0.04	0.43	ZS 1,2,8
		138	0.000	Max V _y	0.37	5.75	0.53	0.02	-0.09	0.91	ZS 1,2,4,9,61,117,177
		138	0.000	Min V _y	0.18	2.83	-0.17	0.00	-0.04	0.43	ZS 1,2,8
		138	0.000	Max V _z	0.36	5.65	0.63	0.01	-0.09	0.89	ZS 1,2,4,9,61,90,148
		139	3.000	Min V _z	0.22	3.41	-108.11	0.03	-161.81	-9.71	ZS 1,2,4,8,93
		138	0.000	Max M _T	0.29	4.39	0.34	0.04	-0.07	0.69	ZS 1,2,4,9,38,93,168
		138	0.000	Min M _T	0.28	4.48	0.12	-0.02	-0.07	0.70	ZS 1,2,8,60,90,147
92	KV29	138	0.000	Max M _y	0.18	2.83	-0.17	0.00	-0.04	0.43	ZS 1,2,8
		139	3.000	Min M _y	0.22	3.41	-108.11	0.03	-161.81	-9.71	ZS 1,2,4,8,93
		138	0.000	Max M _z	0.37	5.75	0.57	0.02	-0.09	0.91	ZS 1,2,4,9,61,114,177
		139	3.000	Min M _z	0.37	5.75	-107.86	0.02	-161.09	-16.34	ZS 1,2,4,9,61,116,177
		138	0.000	Max N	0.40	6.37	0.30	0.00	-0.10	1.01	ZS 1,2,4,9,61,116,177
		138	0.000	Min N	0.18	2.83	-0.17	0.00	-0.04	0.43	ZS 1,2,8
		138	0.000	Max V _y	0.40	6.39	0.33	-0.00	-0.10	1.01	ZS 1,2,4,9,61,117,177
		138	0.000	Min V _y	0.18	2.83	-0.17	0.00	-0.04	0.43	ZS 1,2,8
		138	0.000	Max V _z	0.39	6.19	0.47	-0.01	-0.09	0.98	ZS 1,2

■ 3.6. VNÚTORNÉ SÍLY NA PRUTOCH S KRITICKÝM PRIEREZOM

Kombinácie výsledkov

Typ prútu č.	Kzs	Uzol č.	Miesto x x [m]	Síly [kN]			Momenty [kNm]			Príslušný zať. stav
				N	V _y	V _z	M _T	M _y	M _z	
92	KV29	138	0.000	Max M _z	0.40	6.39	0.39	0.00	-0.10	1.01
		139	3.000	Min M _z	0.40	6.39	-75.55	-0.00	-112.93	-18.16
147	KV23	129	0.000	Max N	2118.01	9.33	-126.81	148.52	1485.08	12.82
		129	0.000	Min N	1062.71	6.31	-41.57	20.33	627.19	11.16
		47	2.670	Max V _y	1513.30	19.42	-35.19	56.52	483.85	-24.45
		129	0.000	Min V _y	1846.76	5.72	-121.06	213.69	1085.64	10.65
		129	0.000	Max V _z	1570.67	11.40	-6.93	-101.85	776.37	15.35
		47	2.670	Min V _z	1898.68	11.70	-143.65	197.16	950.54	-12.07
		129	0.000	Max M _T	1846.76	5.72	-121.06	213.69	1085.64	10.65
		129	0.000	Min M _T	1704.59	14.14	-9.10	-122.71	980.95	19.18
		129	0.000	Max M _y	2075.67	8.41	-120.98	44.72	1601.92	13.37
		47	2.670	Min M _y	1579.85	19.40	-27.36	77.62	474.53	-24.68
147	KV24	129	0.000	Max M _z	1507.93	12.72	-10.36	-120.71	980.58	21.15
		129	0.000	Min M _z	1579.85	19.40	-27.36	77.62	474.53	-24.68
		129	0.000	Max N	2019.67	10.05	-127.44	149.55	1484.87	14.45
		129	0.000	Min N	1161.03	8.45	-40.94	19.36	627.35	10.81
		129	0.000	Max V _y	1611.62	15.84	-24.48	55.55	564.50	19.41
		129	0.000	Min V _y	1945.08	7.87	-120.44	212.71	1085.80	10.30
		129	0.000	Max V _z	1472.34	12.13	-7.56	-100.83	776.17	16.98
		47	2.670	Min V _z	1997.00	8.11	-143.03	196.19	952.36	-10.49
		129	0.000	Max M _T	1945.08	7.87	-120.44	212.71	1085.80	10.30
		129	0.000	Min M _T	1606.25	14.87	-9.74	-121.68	980.74	20.80
147	KV25	129	0.000	Max M _y	1977.33	9.14	-121.61	45.75	1601.72	14.99
		47	2.670	Min M _y	1678.17	15.82	-26.74	76.65	476.34	-23.11
		129	0.000	Max M _z	1606.25	14.87	-9.74	-121.68	980.74	20.80
		47	2.670	Min M _z	1678.17	15.82	-26.74	76.65	476.34	-23.11
		129	0.000	Max N	1868.23	8.95	-122.10	147.02	1403.05	13.04
		129	0.000	Min N	1009.59	7.35	-35.60	16.83	545.53	9.40
		129	0.000	Max V _y	1460.18	14.73	-19.14	53.02	482.67	18.00
		129	0.000	Min V _y	1793.64	6.76	-115.10	210.19	1003.97	8.89
		129	0.000	Max V _z	1320.90	11.03	-2.22	-103.35	694.34	15.57
		47	2.670	Min V _z	1845.56	7.01	-136.37	193.67	886.54	-8.96
147	KV26	129	0.000	Max M _T	1793.64	6.76	-115.10	210.19	1003.97	8.89
		129	0.000	Min M _T	1454.81	13.76	-4.40	-124.21	898.92	19.39
		129	0.000	Max M _y	1825.89	8.03	-116.27	43.22	1519.89	13.58
		47	2.670	Min M _y	1526.73	14.71	-20.08	74.12	410.53	-21.58
		129	0.000	Max M _z	1454.81	13.76	-4.40	-124.21	898.92	19.39
		47	2.670	Min M _z	1526.73	14.71	-20.08	74.12	410.53	-21.58
		129	0.000	Max N	2263.48	10.47	-165.38	55.69	1678.29	19.23
		129	0.000	Min N	1062.71	6.31	-41.57	20.33	627.19	11.16
		47	2.670	Max V _y	1771.26	23.64	-24.95	-17.17	1013.01	-28.25
		129	0.000	Min V _y	1477.29	0.80	-132.75	111.04	1186.59	5.17
147	KV29	129	0.000	Max V _z	1787.42	16.44	28.54	-24.03	761.05	17.39
		47	2.670	Min V _z	1957.94	11.07	-222.61	94.68	972.80	-15.89
		129	0.000	Max M _T	1527.92	4.94	-131.92	141.17	1041.44	9.76
		129	0.000	Min M _T	1766.84	17.44	-9.21	-50.64	941.59	21.75
		129	0.000	Max M _y	2243.85	10.47	-165.09	60.58	1696.16	18.72
		47	2.670	Min M _y	1487.51	16.57	-49.96	22.75	448.87	-20.10
		129	0.000	Max M _z	1859.69	16.04	5.96	-4.13	1237.90	27.26
		47	2.670	Min M _z	1737.29	22.04	5.25	-7.54	938.87	-29.19
		129	0.000	Max N	2463.54	10.82	-199.81	67.51	1947.09	21.86
		129	0.000	Min N	1062.71	6.31	-41.57	20.33	627.19	11.16
147	KV23	35	0.000	Max N	-736.36	1972.31	-662.12	729.33	380.13	440.45
		35	0.000	Min N	-1865.95	2502.98	-168.57	711.78	726.73	-615.95
		35	0.000	Max V _y	-1465.72	3089.65	-159.13	926.57	581.46	-623.07
		35	0.000	Min V _y	-1161.60	1251.18	-203.61	356.78	344.98	-356.56
		35	0.000	Max V _z	-1878.27	17.94	50.51	-28.17	809.44	18.06
		47	0.346	Min V _z	-2070.45	9.95	-279.21	128.65	1016.60	-15.41
		129	0.000	Max M _T	1757.06	5.66	-171.08	179.84	1218.37	10.48
		129	0.000	Min M _T	2004.16	19.55	-11.10	-61.22	1179.50	24.34
		129	0.000	Max M _y	2425.46	10.91	-198.43	75.13	1969.91	21.56
		47	0.346	Min M _y	1539.34	16.65	-50.56	31.67	431.16	-20.65
147	KV24	129	0.000	Max M _z	2095.56	17.76	11.08	-4.85	1536.86	30.18
		47	0.346	Min M _z	1868.29	23.76	18.49	-5.99	1056.26	-32.88
		35	0.000	Max N	-928.41	1681.17	-666.84	623.54	448.76	-436.37
		35	0.000	Min N	-1657.77	2798.51	-163.84	820.79	650.10	-618.99
		35	0.000	Max V _y	-1657.72	2798.51	-163.84	820.79	650.10	-618.99
		35	0.000	Min V _y	-953.41	1546.72	-198.88	465.79	268.35	-359.60
		35	0.000	Max V _z	-1657.77	2798.51	-163.84	820.79	650.10	-618.99
		14	0.346	Min V _z	-1078.91	1963.49	-733.91	678.05	373.21	-1212.24
		35	0.000	Max M _T	-1512.63	2619.74	-348.79	903.34	884.75	-588.45
		35	0.000	Min M _T	-953.41	1546.72	-198.88	465.79	268.35	-359.60
147	KV25	35	0.000	Max M _y	-1512.63	2619.74	-348.79	903.34	884.75	-588.45
		14	0.346	Min M _y	-953.41	1546.72	-201.02	465.79	199.08	-895.41
		35	0.000	Max M _z	-953.41	1546.72	-198.88	465.79	268.35	-359.60
		14	0.346	Min M _z	-1654.29	2790.63	-174.20	824.28	673.74	-1592.03
		35	0.000	Max N	-804.05	1479.42	-640.89	562.79	413.76	-389.47
		35	0.000	Min N	-1533.41	2596.77	-137.90	760.03	615.09	-572.09
		35	0.000	Max V _y	-1533.41	2596.77	-137.90	760.03	615.09	-572.09

■ 3.6. VNÚTORNÉ SÍLY NA PRUTOCH S KRITICKÝM PRIEREZOM

Kombinácie výsledkov

Typ prútu č.	Uzol č.	Miesto x x [m]		Síly [kN]			Momenty [kNm]			Príslušný zať. stav	
				N	V _y	V _z	M _T	M _y	M _z		
198	KV25	35	0.000	Min V _y	-829.05	1344.97	-172.94	405.03	233.35	-312.70	ZS 1,2
		35	0.000	Max V _z	-1533.41	2596.77	-137.90	760.03	615.09	-572.09	ZS 1,2,19
		14	0.346	Min V _z	-954.55	1761.74	-707.69	617.29	347.24	-1095.44	ZS 1,2,12
		35	0.000	Max M _T	-1388.28	2418.00	-322.85	842.59	849.75	-541.55	ZS 1,2,16
		35	0.000	Min M _T	-829.05	1344.97	-172.94	405.03	233.35	-312.70	ZS 1,2
		35	0.000	Max M _y	-1388.28	2418.00	-322.85	842.59	849.75	-541.55	ZS 1,2,16
		14	0.346	Min M _y	-829.05	1344.97	-174.80	405.03	173.11	-778.62	ZS 1,2
		35	0.000	Max M _z	-829.05	1344.97	-172.94	405.03	233.35	-312.70	ZS 1,2
		14	0.346	Min M _z	-1529.93	2588.88	-147.98	763.53	647.77	-1475.24	ZS 1,2,18
		35	0.000	Max N	-719.50	1832.93	-463.87	558.38	197.44	-412.94	ZS 1,2,8,66,124
		35	0.000	Min N	-1941.97	2552.84	-281.55	746.38	554.56	-634.47	ZS 1,2,4,9,63,100,176
		35	0.000	Max V _y	-1492.95	3177.11	-325.82	1004.09	443.79	-640.49	ZS 1,2,4,8,60,72,146
		35	0.000	Min V _y	-1122.50	1227.42	-529.80	383.05	408.79	-392.21	ZS 1,2,9,94,151
209	KV26	35	0.000	Max V _z	-900.60	2049.73	-188.05	609.17	285.74	-421.32	ZS 1,2,8,71
		14	0.346	Min V _z	-1365.38	1598.92	-685.69	490.41	162.46	-1059.14	ZS 1,2,4,9,38,94,126
		35	0.000	Max M _T	-1266.91	2949.00	-530.61	1093.34	508.46	-561.44	ZS 1,2,6,8,56,67,145
		35	0.000	Min M _T	-1120.87	1245.01	-459.42	337.23	335.58	-404.92	ZS 1,2,9,66,123
		35	0.000	Max M _y	-1609.64	2301.37	-352.11	846.75	804.65	-528.49	ZS 1,2,9,62,68,148
		14	0.346	Min M _y	-913.01	1990.71	-471.96	559.21	-76.37	-1158.46	ZS 1,2,4,8,66,123
		35	0.000	Max M _z	-1161.60	1251.18	-203.61	356.78	344.98	-356.56	ZS 1,2,9
		14	0.346	Min M _z	-1523.72	3162.58	-308.96	935.67	305.25	-1757.72	ZS 1,2,4,8,58,98,147
		35	0.000	Max N	-701.27	1832.02	-588.78	560.93	205.36	-433.47	ZS 1,2,8,66,124
		35	0.000	Min N	-2073.95	2752.50	-316.15	804.59	695.13	-693.30	ZS 1,2,4,9,63,100,176
		35	0.000	Max V _y	-1598.30	3404.38	-361.70	1087.22	612.64	-693.92	ZS 1,2,4,8,60,72,146
		35	0.000	Min V _y	-1106.63	1218.05	-662.45	395.41	435.95	-406.31	ZS 1,2,9,94,151
209	KV29	35	0.000	Max V _z	-947.48	2121.06	-185.99	621.82	314.70	-440.72	ZS 1,2,8,71
		14	0.346	Min V _z	-1247.71	1522.55	-828.27	512.91	228.90	-1022.59	ZS 1,2,4,9,38,94,126
		35	0.000	Max M _T	-1347.89	3119.10	-655.19	1192.49	685.74	-612.54	ZS 1,2,6,8,56,67,145
		35	0.000	Min M _T	-1104.34	1242.26	-563.49	330.25	332.81	-424.11	ZS 1,2,9,66,123
		35	0.000	Max M _y	-1796.84	2582.05	-435.82	950.57	938.84	-606.51	ZS 1,2,9,62,68,148
		14	0.346	Min M _y	-781.06	1892.54	-564.12	547.92	-48.93	-1109.55	ZS 1,2,4,8,66,123
		35	0.000	Max M _z	-1161.60	1251.18	-203.61	356.78	344.98	-356.56	ZS 1,2,9
		14	0.346	Min M _z	-1636.92	3385.54	-347.96	1007.30	452.27	-1892.85	ZS 1,2,4,8,58,98,147
		35	0.000	Max N	-158.49	-30.23	165.46	-2.17	1331.13	82.88	ZS 1,2,25
		25	8.675	Min N	-121.30	-219.07	-197.65	-11.66	107.02	-64.74	ZS 1,2,9,28
		186	0.000	Max V _y	-29.68	318.07	290.84	-11.88	-6.84	-114.75	ZS 1,2,8,29
		25	8.675	Min V _y	-110.84	-232.99	-170.37	6.15	91.39	-63.28	ZS 1,2,9,29
209	KV23	186	0.000	Max V _z	138.29	32.32	775.69	-3.50	-159.25	-19.68	ZS 1,2,8,22
		25	8.675	Min V _z	-108.13	-47.90	-483.34	8.96	113.17	-13.78	ZS 1,2,9,22
		8.165	8.165	Max M _T	8.45	-29.94	-240.68	99.35	235.21	0.19	ZS 1,2,9,19
		7.144	7.144	Min M _T	53.12	-44.17	-219.90	-106.40	495.29	36.23	ZS 1,2,9,26
		4.082	4.082	Max M _y	134.10	-63.51	158.37	-2.06	1493.71	13.35	ZS 1,2,9,23
		186	0.000	Min M _y	138.29	32.32	775.69	-3.50	-159.25	-19.68	ZS 1,2,8,22
		4.082	4.082	Max M _z	127.39	-9.77	118.21	17.42	1090.44	119.28	ZS 1,2,8,26
		4.082	4.082	Min M _z	128.18	-32.88	129.57	-4.64	1111.14	-114.75	ZS 1,2,9,19
		35	0.000	Max N	158.49	-30.23	165.46	-2.17	1331.13	82.88	ZS 1,2,25
		25	8.675	Min N	-112.27	-194.43	-197.36	-15.25	106.74	-58.81	ZS 1,2,2,28
		186	0.000	Max V _y	-21.19	289.18	290.44	-9.17	-6.74	-104.56	ZS 1,2,29
		25	8.675	Min V _y	-101.80	-208.36	-170.08	2.56	91.11	-57.34	ZS 1,2,29
209	KV24	186	0.000	Max V _z	146.78	3.43	775.28	-0.78	-159.14	-9.49	ZS 1,2,22
		25	8.675	Min V _z	-99.10	-23.26	-483.05	5.36	112.89	-7.84	ZS 1,2,22
		8.165	8.165	Max M _T	13.88	-11.29	-240.54	99.10	234.96	4.10	ZS 1,2,19
		7.144	7.144	Min M _T	59.04	-19.97	-219.87	-105.30	495.02	37.72	ZS 1,2,26
		4.082	4.082	Max M _y	136.87	-27.50	158.44	-0.48	1493.51	13.66	ZS 1,2,23
		186	0.000	Min M _y	146.78	3.43	775.28	-0.78	-159.14	-9.49	ZS 1,2,22
		4.082	4.082	Max M _z	130.20	-45.85	118.14	15.83	1090.42	118.96	ZS 1,2,26
		4.082	4.082	Min M _z	130.95	3.13	129.64	-3.05	1110.93	-114.44	ZS 1,2,19
		35	0.000	Max N	152.67	-25.95	163.14	-2.14	1290.06	82.81	ZS 1,2,25
		8.675	8.675	Min N	-105.61	-188.89	-177.24	-15.74	100.26	-57.32	ZS 1,2,28
		186	0.000	Max V _y	-29.69	283.89	255.36	-8.78	2.66	-102.42	ZS 1,2,29
		25	8.675	Min V _y	-95.14	-202.81	-149.96	2.08	84.63	-55.86	ZS 1,2,29
209	KV25	186	0.000	Max V _z	138.28	-1.86	740.21	-0.39	-149.74	-7.35	ZS 1,2,22
		25	8.675	Min V _z	-92.44	-17.72	-462.93	4.88	106.40	-6.36	ZS 1,2,22
		8.165	8.165	Max M _T	12.68	-7.82	-228.37	99.13	221.07	4.90	ZS 1,2,19
		7.144	7.144	Min M _T	55.90	-16.20	-211.24	-105.08	468.47	37.94	ZS 1,2,26
		4.082	4.082	Max M _y	131.05	-23.22	156.12	-0.44	1452.43	13.59	ZS 1,2,23
		186	0.000	Min M _y	138.28	-1.86	740.21	-0.39	-149.74	-7.35	ZS 1,2,22
		4.082	4.082	Max M _z	124.38	-41.56	115.82	15.87	1049.35	118.89	ZS 1,2,26
		4.082	4.082	Min M _z	125.13	7.41	127.32	-3.01	1069.86	-114.51	ZS 1,2,19
		35	0.000	Max N	225.71	24.45	603.56	-1.57	-232.11	-13.13	ZS 1,2,4,9,49,77
		25	8.675	Min N	-138.53	-14.50	-248.79	10.92	134.95	-2.25	ZS 1,2,9,57,74,149
		186	0.000	Max V _y	25.07	288.36	778.97	-91.15	-93.71	-100.71	ZS 1,2,8,59,104,149
		186	0.000	Min V _y	98.39	-232.73	832.38	76.62	-163.69	70.57	ZS 1,2,6,9,41,105,163
209	KV26	25	8.675	Max V _z	125.77	-116.08	915.48	63.13	-201.64	28.67	ZS 1,2,5,8,49,105,167
		186	0.000	Min V _z	-83.26	-53.33	-454.15	8.32	71.38	-17.13	ZS 1,2,9,60,77,149
		7.144	7.144	Max M _T	49.55	18.03	-191.11	94.11	466.16	-25.71	ZS 1,2,6,8,58,76,133
		186	0.000	Min M _T	25.88	264.48	742.88	-91.90	-90.72	-91.17	ZS 1,2,8,64,104,133
		4.593	4.593	Max M _y	147.94	-32.29	-44.03	21.			

STATICKÝ VÝPOČET

VARIANTA B

VÝSLEDKY

■ 3.6. VNÚTORNÉ SÍLY NA PRUTOCH S KRITICKÝM PRIEREZOM

Kombinácie výsledkov

Typ prútu č.	Uzol č.	Miesto x x [m]		Síly [kN]			Momenty [kNm]			Príslušný zať. stav	
				N	V _y	V _z	M _T	M _y	M _z		
209	KV29	4.082	Max M _y	189.40	-42.85	68.17	-7.45	1150.42	-10.98	ZS 1,2,9,60,77,149	
		186	Min M _y	170.77	34.46	784.60	-4.06	-204.56	-18.71	ZS 1,2,4,8,49,77,135	
		186	Max M _z	29.35	-286.11	1070.19	95.36	-128.87	85.69	ZS 1,2,6,9,41,105,163	
		186	Min M _z	4.52	342.67	986.40	-117.37	-95.10	-119.35	ZS 1,2,8,59,104,149	
306	KV23	11	Max N	1478.60	1.50	-7.08	0.01	3.99	1.85	ZS 1,2,9,27	
		69	Min N	-66.72	-1.59	4.47	0.00	19.92	1.64	ZS 1,2,8,17	
		11	Max V _y	441.61	2.63	0.25	0.01	-15.07	5.28	ZS 1,2,9,21	
		69	Min V _y	1341.82	-2.44	-2.85	0.00	-30.05	6.38	ZS 1,2,8,29	
		11	Max V _z	-27.34	2.16	4.61	0.00	-21.70	3.95	ZS 1,2,8,18	
		11	Min V _z	1444.59	1.76	-7.98	0.01	5.83	2.65	ZS 1,2,9,26	
		11	Max M _T	1334.78	2.04	-7.79	0.01	4.98	3.47	ZS 1,2,8,25	
		11	Min M _T	777.87	1.63	2.69	-0.00	-15.00	2.10	ZS 1,2,9,33	
		69	Max M _y	-66.72	-1.59	4.47	0.00	19.92	1.64	ZS 1,2,8,17	
		69	Min M _y	1439.86	-1.85	-7.98	0.01	-64.52	3.06	ZS 1,2,9,26	
		69	Max M _z	1341.82	-2.44	-2.85	0.00	-30.05	6.38	ZS 1,2,8,29	
		4.405	Min M _z	681.89	0.82	-2.25	0.01	-19.44	-2.33	ZS 1,2,8,22	
		KV24	11	Max N	1477.99	1.49	-7.04	0.01	3.90	1.84	ZS 1,2,27
		69	Min N	-66.09	-1.59	4.42	0.00	19.59	1.64	ZS 1,2,17	
306	KV23	11	Max V _y	441.00	2.63	0.29	0.01	-15.16	5.27	ZS 1,2,21	
		69	Min V _y	1342.45	-2.44	-2.89	0.00	-30.38	6.38	ZS 1,2,29	
		11	Max V _z	-26.71	2.16	4.57	0.00	-21.63	3.96	ZS 1,2,18	
		11	Min V _z	1443.98	1.76	-7.94	0.01	5.75	2.64	ZS 1,2,26	
		11	Max M _T	1335.40	2.04	-7.84	0.01	5.05	3.48	ZS 1,2,25	
		11	Min M _T	777.26	1.63	2.73	-0.00	-15.09	2.09	ZS 1,2,33	
		69	Max M _y	-66.09	-1.59	4.42	0.00	19.59	1.64	ZS 1,2,17	
		69	Min M _y	1439.25	-1.86	-7.94	0.01	-64.25	3.07	ZS 1,2,26	
		69	Max M _z	1342.45	-2.44	-2.89	0.00	-30.38	6.38	ZS 1,2,29	
		4.405	Min M _z	682.52	0.82	-2.29	0.01	-19.57	-2.33	ZS 1,2,22	
		KV25	11	Max N	1425.74	1.25	-7.03	0.01	4.63	1.46	ZS 1,2,27
		69	Min N	-117.72	-1.36	4.44	0.00	20.47	1.33	ZS 1,2,17	
306	KV23	11	Max V _y	388.76	2.38	0.31	0.01	-14.43	4.89	ZS 1,2,21	
		69	Min V _y	1290.82	-2.21	-2.88	0.00	-29.50	6.07	ZS 1,2,29	
		11	Max V _z	-78.95	1.92	4.59	0.00	-20.90	3.57	ZS 1,2,18	
		11	Min V _z	1391.74	1.52	-7.93	0.01	6.47	2.26	ZS 1,2,26	
		11	Max M _T	1283.16	1.80	-7.82	0.01	5.78	3.10	ZS 1,2,25	
		11	Min M _T	725.02	1.39	2.75	-0.00	-14.36	1.70	ZS 1,2,33	
		69	Max M _y	-117.72	-1.36	4.44	0.00	20.47	1.33	ZS 1,2,17	
		69	Min M _y	1387.63	-1.63	-7.93	0.01	-63.37	2.76	ZS 1,2,26	
		69	Max M _z	1290.82	-2.21	-2.88	0.00	-29.50	6.07	ZS 1,2,29	
		69	Min M _z	384.65	-0.76	0.31	0.01	-11.69	-2.26	ZS 1,2,21	
		KV26	11	Max N	950.12	1.80	-1.88	0.00	-4.83	2.81	ZS 1,2,7,9,59,81,148
		69	Min N	77.22	-1.60	2.03	0.00	4.71	1.64	ZS 1,2,4,8,43,73,132	
306	KV23	11	Max V _y	352.24	2.40	0.22	0.00	-9.12	4.64	ZS 1,2,9,46,77,136	
		69	Min V _y	551.84	-1.93	-0.71	0.00	-12.22	3.45	ZS 1,2,6,8,83	
		11	Max V _z	112.81	2.00	2.53	0.00	-13.33	3.44	ZS 1,2,8,42,74,133	
		11	Min V _z	776.91	2.05	-3.39	0.01	-2.85	3.59	ZS 1,2,4,9,51,80,140	
		11	Max M _T	770.98	2.03	-3.30	0.01	-3.13	3.54	ZS 1,2,4,8,51,80,168	
		11	Min M _T	743.39	1.92	0.93	-0.00	-8.72	3.14	ZS 1,2,9,60,88,128	
		69	Max M _y	108.08	-1.61	2.53	0.00	8.97	1.72	ZS 1,2,8,42,74,133	
		69	Min M _y	767.49	-1.58	-3.39	0.01	-32.82	1.53	ZS 1,2,4,9,51,80,168	
		11	Max M _z	352.24	2.40	0.22	0.00	-9.12	4.64	ZS 1,2,9,46,77,136	
		4.405	Min M _z	328.52	0.58	0.03	0.00	-10.00	-1.97	ZS 1,2,4,8,46,77,136	
		KV29	11	Max N	1077.80	1.77	-2.66	0.00	-4.80	2.76	ZS 1,2,7,9,59,81,148
		69	Min N	18.43	-1.58	3.01	0.00	11.26	1.55	ZS 1,2,4,8,43,73,132	
314	KV23	11	Max V _y	351.13	2.53	0.24	0.00	-10.41	5.05	ZS 1,2,9,46,77,136	
		69	Min V _y	603.56	-1.98	-0.86	0.00	-13.09	3.73	ZS 1,2,6,8,83	
		11	Max V _z	45.71	2.05	3.44	0.00	-16.42	3.59	ZS 1,2,8,42,74,133	
		11	Min V _z	883.52	2.09	-4.39	0.01	-1.28	3.74	ZS 1,2,4,9,51,80,140	
		11	Max M _T	870.56	2.06	-4.31	0.01	-1.76	3.63	ZS 1,2,4,8,51,80,168	
		11	Min M _T	738.08	1.92	1.24	-0.00	-9.32	3.14	ZS 1,2,9,60,88,128	
		69	Max M _y	40.98	-1.57	3.44	0.00	13.87	1.51	ZS 1,2,8,42,74,133	
		69	Min M _y	867.06	-1.55	-4.39	0.01	-40.29	1.41	ZS 1,2,4,9,51,80,168	
		11	Max M _z	351.13	2.53	0.24	0.00	-10.41	5.05	ZS 1,2,9,46,77,136	
		4.405	Min M _z	339.48	0.72	0.21	0.00	-9.98	-2.13	ZS 1,2,4,8,46,77,136	
		KV23	16	Max N	1672.25	1.75	-8.00	0.01	6.79	2.39	ZS 1,2,8,21
		55	Min N	123.05	-1.81	4.75	-0.00	23.47	2.27	ZS 1,2,9,31	
314	KV23	16	Max V _y	771.57	2.79	-1.43	0.01	-11.32	5.52	ZS 1,2,8,26	
		55	Min V _y	1469.60	-2.59	-1.32	0.00	-18.49	6.59	ZS 1,2,9,18	
		16	Max V _z	137.84	2.24	5.12	-0.00	-21.57	3.97	ZS 1,2,9,30	
		16	Min V _z	1605.94	2.02	-8.59	0.01	7.79	3.20	ZS 1,2,8,22	
		16	Max M _T	1466.29	2.29	-8.09	0.01	5.94	4.01	ZS 1,2,8,23	
		16	Min M _T	904.28	1.87	3.45	-0.01	-14.43	2.59	ZS 1,2,9,14	
		55	Max M _y	132.69	-1.70	5.12	-0.00	23.54	1.60	ZS 1,2,9,30	
		55	Min M _y	1600.78	-1.92	-8.59	0.01	-67.89	2.77	ZS 1,2,8,22	
		55	Max M _z	1469.60	-2.59	-1.32	0.00	-18.49	6.59	ZS 1,2,9,18	
		4.405	Min M _z	768.69	0.81	-1.34	0.01	-16.91	-2.41	ZS 1,2,9,26	
		KV24	16	Max N	1672.12	1.75	-7.97	0.01	6.95	2.38	ZS 1,2,21
		55	Min N	123.23	-1.81	4.70	-0.00	22.91	2.26	ZS 1,2,31	
314	KV23	16	Max V _y	771.44	2.78	-1.39	0.01	-11.15	5.51	ZS 1,2,26	
		55	Min V _y	1469.77	-2.59	-1.37	0.00	-19.05	6.59	ZS 1,2,18	
		16	Max V _z	138.02	2.24	5.07	-0.00	-21.73	3.99	ZS 1,2,30	
		16	Min V _z	1605.80	2.02	-8.55	0.01	7.95	3.19	ZS 1,2,22	
		16	Max M _T	1466.16	2.29	-8.05	0.01	6.10	4.00	ZS 1,2,23	
		16	Min M _T	904.45	1.87	3.41	-0.01	-14.60	2.61	ZS 1,2,14	
		55	Max M _y	132.86	-1.70	5.07	-0.00	22.98	1.60	ZS 1,2,30	
		55	Min M _y	1600.64	-1.92	-8.55	0.01	-67.39	2.77	ZS 1,2,22	
		55	Max M _z	1469.77	-2.59	-1.37	0.00	-19.05	6.59	ZS 1,2,18	
		4.405	Min M _z	768.86	0.81	-1.39	0.01	-17.28	-2.41	ZS 1,2,26	
		KV25	16	Max N	1594.85	1.48	-8.01	0.01	7.55	1.96	ZS 1,2,21

STATICKÝ VÝPOČET

VARIANTA B

VÝSLEDKY

■ 3.6. VNÚTORNÉ SÍLY NA PRUTOCH S KRITICKÝM PRIEREZOM

Kombinácie výsledkov

Typ prútu č.	Uzol č.	Miesto x x [m]		Sily [kN]			Momenty [kNm]			Príslušný zať. stav	
				N	V _y	V _z	M _T	M _y	M _z		
314	KV25	55	8.810	Min N	46.64	-1.56	4.66	-0.00	23.10	1.92	ZS 1,2,31
		16	0.000	Max V _y	694.18	2.52	-1.44	0.01	-10.55	5.09	ZS 1,2,26
		55	8.810	Min V _y	1393.18	-2.34	-1.41	0.00	-18.86	6.24	ZS 1,2,18
		16	0.000	Max V _z	60.75	1.98	5.03	-0.00	-21.13	3.57	ZS 1,2,30
		16	0.000	Min V _z	1528.54	1.75	-8.60	0.01	8.55	2.77	ZS 1,2,22
		16	0.000	Max M _T	1388.89	2.02	-8.09	0.01	6.70	3.58	ZS 1,2,23
		16	0.000	Min M _T	827.19	1.60	3.36	-0.01	-13.99	2.18	ZS 1,2,14
		55	8.810	Max M _y	56.27	-1.45	5.03	-0.00	23.17	1.25	ZS 1,2,30
		55	8.810	Min M _y	1524.05	-1.68	-8.60	0.01	-67.20	2.43	ZS 1,2,22
		55	8.810	Max M _z	1393.18	-2.34	-1.41	0.00	-18.86	6.24	ZS 1,2,18
		4.405		Min M _z	691.93	0.80	-1.44	0.01	-16.88	-2.23	ZS 1,2,26
		16	0.000	Max N	1554.68	1.76	-1.68	0.00	-2.95	2.38	ZS 1,2,6,8,48,104,165
		55	8.810	Min N	410.95	-1.93	1.03	-0.00	2.69	2.83	ZS 1,2,9,112,123
		16	0.000	Max V _y	1123.91	2.53	0.03	-0.00	-7.58	4.79	ZS 1,2,4,8,61,107,177
322	KV26	55	8.810	Min V _y	1420.66	-2.56	0.97	-0.00	2.15	6.44	ZS 1,2,6,9,43,102,161
		16	0.000	Max V _z	819.66	1.94	3.75	-0.00	-13.61	2.91	ZS 1,2,6,9,39,83,130
		16	0.000	Min V _z	1265.13	1.93	-4.39	0.00	1.36	2.89	ZS 1,2,7,8,48,77,137
		16	0.000	Max M _T	1212.28	1.97	-3.65	0.01	-2.07	3.02	ZS 1,2,7,8,54,77,138
		16	0.000	Min M _T	970.53	1.99	2.83	-0.01	-8.52	3.01	ZS 1,2,5,9,38,69,130
		55	8.810	Max M _y	785.92	-1.98	3.74	-0.00	19.64	3.05	ZS 1,2,6,9,38,83,129
		55	8.810	Min M _y	1259.98	-2.01	-4.39	0.00	-37.31	3.21	ZS 1,2,7,8,48,77,137
		55	8.810	Max M _z	1420.66	-2.56	0.97	-0.00	2.15	6.44	ZS 1,2,6,9,43,102,161
		4.405		Min M _z	1297.39	0.54	-0.03	-0.00	-6.48	-2.10	ZS 1,2,5,9,51,107,167
		16	0.000	Max N	1761.62	1.75	-3.26	0.00	-0.97	2.34	ZS 1,2,6,8,48,104,165
		55	8.810	Min N	351.67	-1.94	1.26	-0.00	4.01	2.90	ZS 1,2,9,112,123
		16	0.000	Max V _y	1222.57	2.68	-0.32	0.00	-8.64	5.24	ZS 1,2,4,8,61,107,177
		55	8.810	Min V _y	1558.31	-2.77	0.11	-0.00	-4.84	7.65	ZS 1,2,6,9,43,102,161
322	KV29	16	0.000	Max V _z	693.19	1.97	3.84	-0.00	-15.79	2.99	ZS 1,2,6,9,39,83,130
		16	0.000	Min V _z	1505.19	1.94	-5.65	0.01	2.53	2.90	ZS 1,2,7,8,48,77,137
		16	0.000	Max M _T	1450.58	2.00	-4.86	0.01	-1.18	3.09	ZS 1,2,7,8,54,77,138
		16	0.000	Min M _T	905.57	1.94	2.83	-0.01	-10.57	2.82	ZS 1,2,5,9,38,69,130
		55	8.810	Max M _y	640.34	-1.93	3.81	-0.00	18.23	2.76	ZS 1,2,6,9,38,83,129
		55	8.810	Min M _y	1500.04	-2.00	-5.65	0.01	-47.29	3.18	ZS 1,2,7,8,48,77,137
		55	8.810	Max M _z	1558.31	-2.77	0.11	-0.00	-4.84	7.65	ZS 1,2,6,9,43,102,161
		4.405		Min M _z	1417.50	0.69	-0.88	0.00	-10.81	-2.32	ZS 1,2,5,9,51,107,167
		11	0.000	Max N	3106.34	0.30	17.70	8.53	-15.96	-8.63	ZS 1,2,8
		245	11.580	Min N	-6174.38	-1.81	-23.73	8.75	-35.45	-33.21	ZS 1,2,9,24
		11	0.000	Max V _y	-4356.28	4.55	18.49	27.64	-17.27	13.90	ZS 1,2,9,32
		11	0.000	Min V _y	-5742.63	-3.36	14.05	7.62	17.39	-44.01	ZS 1,2,8,21
		245	11.580	Max V _z	-3545.12	3.03	19.40	26.26	-20.84	12.15	ZS 1,2,8,35
		11	0.000	Min V _z	-5278.77	-3.06	-24.77	7.10	-50.62	4.72	ZS 1,2,9,19
		11	0.000	Max M _T	-4040.51	4.32	18.92	28.44	-19.48	15.43	ZS 1,2,9,33
		11	0.000	Min M _T	-3653.89	0.35	17.30	2.18	-15.39	2.08	ZS 1,2,8,12
322	KV23	5.790	0.000	Max M _y	-6169.15	-1.86	-4.40	8.65	46.66	-41.94	ZS 1,2,8,24
		245	11.580	Min M _y	-5035.30	-2.69	-24.57	6.33	-51.95	7.22	ZS 1,2,9,18
		11	0.000	Max M _z	-4037.41	4.27	18.96	28.34	-19.20	16.88	ZS 1,2,8,33
		11	0.000	Min M _z	-6091.06	-2.62	14.60	8.12	17.30	-54.82	ZS 1,2,9,23
		11	0.000	Max N	-3107.87	0.33	17.68	8.58	-16.10	-9.41	ZS 1,2
		245	11.580	Min N	-6172.81	-1.83	-23.70	8.69	-35.03	-32.22	ZS 1,2,24
		11	0.000	Max V _y	-4354.70	4.53	18.51	27.59	-17.13	14.58	ZS 1,2,32
		11	0.000	Min V _y	-5744.16	-3.33	14.03	7.67	17.25	-44.79	ZS 1,2,21
		245	11.580	Max V _z	-3546.64	3.05	19.37	26.31	-20.98	11.37	ZS 1,2,35
		11	0.000	Min V _z	-5277.19	-3.08	-24.74	7.05	-50.21	5.70	ZS 1,2,19
		11	0.000	Max M _T	-4038.94	4.29	18.94	28.38	-19.34	16.11	ZS 1,2,33
		11	0.000	Min M _T	-3655.42	0.37	17.28	2.23	-15.52	1.31	ZS 1,2,12
322	KV24	5.790	0.000	Max M _y	-6170.67	-1.83	-4.42	8.69	46.38	-42.84	ZS 1,2,24
		245	11.580	Min M _y	-5033.73	-2.72	-24.54	6.27	-51.54	8.21	ZS 1,2,18
		11	0.000	Max M _z	-4038.94	4.29	18.94	28.38	-19.34	16.11	ZS 1,2,33
		11	0.000	Min M _z	-6089.48	-2.64	14.62	8.06	17.44	-54.14	ZS 1,2,23
		11	0.000	Max N	-2702.49	0.28	15.37	7.46	-14.00	-8.18	ZS 1,2
		245	11.580	Min N	-5766.88	-1.88	-20.98	7.58	-30.51	-30.50	ZS 1,2,24
		11	0.000	Max V _y	-3949.33	4.48	16.21	26.47	-15.03	15.81	ZS 1,2,32
		11	0.000	Min V _y	-5338.78	-3.38	11.72	6.55	19.35	-43.56	ZS 1,2,21
		245	11.580	Max V _z	-3141.27	3.01	17.07	25.19	-18.87	12.60	ZS 1,2,35
		11	0.000	Min V _z	-4871.26	-3.12	-22.02	5.93	-45.68	7.42	ZS 1,2,19
		11	0.000	Max M _T	-3633.56	4.25	16.63	27.26	-17.24	17.33	ZS 1,2,33
		11	0.000	Min M _T	-3250.04	0.33	14.97	1.11	-13.42	2.53	ZS 1,2,12
322	KV25	5.790	0.000	Max M _y	-5765.02	-1.88	-4.21	7.58	42.41	-41.37	ZS 1,2,24
		245	11.580	Min M _y	-4627.80	-2.76	-21.82	5.15	-47.01	9.93	ZS 1,2,18
		11	0.000	Max M _z	-3633.56	4.25	16.63	27.26	-17.24	17.33	ZS 1,2,33
		11	0.000	Min M _z	-5684.11	-2.69	12.32	6.94	19.54	-52.91	ZS 1,2,23
		11	0.000	Max N	-2979.12	0.25	17.88	9.41	-17.13	-12.82	ZS 1,2,4,8,93
		245	11.580	Min N	-6175.67	0.53	-23.00	13.77	-35.64	-24.69	ZS 1,2,9,60,80,147
		11	0.000	Max V _y	-5590.07	1.76	16.13	15.73	0.05	-0.92	ZS 1,2,9,60,86,124
		11	0.000	Min V _y	-5017.38	-1.67	15.12	7.05	5.57	-24.57	ZS 1,2,5,8,47,75,138
		245	11.580	Max V _z	-3095.22	0.92	18.48	12.80	-18.92	-8.30	ZS 1,2,4,8,88,124
		11	0.000	Min V _z	-5777.41	-1.00	-24.37	8.77	-47.98	-10.68	ZS 1,2,9,52,74,142
		11	0.000	Max M _T	-5651.90	1.19	16.39	19.39	0.88	-9.58	ZS 1,2,4,9,61,89,149
		11	0.000	Min M _T	-3679.42	0.13	17.25	4.96	-14.07	-5.43	ZS 1,2,8,38,67,137
322	KV26	5.790	0.000	Max M _y	-6144.82	0.35	-3.64	13.89	42.49	-19.75	ZS 1,2,7,8,60,79,148
		245	11.580	Min M _y	-5743.48	-0.82	-24.35	8.78	-48.16	-11.38	ZS 1,2,9,52,73,142
		1									

STATICKÝ VÝPOČET

VARIANTA B

VÝSLEDKY

■ 3.6. VNÚTORNÉ SÍLY NA PRUTOCH S KRITICKÝM PRIEREZOM

Kombinácie výsledkov

Typ prútu č.	Uzol č.	Miesto x x [m]		Sily [kN]			Momenty [kNm]			Príslušný zať. stav	
				N	V _y	V _z	M _T	M _y	M _z		
322	KV29	11	0.000	Max M _T	-6241.57	1.43	16.09	22.18	5.02	-8.65	ZS 1,2,4,9,61,89,149
		11	0.000	Min M _T	-4023.41	-0.33	16.88	3.74	-10.91	-9.04	ZS 1,2,8,38,67,137
		5.790		Max M _y	-6806.45	0.28	-4.13	15.32	45.31	-25.30	ZS 1,2,7,8,60,79,148
		245	11.580	Min M _y	-6284.55	-1.34	-25.07	8.46	-50.87	-11.73	ZS 1,2,9,52,73,142
		245	11.580	Max M _z	-4496.88	-1.71	-23.36	6.09	-46.96	4.14	ZS 1,2,8,42,74,133
		11	0.000	Min M _z	-6150.74	-1.10	14.45	8.49	13.36	-40.11	ZS 1,2,4,9,51,80,168
328	KV23	16	0.000	Max N	-4534.72	1.33	20.74	14.20	-8.42	0.70	ZS 1,2,9
		253	11.580	Min N	-7659.73	4.63	-30.00	24.73	-42.17	8.67	ZS 1,2,8,27
		16	0.000	Max V _y	-7276.01	6.55	16.60	25.67	31.46	54.05	ZS 1,2,8,24
		16	0.000	Min V _y	-5932.93	-1.24	20.49	7.52	-4.92	-8.54	ZS 1,2,9,34
		16	0.000	Max V _z	-5200.81	-0.77	21.35	6.42	-10.43	-12.55	ZS 1,2,9,37
		253	11.580	Min V _z	-6811.05	6.33	-31.46	26.46	-61.67	-38.21	ZS 1,2,8,22
		16	0.000	Max M _T	-5229.01	1.98	20.44	37.94	-10.66	-17.39	ZS 1,2,8,15
		16	0.000	Min M _T	-5580.63	-1.24	20.90	5.64	-8.03	-13.00	ZS 1,2,9,35
		5.790		Max M _y	-7595.82	5.52	-6.41	24.57	63.56	28.02	ZS 1,2,9,26
		253	11.580	Min M _y	-6321.68	5.37	-30.87	29.39	-64.45	-45.27	ZS 1,2,8,20
		16	0.000	Max M _z	-7596.43	5.59	17.38	25.33	31.09	63.74	ZS 1,2,8,26
		253	11.580	Min M _z	-6084.73	4.52	-30.14	30.66	-61.76	-48.31	ZS 1,2,9,19
		KV24	16	0.000	Max N	-4536.37	1.37	20.71	14.57	-8.70	2.63
328	KV24	253	11.580	Min N	-7658.13	4.60	-29.97	24.35	-41.57	7.23	ZS 1,2,27
		16	0.000	Max V _y	-7274.42	6.52	16.63	25.29	31.73	52.22	ZS 1,2,24
		16	0.000	Min V _y	-5934.58	-1.20	20.46	7.90	-5.20	-6.60	ZS 1,2,34
		16	0.000	Max V _z	-5202.46	-0.73	21.32	6.80	-10.71	-10.62	ZS 1,2,37
		253	11.580	Min V _z	-6809.46	6.29	-31.44	26.07	-61.08	-39.65	ZS 1,2,22
		16	0.000	Max M _T	-5227.42	1.94	20.47	37.56	-10.39	-19.22	ZS 1,2,15
		16	0.000	Min M _T	-5582.28	-1.20	20.87	6.02	-8.31	-11.07	ZS 1,2,35
		5.790		Max M _y	-7597.47	5.56	-6.44	24.95	63.12	29.72	ZS 1,2,26
		253	11.580	Min M _y	-6320.09	5.33	-30.84	29.01	-63.85	-46.71	ZS 1,2,20
		16	0.000	Max M _z	-7594.84	5.56	17.41	24.95	31.37	61.91	ZS 1,2,26
		253	11.580	Min M _z	-6086.38	4.55	-30.17	31.04	-62.35	-46.83	ZS 1,2,19
		KV25	16	0.000	Max N	-3944.67	1.19	18.01	12.67	-7.57	2.29
328	KV25	253	11.580	Min N	-7065.75	4.42	-26.45	22.45	-35.71	8.96	ZS 1,2,27
		16	0.000	Max V _y	-6682.72	6.34	13.92	23.39	32.87	51.88	ZS 1,2,24
		16	0.000	Min V _y	-5342.88	-1.38	17.76	6.00	-4.07	-6.94	ZS 1,2,34
		16	0.000	Max V _z	-4610.76	-0.91	18.62	4.90	-9.58	-10.96	ZS 1,2,37
		253	11.580	Min V _z	-6217.07	6.11	-27.92	24.17	-55.21	-37.92	ZS 1,2,22
		16	0.000	Max M _T	-4635.72	1.76	17.77	35.66	-9.25	-19.56	ZS 1,2,15
		16	0.000	Min M _T	-4990.58	-1.38	18.17	4.12	-7.17	-11.41	ZS 1,2,35
		5.790		Max M _y	-7005.43	5.38	-6.03	23.05	57.62	30.41	ZS 1,2,26
		253	11.580	Min M _y	-5277.70	5.15	-27.32	27.11	-57.99	-44.98	ZS 1,2,20
		16	0.000	Max M _z	-7003.14	5.38	14.70	23.05	32.50	61.57	ZS 1,2,26
		253	11.580	Min M _z	-5493.99	4.38	-26.65	29.14	-56.48	-45.10	ZS 1,2,19
		KV26	16	0.000	Max N	-4532.32	1.31	20.74	16.47	-8.33	-1.72
328	KV26	253	11.580	Min N	-8230.94	2.79	-29.88	26.84	-43.71	-16.38	ZS 1,2,4,8,61,110,177
		16	0.000	Max V _y	-6029.98	4.66	18.31	28.70	10.64	24.15	ZS 1,2,8,50,77,141
		16	0.000	Min V _y	-5716.26	-0.52	19.41	11.75	1.11	-14.48	ZS 1,2,5,9,88,156
		16	0.000	Max V _z	-4808.61	1.21	22.07	17.78	-13.07	-7.10	ZS 1,2,9,38,118,154
		253	11.580	Min V _z	-7381.19	2.57	-31.25	25.21	-60.33	-17.77	ZS 1,2,5,8,59,104,172
		16	0.000	Max M _T	-5979.82	3.40	19.40	32.49	2.13	18.06	ZS 1,2,8,55,69,144
		16	0.000	Min M _T	-5415.78	-0.16	20.40	6.90	-1.23	-14.19	ZS 1,2,5,9,91
		5.790		Max M _y	-8216.73	2.73	-6.11	25.92	61.46	-5.19	ZS 1,2,4,9,61,109,177
		253	11.580	Min M _y	-6501.70	2.34	-30.52	22.80	-62.03	-22.10	ZS 1,2,6,8,46,103,173
		16	0.000	Max M _z	-6662.18	3.88	18.65	27.50	13.30	37.36	ZS 1,2,7,8,54,82,143
		253	11.580	Min M _z	-6749.42	3.40	-29.92	25.41	-54.64	-42.10	ZS 1,2,4,9,45,77,136
		KV29	16	0.000	Max N	-4531.49	1.31	20.73	17.39	-8.30	-2.70
328	KV29	253	11.580	Min N	-8862.01	3.28	-30.40	29.80	-43.07	-14.28	ZS 1,2,4,8,61,110,177
		16	0.000	Max V _y	-6864.63	5.61	17.09	33.03	21.09	29.13	ZS 1,2,8,50,77,141
		16	0.000	Min V _y	-5442.99	-0.12	19.98	14.98	-5.00	-11.44	ZS 1,2,5,9,88,156
		16	0.000	Max V _z	-4907.90	1.11	22.57	18.29	-15.15	-9.41	ZS 1,2,9,38,118,154
		253	11.580	Min V _z	-8079.85	3.72	-32.34	30.46	-64.79	-23.68	ZS 1,2,5,8,59,104,172
		16	0.000	Max M _T	-6831.29	3.89	18.48	37.92	9.96	19.56	ZS 1,2,8,55,69,144
		16	0.000	Min M _T	-4984.14	0.37	21.28	7.29	-7.51	-9.54	ZS 1,2,5,9,91
		5.790		Max M _y	-8844.99	3.23	-6.67	28.82	65.18	-0.76	ZS 1,2,4,9,61,109,177
		253	11.580	Min M _y	-7413.38	3.17	-31.73	27.78	-65.82	-29.38	ZS 1,2,6,8,46,103,173
		16	0.000	Max M _z	-7594.38	4.67	17.61	33.30	24.73	43.80	ZS 1,2,7,8,54,82,143
		253	11.580	Min M _z	-6540.47	4.42	-30.29	29.14	-58.62	-46.77	ZS 1,2,4,9,45,77,136

■ 3.7. POSÚDENIE MSU - NAJVIAC NAMÁHANÉ PRUTY DANÉHO PRIEREZU

Prút č.	Místo x [m]	ZS/SZS KZS	Posouzení	Posouzen č.	Označenie							
24	Prierez č. 10 - Uzavřené(B) 410/18/18/800/350/18/15/6/6 0.000	KV24	0.56	≤ 1 187)	Posúdenie prierezu - ohyb, šmyk, krútenie a osová sila podľa 6.2.9.2 - trieda 3							
Návrhové vnútorné sily												
Posúdenie												
N_{Ed}	1527.31	kN	$V_{z,Ed}$		-256.18	kN	$M_{y,Ed}$	1414.63 kNm				
$V_{y,Ed}$	0.63	kN	T_{Ed}		81.19	kNm	$M_{z,Ed}$	-2.96 kNm				
$\sigma_{x,My,Ed}$					16.12	kN/cm ²	f_y	35.50 kN/cm ²				
A	418.32	cm ²	$\sigma_{x,Ed}$		19.77	kN/cm ²	γ_{M0}	1.000				
$\sigma_{x,N,Ed}$	3.65	kN/cm ²	$V_{z,Ed}$		256.18	kN	$V_{pl,z,Rd}$	5770.02 kN				
$M_{y,Ed}$	1414.63	kNm	S_y		1258.74	cm ³	v_z	0.046				
I_y	345456.00	cm ⁴	t		18.0	mm	$\sigma_{x,Rd}$	35.50 kN/cm ²				
Z_{Sp}	393.7	mm	$\tau_{V,z,Ed}$		0.52	kN/cm ²	η	0.56				
Design Formula												
$\sigma_{x,Ed} / \sigma_{x,Rd} = 0.56 \leq 1 \quad (6.42)$												
0.000	KV23	0.56	≤ 1	227)	Posúdenie prierezu - dvojósý ohyb, šmyk, krútenie a osová sila podľa 6.2.10 a 6.2.9 - trieda 3							
Návrhové vnútorné sily												
Posúdenie												
N_{Ed}	1542.91	kN	$V_{z,Ed}$		-258.25	kN	$M_{y,Ed}$	1417.29 kNm				
$V_{y,Ed}$	-1.60	kN	T_{Ed}		80.64	kNm	$M_{z,Ed}$	-5.71 kNm				
$\sigma_{x,Ed}$					205.0	mm	$\tau_{V,y,Ed}$	0.00 kN/cm ²				
A	418.32	cm ²	$\sigma_{x,Mz,Ed}$		0.10	kN/cm ²	f_y	35.50 kN/cm ²				
$\sigma_{x,N,Ed}$	3.69	kN/cm ²	$\sigma_{x,Ed}$		19.95	kN/cm ²	γ_{M0}	1.000				
$M_{y,Ed}$	1417.29	kNm	$V_{z,Ed}$		258.25	kN	$V_{pl,z,Rd}$	5770.02 kN				
I_y	345456.00	cm ⁴	S_y		0.00	cm ³	$V_{pl,y,Rd}$	2803.84 kN				
Z_{Sp}	393.7	mm	t		18.0	mm	v_z	0.045				
$\sigma_{x,My,Ed}$	16.15	kN/cm ²	$\tau_{V,z,Ed}$		0.00	kN/cm ²	v_y	0.001				
$M_{z,Ed}$	-5.71	kNm	$V_{y,Ed}$		1.60	kN	$\sigma_{x,Rd}$	35.50 kN/cm ²				
I_z	112157.00	cm ⁴	S_z		0.00	cm ³	η	0.56				
Design Formula												
$\sigma_{x,Ed} / \sigma_{x,Rd} = 0.56 \leq 1 \quad (6.42)$												
0.000	KV23	0.55	≤ 1	304)	Posúdenie stability - vzper okolo y podľa 6.3.1.1 a 6.3.1.2 - trieda 4							
Návrhové vnútorné sily												
Posúdenie												
N_{Ed}	1567.23	kN	$V_{z,Ed}$		-256.24	kN	$M_{y,Ed}$	1365.64 kNm				
$V_{y,Ed}$	-0.04	kN	T_{Ed}		126.03	kNm	$M_{z,Ed}$	-4.21 kNm				
$\sigma_{x,Ed}$					19.38	kN/cm ²	$\tau_{z,Ed}$	1.24 kN/cm ²				
A	418.32	cm ²	$V_{z,Ed}$		256.24	kN	τ_{Ed}	1.76 kN/cm ²				
$\sigma_{x,N,Ed}$	3.75	kN/cm ²	S_y		-1258.74	cm ³	σ_{eqv}	19.62 kN/cm ²				
$M_{y,Ed}$	1365.64	kNm	t		18.0	mm	f_y	35.50 kN/cm ²				
I_y	345456.00	cm ⁴	$\tau_{V,z,Ed}$		126.03	kNm	γ_{M0}	1.000				
Z_{Sp}	393.7	mm	T_{Ed}		2822.56	cm ²	η	0.55				
$\sigma_{x,My,Ed}$	15.56	kN/cm ²	A_k		18.0	mm						
Design Formula												
$(\sigma_{x,Ed} / (f_y / \gamma_{M0}))^2 + 3(\tau_{Ed} / (f_y / \gamma_{M0}))^2 = 0.55 \leq 1 \quad (6.1)$												
92	Prierez č. 5 - HEB 220 1.500	KV26	0.67	≤ 1 1003)	Tlaková sila prekračuje pružnú kritickú silu pre vybočenie skrútením $N_{cr,T}$							
Návrhové vnútorné sily												
Posúdenie												
N_{Ed}	0.37	kN	$V_{z,Ed}$		-53.69	kN	$M_{y,Ed}$	-39.98 kNm				
$V_{y,Ed}$	5.74	kN	T_{Ed}		0.02	kNm	$M_{z,Ed}$	-7.70 kNm				
Φ_{LT}					0.555		k_{yy}	1.000				
h	220.0	mm	χ_{LT}		1.000		k_{yz}	0.600				
b	220.0	mm	χ_{LT}		1.000		k_{zy}	1.000				
h/b	1.00		k_c		1.000		k_{zz}	1.000				
KVP_{LT}	b		f		1.000							
α_{LT}	0.340				1.000		$M_{y,Ed}$	161.81 kNm				
E	21000.00	kN/cm ²	$\chi_{LT,mod}$		1.000		W_y	827.00 cm ³				
G	8100.00	kN/cm ²	Typ		1.000		$M_{y,Rk}$	293.59 kNm				
k_z	1.000		Diagr M_y		1.000		γ_{M1}	1.000				
k_w	1.000				1.000		γ_{My}	0.55				
L	3.000	m	Typ		1.000		$M_{z,Ed}$	16.34 kNm				
I_w	295400.00	cm ⁶	Diagr M_z		1.000		W_z	393.90 cm ³				
I_t	76.57	cm ⁴	ψ_z		1.000		$M_{z,Rk}$	139.83 kNm				
M_{cr}	1944.80	kNm	C_{mz}		1.000		η_{Mz}	0.12				
W_y	827.00	cm ³	Diagr $M_{y,LT}$		1.000		η_1	0.62				
λ_{LT}	0.389		$\psi_{y,LT}$		1.000		η_2	0.67				
$\lambda_{LT,0}$	0.400		$C_{ml,LT}$		1.000							
β	0.750		Dielec		1.000							
Design Formula												
$N_{Ed} / (\chi_{LT} N_{Rk} / \gamma_{M1}) + k_{yy} M_{y,Ed} / (\chi_{LT} M_{y,Rk} / \gamma_{M1}) + k_{yz} M_{z,Ed} / (M_{z,Rk} / \gamma_{M1}) = 0.62 \leq 1 \quad (6.61)$												
$N_{Ed} / (\chi_{LT} N_{Rk} / \gamma_{M1}) + k_{yy} M_{y,Ed} / (\chi_{LT} M_{y,Rk} / \gamma_{M1}) + k_{zz} M_{z,Ed} / (M_{z,Rk} / \gamma_{M1}) = 0.67 \leq 1 \quad (6.62)$												
0.000	KV26	0.67	≤ 1	1004)	Tlaková sila prekračuje pružnú kritickú silu pre rovinový vzper $N_{cr,y}$							
Návrhové vnútorné sily												
Posúdenie												
N_{Ed}	0.37	kN	$V_{z,Ed}$		0.50	kN	$M_{y,Ed}$	-0.09 kNm				
$V_{y,Ed}$	5.74	kN	T_{Ed}		0.02	kNm	$M_{z,Ed}$	0.91 kNm				
χ_T					0.723		C_{my}	1.000				
$N_{cr,T}$	10828.30	kN	χ_z		220.0	mm	Typ	Pevné				
λ_T	0.546	c	h		220.0	mm	Diagr M_z	1) Lineárni				
KVP_z			b		1.00		ψ_z	1.000				
α_z	0.490		h/b		b		C_{mz}	1.000				
Φ_T	0.734		KVP_{LT}				Diagr $M_{y,LT}$	1) Lineárni				
χ_T	0.817		α_{LT}		0.340							

■ 3.7. POSÚDENIE MSU - NAJVIAC NAMÁHANÉ PRUTY DANÉHO PRIEREZU

Prút č.	Místo x [m]	ZS/SZS KZS	Posouzení	Posouzen č.	Označenie		
	E	21000.00	kN/cm ²	G	8100.00	kN/cm ²	$\psi_{y,LT}$ 1.000
	l_y	8091.00	cm ⁴	k_z	1.000		$C_{M,LT}$ 1.000
	$L_{cr,y}$	3.000	m	k_w	1.000		Dielec Torz. měkký
	$N_{cr,y}$	18632.80	kN	L	3.000	m	k_{yy} 1.000
	A	91.04	cm ²	I_w	295400.00	cm ⁶	k_{yz} 0.600
	f_y	35.50	kN/cm ²	I_t	76.57	cm ⁴	k_{zy} 1.000
	$\lambda_{_y}$	0.416		M_{cr}	1944.80	kNm	k_{zz} 1.000
	KVP _y	b		W_y	827.00	cm ³	N_{Ed} 0.00 kN
	α_y	0.340		λ_{LT}	0.389		γ_M 1.000
	Φ_y	0.624		$\lambda_{LT,0}$	0.400		$M_{y,Ed}$ 161.81 kNm
	χ_y	0.919		β	0.750		W_y 827.00 cm ³
	l_z	2843.00	cm ⁴	Φ_{LT}	0.555		$M_{y,Rk}$ 293.59 kNm
	$L_{cr,z}$	3.000	m	χ_{LT}	1.000		η_{My} 0.55
	$N_{cr,z}$	6547.17	kN	k_c	1.000		$M_{z,Ed}$ 16.34 kNm
	$\lambda_{_z}$	0.703		f	1.000		W_z 393.90 cm ³
	KVP _z	c		$\chi_{LT,mod}$	1.000		$M_{z,Rk}$ 139.83 kNm
	α_z	0.490		Typ	Pevně		η_{Mz} 0.12
	Φ_z	0.870		Diagr M _y	1) Lineární		η_1 0.62
	$S_{t,req}$	302664.00	kN	ψ_y	1.000		η_2 0.67
	Design Formula						
	$N_{Ed} / (\chi_y N_{Rk} / \gamma_M) + k_{yy} M_{y,Ed} / (\chi_{LT} M_{y,Rk} / \gamma_M) + k_{yz} M_{z,Ed} / (M_{z,Rk} / \gamma_M) = 0.62 \leq 1 \quad (6.61)$						
	$N_{Ed} / (\chi_z N_{Rk} / \gamma_M) + k_{zy} M_{y,Ed} / (\chi_{LT} M_{y,Rk} / \gamma_M) + k_{zz} M_{z,Ed} / (M_{z,Rk} / \gamma_M) = 0.67 \leq 1 \quad (6.62)$						
147	Prierez č. 2 - Uzavřené(B) 410/18/18/800/350/18/15/6/6						
	1.335	KV26	0.63	≤ 1	187)	Posúdenie prierezu - ohyb, šmyk, krútenie a osová sila podľa 6.2.9.2 - trieda 3	
	Návrhové vnútorné sily						
	N_{Ed}	2248.07	kN	$V_{z,Ed}$	-167.19	kN	$M_{y,Ed}$ 1475.30 kNm
	$V_{y,Ed}$	11.23	kN	T_{Ed}	55.61	kNm	$M_{z,Ed}$ 4.56 kNm
	Posúdenie						
	N_{Ed}	2248.07	kN	$\sigma_{x,My,Ed}$	16.81	kN/cm ²	f_y 35.50 kN/cm ²
	A	418.32	cm ²	$\sigma_{x,Ed}$	22.19	kN/cm ²	γ_{M0} 1.000
	$\sigma_{x,N,Ed}$	5.37	kN/cm ²	$V_{z,Ed}$	167.19	kN	$V_{pl,z,Rd}$ 5770.02 kN
	$M_{y,Ed}$	1475.30	kNm	S_y	1258.74	cm ³	V_z 0.030
	l_y	345456.00	cm ⁴	t	18.0	mm	$\sigma_{x,Rd}$ 35.50 kN/cm ²
	Z_{Sp}	393.7	mm	$\tau_{V,z,Ed}$	0.34	kN/cm ²	η 0.63
	Design Formula						
	$\sigma_{x,Ed} / \sigma_{x,Rd} = 0.63 \leq 1 \quad (6.42)$						
	0.000	KV29	0.70	≤ 1	192)	Posúdenie prierezu - ohyb, šmyk a osová sila podľa 6.2.10 a 6.2.9.3 - trieda 4 - uholník	
	Návrhové vnútorné sily						
	N_{Ed}	2070.45	kN	$V_{z,Ed}$	-269.13	kN	$M_{y,Ed}$ 1748.58 kNm
	$V_{y,Ed}$	4.22	kN	T_{Ed}	128.65	kNm	$M_{z,Ed}$ 3.51 kNm
	Posúdenie						
	N_{Ed}	2070.45	kN	T_{Ed}	128.65	kNm	γ_{M0} 1.000
	A	418.32	cm ²	A_k	2822.56	cm ²	$V_{pl,z,Rd}$ 5770.02 kN
	$\sigma_{x,N,Ed}$	4.95	kN/cm ²	t	18.0	mm	$V_{pl,T,Rd}$ 5413.58 kN
	$M_{y,Ed}$	1748.58	kNm	$\tau_{L,Ed}$	1.27	kN/cm ²	V_z 0.050
	l_y	345456.00	cm ⁴	$V_{z,Ed}$	269.13	kN	$\sigma_{x,Rd}$ 35.50 kN/cm ²
	Z_{Sp}	393.7	mm	S_y	1258.74	cm ³	η 0.70
	$\sigma_{x,My,Ed}$	19.93	kN/cm ²	$\tau_{V,z,Ed}$	0.54	kN/cm ²	
	$\sigma_{x,Ed}$	24.88	kN/cm ²	f_y	35.50	kN/cm ²	
	Design Formula						
	$\sigma_{x,Ed} / \sigma_{x,Rd} = 0.70 \leq 1 \quad (6.42)$						
	0.000	KV29	0.81	≤ 1	227)	Posúdenie prierezu - dvojosý ohyb, šmyk, krútenie a osová sila podľa 6.2.10 a 6.2.9.3 - trieda 3	
	Návrhové vnútorné sily						
	N_{Ed}	2429.68	kN	$V_{z,Ed}$	-195.49	kN	$M_{y,Ed}$ 1968.86 kNm
	$V_{y,Ed}$	11.68	kN	T_{Ed}	70.17	kNm	$M_{z,Ed}$ 22.40 kNm
	Posúdenie						
	N_{Ed}	2429.68	kN	y_{Sp}	-205.0	mm	$\tau_{V,y,Ed}$ 0.00 kN/cm ²
	A	418.32	cm ²	$\sigma_{x,Mz,Ed}$	0.41	kN/cm ²	f_y 35.50 kN/cm ²
	$\sigma_{x,N,Ed}$	5.81	kN/cm ²	$\sigma_{x,Ed}$	28.66	kN/cm ²	γ_{M0} 1.000
	$M_{y,Ed}$	1968.86	kNm	$V_{z,Ed}$	195.49	kN	$V_{pl,z,Rd}$ 5770.02 kN
	l_y	345456.00	cm ⁴	S_y	0.00	cm ³	$V_{pl,y,Rd}$ 2803.84 kN
	Z_{Sp}	393.7	mm	t	18.0	mm	V_z 0.034
	$\sigma_{x,My,Ed}$	22.44	kN/cm ²	$\tau_{V,z,Ed}$	0.00	kN/cm ²	V_y 0.004
	$M_{z,Ed}$	22.40	kNm	$V_{y,Ed}$	11.68	kN	$\sigma_{x,Rd}$ 35.50 kN/cm ²
	I_z	112157.00	cm ⁴	S_z	0.00	cm ³	η 0.81
	Design Formula						
	$\sigma_{x,Ed} / \sigma_{x,Rd} = 0.81 \leq 1 \quad (6.42)$						
	0.000	KV20	0.64	≤ 1	232)	Posúdenie prierezu - dvojosý ohyb, šmyk a osová sila podľa 6.2.10 a 6.2.9.3 - trieda 4 - uholník	
	Návrhové vnútorné sily						
	N_{Ed}	1986.37	kN	$V_{z,Ed}$	-211.94	kN	$M_{y,Ed}$ 1558.97 kNm
	$V_{y,Ed}$	5.29	kN	T_{Ed}	106.06	kNm	$M_{z,Ed}$ 6.31 kNm
	Posúdenie						
	N_{Ed}	1986.37	kN	$\sigma_{x,Ed}$	22.63	kN/cm ²	f_y 35.50 kN/cm ²
	A	418.32	cm ²	T_{Ed}	106.06	kNm	γ_{M0} 1.000
	$\sigma_{x,N,Ed}$	4.75	kN/cm ²	A_k	0.00	cm ²	$V_{pl,z,Rd}$ 5770.02 kN
	$M_{y,Ed}$	1558.97	kNm	t	18.0	mm	$V_{pl,y,Rd}$ 2803.84 kN
	l_y	345456.00	cm ⁴	$\tau_{L,Ed}$	0.00	kN/cm ²	$V_{pl,z,T,Rd}$ 5770.02 kN
	Z_{Sp}	393.7	mm	$V_{z,Ed}$	211.94	kN	$V_{pl,y,T,Rd}$ 2803.84 kN
	$\sigma_{x,My,Ed}$	17.77	kN/cm ²	S_y	0.00	cm ³	V_z 0.037
	$M_{z,Ed}$	6.31	kNm	$\tau_{V,z,Ed}$	0.00	kN/cm ²	V_y 0.002
	I_z	112157.00	cm ⁴	$V_{y,Ed}$	5.29	kN	$\sigma_{x,Rd}$ 35.50 kN/cm ²

■ 3.7. POSÚDENIE MSU - NAJVIAC NAMÁHANÉ PRUTY DANÉHO PRIEREZU

Prút č.	Místo x [m]	ZS/SZS KZS	Posouzení	Posouzen č.	Označenie			
					Y _{SP}	-205.0	mm	S _z
Design Formula								
$\sigma_{x,Ed} / \sigma_{x,Rd} = 0.64 \leq 1 \quad (6.42)$								
	0.000	KV29	0.71	≤ 1	304)	Posúdenie stability - vzper okolo y podľa 6.3.1.1 a 6.3.1.2 - trieda 4		
Návrhové vnútorné sily								
N _{Ed}	2070.45	kN	V _{z,Ed}	-269.13	kN	M _{y,Ed}	1748.58	kNm
V _{y,Ed}	4.22	kN	T _{Ed}	128.65	kNm	M _{z,Ed}	3.51	kNm
Posúdenie								
NB č.	8		$\sigma_{x,Ed}$	24.94	kN/cm ²	T _{t,Ed}	1.27	kN/cm ²
N _{Ed}	2070.45	kN	V _{z,Ed}	269.13	kN	T _{Ed}	1.30	kN/cm ²
A	418.32	cm ²	S _y	-80.90	cm ³	σ_{eqv}	25.04	kN/cm ²
$\sigma_{x,N,Ed}$	4.95	kN/cm ²	t	18.0	mm	f _y	35.50	kN/cm ²
M _{y,Ed}	1748.58	kNm	T _{V,z,Ed}	0.04	kN/cm ²	γ_{M0}	1.000	
I _y	345456.00	cm ⁴	T _{Ed}	128.65	kNm	η	0.71	
Z _{SP}	393.7	mm	A _k	2822.56	cm ²			
$\sigma_{x,M,Ed}$	19.93	kN/cm ²	t	18.0	mm			
Design Formula								
$(\sigma_{x,Ed} / (f_y / \gamma_{M0}))^2 + 3(\tau_{Ed} / (f_y / \gamma_{M0}))^2 = 0.71 \leq 1 \quad (6.1)$								
198	Prierez č. 3 - Uzavrené(A) 650/30/30/550/550/650/30/7/7	0.000	KV29	0.83	≤ 1	142)	Posúdenie prierezu - ohyb a šmyk podľa 6.2.9.2 a 6.2.10 - trieda 3	
Návrhové vnútorné sily								
N _{Ed}	-1598.30	kN	V _{z,Ed}	-361.70	kN	M _{y,Ed}	612.64	kNm
V _{y,Ed}	3404.38	kN	T _{Ed}	1087.22	kNm	M _{z,Ed}	-693.92	kNm
Posúdenie								
V _{y,Ed}	3404.38	kN	T _{Ed}	1087.22	kNm	f _y	35.50	kN/cm ²
S _z	3715.88	cm ³	A _k	3016.00	cm ²	γ_{M0}	1.000	
I _z	384787.00	cm ⁴	t	30.0	mm	τ _{Rd}	20.50	kN/cm ²
t	30.0	mm	T _{t,Ed}	6.01	kN/cm ²	η	0.83	
τ _{V,y,Ed}	10.96	kN/cm ²	T _{V,y,t,Ed}	16.97	kN/cm ²			
0.346	KV29	0.65	≤ 1	232)	Posúdenie prierezu - dvojosý ohyb, šmyk a osová sila podľa 6.2.10 a 6.2.9.3 - trieda 4 - uholník			
Návrhové vnútorné sily								
N _{Ed}	-1599.36	kN	V _{z,Ed}	-299.12	kN	M _{y,Ed}	593.52	kNm
V _{y,Ed}	3366.87	kN	T _{Ed}	1086.63	kNm	M _{z,Ed}	-1845.99	kNm
Posúdenie								
N _{Ed}	-1599.36	kN	$\sigma_{x,Ed}$	-22.99	kN/cm ²	f _y	35.50	kN/cm ²
A	684.00	cm ²	T _{Ed}	1086.63	kNm	γ_{M0}	1.000	
$\sigma_{x,N,Ed}$	-2.34	kN/cm ²	A _k	0.00	cm ²	V _{pl,z,Rd}	6025.81	kN
M _{y,Ed}	593.52	kNm	t	30.0	mm	V _{pl,y,Rd}	7993.42	kN
I _y	322757.00	cm ⁴	T _{t,Ed}	0.00	kN/cm ²	V _{pl,z,T,Rd}	6025.81	kN
Z _{SP}	-275.0	mm	V _{z,Ed}	299.12	kN	V _{pl,y,T,Rd}	7993.42	kN
$\sigma_{x,M,Ed}$	-5.06	kN/cm ²	S _y	0.00	cm ³	V _z	0.050	
M _{z,Ed}	-1845.99	kNm	T _{V,z,Ed}	0.00	kN/cm ²	V _y	0.421	
I _z	384787.00	cm ⁴	V _{y,Ed}	3366.87	kN	$\sigma_{x,Rd}$	35.50	kN/cm ²
Y _{SP}	-325.0	mm	S _z	0.00	cm ³	η	0.65	
$\sigma_{x,M,Ed}$	-15.59	kN/cm ²	T _{V,y,Ed}	0.00	kN/cm ²			
Design Formula								
$(\sigma_{x,Ed} / (f_y / \gamma_{M0}))^2 + 3(\tau_{Ed} / (f_y / \gamma_{M0}))^2 = 0.65 \leq 1 \quad (6.42)$								
0.346	KV29	0.86	≤ 1	304)	Posúdenie stability - vzper okolo y podľa 6.3.1.1 a 6.3.1.2 - trieda 4			
Návrhové vnútorné sily								
N _{Ed}	-1599.36	kN	V _{z,Ed}	-299.12	kN	M _{y,Ed}	593.52	kNm
V _{y,Ed}	3366.87	kN	T _{Ed}	1086.63	kNm	M _{z,Ed}	-1845.99	kNm
Posúdenie								
NB č.	22		Y _{SP}	-290.0	mm	T _{Ed}	1086.63	kNm
N _{Ed}	-1599.36	kN	$\sigma_{x,M,Ed}$	-13.91	kN/cm ²	A _k	3016.00	cm ²
A	684.00	cm ²	$\sigma_{x,Ed}$	-21.31	kN/cm ²	t	30.0	mm
$\sigma_{x,N,Ed}$	-2.34	kN/cm ²	V _{z,Ed}	299.12	kN	T _{t,Ed}	12.57	kN/cm ²
M _{y,Ed}	593.52	kNm	S _y	2233.59	cm ³	σ_{eqv}	30.46	kN/cm ²
I _y	322757.00	cm ⁴	t	30.0	mm	f _y	35.50	kN/cm ²
Z _{SP}	-275.0	mm	T _{V,z,Ed}	-0.69	kN/cm ²	γ_{M0}	1.000	
$\sigma_{x,M,Ed}$	-5.06	kN/cm ²	V _{y,Ed}	3366.87	kN	η	0.86	
M _{z,Ed}	-1845.99	kNm	S _z	-2486.16	cm ³			
I _z	384787.00	cm ⁴	T _{V,y,Ed}	7.25	kN/cm ²			
Design Formula								
$(\sigma_{x,Ed} / (f_y / \gamma_{M0}))^2 + 3(\tau_{Ed} / (f_y / \gamma_{M0}))^2 = 0.86 \leq 1 \quad (6.1)$								
209	Prierez č. 4 - IU 300/200/20/14/300/25/5/5	4.082	KV23	0.55	≤ 1	101)	Posúdenie prierezu - tāh podľa 6.2.3	
Návrhové vnútorné sily								
N _{Ed}	2955.36	kN	V _{z,Ed}	21.50	kN	M _{y,Ed}	228.96	kNm
V _{y,Ed}	1.08	kN	T _{Ed}	0.00	kNm	M _{z,Ed}	0.18	kNm
Posúdenie								
N _{t,Ed}	2955.36	kN	γ_{M0}	1.000		η	0.55	
A	150.70	cm ²	N _{pl,Rd}	5349.85	kN			
f _y	35.50	kN/cm ²	N _{t,Rd}	5349.85	kN			
Design Formula								
$N_{t,Ed} / N_{t,Rd} = 0.55 \leq 1 \quad (6.5)$								
0.000	KV29	0.57	≤ 1	121)	Posúdenie prierezu - šmyk v smere z podľa 6.2.6			
Návrhové vnútorné sily								
N _{Ed}	92.56	kN	V _{z,Ed}	504.37	kN	M _{y,Ed}	-49.64	kNm

■ 3.7. POSÚDENIE MSU - NAJVIAC NAMÁHANÉ PRUTY DANÉHO PRIEREZU

Prút č.	Místo x [m]	ZS/SZS KZS	Posouzení	Posouzen č.	Označenie			
			$V_{y,Ed}$	-24.26 kN	T_{Ed}	0.17 kNm	$M_{z,Ed}$	12.27 kNm
			Posúdenie					
			$V_{z,Ed}$	504.37 kN	f_y	35.50 kN/cm ²	$V_{pl,z,Rd}$	878.05 kN
			$A_{v,z}$	42.84 cm ²	γ_{M0}	1.000	η	0.57
			Design Formula					
			$V_{z,Ed} / V_{pl,z,Rd} = 0.57 \leq 1$ (6.17)					
	4.082	KV23	0.91	≤ 1	185)	Posúdenie prierezu - ohyb, šmyk a osová sila podľa 6.2.10 a 6.2.9 - trieda 3 - uholník		
			Návrhové vnútorné sily					
			N_{Ed}	2955.22 kN	$V_{z,Ed}$	21.52 kN	$M_{y,Ed}$	229.00 kNm
			$V_{y,Ed}$	1.18 kN	T_{Ed}	-0.01 kNm	$M_{z,Ed}$	0.18 kNm
			Posúdenie					
			$M_{y,Ed}$	229.00 kNm	v_z	0.025	b	200.0 mm
			f_y	35.50 kN/cm ²	N_{Ed}	2955.22 kN	t_f	30.0 mm
			$Z_{pl,0}$	272.5 mm	A	150.70 cm ²	a	0.237
			γ_{M0}	1.000	$N_{pl,Rd}$	5349.85 kN	$M_{N,pl,y,Rd}$	289.99 kNm
			$M_{pl,y,Rd}$	571.14 kNm	h_w	255.0 mm	η_{My}	0.79
			$V_{z,Ed}$	21.52 kN	t_w	14.0 mm	η	0.91
			$A_{v,z}$	42.84 cm ²	n	0.552		
			$V_{pl,z,Rd}$	878.05 kN	n_w	2.332		
			Design Formula					
			$M_{y,Ed} / M_{N,y,Rd} = 0.91 \leq 1$ (6.31)					
306		Prierez č. 12 - IS 360/200/8/12/5						
	0.000	KV23	0.56	≤ 1	101)	Posúdenie prierezu - tiah podľa 6.2.3		
			Návrhové vnútorné sily					
			N_{Ed}	1478.60 kN	$V_{z,Ed}$	-7.08 kN	$M_{y,Ed}$	3.99 kNm
			$V_{y,Ed}$	1.50 kN	T_{Ed}	0.01 kNm	$M_{z,Ed}$	1.85 kNm
			Posúdenie					
			$N_{t,Ed}$	1478.60 kN	γ_{M0}	1.000	η	0.56
			A	74.88 cm ²	$N_{pl,Rd}$	2658.24 kN		
			f_y	35.50 kN/cm ²	$N_{t,Rd}$	2658.24 kN		
			Design Formula					
			$N_{t,Ed} / N_{t,Rd} = 0.56 \leq 1$ (6.5)					
	8.810	KV25	0.82	≤ 1	1004)	Tlaková sila prekračuje pružnú kritickú silu pre rovinový vzper $N_{cr,y}$		
			Návrhové vnútorné sily					
			N_{Ed}	-117.72 kN	$V_{z,Ed}$	4.44 kN	$M_{y,Ed}$	20.47 kNm
			$V_{y,Ed}$	-1.36 kN	T_{Ed}	0.00 kNm	$M_{z,Ed}$	1.33 kNm
			Posúdenie					
			$N_{cr,T}$	1432.03 kN	b	200.0 mm	C_{rz}	1.000
			λ_T	1.362	h/b	1.80	Diagr $M_{y,LT}$	1) Lineární
			KVP_z	c	KVP_{LT}	c	$\psi_{y,LT}$	1.000
			α_z	0.490	α_{LT}	0.490	C_{MLT}	1.000
			Φ_T	1.713	G	8100.00 kN/cm ²	Dielec	Torz. měkký
			χ_T	0.363	k_z	1.000	k_{yy}	1.027
			E	21000.00 kN/cm ²	k_w	1.000	k_{yz}	1.200
			I_y	17067.10 cm ⁴	L	8.810 m	k_{zy}	0.978
			$L_{cr,y}$	8.810 m	I_w	484416.00 cm ⁶	k_{zz}	1.200
			$N_{cr,y}$	4557.13 kN	I_t	28.11 cm ⁴	N_{Ed}	117.72 kNm
			A	74.88 cm ²	M_{cr}	228.68 kNm	A_i	74.88 cm ²
			f_y	35.50 kN/cm ²	W_y	948.17 cm ³	N_{Rk}	2658.24 kNm
			λ_y	0.764	λ_{LT}	1.213	γ_{M1}	1.000
			KVP_y	b	$\lambda_{LT,0}$	0.400	η_{Ny}	0.06
			α_y	0.340	β	0.750	η_{Nz}	0.33
			Φ_y	0.887	Φ_{LT}	1.251	$M_{y,Ed}$	63.37 kNm
			χ_y	0.747	χ_{LT}	0.518	W_y	948.17 cm ³
			I_z	1601.43 cm ⁴	k_c	1.000	$M_{y,Rk}$	336.60 kNm
			$L_{cr,z}$	8.810 m	f	1.000	η_{My}	0.36
			$N_{cr,z}$	427.60 kN	$\chi_{LT,mod}$	0.518	$M_{z,Ed}$	6.07 kNm
			λ_z	2.493	Typ	0.518	W_z	160.14 cm ³
			KVP_z	c	Diagr M_y	1) Lineární	$M_{z,Rk}$	56.85 kNm
			α_z	0.490	ψ_y	1.000	η_{Mz}	0.11
			Φ_z	4.170	C_{my}	1.000	η_1	0.56
			S_{req}	26766.70 kN	Typ	Pevné	η_2	0.82
			χ_z	0.133	Diagr M_z	1) Lineární		
			h	360.0 mm	ψ_z	1.000		
			Design Formula					
			$N_{Ed} / (\chi_y N_{Rk} / \gamma_{M1}) + k_{yy} M_{y,Ed} / (\chi_{LT} M_{y,Rk} / \gamma_{M1}) + k_{yz} M_{z,Ed} / (M_{z,Rk} / \gamma_{M1}) = 0.56 \leq 1$ (6.61)					
			$N_{Ed} / (\chi_z N_{Rk} / \gamma_{M1}) + k_{zy} M_{y,Ed} / (\chi_{LT} M_{y,Rk} / \gamma_{M1}) + k_{zz} M_{z,Ed} / (M_{z,Rk} / \gamma_{M1}) = 0.82 \leq 1$ (6.62)					
314		Prierez č. 11 - IS 360/200/10/12/5						
	0.000	KV29	0.61	≤ 1	101)	Posúdenie prierezu - tiah podľa 6.2.3		
			Návrhové vnútorné sily					
			N_{Ed}	1761.62 kN	$V_{z,Ed}$	-3.26 kN	$M_{y,Ed}$	-0.97 kNm
			$V_{y,Ed}$	1.75 kN	T_{Ed}	0.00 kNm	$M_{z,Ed}$	2.34 kNm
			Posúdenie					
			$N_{t,Ed}$	1761.62 kN	γ_{M0}	1.000	η	0.61
			A	81.60 cm ²	$N_{pl,Rd}$	2896.80 kN		
			f_y	35.50 kN/cm ²	$N_{t,Rd}$	2896.80 kN		
			Design Formula					
			$N_{t,Ed} / N_{t,Rd} = 0.61 \leq 1$ (6.5)					
322		Prierez č. 9 - Uzavřené(B) 500/24/20/400/420/24/25/5/5						
	5.790	KV29	0.56	≤ 1	227)	Posúdenie prierezu - dvojosý ohyb, šmyk, krútenie a osová sila podľa 6.2.10 a 6.2.9 - trieda 3		
			Návrhové vnútorné sily					

■ 3.7. POSÚDENIE MSU - NAJVIAC NAMÁHANÉ PRUTY DANÉHO PRIEREZU

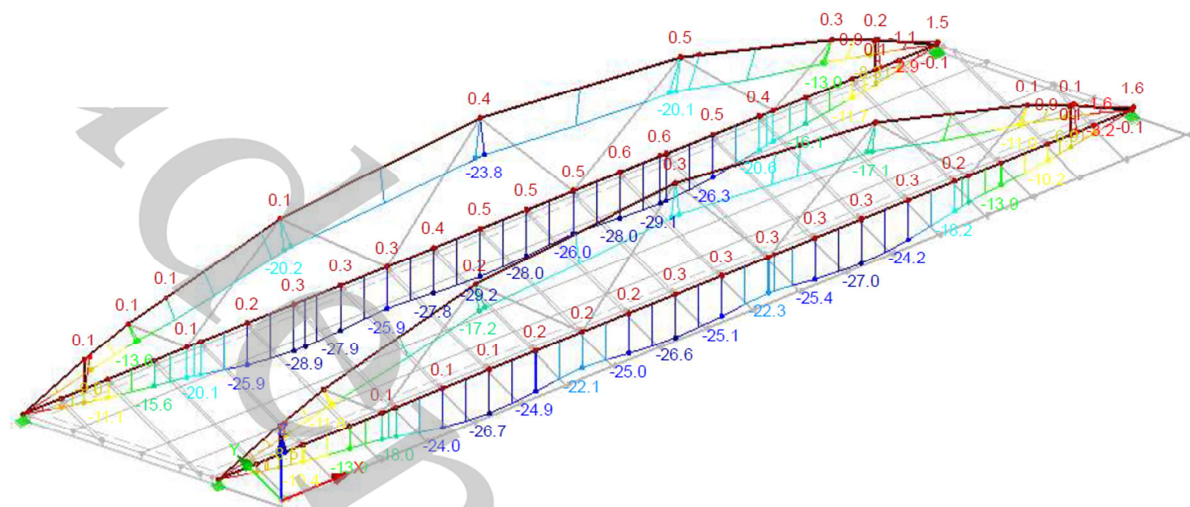
Prút č.	Místo x [m]	ZS/SZS KZS	Posouzení	Posouzen č.	Označenie			
					N _{Ed}	-6820.42 kN	V _{y,Ed}	0.42 kN
					V _{x,Ed}		T _{Ed}	
					Posúdenie			
					N _{Ed}	-6820.42 kN	A	371.20 cm ²
					σ _{x,N,Ed}	-18.37 kN/cm ²	σ _{x,Mz,Ed}	371.20 cm ²
					M _{y,Ed}	44.42 kNm	V _{z,Ed}	86732.20 cm ⁴
					I _y	86732.20 cm ⁴	S _y	0.00 cm ³
					Z _{Sp}	-211.7 mm	t	20.0 mm
					σ _{x,My,Ed}	-1.08 kN/cm ²	τ _{V,z,Ed}	0.00 kN/cm ²
					M _{z,Ed}	-27.95 kNm	V _{y,Ed}	0.42 kN
					I _z	112661.00 cm ⁴	S _z	0.00 cm ³
					Design Formula			
					σ _{x,Ed} / σ _{x,Rd}	= 0.56 ≤ 1 (6.42)		
					5.790 KV29 0.86	≤ 1 1005		Tlaková sila prekračuje pružnú kritickú silu pre rovinný vzper N _{cr,z}
					Návrhové vnútorné sily			
					N _{Ed}	-6820.42 kN	V _{y,Ed}	0.42 kN
					V _{x,Ed}		T _{Ed}	
					Posúdenie			
					M _{z,Ed}	-27.95 kNm	α _{cr,op}	2.553
					M _{pl,z,Rd}	2082.86 kNm	λ _{op}	0.845
					η Mz limit	0.200	KVP _z	c
					η Mz	0.019	α _z	0.490
					η ult,k,max	0.548	Φ _{op,z}	1.015
					α _{ult,k}	1.824	S _{t,req}	47639100.00 kN
					Design Formula			
					γ _{M1} / (χ _{op} α _{ult,k})	= 0.86 ≤ 1 (6.63)		
328			Prierez č. 1 - Uzavrené(B) 500/28/24/430/420/30/25/5/5					
			5.790 KV29 0.58	≤ 1 187				Posúdenie prierezu - ohyb, šmyk, krútenie a osová sila podľa 6.2.9.2 - trieda 3
			Návrhové vnútorné sily					
			N _{Ed}	-8859.37 kN	V _{y,Ed}	3.28 kN	T _{Ed}	
			Posúdenie					
			N _{Ed}	-8859.37 kN	σ _{x,My,Ed}			-6.56 kN
			A	458.96 cm ²	σ _{x,Ed}			29.80 kNm
			σ _{x,N,Ed}	-19.30 kN/cm ²	V _{z,Ed}			M _{y,Ed}
			M _{y,Ed}	63.91 kNm	S _y			M _{z,Ed}
			I _y	121449.00 cm ⁴	t			63.91 kNm
			Z _{Sp}	-222.4 mm	τ _{V,z,Ed}			4.72 kNm
			Design Formula					
			σ _{x,Ed} / σ _{x,Rd}	= 0.58 ≤ 1 (6.42)				
			11.580 KV29 0.57	≤ 1 227				Posúdenie prierezu - dvojosý ohyb, šmyk, krútenie a osová sila podľa 6.2.10 a 6.2.9 - trieda 3
			Návrhové vnútorné sily					
			N _{Ed}	-8847.62 kN	V _{y,Ed}	3.23 kN	T _{Ed}	
			Posúdenie					
			N _{Ed}	-8847.62 kN	y _{SP}			-30.52 kN
			A	458.96 cm ²	σ _{x,Mz,Ed}			28.82 kNm
			σ _{x,N,Ed}	-19.28 kN/cm ²	σ _{x,Ed}			M _{y,Ed}
			M _{y,Ed}	-42.49 kNm	V _{z,Ed}			M _{z,Ed}
			I _y	121449.00 cm ⁴	S _y			-42.49 kNm
			Z _{Sp}	207.6 mm	t			-19.44 kNm
			σ _{x,My,Ed}	-0.73 kN/cm ²	τ _{V,z,Ed}			
			M _{z,Ed}	-19.44 kNm	V _{y,Ed}			
			I _z	142880.00 cm ⁴	S _z			
			Design Formula					
			σ _{x,Ed} / σ _{x,Rd}	= 0.57 ≤ 1 (6.42)				
			5.790 KV29 0.90	≤ 1 1005				Tlaková sila prekračuje pružnú kritickú silu pre rovinný vzper N _{cr,z}
			Návrhové vnútorné sily					
			N _{Ed}	-8859.37 kN	V _{y,Ed}	3.28 kN	T _{Ed}	
			Posúdenie					
			η ult,k,max	0.577	KVP _z			-6.56 kN
			α _{ult,k}	1.734	α _z			29.80 kNm
			α _{cr,op}	2.493	Φ _{op,z}			M _{y,Ed}
			λ _{op}	0.834	S _{t,req}			M _{z,Ed}
			Design Formula					63.91 kNm
			γ _{M1} / (χ _{op} α _{ult,k})	= 0.90 ≤ 1 (6.63)				4.72 kNm

3.8 MSP – Medzný stav použiteľnosti

V medznom stave použiteľnosti posudzujem vertikálny priehyb konštrukcie. Podľa normy sa má priehyb pre kombinované mosty posudzovať k hodnote akoby to bol železničný most pričom v danom ZS sa má uvažovať iba polovičné zaťaženie od automobilovej dopravy.

Priehyb hlavných nosníkov

Priehyb od stáleho zaťaženia	$w^g = 45,5 \text{ mm}$
Priehyb od náhodného zaťaženia	$w^q = 30,0 \text{ mm}$
Hodnota nadvýšenia	$w^+ = w^g + 0,25w^q = 30,0 \text{ mm}$
Limitná hodnota priehybu pre kombinované mosty	$w^{\max} = L/600 = 52,5/600 = 87 \text{ mm}$
	$> w^q = 30,0 \text{ mm}$ Vyhovuje



Obr.3.7 – Priehyb hlavných nosníkov od náhodného zaťaženia

■ 3.9. VÝKAZ MATERIÁLU

Položka č.	Označenie priezru	Počet Prúty	Dĺžka [m]	Cel. dĺžka [m]	Plocha [m ²]	Objem [m ³]	Mer. hmot. [kg/m]	Hmotnosť [kg]	Celk. hmot. [t]
1	3 - Uzavrené(A) 650/30/30/550/550/650/30/ 7/7	4	0.35	1.39	3.60	0.09	536.94	186.00	0.744
2	3 - Uzavrené(A) 650/30/30/550/550/650/30/ 7/7	1	0.65	0.65	1.70	0.04	536.94	350.91	0.351
3	3 - Uzavrené(A) 650/30/30/550/550/650/30/ 7/7	1	3.62	3.62	9.41	0.25	536.94	1942.50	1.942
4	3 - Uzavrené(A) 650/30/30/550/550/650/30/ 7/7	1	0.66	0.66	1.73	0.05	536.94	356.52	0.357
5	3 - Uzavrené(A) 650/30/30/550/550/650/30/ 7/7	1	2.14	2.14	5.55	0.15	536.94	1146.38	1.146
6	10 - Uzavrené(B) 410/18/18/800/350/18/15/6 /6	13	2.67	34.71	85.03	1.45	328.38	876.71	11.397
7	10 - Uzavrené(B) 410/18/18/800/350/18/15/6 /6	1	2.18	2.18	5.34	0.09	328.38	715.94	0.716
8	10 - Uzavrené(B) 410/18/18/800/350/18/15/6 /6	1	0.80	0.80	1.96	0.03	328.38	262.59	0.263
9	6 - U 120 DIN 1026-1:1963	2	3.46	6.93	3.01	0.01	13.35	46.23	0.092
10	2 - Uzavrené(B) 410/18/18/800/350/18/15/6 /6	1	2.17	2.17	5.33	0.09	328.38	714.23	0.714
11	2 - Uzavrené(B) 410/18/18/800/350/18/15/6 /6	14	2.67	37.38	91.57	1.56	328.38	876.71	12.274
12	10 - Uzavrené(B) 410/18/18/800/350/18/15/6 /6	15	0.01	0.08	0.19	0.00	328.38	1.71	0.026
13	6 - U 120 DIN 1026-1:1963	1	52.50	52.50	22.78	0.09	13.34	700.61	0.701
14	10 - Uzavrené(B) 410/18/18/800/350/18/15/6 /6	1	1.87	1.87	4.58	0.08	328.38	614.12	0.614
15	10 - Uzavrené(B) 410/18/18/800/350/18/15/6 /6	1	1.87	1.87	4.59	0.08	328.38	615.60	0.616
16	2 - Uzavrené(B) 410/18/18/800/350/18/15/6 /6	1	0.80	0.80	1.96	0.03	328.38	262.66	0.263
17	2 - Uzavrené(B) 410/18/18/800/350/18/15/6 /6	19	0.01	0.10	0.24	0.00	328.38	1.71	0.033
18	2 - Uzavrené(B) 410/18/18/800/350/18/15/6 /6	1	1.87	1.87	4.59	0.08	328.38	615.67	0.616
19	4 - IU 300/200/20/14/300/25/5/5	38	0.30	11.40	17.92	0.17	118.30	35.49	1.349
20	4 - IU 300/200/20/14/300/25/5/5	1	8.11	8.11	12.75	0.12	118.30	959.29	0.959
21	4 - IU 300/200/20/14/300/25/5/5	1	3.48	3.48	5.46	0.05	118.30	411.21	0.411
22	5 - HEB 220	19	3.00	57.00	72.39	0.52	71.47	214.40	4.074
23	3 - Uzavrené(A) 650/30/30/550/550/650/30/ 7/7	2	1.73	3.46	9.01	0.24	536.94	930.01	1.860
24	10 - Uzavrené(B) 410/18/18/800/350/18/15/6 /6	1	0.80	0.80	1.95	0.03	328.38	261.11	0.261
25	10 - Uzavrené(B) 410/18/18/800/350/18/15/6 /6	1	2.67	2.67	6.55	0.11	328.38	878.42	0.878
26	10 - Uzavrené(B) 410/18/18/800/350/18/15/6 /6	1	1.34	1.34	3.29	0.06	328.38	441.60	0.442
27	10 - Uzavrené(B) 410/18/18/800/350/18/15/6 /6	1	2.17	2.17	5.32	0.09	328.38	712.52	0.713
28	10 - Uzavrené(B) 410/18/18/800/350/18/15/6 /6	1	1.32	1.32	3.23	0.06	328.38	433.39	0.433
29	3 - Uzavrené(A) 650/30/30/550/550/650/30/ 7/7	1	1.62	1.62	4.21	0.11	536.94	868.66	0.869
30	2 - Uzavrené(B) 410/18/18/800/350/18/15/6 /6	1	1.32	1.32	3.23	0.06	328.38	433.39	0.433
31	2 - Uzavrené(B) 410/18/18/800/350/18/15/6 /6	1	1.87	1.87	4.58	0.08	328.38	614.05	0.614
32	2 - Uzavrené(B) 410/18/18/800/350/18/15/6 /6	1	0.79	0.79	1.95	0.03	328.38	261.04	0.261
33	2 - Uzavrené(B) 410/18/18/800/350/18/15/6 /6	1	1.34	1.34	3.29	0.06	328.38	441.60	0.442
34	2 - Uzavrené(B) 410/18/18/800/350/18/15/6 /6	1	2.17	2.17	5.32	0.09	328.38	712.52	0.713
35	3 - Uzavrené(A) 650/30/30/550/550/650/30/7	1	0.14	0.14	0.35	0.01	536.94	72.55	0.073

■ 3.9. VÝKAZ MATERIÁLU

Položka č.	Označenie prierezu	Počet Prúty	Dĺžka [m]	Cel. dĺžka [m]	Plocha [m ²]	Objem [m ³]	Mer. hmot. [kg/m]	Hmotnosť [kg]	Celk. hmot. [t]
36	7/7 3 - Uzavrené(A) 650/30/30/550/550/650/30/ 7/7	2	2.14	4.27	11.11	0.29	536.94	1147.02	2.294
37	3 - Uzavrené(A) 650/30/30/550/550/650/30/ 7/7	1	1.08	1.08	2.80	0.07	536.94	579.11	0.579
38	2 - Uzavrené(B) 410/18/18/800/350/18/15/6 /6	1	1.35	1.35	3.31	0.06	328.38	443.31	0.443
39	9 - Uzavrené(B) 500/24/20/400/420/24/25/5 /5	2	1.84	3.68	6.80	0.14	291.39	535.76	1.072
40	10 - Uzavrené(B) 410/18/18/800/350/18/15/6 /6	1	1.36	1.36	3.32	0.06	328.38	445.03	0.445
41	2 - Uzavrené(B) 410/18/18/800/350/18/15/6 /6	1	1.33	1.33	3.25	0.06	328.38	435.11	0.435
42	1 - Uzavrené(B) 500/28/24/430/420/30/25/5 /5	2	1.84	3.68	7.02	0.17	360.28	662.43	1.325
43	10 - Uzavrené(B) 410/18/18/800/350/18/15/6 /6	1	1.33	1.33	3.26	0.06	328.38	436.82	0.437
44	3 - Uzavrené(A) 650/30/30/550/550/650/30/ 7/7	1	2.40	2.40	6.23	0.16	536.94	1286.53	1.287
45	4 - IU 300/200/20/14/300/25/5/5	1	3.47	3.47	5.45	0.05	118.30	410.15	0.410
46	4 - IU 300/200/20/14/300/25/5/5	17	8.68	147.48	231.83	2.22	118.30	1026.25	17.446
47	4 - IU 300/200/20/14/300/25/5/5	1	8.10	8.10	12.73	0.12	118.30	958.22	0.958
48	9 - Uzavrené(B) 500/24/20/400/420/24/25/5 /5	2	3.95	7.91	14.63	0.29	291.39	1152.03	2.304
49	1 - Uzavrené(B) 500/28/24/430/420/30/25/5 /5	2	3.95	7.91	15.10	0.36	360.28	1424.40	2.849
50	12 - IS 360/200/8/12/5	1	8.40	8.40	12.63	0.06	58.78	493.79	0.494
51	12 - IS 360/200/8/12/5	1	7.85	7.85	11.80	0.06	58.78	461.28	0.461
52	12 - IS 360/200/8/12/5	2	4.49	8.98	13.51	0.07	58.78	263.95	0.528
53	12 - IS 360/200/8/12/5	2	8.81	17.62	26.50	0.13	58.78	517.88	1.036
54	12 - IS 360/200/8/12/5	1	8.41	8.41	12.65	0.06	58.78	494.44	0.494
55	12 - IS 360/200/8/12/5	1	7.83	7.83	11.78	0.06	58.78	460.36	0.460
56	11 - IS 360/200/10/12/5	1	8.40	8.40	12.60	0.07	64.06	538.10	0.538
57	11 - IS 360/200/10/12/5	1	7.85	7.85	11.77	0.06	64.06	502.69	0.503
58	11 - IS 360/200/10/12/5	2	4.49	8.98	13.47	0.07	64.06	287.63	0.575
59	11 - IS 360/200/10/12/5	2	8.81	17.62	26.43	0.14	64.06	564.36	1.129
60	11 - IS 360/200/10/12/5	1	8.41	8.41	12.62	0.07	64.06	538.81	0.539
61	11 - IS 360/200/10/12/5	1	7.83	7.83	11.75	0.06	64.06	501.67	0.502
62	9 - Uzavrené(B) 500/24/20/400/420/24/25/5 /5	2	2.77	5.54	10.26	0.21	291.39	807.78	1.616
63	9 - Uzavrené(B) 500/24/20/400/420/24/25/5 /5	1	9.16	9.16	16.94	0.34	291.39	2667.79	2.668
64	9 - Uzavrené(B) 500/24/20/400/420/24/25/5 /5	1	11.56	11.56	21.39	0.43	291.39	3368.55	3.369
65	9 - Uzavrené(B) 500/24/20/400/420/24/25/5 /5	1	11.58	11.58	21.42	0.43	291.39	3374.20	3.374
66	9 - Uzavrené(B) 500/24/20/400/420/24/25/5 /5	1	9.14	9.14	16.90	0.34	291.39	2662.16	2.662
67	1 - Uzavrené(B) 500/28/24/430/420/30/25/5 /5	2	2.77	5.54	10.59	0.25	360.28	998.75	1.998
68	1 - Uzavrené(B) 500/28/24/430/420/30/25/5 /5	1	9.16	9.16	17.49	0.42	360.28	3298.52	3.299
69	1 - Uzavrené(B) 500/28/24/430/420/30/25/5 /5	1	11.56	11.56	22.08	0.53	360.28	4164.95	4.165
70	1 - Uzavrené(B) 500/28/24/430/420/30/25/5 /5	1	11.58	11.58	22.12	0.53	360.28	4171.93	4.172
71	1 - Uzavrené(B) 500/28/24/430/420/30/25/5 /5	1	9.14	9.14	17.45	0.42	360.28	3291.55	3.292
Celkom		215		660.18	1094.97	15.01			117.802

4 Vyhodnotenia variant

Pre porovnanie variantov boli zvolené 4 rozhodujúce faktory, pričom každý dostal rôznu váhu. Najdôležitejšími faktormi sú hmotnosť oceli a estetika, ktoré majú váhu 35%. Zvyšných 30% je rovnomerne rozdelených medzi náročnosť montáže a náročnosť detailov. Každý faktor bude hodnotený na stupnici 1 až 3 pričom 1 je najlepšia a 3 najhoršia. Zvítazí teda variant s najlepšou známkou.

4.1 Hmotnosť oceli

Z výkazu materiálu vyplýva, že Variant A má hmotnosť 132,2 t a Variant B má hmotnosť 117,8 t. Z toho vyplýva, že variant B je o zhruba 11% ľahší. Rozdiel nie je až tak zásadný, preto priradzujem Variantu B známku 1 a Variantu A známku 2.

4.2 Náročnosť montáže

Očakáva sa, že do koryta rieky bude možné umiestniť dve podpory na ktorých bude prebiehať montáž. Vzhľadom na to, že priečadovina je významne tuhšia, tak bude možné jednotlivé prvky zmontoovať na predmontáži a do koryta ju bude možné osadzovať po blokoch. Predpokladám 3 bloky na každý pás. Pri variante A je však nutné postaviť najprv spodný pás, následne oblúk pričom všetky tiahla sa budú zvárať na lešení. Variant B hodnotím teda známkou 2 a Variant A hodnotím známkou 3.

4.3 Estetika

Toto hodnotenie je pomerne subjektívne, preto som most ukázal desiatim rôznym ľuďom ktorí povedali ktorý most sa im páči viac. Vo finále sa priečadový most páčil viac 7 ľudí pričom variantu s tiahlami preferovali len 3 ľudia. Preto v tomto faktore priečadový most získava známku 1 a Variant A 2.

4.4 Náročnosť detailov

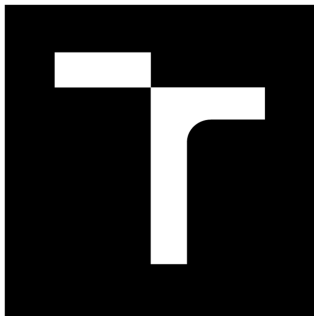
Variant 1 má výrazne jednoduchšie napojenie tiahiel na oblúky a spodný pás v porovnaní s Variantom B, kde sú diagonály pripojené pomerne komplikované. Čo sa týka náročnosti pripojenia ostatných prvkov, tak to majú obe varianty veľmi podobné. Variant A teda získava známku 1 a Variant B 3.

Statický výpočet
Variandy

4.5 Vyhodnotenie

	Váha	Var. A	Var. B
Hmotnosť oceli	0,35	2	1
Náročnosť montáže	0,15	3	2
Estetika	0,35	2	1
Náročnosť detailov	0,15	1	3
Výsledná známka		2	1,45

Priečinok Variant B teda vyhral a bude ďalej rozpracovaný.



VYSOKÉ UČENÍ TECHNICKÉ V BRNĚ
BRNO UNIVERSITY OF TECHNOLOGY

FAKULTA STAVEBNÍ
FACULTY OF CIVIL ENGINEERING

ÚSTAV KOVOVÝCH A DŘEVĚNÝCH KONSTRUKCÍ
INSTITUTE OF METAL AND TIMBER STRUCTURES

SILNIČNÍ A TRAMVAJOVÝ MOST
ROAD AND TRAM BRIDGE

C. STATICKÝ VÝPOČET – VÍŤAZNÝ NÁVRH
STATICAL DOCUMENTATION – THE WINNING DESIGN

DIPLOMOVÁ PRÁCE
DIPLOMA THESIS

AUTOR PRÁCE
AUTHOR

Bc. Martin Vošček

VEDOUCÍ PRÁCE
SUPERVISOR

Ing. PETR BROSCH

BRNO 2017

Obsah

1	Úvod – Víťazný variant - Variant B	5
1.1	Popis konštrukcie.....	5
1.1.1	Výpočtový model.....	5
2	Zaťaženie:	6
2.1	Vlastná tiaž	6
2.2	Vietor (ČSN EN 1991-1-4)	6
2.3	Zaťaženie chodcami.....	7
2.4	Automobilová doprava	7
2.5	Koľajová doprava.....	8
2.6	Teplota (ČSN EN 1991-1-5)	9
2.7	Imperfekcie.....	10
3	Zaťažovacie stavy.....	11
3.1	ZS1 – Vlastná tiaž.....	11
3.2	ZS2 – Ostatná vlastná tiaž.....	11
3.3	ZS4 – Zaťaženie chodcami na chodník - plný.....	12
3.4	ZS6 – Zaťaženie chodcami na chodník $\frac{3}{4}$	12
3.5	ZS7 – Zaťaženie chodcami na chodník $\frac{1}{2}$	12
3.6	ZS8 – Zaťaženie chodcami na chodník $\frac{1}{4}$	12
3.7	ZS9 – Zaťaženie teplotou – Rovnomerná – Predĺženie.....	13
3.8	ZS10 – Zaťaženie teplotou – Rovnomerná – Skrátenie	13
3.9	ZS11 – Zaťaženie teplotou – Rozdielová zložka teploty +	13
3.10	ZS12 – Zaťaženie teplotou – Rozdielová zložka teploty -	13
3.11	ZS13 – Zaťaženie teplotou – Teplotný rozdiel medzi nosnými časťami	13
3.12	ZS14 – Zaťaženie teplotou – Teplotný rozdiel medzi nosnými časťami	14
3.13	ZS5 – Horizontálne sily – LM3.....	14
3.14	ZS15 – Horizontálne sily – Električka	14
3.15	ZS16 – Horizontálne sily – LM1	14
3.16	ZS343 – Horizontálne sily – UDL.....	14
3.17	ZS344 – Horizontálne sily – LM3.....	14
3.18	ZS343 – Horizontálne sily – UDL.....	14
3.19	ZS346 – Horizontálne sily – Električka	15
3.20	ZS347 – Horizontálne sily – LM1.....	15
3.21	ZS17 – Vietor v smere x (os y v RFEMU).....	15

Statický výpočet
Víťazný variant

3.22	ZS18 – Vietor v smere x (os y v RFEMU).....	15
3.23	ZS19-ZS72 – LM3	16
3.24	ZS73 – ZS126 - Električka.....	16
3.25	ZS127 – ZS180 – LM1 – TS – Stred mostu.....	16
3.26	ZS181 – ZS234 – LM1 – TS – Kraj mostu.....	17
3.27	ZS235 – ZS288 – LM1 – UDL – Stred mostu.....	17
3.28	ZS289 – ZS342 – LM1 – UDL – Kraj mostu.....	18
3.29	ZS348 – Imperfekcie	19
4	Kombinácie zaťaženia.....	19
4.1	Popis	19
5	Prierezy	22
6	Vnútorné sily	31
6.1	Vnútorné sily – prúty.....	32
6.2	Vnútorné sily – betónová doska.....	40
6.3	Podporové reakcie.....	42
7	Medzný stav únosnosti.....	43
7.1	Návrh výstuže v betónovej doske.....	43
7.2	Horný pás - Ľavý	45
7.3	Horný pás - pravý.....	49
7.4	Diagonála - Ľavá.....	53
7.5	Diagonála - Pravá.....	58
7.6	Dolný pás	61
7.7	Koncový priečnik	64
7.8	Štandardný priečnik.....	68
8	Medzný stav únosnosti – Posudky RFEM	75
9	MSP – Medzný stav použiteľnosti	81
9.1	Priehyb štandardného priečniku	81
9.2	Priehyb hlavných nosníkov	81
9.3	Priehyb chodníkovej konzoly.....	81
10	Stabilita horného pásu	84
11	Dynamika.....	84
12	Imperfekcie.....	85
13	Výkaz materiálu	86
14	Návrh ložísk	88

Statický výpočet
Víťazný variant

14.1	Pevné ložisko – L1 (č.14).....	88
14.2	Posuvné ložisko – L2 (č.9).....	88
14.3	Posuvné ložisko – L3 (č.15).....	89
14.4	Pevné ložisko – L4 (č.10).....	89

1 Úvod – Vítazný variant - Variant B

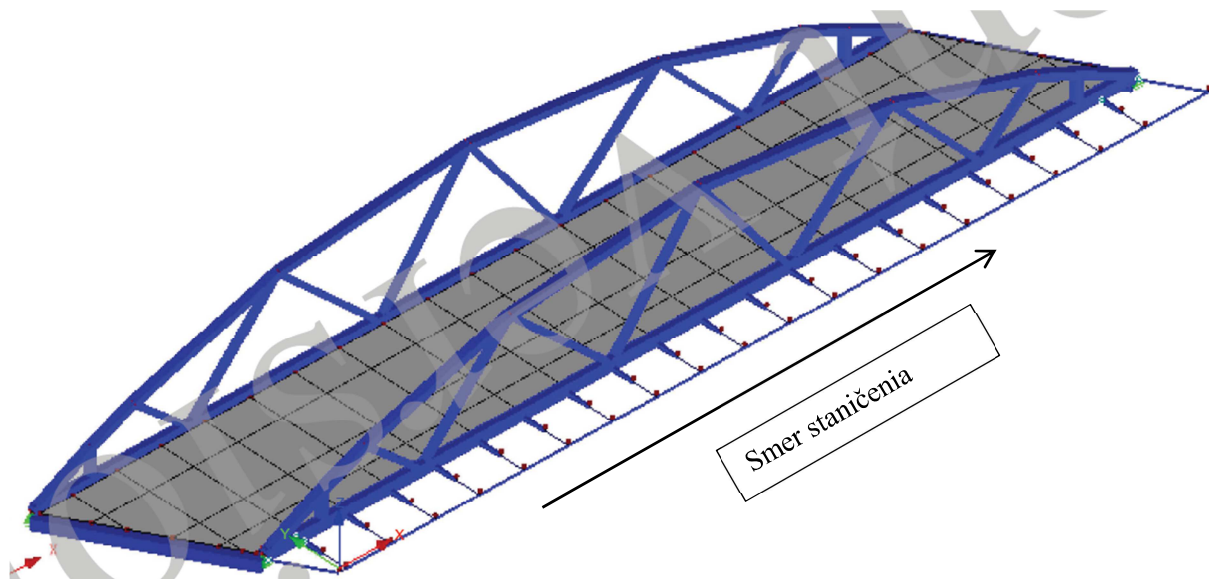
1.1 Popis konštrukcie

V porovnaní variantov bola Variant B vyhodnotená ako vhodnejší, preto bude ďalej rozpracovaný.

Variant B je oceľová konštrukcia o rozpäti 52,5 m. Je to prostá podoprený priečradový nosník s horným pásom v tvare oblúku. Osová vzdialenosť oblúkov je 9,275 m a oblúk je vyplnený troma párami diagonál bez zvislíc. Oblúk aj trám sú duté prierezy obdĺžnikového tvaru a diagonály sú zvárané prierezy v tvare I.

Na dolný pás sú pripojené priečniky, ktoré sú spražené s betónovou mostovkou. Priečniky sú nesymetrické I profily. Na koncoch v miestach podpor sa nachádzajú koncové priečniky, ktoré sú z obdĺžnikového dutého profilu a sú taktiež spražené s betónovou mostovkou. Z vonkajšej strany pravého oblúku je umiestnený chodník. Chodník je tvorený betónovou doskou ktorá leží na zváraných I profiloach s premenným prierezom.

Všetky oceľové prvky sú z oceli S355 a použitý betón je tried C35/45.



Obr. 1.1 – Ilustračný obrázok z výpočtového programu

1.1.1 Výpočtový model

Výpočtový model je vytvorený v programe RFEM. Tento model je vytvorený ako priestorový model zohľadňujúci relevantné geometrické a materiálové charakteristiky. Hlavné prvky oceľovej konštrukcie sú modelované ako 1D prvky. Betónová doska je modelovaná ako 2D prvok. V modeli sú uvažované jednotlivé eccentricity prvkov. Spražené priečniky sú modelované ako rebrá betónovej dosky. Betónová doska zabezpečujúca tuhost' je modelovaná len medzi oblúkmi. Betónová doska umiestnená na chodníkových konzolách je aplikovaná len ako zaťaženie a teda nijak neovplyvňuje tuhost' konštrukcie.

2 Zatiaženie:

2.1 Vlastná tiaž

Vlastná tiaž nosných prvkov je generovaná automaticky programom – všetky oceľové prvky a betónová doska medzi oblúkmi. Betónová doska chodníku je uvažovaná ako spojité zaťaženie na chodníkové konzoly. Ďalej je uvažované s konštrukčnými vrstvami vozovky, zábradlím, rímsami a ostatným vybavením mostu.

2.2 Vietor (ČSN EN 1991-1-4)

Veterná oblasť I – Centrum mesta Olomouc

$$\text{Základná rýchlosť vetru} \quad v_{b,0} = 22,5 \text{ m/s}$$

$$\text{Kategória terénu I} \quad z_0 = 1 \text{ m}$$

$$Z_{\min} = 10 \text{ m}$$

$$\text{Výška konštrukcie} \quad z = 9 \text{ m}$$

$$\text{Súčinieľ smeru vetru} \quad C_{dir} = 1,0$$

$$\text{Súčinieľ ročného obdobia} \quad C_{season} = 1,0$$

$$\text{Základná rýchlosť vetru} \quad V_b = C_{dir} * C_{season} * v_{b,0} = 1,0 * 1,0 * 22,5 \text{ m/s} = 22,5 \text{ m/s}$$

$$\text{Súčinieľ drsnosti terénu} \quad C_r(z) = K_r * \ln\left(\frac{z}{z_0}\right) = 0,234 * \ln\left(\frac{9}{1}\right) = 0,515$$

$$K_r = 0,19 * \left(\frac{z}{z_{0II}}\right)^{0,07} = 0,19 * \left(\frac{1}{0,05}\right)^{0,07} = 0,234$$

$$\text{Stredná rýchlosť vetru} \quad v_m = C_r(z) * C_0(z) * v_b = 0,515 * 1,0 * 22,5 = 11,585 \text{ m/s}$$

$$\text{Základný dynamický tlak} \quad q_b = 0,5 * \rho * v_m^2 = 0,5 * 1,25 * 11,585^2 = 83,877 \text{ kg/ms}^2$$

$$\text{Súčinieľ expozície} \quad C_e(z) = 1 + 7 * l_v(z) = 1 + 7 * \frac{k_1}{C_0(z) * \ln\frac{z}{z_0}} = 1 + 7 * \frac{1}{1 * \ln\frac{9}{1}} = 4,18$$

$$\text{Maximálny dynamický tlak} \quad q_p(z) = C_e(z) * q_b = 4,18 * 83,877 = 0,351 \text{ kN/m}^2$$

Vietor v smere x

$$c_{fx,0} = \frac{b}{d_{tot}} = \frac{12,275}{9} = 1,363$$

$$q_b = 0,5 * \rho * v_b^2 = 0,5 * 1,25 * 22,5^2 = 0,316$$

$$c_e = \frac{q_p}{q_b} = \frac{0,351}{0,316} = 1,1$$

Statický výpočet
Víťazný variant

Súčineteľ zaťaženia vetrom podľa tabuľky 8.2 z normy 1991-1-4

$$Z_e < 20 \text{ m} \Rightarrow c = 5,94$$

Súčineteľ zaťaženia vetrom $c = c_e * c_{fx,0} = 1,1 * 1,363 = 1,512$

Plocha $A_{ref,x} = 1 \text{ m}^2$

Tlak vetru na konštrukciu $F_w = 0,5 * \rho * v_b^2 * c * A_{ref,x} = 0,5 * 1,25 * 22,5^2 * 5,94 * 1 = 1,88 \text{ kN/m}^2$

Vietor v smere z

Plocha $A_{ref,x} = b * L = 12,275 * 52,5 = 644,4 \text{ m}^2$

$$c_{f,z} = \pm 0,9$$

$$c_z = c_{f,z} + c_e = \pm 0,9 * 1,1 = 0,99$$

Tlak vetru na konštrukciu $F_w = 0,5 * \rho * v_b^2 * c_z * A_{ref,x} = 0,5 * 1,25 * 22,5^2 * 0,99 * 644,4 = 201 \text{ kN}$

Vzhľadom k veľkosti celkovej reakcie od vetru k celkovej reakcie k stálemu zaťaženiu môžem vietor v z-tovom smere zanedbať.

Vietor v smere y

Neuvažujem

2.3 Zaťaženie chodcami

Zaťaženie chodcami na chodníku uvažujem ako rovnomerné zaťaženie o veľkosti $q_{fk} = 5 \text{ kN/m}^2$.

2.4 Automobilová doprava

Zaťaženie automobilovou dopravou je predstavené zaťažovacími modelmi LM1 a LM3. Na most je aplikované ako pohyblivé zaťaženie pomocou modulu RF-MOVE. Pomocou tohto modulu sú vygenerované potrebné zaťažovacie stavy následne použité v kombináciách.

Model LM1

Zo šírkového usporiadania mostu je pre cestnú dopravu určených 4,85 m. To znamená, že plochu je možné rozdeliť na 3 m jazdného pruhu číslo 1 a ostatnej plochy – 1,85 m. Zaťaženie obsahuje dynamickú zložku.

Zaťaženie pre jazdný pruh číslo 1:

$$TS - \alpha_Q Q_k = 1 * 300 = 300 \text{ kN}$$

$$UDL - \alpha_q q_k = 1,0 * 9 = 9 \text{ kN/m}^2$$

Zaťaženie na zvyšnej ploche

$$UDL - \alpha_q q_k = 1,2 * 2,5 = 3 \text{ kN/m}^2$$

Model LM3

Na moste uvažujem taktiež zaťažovací model 3 – špeciálne vozidlo. Pre tento most je uvažované vozidlo určené na prvú, respektívne druhú triedu ciest podľa štátnej prílohy (ČSN EN 1991-2-Tabuľka – NA2.3). Uvažujeme 9 náprav po 200 kN. Dynamický súčinatel' je 1,25 a toto vozidlo sa uvažuje na moste osamotené – všetka ostatná doprava je vylúčená.

Horizontálne sily od automobilovej dopravy

Horizontálne sily od LM1

$$Q_{lk1} = 0,6\alpha_{Q1}(2Q_{lk}) + 0,1 \alpha_{q1}q_{lk}w_lL = 0,6*300 + 0,1*(9*3+1,85*3)*52,5 = 304 \text{ kN}$$

$$180 \alpha_{Q1} < Q_{lk} < 900 \text{ kN}$$

Podľa národnej prílohy je nutné uvažovať aj horizontálne sily od LM3.

$$Q_{lk3} = 0,6Q_{LM3} = 0,6*1800 = 1080 \text{ kN}$$

$$180 \alpha_{Q1} < Q_{lk} < 900 \text{ kN}$$

$$Q_{lk3} = 900 \text{ kN}$$

Priečna sila spôsobená šikmým brzdením Q_{trk} pôsobí v úrovni dokončeného povrchu vozovky a jej veľkosť je určená na základe brzdnej/rozjazdovej sily.

$$Q_{trk} = 0,25Q_{lk} = 0,25*304 = 76 \text{ kN}$$

2.5 Kol'ajová doprava

Zaťažovací model od mestskej kol'ajovej dopravy na moste používam podľa národnej prílohy ČSN EN 1991-2-NB2.1. Model je zložený z ôsmich nápravových sôl o veľkosti 120 kN (obr.2.5). Na moste je uvažovaná sústava s maximálne tromi takýmito modelmi za sebou. V mojom prípade uvažujem 1 až 3 modely za sebou.

Dynamický faktor je určený rovnicami

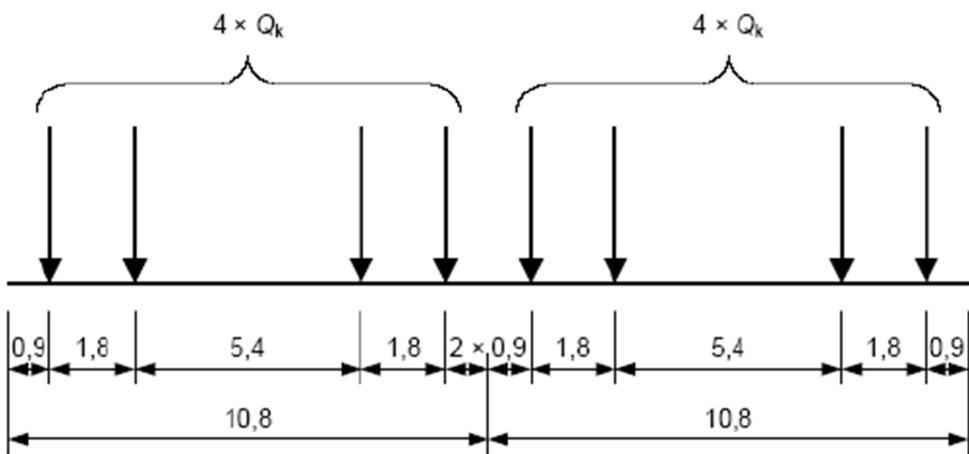
$$\Phi_t = 1 + 0,85 * (\Phi_3 - 1) = 1 + 0,85 * (1,16 - 1) = 1,14 \text{ a to leží medzi } <1,13 \text{ až } 1,68>$$

$$\Phi_3 = \frac{2,16}{\sqrt{L_\Phi} - 0,2} + 0,73 = \frac{2,16}{\sqrt{26,25} - 0,2} + 0,73 = 1,16 \text{ a to leží medzi } <1 \text{ až } 2>$$

$$Q_k = 120 \text{ kN} * 1,14 = 136,8 \text{ kN}$$

Rovnica φ_t je z normy ČSN EN 1991-2 NA2.1 a rovnica pre výpočet φ_3 je rovnica 6.2 z normy ČSN EN 1991-2. L φ je určený podľa tabuľky 6.2 z normy ČSN EN 1991-2 ako polovica rozpäťia mostu.

Statický výpočet
Víťazný variant



Obr. 2.5 – Zaťažovací model električky na moste v mestách ČSN EN 1991-2-NB2.1

Horizontálne sily od električky

Brzdné a rozjazdové sily uvažujem ako 15% z vertikálneho zaťaženia avšak Priečne horizontálne sily neuvažujem – podľa národnej prílohy sa uvažujú iba v prípade, že most sa nachádza v oblúku.

$$Q_{lk1} = 0,15 \cdot n \cdot Q_k = 0,15 \cdot 18 \cdot 136 = 367 \text{ kN}$$

n = počet náprav na moste

2.6 Teplota (ČSN EN 1991-1-5)

- 1) Ocelová nosná konštrukcia
- 2) Ocelobetónová konštrukcia

Rovnomerná zložka teploty (ČSN 1991-1-5 6.1.3)

$$T_{\max} = 38 \text{ } ^\circ\text{C}$$

$$T_{\min} = -30 \text{ } ^\circ\text{C}$$

$$T_0 = 10 \text{ } ^\circ\text{C}$$

$$\text{Typ 1. } T_{e,\max} = T_{\max} + 16 \text{ } ^\circ\text{C} = 38 + 16 = 54 \text{ } ^\circ\text{C}$$

$$T_{e,\min} = T_{\min} - 3 \text{ } ^\circ\text{C} = -30 - 3 = -33 \text{ } ^\circ\text{C}$$

Charakteristická hodnota rovnomernej zmeny teploty pre výpočet

$$\Delta T_{N,con} = T_0 - T_{e,\min} = 10 - (-33) = 43 \text{ } ^\circ\text{C} \text{ (skrátenie)}$$

$$\Delta T_{N,exp} = T_{e,\max} - T_0 = 54 - (10) = 44 \text{ } ^\circ\text{C} \text{ (predĺženie)}$$

Statický výpočet Víťazný variant

Celkový rozsah rovnomernej zložky teploty mostu

$$\Delta T_N = T_{e,\max} - T_{e,\min} = 54 - (-33) = 84 \text{ } ^\circ\text{C}$$

Maximálny rozsah rovnomernej zmeny teploty pre ložiská a dilatačné škáry

$$\Delta T_{N,con,lož} = \Delta T_{N,con} + 20 = 43 + 20 = 63 \text{ } ^\circ\text{C} \text{ (skrátenie)}$$

$$\Delta T_{N,exp,lož} = \Delta T_{N,exp} + 20 = 44 + 20 = 64 \text{ } ^\circ\text{C} \text{ (predĺženie)}$$

Rozdielová zložka teploty (ČSN EN 1991-1-5 6.1.4)

Podľa normy 1991-1-5 6.1.4.2 uvažujem postup 2 podľa obrázku 6.2.b. Zjednodušeným postupom získam rovnomerné ochladenie/oteplenie betónovej dosky ΔT_1 .

$$\Delta T_1 = +10 \text{ } ^\circ\text{C} \text{ (Oteplenie)}$$

$$\Delta T_1 = -10 \text{ } ^\circ\text{C} \text{ (Ochladenie)}$$

Rozdiely v rovnomernej zložke teploty medzi rôznymi nosnými prvkami (ČSN EN 1991-1-5 6.1.5)

Uvažujem konštantný rozdiel teploty medzi oblúkom a trámom.

Oblúk je teplejší než trám o $15 \text{ } ^\circ\text{C}$

Oblúk je chladnejší než trám o $15 \text{ } ^\circ\text{C}$

2.7 Imperfekcie

Vo výpočte uvažujem s počiatočnými imperfekciami horného pásu podľa normy ČSN EN 1993-2 Tabuľka D.9.

$$l_1 = (20*L)^{0,5} = (20*52,5)^{0,5} = 32,403 \text{ m}$$

Vzperná krivka C

$$e_0 = l_1/200 = 0,162 \text{ m} = 162 \text{ mm}$$

Uvažujem teda prehnutie prútu o 162 mm

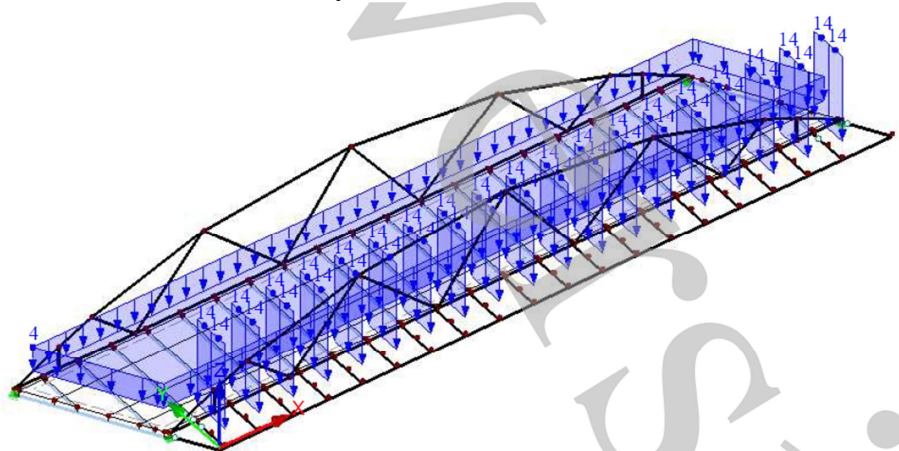
3 Zaťažovacie stavy

3.1 ZS1 – Vlastná tiaž

Vlastná tiaž jednotlivých oceľových nosných prvkov je generovaná programom. S tým je zároveň generovaná aj vlastná tiaž betónovej dosky, ktorá je sprážená s priečnikmi – betónová doska medzi oblúkmi.

3.2 ZS2 – Ostatná vlastná tiaž

Tento zaťažovací stav obsahuje zaťaženie od chodníkovej betónovej dosky. Táto doska je zadaná ako spojité zaťaženie na chodníkové konzoly a teda nezabezpečuje tuhost konštrukcie. Ďalej sa tu nachádza zaťaženie vytvorené konštrukčnými vrstvami vozovky a chodníku, zábradlie, zvodidlá a rímsy.



Obr.3.2 – Ostatná vlastná tiaž

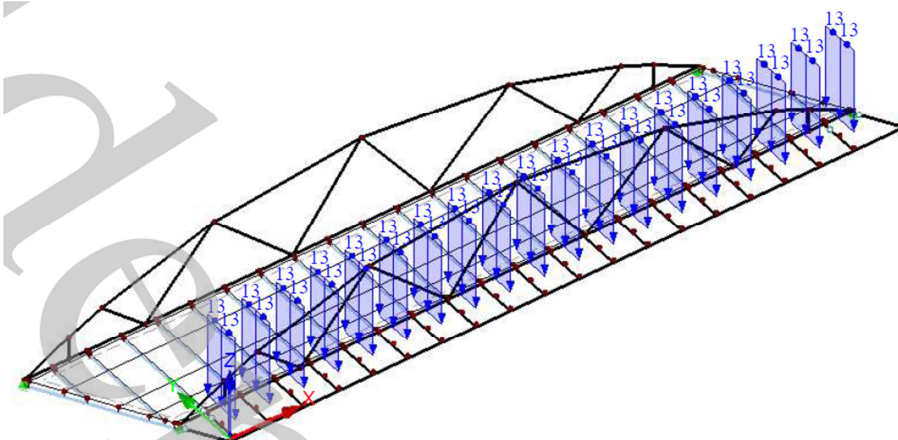
Vozovka	Šírka [m]	Plocha v reze [m ²]	Objemová hmotnosť [kN/m ³]	Zaťaženie na plochu [kN/m ²]
Konštrukčné vrstvy vozovky	0,1		25	2,5
Rímsa		0,058	25	1,45
Zvodidlo				0,05
Celkom				4,00
Chodník	Šírka [m]	Objemová hmotnosť [kN/m ³]	Zaťažovacia šírka [m]	Zaťaženie na plochu [kN/m]
Konštrukčné vrstvy chodníku	0,01	25	2,675	0,67
Zábradlie a vybavenie mostu				2,63
Betónová doska	0,16	25	2,675	10,70
Celkom				14,00

Tab.3.2 – Ostatná vlastná tiaž

3.3 ZS4 – Zaťaženie chodcami na chodník - plný

Uvažujem spojité zaťaženie na chodníkové konzoly o veľkosti 5, vynásobené zaťažovacou šírkou 2,675 m. Toto zaťaženie je umiestnené na chodník po celej dĺžke.

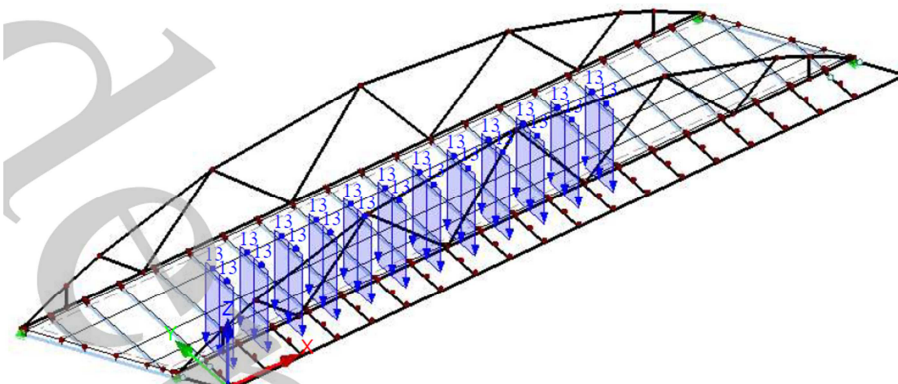
$$q = 5 \text{ kN/m}^2 * 2,675 \text{ m} = 13,375 \text{ kN/m.}$$



Obr.3.3 – Zaťaženie chodcami

3.4 ZS6 – Zaťaženie chodcami na chodník 3/4

Rovnako ako ZS4, ale teraz je dané zaťaženie umiestnené na chodník v troch štvrtinách dĺžky v smere staničenia.



Obr.3.4 – Zaťaženie chodcami

3.5 ZS7 – Zaťaženie chodcami na chodník 1/2

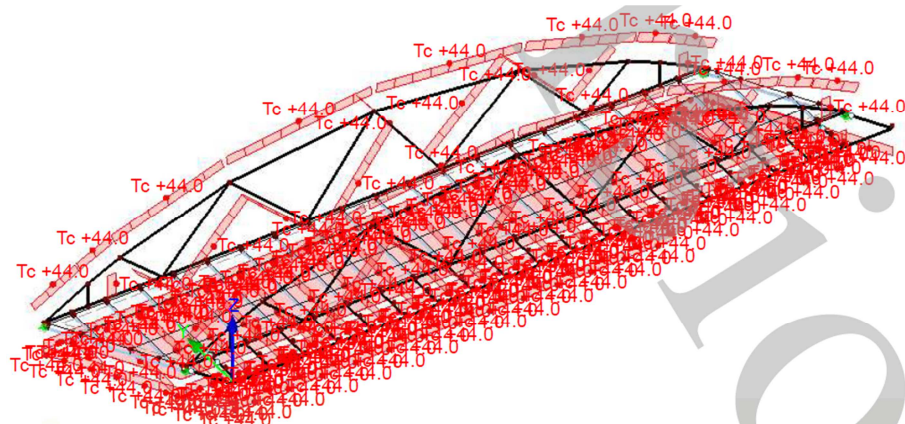
Rovnako ako ZS4, ale teraz je dané zaťaženie umiestnené na chodník na polovicu dĺžky v smere staničenia.

3.6 ZS8 – Zaťaženie chodcami na chodník 1/4

Rovnako ako ZS4 ale teraz je dané zaťaženie umiestnené na chodník v jednej štvrtine dĺžky v smere staničenia.

3.7 ZS9 – Zaťaženie teplotou – Rovnomerná – Predĺženie

Uvažujem s rovnomerným oteplením konštrukcie o 44°C – vid'. 2.6.



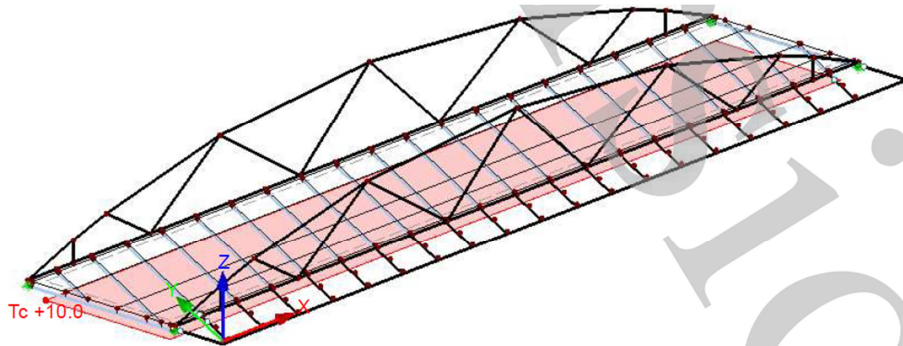
Obr.3.7 – Teplota – Rovnomerné oteplenie

3.8 ZS10 – Zaťaženie teplotou – Rovnomerná – Skrátenie

Uvažujem s rovnomerným oteplením konštrukcie o 43°C – vid'. 2.6.

3.9 ZS11 – Zaťaženie teplotou – Rozdielová zložka teploty +

Uvažujem s rovnomerným oteplením betónovej dosky o 10°C – vid'. 2.6.



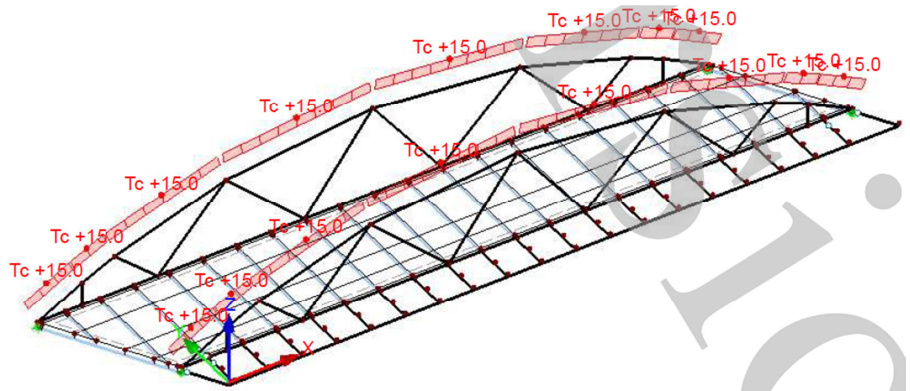
Obr.3.11 – Teplota – Rovnomerné oteplenie dosky

3.10 ZS12 – Zaťaženie teplotou – Rozdielová zložka teploty -

Uvažujem s rovnomerným ochladením betónovej dosky o 10°C – vid'. 2.6.

3.11 ZS13 – Zaťaženie teplotou – Teplotný rozdiel medzi nosnými časťami

Uvažujem s rovnomerným oteplením horného pásu o 15°C – vid'. 2.6.



Obr.3.13 – Teplota – Rovnomerné oteplenie horného pásu

3.12 ZS14 – Zaťaženie teplotou – Teplotný rozdiel medzi nosnými časťami

Uvažujem s rovnomerným ochladením horného pásu o 15°C – viď. 2.6.

3.13 ZS5 – Horizontálne sily – LM3

Uvažujem horizontálnu silu od LM3 v kladnom smere globálnej osi x.

3.14 ZS15 – Horizontálne sily – Električka

Uvažujem horizontálnu silu od električky v kladnom smere globálnej osi x.

3.15 ZS16 – Horizontálne sily – LM1

Uvažujem horizontálnu silu od LM1 v kladnom smere globálnej osi x.

3.16 ZS343 – Horizontálne sily – UDL

Uvažujem horizontálnu silu od UDL v kladnom smere globálnej osi x.

3.17 ZS344 – Horizontálne sily – LM3

Uvažujem horizontálnu silu od LM3 v zápornom smere globálnej osi x.

3.18 ZS343 – Horizontálne sily – UDL

Uvažujem horizontálnu silu od UDL v zápornom smere globálnej osi x.

3.19 ZS346 – Horizontálne sily – Električka

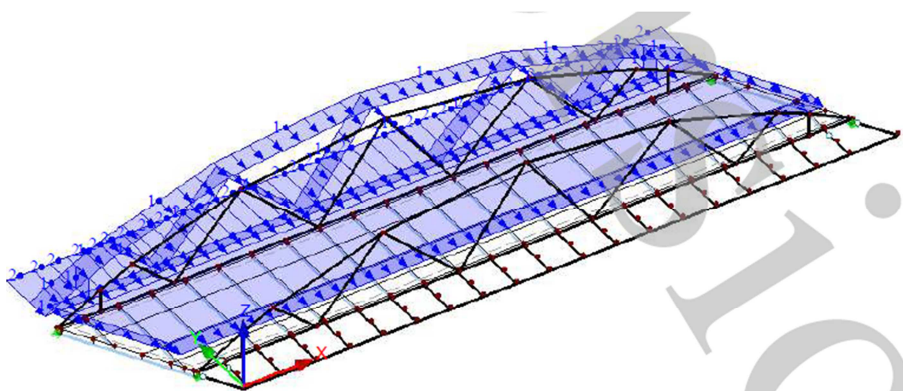
Uvažujem horizontálnu silu od električky v zápornom smere globálnej osi x.

3.20 ZS347 – Horizontálne sily – LM1

Uvažujem horizontálnu silu od LM1 v zápornom smere globálnej osi x.

3.21 ZS17 – Vietor v smere x (os y v RFEMU)

Zaťaženie vetrom na plochu o veľkosti 1,88 kN/m² je rozpočítané na jednotlivé prvky podľa plochy prvku. Zaťaženie pôsobí na oblúk, trám a diagonály. Taktiež uvažujem s tým, že na moste sa nachádza električka. Zaťaženie od vetru pôsobiaceho na električku je aplikované na betónovú dosku a odtiaľ je ďalej prenesené do OK.



Obr.3.16 – Zaťaženie vetrom

Zaťaženie vetrom	Šírka (m)	q (N/m)
Prvok		
Diagonála	0,32	0,602
Horný pás - Pravý	0,45	0,846
Horný pás - Ľavý	0,4	0,752
Trám	1	1,880
Električka - uvažované na dosku	4	7,520

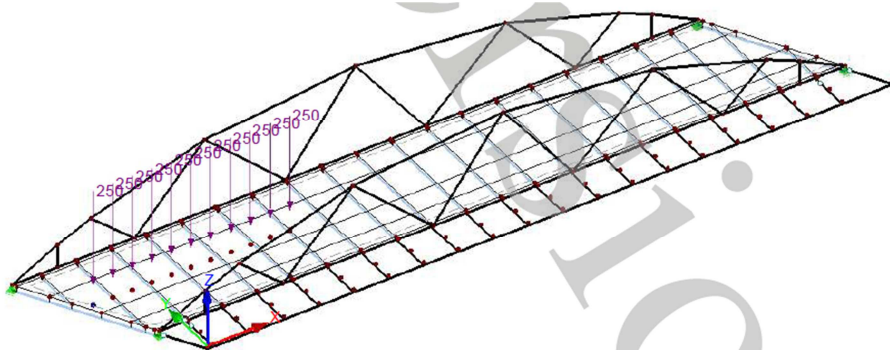
Tab. 3.7 – Zaťaženie vetrom

3.22 ZS18 – Vietor v smere x (os y v RFEMU)

Rovnako ako ZS8, ale zaťaženie je v opačnom smere.

3.23 ZS19-ZS72 – LM3

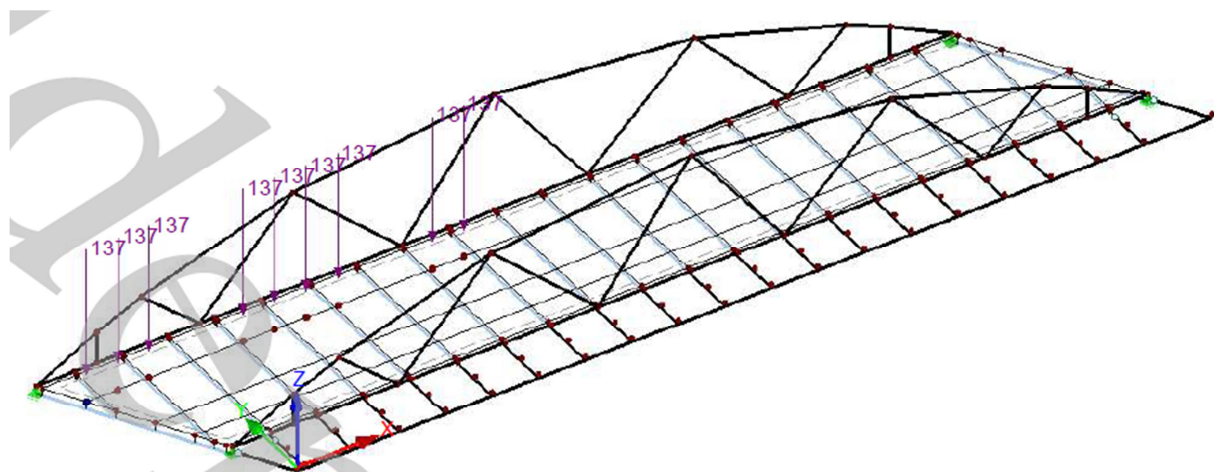
Zaťažovacie stavy sú generované z RFEM-MOVE. Reprezentujú pohyblivé zaťaženie od špeciálneho vozidla. Vozidlo prechádza v osi mostu, pričom je ďalej v kombináciach uvažované osamotene.



Obr.2.3.23 – Zaťaženie automobilovou dopravou – Model LM3

3.24 ZS73 – ZS126 - Električka

Zatáčovacie stavy sú generované z RFEM-MOVE. Reprezentujú pohyblivé zatáčenie od električky. Vozidlo prechádza v osi koľajového pásu mostu.

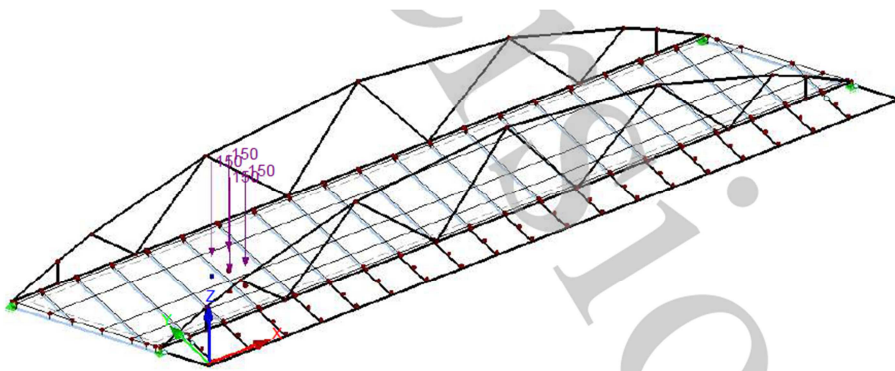


Obr.2.3.24 – Zaťaženie koľajovou dopravou

3.25 ZS127 = ZS180 = LM1 = TS = Stred mostu

Zatážovacie stavy sú generované z RFEM-MOVE. Reprezentujú pohyb dvojnápravy po moste s tým, že dvojnáprava je umiestnená do stredu jazdného pruhu. Jazdný pruh sa uvažuje bližšie k ľavému oblúku – vo vzdialosti $1,85 +1,5$ m od pravého oblúku. Ostatný priestor je umiestnený pri pravom oblúku.

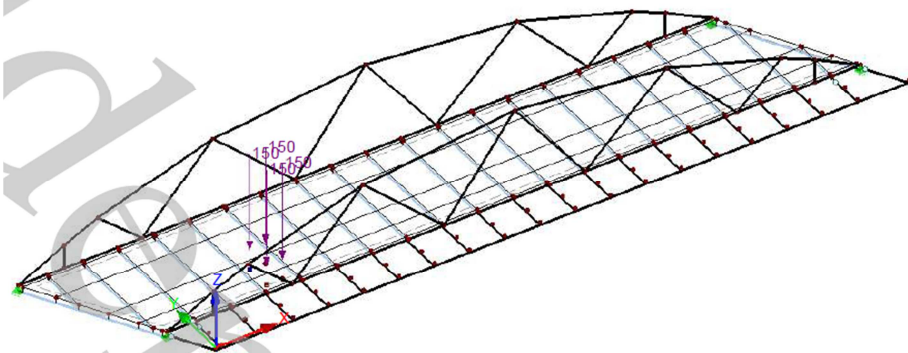
Statický výpočet
Víťazný variant



Obr.2.3.25 – Zaťaženie automobilovou dopravou – LM1 – TS

3.26 ZS181 – ZS234 – LM1 – TS – Kraj mostu

Zaťažovacie stavy sú generované z RFEM-MOVE. Reprezentujú pohyb dvojnápravy po moste s tým, že dvojnáprava je umiestnená do stredu jazdného pruhu. Jazdný pruh sa uvažuje bližšie k pravému oblúku – vo vzdialosti 1,5 m. Ostatný priestor je umiestnený smerom do stredu mostu.

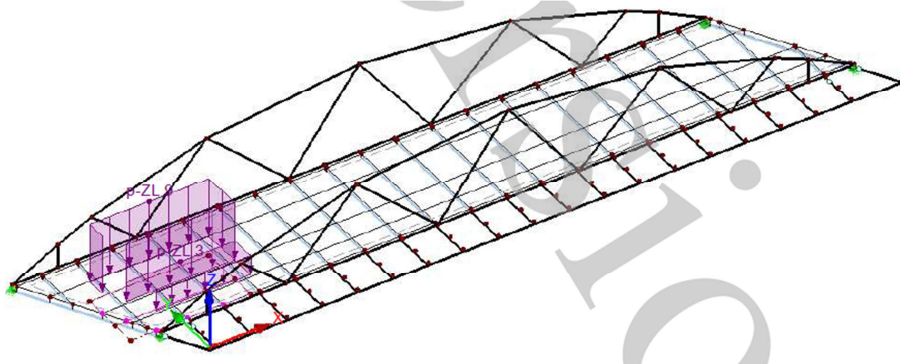


Obr.2.3.26 – Zaťaženie automobilovou dopravou – LM1 – TS

3.27 ZS235 – ZS288 – LM1 – UDL – Stred mostu

Zaťažovacie stavy sú generované z RFEM-MOVE. Reprezentujú pohyb rovnomerného zaťaženia z LM1. UDL sa môže nachádzať na celom moste alebo napríklad len pred/za dvojnápravou. Preto je modelované ako súvislý pás „prichádzajúci“ na most. V tomto ZS uvažujem, že jazdný pruh a teda zaťaženie 9 kN/m^2 sa nachádza bližšie k osi mostu. Ostatná časť so zaťažením 3kN/m^2 sa nachádza bližšie k pravému oblúku. Uvažujem s ním samostatne oproti tandem systému pretože ich kombinačný súčiníteľ sa lísi.

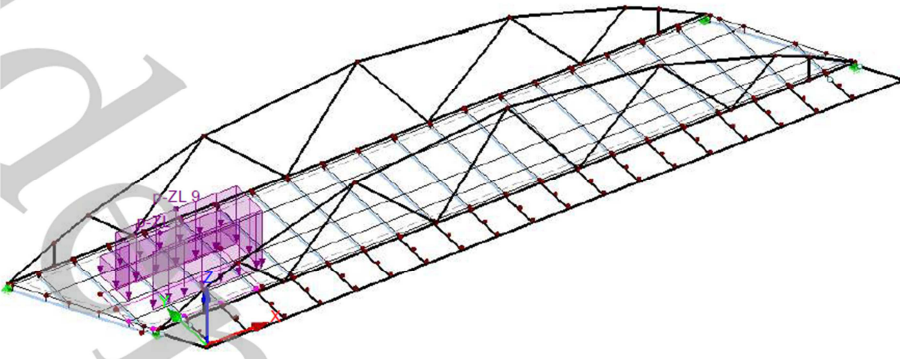
Statický výpočet
Víťazný variant



Obr.2.3.27 – Zaťaženie automobilovou dopravou – LM1 – UDL

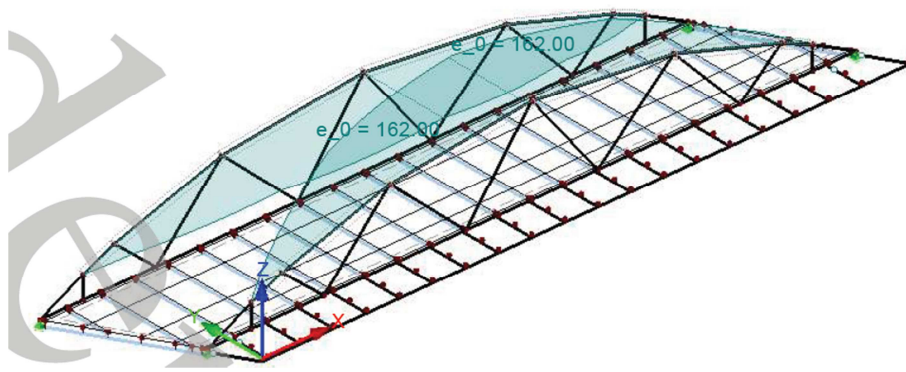
3.28 ZS289 – ZS342 – LM1 – UDL – Kraj mostu

Zaťažovacie stavy sú generované z RFEM-MOVE. Reprezentujú pohyb rovnomenného zaťaženia z LM1. UDL sa môže nachádzať na celom moste alebo napríklad len pred/za dvojnápravou. Preto je modelované ako súvislý pás „prichádzajúci“ na most. V tomto ZS uvažujem, že jazdný pruh a teda zaťaženie 9 kN/m^2 sa nachádza bližšie k pravému oblúku mostu. Ostatná časť so zaťažením 3kN/m^2 sa nachádza bližšie k osi mostu. Uvažujem s ním osamotene, pretože jeho kombináčny súčinitel' je rôzny oproti tandem systému.



Obr. 3.28 – Zaťaženie automobilovou dopravou – LM1 – UDL

3.29 ZS348 – Imperfekcie



Obr. 3.29 – Imperfekcie

Jeden zo zaťažovacích stavov sú počiatočné imperfekcie na hornom páse. Tieto imperfekcie majú najväčší vplyv na vnútorné sily respektíve moment v hornom páse. Pre získanie čo najpresnejšieho výsledku som si našiel kombináciu zaťaženia pri ktorom je horný pás najviac namáhaný a tuto kombináciu som vypočítal nelineárnym výpočtom. Následne posúdenie sa nachádza v kapitole 12.

4 Kombinácie zaťaženia

4.1 Popis

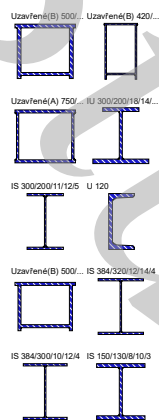
Kombinácie rôznych zaťažovacích stavov boli zostavené na základe normy ČSN EN 1990 ed.2. Keďže národná príloha zaradzuje električku do koľajovej dopravy, tak je most klasifikovaný ako kombinovaný. Kombinačné súčinitele pre kombinované mosty však nie sú normou dané. Kombinácie sú vytvorené ručne v RFEMu ako kombinácie zaťaženia. Kombinačné koeficienty boli dodržané pre koľajovú dopravu ako pre železničné mosty (Tab. A2.3) a pre cestnú dopravu ako pre cestné mosty (Tab. A2.1). V prípade nesúladu som počítal s konzervatívnym koeficientom. Kombinácie boli vytvorené na základe rovníc 6.10a a 6.10b.

■ 4.2 KOMBINÁCIE VÝSLEDKOV

Result Combin	Označenie	Zaťažovanie
KV1	Vlastná tiaž - ULS	ZS1/s + ZS2/s
KV2	Chodník	ZS4 alebo ZS6 alebo ZS7 alebo ZS8
KV3	Teplota	ZS9 alebo ZS10 alebo ZS11 alebo ZS12
KV4	RF-MOVE-LM3	ZS19 alebo ZS20 alebo ZS21 alebo ZS22 alebo ZS23 alebo ZS24 alebo ZS25 alebo ZS26 alebo ZS27 alebo ZS28 alebo ZS29 alebo ZS30 alebo ZS31 alebo ZS32 alebo ZS33 alebo ZS34 alebo ZS35 alebo ZS36 alebo ZS37 alebo ZS38 alebo ZS39 alebo ZS40 alebo ZS41 alebo ZS42 alebo ZS43 alebo ZS44 alebo ZS45 alebo ZS46 alebo ZS47 alebo ZS48 alebo ZS49 alebo ZS50 alebo ZS51 alebo ZS52 alebo ZS53 alebo ZS54 alebo ZS55 alebo ZS56 alebo ZS57 alebo ZS58 alebo ZS59 alebo ZS60 alebo ZS61 alebo ZS62 alebo ZS63 alebo ZS64 alebo ZS65 alebo ZS66 alebo ZS67 alebo ZS68 alebo ZS69 alebo ZS70 alebo ZS71 alebo ZS72
KV5	RF-MOVE- Električka	ZS73 alebo ZS74 alebo ZS75 alebo ZS76 alebo ZS77 alebo ZS78 alebo ZS79 alebo ZS80 alebo ZS81 alebo ZS82 alebo ZS83 alebo ZS84 alebo ZS85 alebo ZS86 alebo ZS87 alebo ZS88 alebo ZS89 alebo ZS90 alebo ZS91 alebo ZS92 alebo ZS93 alebo ZS94 alebo ZS95 alebo ZS96 alebo ZS97 alebo ZS98 alebo ZS99 alebo ZS100 alebo ZS101 alebo ZS102 alebo ZS103 alebo ZS104 alebo ZS105 alebo ZS106 alebo ZS107 alebo ZS108 alebo ZS109 alebo ZS110 alebo ZS111 alebo ZS112 alebo ZS113 alebo ZS114 alebo ZS115 alebo ZS116 alebo ZS117 alebo ZS118 alebo ZS119 alebo ZS120 alebo ZS121 alebo ZS122 alebo ZS123 alebo ZS124 alebo ZS125 alebo ZS126
KV6	RF-MOVE- LM1 - Stred - TS	ZS127 alebo ZS128 alebo ZS129 alebo ZS130 alebo ZS131 alebo ZS132 alebo ZS133 alebo ZS134 alebo ZS135 alebo ZS136 alebo ZS137 alebo ZS138 alebo ZS139 alebo ZS140 alebo ZS141 alebo ZS142 alebo ZS143 alebo ZS144 alebo ZS145 alebo ZS146 alebo ZS147 alebo ZS148 alebo ZS149 alebo ZS150 alebo ZS151 alebo ZS152 alebo ZS153 alebo ZS154 alebo ZS155 alebo ZS156 alebo ZS157 alebo ZS158 alebo ZS159 alebo ZS160 alebo ZS161 alebo ZS162 alebo ZS163 alebo ZS164 alebo ZS165 alebo ZS166 alebo ZS167 alebo ZS168 alebo ZS169 alebo ZS170 alebo ZS171 alebo ZS172 alebo ZS173 alebo ZS174 alebo ZS175 alebo ZS176 alebo ZS177 alebo ZS178 alebo ZS179 alebo ZS180
KV7	RF-MOVE- LM1 - Kraj - TS	ZS181 alebo ZS182 alebo ZS183 alebo ZS184 alebo ZS185 alebo ZS186 alebo ZS187 alebo ZS188 alebo ZS189 alebo ZS190 alebo ZS191 alebo ZS192 alebo ZS193 alebo ZS194 alebo ZS195 alebo ZS196 alebo ZS197 alebo ZS198 alebo ZS199 alebo ZS200 alebo ZS201 alebo ZS202 alebo ZS203 alebo ZS204 alebo ZS205 alebo ZS206 alebo ZS207 alebo ZS208 alebo ZS209 alebo ZS210 alebo ZS211 alebo ZS212 alebo ZS213 alebo ZS214 alebo ZS215 alebo ZS216 alebo ZS217 alebo ZS218 alebo ZS219 alebo ZS220 alebo ZS221 alebo ZS222 alebo ZS223 alebo ZS224 alebo ZS225 alebo ZS226 alebo ZS227 alebo ZS228 alebo ZS229 alebo ZS230 alebo ZS231 alebo ZS232 alebo ZS233 alebo ZS234
KV8	RF-MOVE- LM1 - Stred - UDL	ZS235 alebo ZS236 alebo ZS237 alebo ZS238 alebo ZS239 alebo ZS240 alebo ZS241 alebo ZS242 alebo ZS243 alebo ZS244 alebo ZS245 alebo ZS246 alebo ZS247 alebo ZS248 alebo ZS249 alebo ZS250 alebo ZS251 alebo ZS252 alebo ZS253 alebo ZS254 alebo ZS255 alebo ZS256 alebo ZS257 alebo ZS258 alebo ZS259 alebo ZS260 alebo ZS261 alebo ZS262 alebo ZS263 alebo ZS264 alebo ZS265 alebo ZS266 alebo ZS267 alebo ZS268 alebo ZS269 alebo ZS270 alebo ZS271 alebo ZS272 alebo ZS273 alebo ZS274 alebo ZS275 alebo ZS276 alebo ZS277 alebo ZS278 alebo ZS279 alebo ZS280 alebo ZS281 alebo ZS282 alebo ZS283 alebo ZS284 alebo ZS285 alebo ZS286 alebo ZS287 alebo ZS288
KV9	RF-MOVE- LM1 - Kraj - UDL	ZS289 alebo ZS290 alebo ZS291 alebo ZS292 alebo ZS293 alebo ZS294 alebo ZS295 alebo ZS296 alebo ZS297 alebo ZS298 alebo ZS299 alebo ZS300 alebo ZS301 alebo ZS302 alebo ZS303 alebo ZS304 alebo ZS305 alebo ZS306 alebo ZS307 alebo ZS308 alebo ZS309 alebo ZS310 alebo ZS311 alebo ZS312 alebo ZS313 alebo ZS314 alebo ZS315 alebo ZS316 alebo ZS317 alebo ZS318 alebo ZS319 alebo ZS320 alebo ZS321 alebo ZS322 alebo ZS323 alebo ZS324 alebo ZS325 alebo ZS326 alebo ZS327 alebo ZS328 alebo ZS329 alebo ZS330 alebo ZS331 alebo ZS332 alebo ZS333 alebo ZS334 alebo ZS335 alebo ZS336 alebo ZS337 alebo ZS338 alebo ZS339 alebo ZS340 alebo ZS341 alebo ZS342
KV10	Vietor	ZS17 alebo ZS18
KV20		$1.35^*ZS1/s + 1.35^*ZS2/s + 0.9^*ZS9 alebo 0.9^*ZS10 alebo 0.9^*ZS11 alebo 0.9^*ZS12 + 1.16^*KV5 + 1.01^*KV6 alebo 1.01^*KV7 + 0.54^*KV8 alebo 0.54^*KV9$
KV21		$1.35^*ZS1/s + 1.35^*ZS2/s + 0.54^*ZS4 alebo 0.54^*ZS6 alebo 0.54^*ZS7 alebo 0.54^*ZS8 + 0.9^*ZS9 alebo 0.9^*ZS10 alebo 0.9^*ZS11 alebo 0.9^*ZS12 + 1.16^*KV5 + 1.01^*KV6 alebo 1.01^*KV7 + 0.54^*KV8 alebo 0.54^*KV9$
KV22		$1.35^*ZS1/s + 1.35^*ZS2/s + 0.9^*ZS9 alebo 0.9^*ZS10 alebo 0.9^*ZS11 alebo 0.9^*ZS12$
KV23		$1.35^*ZS1/s + 1.35^*ZS2/s + 0.54^*ZS4 alebo 0.54^*ZS6 alebo 0.54^*ZS7 alebo 0.54^*ZS8 + 0.9^*ZS9 alebo 0.9^*ZS10 alebo 0.9^*ZS11 alebo 0.9^*ZS12$
KV24		$1.35^*ZS1/s + 1.35^*ZS2/s + 0.54^*ZS4 alebo 0.54^*ZS6 alebo 0.54^*ZS7 alebo 0.54^*ZS8$
KV25		$1.35^*ZS1/s + 1.35^*ZS2/s + 0.9^*ZS9 alebo 0.9^*ZS10 alebo 0.9^*ZS11 alebo 0.9^*ZS12 + 1.13^*ZS17 alebo 1.13^*ZS18 + 1.16^*KV5 + 1.01^*KV6 alebo 1.01^*KV7 + 0.54^*KV8 alebo 0.54^*KV9$
KV26		$1.35^*ZS1/s + 1.35^*ZS2/s + 0.54^*ZS4 alebo 0.54^*ZS6 alebo 0.54^*ZS7 alebo 0.54^*ZS8 + 0.9^*ZS9 alebo 0.9^*ZS10 alebo 0.9^*ZS11 alebo 0.9^*ZS12 + 1.13^*ZS17 alebo 1.13^*ZS18 + 1.16^*KV5 + 1.01^*KV6 alebo 1.01^*KV7 + 0.54^*KV8 alebo 0.54^*KV9$
KV27		$1.35^*ZS1/s + 1.35^*ZS2/s + 0.54^*ZS4 alebo 0.54^*ZS6 alebo 0.54^*ZS7 alebo 0.54^*ZS8 + 1.13^*ZS17 alebo 1.13^*ZS18$
KV28		$1.35^*ZS1/s + 1.35^*ZS2/s + 0.9^*ZS9 alebo 0.9^*ZS10 alebo 0.9^*ZS11 alebo 0.9^*ZS12 + 1.13^*ZS17 alebo 1.13^*ZS18$
KV29		$1.35^*ZS1/s + 1.35^*ZS2/s + 1.13^*ZS17 alebo 1.13^*ZS18$
KV30		$1.15^*ZS1/s + 1.15^*ZS2/s + 0.54^*ZS4 alebo 0.54^*ZS6 alebo 0.54^*ZS7 alebo 0.54^*ZS8 + 1.5^*ZS9 alebo 1.5^*ZS10 alebo 1.5^*ZS11 alebo 1.5^*ZS12 + 1.16^*KV5 + 1.01^*KV6 alebo 1.01^*KV7 + 0.54^*KV8 alebo 0.54^*KV9$
KV31		$1.15^*ZS1/s + 1.15^*ZS2/s + 0.54^*ZS4 alebo 0.54^*ZS6 alebo 0.54^*ZS7 alebo 0.54^*ZS8 + 0.9^*ZS9 alebo 0.9^*ZS10 alebo 0.9^*ZS11 alebo 0.9^*ZS12 + 1.16^*KV5 + 1.35^*KV6 alebo 1.35^*KV7 + 1.35^*KV8 alebo 1.35^*KV9$
KV32		$1.15^*ZS1/s + 1.15^*ZS2/s + 1.35^*ZS4 alebo 1.35^*ZS6 alebo 1.35^*ZS7 alebo 1.35^*ZS8 + 0.9^*ZS9 alebo 0.9^*ZS10 alebo 0.9^*ZS11 alebo 0.9^*ZS12 + 1.16^*KV5 + 1.01^*KV6 alebo 1.01^*KV7 + 0.54^*KV8 alebo 0.54^*KV9$
KV33		$ZS1/s + ZS2/s + 1.5^*ZS17 alebo 1.5^*ZS18$
KV34		$ZS1/s + ZS2/s + 1.35^*ZS4 alebo 1.35^*ZS6 alebo 1.35^*ZS7 alebo 1.35^*ZS8 + 0.9^*ZS9 alebo 0.9^*ZS10 alebo 0.9^*ZS11 alebo 0.9^*ZS12 + 1.13^*ZS17 alebo 1.13^*ZS18$
KV35		$ZS1/s + ZS2/s + 0.54^*ZS4 alebo 0.54^*ZS6 alebo 0.54^*ZS7 alebo 0.54^*ZS8 + 1.5^*ZS9 alebo 1.5^*ZS10 alebo 1.5^*ZS11 alebo 1.5^*ZS12 + 1.13^*ZS17 alebo 1.13^*ZS18$
KV36		$1.15^*ZS1/s + 1.15^*ZS2/s + 1.35^*KV4$
KV37		$1.15^*ZS1/s + 1.15^*ZS2/s + 0.9^*ZS9 alebo 0.9^*ZS10 alebo 0.9^*ZS11 alebo 0.9^*ZS12 + 1.13^*ZS17 alebo 1.13^*ZS18 + 1.35^*KV4$

■ 4.2 KOMBINÁCIE VÝSLEDKOV

Result Combin	Označenie	Zaťažovanie
KV38		$1.15 \cdot ZS1/s + 1.15 \cdot ZS2/s + 0.54 \cdot ZS4$ alebo $0.54 \cdot ZS6$ alebo $0.54 \cdot ZS7$ alebo $0.54 \cdot ZS8$ + $0.9 \cdot ZS9$ alebo $0.9 \cdot ZS10$ alebo $0.9 \cdot ZS11$ alebo $0.9 \cdot ZS12 + 1.13 \cdot ZS17$ alebo $1.13 \cdot ZS18 + 1.35 \cdot KV4$
KV39		$1.15 \cdot ZS1/s + 1.15 \cdot ZS2/s + 0.54 \cdot ZS4$ alebo $0.54 \cdot ZS6$ alebo $0.54 \cdot ZS7$ alebo $0.54 \cdot ZS8$ + $1.5 \cdot ZS9$ alebo $1.5 \cdot ZS10$ alebo $1.5 \cdot ZS11$ alebo $1.5 \cdot ZS12 + 1.13 \cdot ZS17$ alebo $1.13 \cdot ZS18 + 1.16 \cdot KV5 + 1.01 \cdot KV6$ alebo $1.01 \cdot KV7 + 0.54 \cdot KV8$ alebo $0.54 \cdot KV9$
KV40		$1.15 \cdot ZS1/s + 1.15 \cdot ZS2/s + 0.54 \cdot ZS4$ alebo $0.54 \cdot ZS6$ alebo $0.54 \cdot ZS7$ alebo $0.54 \cdot ZS8$ + $0.9 \cdot ZS9$ alebo $0.9 \cdot ZS10$ alebo $0.9 \cdot ZS11$ alebo $0.9 \cdot ZS12 + 1.13 \cdot ZS17$ alebo $1.13 \cdot ZS18 + 1.16 \cdot KV5 + 1.35 \cdot KV6$ alebo $1.35 \cdot KV7 + 1.35 \cdot KV8$ alebo $1.35 \cdot KV9$
KV41		$1.15 \cdot ZS1/s + 1.15 \cdot ZS2/s + 1.35 \cdot ZS4$ alebo $1.35 \cdot ZS6$ alebo $1.35 \cdot ZS7$ alebo $1.35 \cdot ZS8$ + $0.9 \cdot ZS9$ alebo $0.9 \cdot ZS10$ alebo $0.9 \cdot ZS11$ alebo $0.9 \cdot ZS12 + 1.13 \cdot ZS17$ alebo $1.13 \cdot ZS18 + 1.16 \cdot KV5 + 1.01 \cdot KV6$ alebo $1.01 \cdot KV7 + 0.54 \cdot KV8$ alebo $0.54 \cdot KV9$
KV42		$1.15 \cdot ZS1/s + 1.15 \cdot ZS2/s + 0.54 \cdot ZS4$ alebo $0.54 \cdot ZS6$ alebo $0.54 \cdot ZS7$ alebo $0.54 \cdot ZS8$ + $0.9 \cdot ZS9$ alebo $0.9 \cdot ZS10$ alebo $0.9 \cdot ZS11$ alebo $0.9 \cdot ZS12 + 1.5 \cdot ZS17$ alebo $1.5 \cdot ZS18 + 1.16 \cdot KV5 + 1.01 \cdot KV6$ alebo $1.01 \cdot KV7 + 0.54 \cdot KV8$ alebo $0.54 \cdot KV9$
KV43		$1.15 \cdot ZS1/s + 1.15 \cdot ZS2/s + 0.54 \cdot ZS4$ alebo $0.54 \cdot ZS6$ alebo $0.54 \cdot ZS7$ alebo $0.54 \cdot ZS8$ + $0.9 \cdot ZS9$ alebo $0.9 \cdot ZS10$ alebo $0.9 \cdot ZS11$ alebo $0.9 \cdot ZS12 + 1.13 \cdot ZS17$ alebo $1.13 \cdot ZS18 + 1.45 \cdot KV5 + 1.01 \cdot KV6$ alebo $1.01 \cdot KV7 + 0.54 \cdot KV8$ alebo $0.54 \cdot KV9$
KV44		$ZS1/s + ZS2/s + 0.54 \cdot ZS4$ alebo $0.54 \cdot ZS6$ alebo $0.54 \cdot ZS7$ alebo $0.54 \cdot ZS8 + 0.9 \cdot ZS9$ alebo $0.9 \cdot ZS10$ alebo $0.9 \cdot ZS11$ alebo $0.9 \cdot ZS12 + 1.5 \cdot ZS17$ alebo $1.5 \cdot ZS18$
KV45	Ložiská - LM1 + Električka	$1.15 \cdot ZS1/s + 1.15 \cdot ZS2/s + 0.54 \cdot ZS4$ alebo $0.54 \cdot ZS6$ alebo $0.54 \cdot ZS7$ alebo $0.54 \cdot ZS8$ + $0.9 \cdot ZS9$ alebo $0.9 \cdot ZS10$ alebo $0.9 \cdot ZS11$ alebo $0.9 \cdot ZS12 + 1.16 \cdot ZS15$ alebo $1.16 \cdot ZS46 + 1.35 \cdot ZS16$ alebo $1.35 \cdot ZS347 + 1.13 \cdot ZS17$ alebo $1.13 \cdot ZS18 + 1.35 \cdot ZS343$ alebo $1.35 \cdot ZS345 + 1.16 \cdot KV5 + 1.35 \cdot KV6$ alebo $1.35 \cdot KV7 + 1.35 \cdot KV8$ alebo $1.35 \cdot KV9$
KV46	Ložiská - LM3	$1.15 \cdot ZS1/s + 1.15 \cdot ZS2/s + 1.35 \cdot ZS5$ alebo $1.35 \cdot ZS344 + 0.9 \cdot ZS9$ alebo $0.9 \cdot ZS10$ alebo $0.9 \cdot ZS11$ alebo $0.9 \cdot ZS12 + 1.13 \cdot ZS17$ alebo $1.13 \cdot ZS18 + 1.35 \cdot KV4$
KV47	MSP - maximálny priehyb - cestný most	$ZS1/s + ZS2/s + 0.4 \cdot ZS4$ alebo $0.4 \cdot ZS6$ alebo $0.4 \cdot ZS7$ alebo $0.4 \cdot ZS8 + 0.6 \cdot ZS9$ alebo $0.6 \cdot ZS10$ alebo $0.6 \cdot ZS11$ alebo $0.6 \cdot ZS12 + 0.75 \cdot ZS17$ alebo $0.75 \cdot ZS18 + 0.8 \cdot KV5 + KV6$ alebo $KV7 + KV8$ alebo $KV9$
KV48	MSP - maximálny priehyb - priečnik - bez betón	$ZS2/s + 0.4 \cdot ZS4$ alebo $0.4 \cdot ZS6$ alebo $0.4 \cdot ZS7$ alebo $0.4 \cdot ZS8 + 0.6 \cdot ZS9$ alebo $0.6 \cdot ZS10$ alebo $0.6 \cdot ZS11$ alebo $0.6 \cdot ZS12 + 0.75 \cdot ZS17$ alebo $0.75 \cdot ZS18 + 0.8 \cdot KV5 + KV6$ alebo $KV7 + KV8$ alebo $KV9$
KV49	MSP - maximálny priehyb - kombinovaný most	$ZS2/s + 0.4 \cdot ZS4$ alebo $0.4 \cdot ZS6$ alebo $0.4 \cdot ZS7$ alebo $0.4 \cdot ZS8 + 0.6 \cdot ZS9$ alebo $0.6 \cdot ZS10$ alebo $0.6 \cdot ZS11$ alebo $0.6 \cdot ZS12 + 0.75 \cdot ZS17$ alebo $0.75 \cdot ZS18 + 0.8 \cdot KV5 + 0.5 \cdot KV6$ alebo $0.5 \cdot KV7 + 0.5 \cdot KV8$ alebo $0.5 \cdot KV9$
KV50	MSP - maximálny priehyb - kombinovaný most	$ZS1/s + ZS2/s + 0.4 \cdot ZS4$ alebo $0.4 \cdot ZS6$ alebo $0.4 \cdot ZS7$ alebo $0.4 \cdot ZS8 + 0.6 \cdot ZS9$ alebo $0.6 \cdot ZS10$ alebo $0.6 \cdot ZS11$ alebo $0.6 \cdot ZS12 + 0.75 \cdot ZS17$ alebo $0.75 \cdot ZS18 + KV5 + 0.38 \cdot KV6$ alebo $0.38 \cdot KV7 + 0.2 \cdot KV8$ alebo $0.2 \cdot KV9$

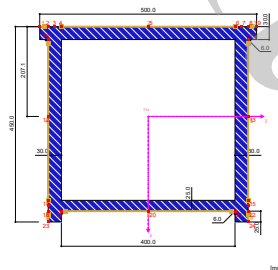


■ 5. PRIEREZY

Prierez č.	Mater. č.	I_T [cm ⁴] A [cm ²]	I_y [cm ⁴] A_y [cm ²]	I_z [cm ⁴] A_z [cm ²]	Hlavné osy α [°]	Pootočenie prú α' [°]	Celkové rozmery [mm] Šírka b	Výška h
1	Uzavřené(B) 500/30/30/450/400/25/25/6/6 1	202793.77 502.00	137479.03 208.54	161259.33 202.87	0.00	0.00	500.0	450.0
2	Oblouk Uzavřené(B) 420/18/18/700/360/18/50/7/7 1	203841.94 385.92	237607.28 102.42	105880.09 212.21	0.00	0.00	420.0	700.0
3	Dolní pas Uzavřené(A) 750/35/35/650/650/750/35/10/10 1	959453.88 931.00	610771.56 417.42	722771.58 353.74	0.00	0.00	750.0	650.0
4	IU 300/200/18/14/300/24/5/6 1	193.47 144.12	21353.33 81.75	6605.90 35.89	0.00	0.00	300.0	300.0
5	IS 300/200/11/12/5 1	34.95 78.36	11886.29 40.17	1603.06 29.19	0.00	0.00	200.0	300.0
6	U 120 Ferona - DIN 1026-1 1	4.15 17.00	364.00 5.12	43.20 6.95	0.00	0.00	55.0	120.0
7	Uzavřené(B) 500/26/24/400/400/26/25/5/5 1	142841.84 413.52	93478.15 197.51	121719.64 141.65	0.00	0.00	500.0	400.0
8	IS 384/320/12/14/4 1	78.24 132.32	35192.04 74.78	7650.99 40.34	0.00	0.00	320.0	384.0
9	IS 384/300/10/12/4 1	46.09 108.00	28805.76 60.08	5403.00 34.10	0.00	0.00	300.0	384.0
10	IS 150/130/8/10/3 1	10.64 36.40	1422.63 21.75	366.72 10.14	0.00	0.00	130.0	150.0

■ HORNÝ PÁS - PRAVÝ

Uzavřené(B) 500/30/30/450/400/25/25/6/6



■ PRIEREZOVÉ CHARAKTERISTIKY

Prierezová charakteristika	Symbol	Hodnota	Jednotka
Upper flange width	b_o	500.0	mm
Upper flange thickness	t_o	30.0	mm
Web thickness	s	30.0	mm
Depth	h	450.0	mm
Lower flange width	b_u	400.0	mm
Lower flange thickness	t_u	25.0	mm
Lower overlap	u	25.0	mm
Upper fillet weld thickness	a_o	6.0	mm
Lower fillet weld thickness	a_u	6.0	mm
Plocha prierezu	A	502.00	cm ²
Šmyková plocha	A_y	208.54	cm ²
Šmyková plocha	A_z	202.87	cm ²
Účinná šmyková plocha podľa EN 3	$A_{v,y}$	250.00	cm ²
Účinná šmyková plocha podľa EN 3	$A_{v,z}$	252.00	cm ²
Plocha jadra	A_{jadra}	1709.25	cm ²
Vzdialenosť ťažiska	e_z	207.1	mm
Moment zotváčnosti (plošný moment 2. stupňa)	I_y	137479.00	cm ⁴
Moment zotváčnosti (plošný moment 2. stupňa)	I_z	161259.00	cm ⁴
Polárny moment zotváčnosti	I_p	298738.00	cm ⁴
Polárny moment zotváčnosti	$I_{p,M}$	299894.00	cm ⁴
Polomer zotváčnosti	i_y	165.5	mm
Polomer zotváčnosti	i_z	179.2	mm
Hlavný polomer zotváčnosti	i_u	165.5	mm
Hlavný polomer zotváčnosti	i_v	179.2	mm
Polárny polomer zotváčnosti	i_p	243.9	mm
Polárny polomer zotváčnosti	$i_{p,M}$	244.4	mm
Hmotnosť prierezu	G	394.1	kg/m
Plocha pláštia	$A_{plášť}$	1.950	m ² /m
Moment tuhosti v kútení	I_t	202794.00	cm ⁴
St. Venantov moment tuhosti v krútení	$I_{t,StVén}$	1424.28	cm ⁴
Bredtov moment tuhosti v krútení	$I_{t,Bredt}$	201369.00	cm ⁴
Vzdialenosť stredu šmyku k ťažisku	Z_M	-15.4	mm
Výsekový moment zotváčnosti vztiahnutý k M	I_{ω}	367543.00	cm ⁶

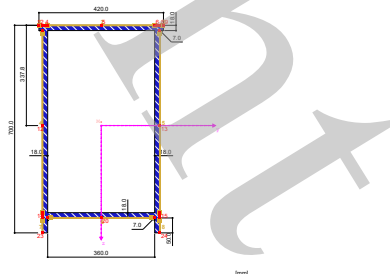
■ PRIEREZOVÉ CHARAKTERISTIKY

Uzavřené(B) 500/30/30/450/400/25/25/6/6

Prierezová charakteristika	Symbol	Hodnota	Jednotka
Výsekový polomer zotrvačnosti	$i_{o,M}$	11.1	mm
Súčinatel tlmenia	λ	0.046132	1/mm
Prierezový modul	$W_{y,max}$	5660.64	cm ³
Prierezový modul	$W_{y,min}$	-6637.28	cm ³
Prierezový modul	W_z	-6450.37	cm ³
Výsekový prierezový modul	W_{ω}	3265.56	cm ⁴
Statický moment	$S_{y,max}$	1911.62	cm ³
Statický moment	$S_{z,max}$	2202.36	cm ³
Výseková súradnica	Θ_{max}	112.55	cm ²
Výseková plocha (plošný moment 1. stupňa výseku)	$S_{\omega,max}$	1473.17	cm ⁴
Stabilitný parameter podľa Kindema	$\Gamma_{y,Kindem}$	16.8	mm
Stabilitný parameter	$\Gamma_{M,z}$	47.6	mm
Poloha osi plochy vztiahnutej k S	f_z	-8.8	mm
Plasticický prierezový modul	$W_{pl,y,max}$	7641.83	cm ³
Plasticický prierezový modul	$W_{pl,z,max}$	8293.00	cm ³
Plasticický tvarový súčinatel	$\alpha_{pl,y,max}$	1.350	
Plasticický tvarový súčinatel	$\alpha_{pl,z,max}$	1.286	
Vzperná krivka (DIN 18880-2:2008-11)	$VK_{y,DIN}$	c	
Vzperná krivka (DIN 18880-2:2008-11)	$VK_{z,DIN}$	c	
Vzperná krivka podľa EN	$VK_{y,EN}$	c	
Vzperná krivka podľa EN	$VK_{z,EN}$	c	
Vzperná krivka podľa EN pre ocel S 460	$VK_{y,EN,S460}$	c	
Vzperná krivka podľa EN pre ocel S 460	$VK_{z,EN,S460}$	c	

■ DOLNÝ PÁS

Uzavřené(B) 420/18/18/700/360/18/50/7/7



■ PRIEREZOVÉ CHARAKTERISTIKY

Uzavřené(B) 420/18/18/700/360/18/50/7/7

Prierezová charakteristika	Symbol	Hodnota	Jednotka
Upper flange width	b_o	420.0	mm
Upper flange thickness	t_o	18.0	mm
Web thickness	s	18.0	mm
Depth	h	700.0	mm
Lower flange width	b_u	360.0	mm
Lower flange thickness	t_u	18.0	mm
Lower overlap	u	50.0	mm
Upper fillet weld thickness	a_o	7.0	mm
Lower fillet weld thickness	a_u	7.0	mm
Plocha prierezu	A	385.92	cm ²
Šmyková plocha	A_y	102.42	cm ²
Šmyková plocha	A_z	212.21	cm ²
Účinná šmyková plocha podľa EN 3	$A_{v,y}$	140.40	cm ²
Účinná šmyková plocha podľa EN 3	$A_{v,z}$	245.52	cm ²
Plocha jadra	A_{jatra}	2388.96	cm ²
Vzdialenosť ľažiska	e_z	337.8	mm
Moment zotrvačnosti (plošný moment 2. stupňa)	I_y	237607.00	cm ⁴
Moment zotrvačnosti (plošný moment 2. stupňa)	I_z	105880.00	cm ⁴
Polárny moment zotrvačnosti	I_p	343487.00	cm ⁴
Polárny moment zotrvačnosti	$I_{p,M}$	344035.00	cm ⁴
Polomer zotrvačnosti	i_y	248.1	mm
Polomer zotrvačnosti	i_z	165.6	mm
Hlavný polomer zotrvačnosti	i_u	248.1	mm
Hlavný polomer zotrvačnosti	i_v	165.6	mm
Polárny polomer zotrvačnosti	i_p	298.3	mm
Polárny polomer zotrvačnosti	$i_{p,M}$	298.6	mm
Hmotnosť prierezu	G	302.9	kg/m
Plocha pláštia	$A_{plášť}$	2.340	m ² /m
Moment tuhosťi v kútení	I_t	203842.00	cm ⁴
St. Venantov moment tuhosťi v krútení	$I_{t,St/Vén}$	419.48	cm ⁴
Bredtov moment tuhosťi v krútení	$I_{t,Bredt}$	203422.00	cm ⁴
Vzdialenosť stredu šmyku k ľažisku	Z_M	-12.1	mm
Výsekový moment zotrvačnosti vztiahnutý k M	$I_{o,M}$	3.202E+06	cm ⁶
Výsekový polomer zotrvačnosti	$i_{o,M}$	30.5	mm
Súčinatel tlmenia	λ	0.015671	1/mm
Prierezový modul	$W_{y,max}$	6559.88	cm ³
Prierezový modul	$W_{y,min}$	-7043.23	cm ³
Prierezový modul	W_z	-5041.91	cm ³
Výsekový prierezový modul	W_{ω}	14685.10	cm ⁴
Statický moment	$S_{y,max}$	2163.19	cm ³
Statický moment	$S_{z,max}$	1542.48	cm ³

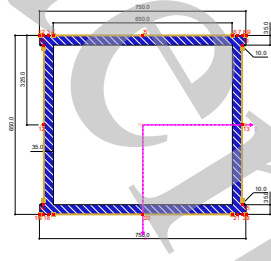
■ PRIEREZOVÉ CHARAKTERISTIKY

Uzavřené(B) 420/18/18/700/360/18/50/7/7

Prierezová charakteristika	Symbol	Hodnota	Jednotka
Výseková súradnica	ω_{\max}	218.02	cm ²
Výseková plocha (plošný moment 1. stupňa výseku)	$S_{\text{tot},\max}$	4274.94	cm ⁴
Stabilitný parameter podľa Kindema	$\Gamma_{y,\text{Kindem}}$	-11.1	mm
Stabilitný parameter	$\Gamma_{M,z}$	13.1	mm
Poloha osi plochy vztiahnejte k S	f_z	6.2	mm
Plasticický prierezový modul	$W_{\text{pl},y,\max}$	8651.38	cm ³
Plasticický prierezový modul	$W_{\text{pl},z,\max}$	6017.33	cm ³
Plasticický tvarový súčinieľ	$\alpha_{\text{pl},y,\max}$	1.319	
Plasticický tvarový súčinieľ	$\alpha_{\text{pl},z,\max}$	1.193	
Vzperná krivka (DIN 18880-2:2008-11)	$VK_{y,\text{DIN}}$	c	
Vzperná krivka (DIN 18880-2:2008-11)	$VK_{z,\text{DIN}}$	c	
Vzperná krivka podľa EN	$VK_{y,\text{EN}}$	c	
Vzperná krivka podľa EN	$VK_{z,\text{EN}}$	c	
Vzperná krivka podľa EN pre ocel S 460	$VK_{y,\text{EN,S460}}$	c	
Vzperná krivka podľa EN pre ocel S 460	$VK_{z,\text{EN,S460}}$	c	

■ KONCOVÝ PRIEČNIK

Uzavřené(A) 750/35/35/650/650/750/35/10/10



■ PRIEREZOVÉ CHARAKTERISTIKY

Uzavřené(A) 750/35/35/650/650/750/35/10/10

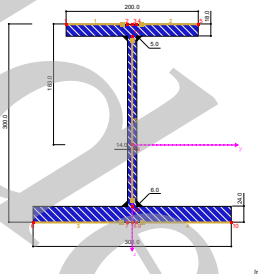
Prierezová charakteristika	Symbol	Hodnota	Jednotka
Upper flange width	b_o	750.0	mm
Upper flange thickness	t_o	35.0	mm
Web thickness	s	35.0	mm
Inner size	b_i	650.0	mm
Depth	h	650.0	mm
Lower flange width	b_u	750.0	mm
Lower flange thickness	t_u	35.0	mm
Upper fillet weld thickness	a_o	10.0	mm
Lower fillet weld thickness	a_u	10.0	mm
Plocha prierezu	A	931.00	cm ²
Šmyková plocha	A_y	417.42	cm ²
Šmyková plocha	A_z	353.74	cm ²
Účinná šmyková plocha podľa EN 3	$A_{v,y}$	525.00	cm ²
Účinná šmyková plocha podľa EN 3	$A_{v,z}$	406.00	cm ²
Plocha jadra	A_{jadra}	4212.75	cm ²
Vzdialenosť ťažiska	e_z	325.0	mm
Moment zotvačnosti (plošný moment 2. stupňa)	I_y	610772.00	cm ⁴
Moment zotvačnosti (plošný moment 2. stupňa)	I_z	722772.00	cm ⁴
Polárny moment zotvačnosti	I_p	1.334E+06	cm ⁴
Polárny moment zotvačnosti	$I_{p,M}$	1.334E+06	cm ⁴
Polomer zotvačnosti	i_y	256.1	mm
Polomer zotvačnosti	i_z	278.6	mm
Polárny polomer zotvačnosti	i_p	378.5	mm
Polárny polomer zotvačnosti	$i_{p,M}$	378.5	mm
Hmotnosť prierezu	G	730.8	kg/m
Plocha plášťa	$A_{\text{plášť}}$	3.000	m ² /m
Moment tuhosťi v kútení	I_t	959454.00	cm ⁴
St. Venantov moment tuhosťi v krútení	$I_{\text{StVén}}$	3832.06	cm ⁴
Bredtov moment tuhosťi v krútení	I_{Bredt}	955622.00	cm ⁴
Vzdialenosť stredu šmyku k ťažisku	Z_M	0.0	mm
Výsekový moment zotvačnosti vztiahnutý k M	I_{o}	1.015E+06	cm ⁶
Výsekový polomer zotvačnosti	$i_{\text{o},M}$	8.7	mm
Súčinieľ tlmenia	λ	0.060369	1/mm
Prierezový modul	$W_{\text{y},\max}$	18793.00	cm ³
Prierezový modul	$W_{\text{y},\min}$	-18793.00	cm ³
Výsekový prierezový modul	W_z	19273.90	cm ³
Statický moment	W_{eo}	17906.30	cm ⁴
Statický moment	$S_{\text{y},\max}$	5507.69	cm ³
Výseková súradnica	$S_{\text{z},\max}$	5937.31	cm ³
Výseková plocha (plošný moment 1. stupňa výseku)	ω_{\max}	56.71	cm ²
Stabilitný parameter podľa Kindema	$S_{\text{tot},\max}$	3323.68	cm ⁴
Stabilitný parameter	$\Gamma_{y,\text{Kindem}}$	0.0	mm
Poloha osi plochy vztiahnejte k S	$\Gamma_{M,z}$	0.0	mm
Plasticický prierezový modul	f_z	0.0	mm
Plasticický prierezový modul	$W_{\text{pl},y,\max}$	22030.80	cm ³
Plasticický tvarový súčinieľ	$W_{\text{pl},z,\max}$	23749.30	cm ³
Plasticický tvarový súčinieľ	$\alpha_{\text{pl},y,\max}$	1.172	
Vzperná krivka (DIN 18880-2:2008-11)	$\alpha_{\text{pl},z,\max}$	1.232	
Vzperná krivka (DIN 18880-2:2008-11)	$VK_{y,\text{DIN}}$	c	

■ PRIEREZOVÉ CHARAKTERISTIKY Uzavrené(A) 750/35/35/650/650/750/35/10/10

Prierezová charakteristika	Symbol	Hodnota	Jednotka
Vzperná krvka (DIN 18880-2:2008-11)	VK_z,DIN	c	
Vzperná krvka podľa EN	VK_y,EN	c	
Vzperná krvka podľa EN	VK_z,EN	c	
Vzperná krvka podľa EN pre ocel S 460	$VK_y,EN,S460$	c	
Vzperná krvka podľa EN pre ocel S 460	$VK_z,EN,S460$	c	

■ ŠTANDARDNÝ PRIEČNIK

IU 300/200/18/14/300/24/5/6



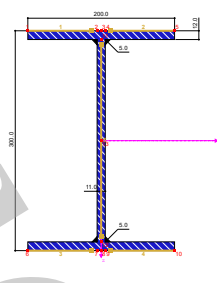
■ PRIEREZOVÉ CHARAKTERISTIKY

IU 300/200/18/14/300/24/5/6

Prierezová charakteristika	Symbol	Hodnota	Jednotka
Depth	h	300.0	mm
Upper flange width	b_o	200.0	mm
Upper flange thickness	t_o	18.0	mm
Web thickness	s	14.0	mm
Lower flange width	b_u	300.0	mm
Lower flange thickness	t_u	24.0	mm
Upper fillet weld thickness	a_o	5.0	mm
Lower fillet weld thickness	a_u	6.0	mm
Plocha prierezu	A	144.12	cm²
Šmyková plocha	A_y	81.75	cm²
Šmyková plocha	A_z	35.89	cm²
Vzdialenosť ľažiska	e_z	183.0	mm
Moment zotrvačnosti (plošný moment 2. stupňa)	I_y	21353.30	cm⁴
Moment zotrvačnosti (plošný moment 2. stupňa)	I_z	6605.90	cm⁴
Polárny moment zotrvačnosti	I_p	27959.20	cm⁴
Polárny moment zotrvačnosti	$I_{p,M}$	32201.40	cm⁴
Moment zotrvačnosti vztiahnutý k menšej pásnici	$I_{y,SF}$	21604.10	cm⁴
Polomer zotrvačnosti	i_y	121.7	mm
Polomer zotrvačnosti	i_z	67.7	mm
Polárny polomer zotrvačnosti	i_p	139.3	mm
Polárny polomer zotrvačnosti	$i_{p,M}$	149.6	mm
Hmotnosť prierezu	G	113.1	kg/m
Plocha plášťa	A_{plast}	1.572	m²/m
Moment tuhosťi v kútení	I_t	193.47	cm⁴
Vzdialenosť stredu šmyku k ľažisku	Z_M	54.3	mm
Výsekový moment zotrvačnosti vztiahnutý k M	$I_{o,i}$	764257.00	cm⁶
Súčinatel' īmenia	λ	0.000988	1/mm
Prierezový modul	$W_{y,max}$	1824.60	cm³
Prierezový modul	$W_{y,min}$	-1167.04	cm³
Prierezový modul	W_z	440.39	cm³
Výsekový prierezový modul	$W_{o,i}$	3348.72	cm⁴
Statický moment	$S_{y,max}$	816.80	cm³
Statický moment	$S_{z,max}$	269.86	cm³
Výseková súradnica	ω_{max}	228.22	cm²
Výseková plocha (plošný moment 1. stupňa výseku)	$S_{o,max}$	2054.02	cm⁴
Stabilitný parameter podľa Kindera	$r_{y,Kindem}$	-45.9	mm
Stabilitný parameter	$r_{M,z}$	-154.4	mm
Poloha osi plochy vztiahnutej k S	f_z	92.6	mm
Plasticický prierezový modul	$W_{pl,y,max}$	1513.55	cm³
Plasticický prierezový modul	$W_{pl,z,max}$	732.64	cm³
Plasticický tvarový súčinatel'	$\alpha_{pl,y,max}$	1.297	
Plasticický tvarový súčinatel'	$\alpha_{pl,z,max}$	1.664	
Vzperná krvka (DIN 18880-2:2008-11)	VK_y,DIN	c	
Vzperná krvka (DIN 18880-2:2008-11)	VK_z,DIN	c	
Vzperná krvka podľa EN	VK_y,EN	b	
Vzperná krvka podľa EN	VK_z,EN	c	
Vzperná krvka podľa EN pre ocel S 460	$VK_y,EN,S460$	b	
Vzperná krvka podľa EN pre ocel S 460	$VK_z,EN,S460$	c	

■ CHODNÍKOVÁ KONZOLA

IS 300/200/11/12/5



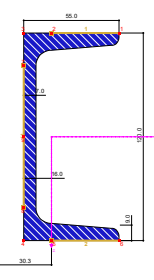
■ PRIEREZOVÉ CHARAKTERISTIKY

IS 300/200/11/12/5

Prierezová charakteristika	Symbol	Hodnota	Jednotka
Depth	h	300.0	mm
Width	b	200.0	mm
Web thickness	s	11.0	mm
Hrúbka pásnice	t	12.0	mm
Fillet weld thickness	a	5.0	mm
Placha prierezu	A	78.36	cm ²
Šmyková placha	A _y	40.17	cm ²
Šmyková placha	A _z	29.19	cm ²
Účinná šmyková placha podľa EN 3	A _{v,y}	48.00	cm ²
Účinná šmyková placha podľa EN 3	A _{v,z}	30.36	cm ²
Plasticá šmyková placha	A _{pl,y}	48.00	cm ²
Plasticá šmyková placha	A _{pl,z}	31.68	cm ²
Moment zotrvačnosti (plošný moment 2. stupňa)	I _y	11886.30	cm ⁴
Moment zotrvačnosti (plošný moment 2. stupňa)	I _z	1603.06	cm ⁴
Polárny moment zotrvačnosti	I _p	13489.40	cm ⁴
Polomer zotrvačnosti	i _y	123.2	mm
Polomer zotrvačnosti	i _z	45.2	mm
Polárny polomer zotrvačnosti	i _p	131.2	mm
Polomer zotrvačnosti pásnice + 1/5 výšky stojiny	i _{zg}	51.6	mm
Hmotnosť prierezu	G	61.5	kg/m
Placha pláštia	A _{plášt'}	1.378	m ² /m
Moment tuhosti v kútení	i _t	34.95	cm ⁴
Výsekový moment zotrvačnosti vzťahnutý k M	I _o	331776.00	cm ⁶
Súčinieľ tlmenia	λ	0.000637	1/mm
Prierezový modul	W _y	792.42	cm ³
Prierezový modul	W _z	160.31	cm ³
Výsekový prierezový modul	W _o	2304.00	cm ⁴
Statický moment	S _{y,max}	450.34	cm ³
Statický moment	S _{z,max}	59.96	cm ³
Výseková súradnica	ω _{max}	144.00	cm ²
Výseková placha (plošný moment 1. stupňa výseku)	S _{o,max}	864.00	cm ⁴
Plasticický prierezový modul	W _{pl,y,max}	900.68	cm ³
Plasticický prierezový modul	W _{pl,z,max}	248.35	cm ³
Plasticický výsekový prierezový modul	W _{pl,o}	3456.00	cm ⁴
Plasticický tvarový súčinieľ	α _{pl,y,max}	1.137	
Plasticický tvarový súčinieľ	α _{pl,z,max}	1.549	
Plasticický tvarový súčinieľ	α _{pl,o}	1.500	
Vzperná križka (DIN 18880-2:2008-11)	VK _{y,DIN}	c	
Vzperná križka (DIN 18880-2:2008-11)	VK _{z,DIN}	c	
Vzperná križka podľa EN	VK _{y,EN}	b	
Vzperná križka podľa EN	VK _{z,EN}	c	
Vzperná križka podľa EN pre ocel S 460	VK _{y,EN,S460}	b	
Vzperná križka podľa EN pre ocel S 460	VK _{z,EN,S460}	c	

■ OBVODOVÝ PÁS

Ferona - DIN 1026-1



■ PRIEREZOVÉ CHARAKTERISTIKY

U 120

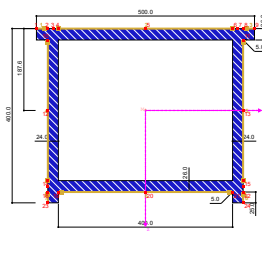
Prierezová charakteristika	Symbol	Hodnota	Jednotka
Výška profilu	h	120.0	mm
Šírka profilu	b	55.0	mm

■ PRIEREZOVÉ CHARAKTERISTIKY

Prierezová charakteristika	Symbol	Hodnota	Jednotka
Hrubá stojiny	t_w	7.0	mm
Hrubá pásnice	t_f	9.0	mm
Vnútorný polomer zaoblenia	r	9.0	mm
Vonkajší polomer zaoblenia	r_1	4.5	mm
Plocha prierezu	A	17.00	cm^2
Šmyková plocha	A_y	5.12	cm^2
Šmyková plocha	A_z	6.95	cm^2
Plocha pásnic	A_G	7.14	cm^2
Účinná šmyková plocha podľa EN 3	$A_{v,y}$	11.02	cm^2
Účinná šmyková plocha podľa EN 3	$A_{v,z}$	8.54	cm^2
Plasticická šmyková plocha	$A_{pl,y}$	9.27	cm^2
Plasticická šmyková plocha	$A_{pl,z}$	7.77	cm^2
Vzdialenosť ďažiskovej osi z-z	e_y	16.0	mm
Moment zotrvačnosti (plošný moment 2. stupňa)	I_y	364.00	cm^4
Moment zotrvačnosti (plošný moment 2. stupňa)	I_z	43.20	cm^4
Polomer zotrvačnosti	i_y	46.2	mm
Polomer zotrvačnosti	i_z	15.9	mm
Polárny polomer zotrvačnosti	i_p	48.9	mm
Polárny polomer zotrvačnosti	$i_{p,M}$	57.5	mm
Obejm	V	1700.00	cm^3/m
Hmotnosť prierezu	G	13.3	kg/m
Plocha plášťa	$A_{plášt}$	0.434	m^2/m
Súčinieľ profilu	A_m/V	255.294	1/m
Moment tuhosťi v kútení	I_t	4.15	cm^4
Vzdialenosť stredu šmyku k ďažisku	y_M	-30.3	mm
Výsekový moment zotrvačnosti vziahnutý k M	$I_{t,y}$	900.00	cm^6
Prierezový modul	$W_{z,min}$	-27.00	cm^3
Prierezový modul	$W_{z,max}$	11.08	cm^3
Prierezový modul	W_y	60.67	cm^3
Prierezový modul	W_z	11.08	cm^3
Výsekový prierezový modul	$W_{t,y}$	51.86	cm^4
Statický moment	$S_{y,max}$	36.30	cm^3
Statický moment	$S_{z,max}$	5.80	cm^3
Výseková súradnica	ω_{max}	17.36	cm^2
Výseková plocha (plošný moment 1. stupňa výseku)	$S_{o,max}$	23.66	cm^4
Stabilitný parameter podľa Kindera	$r_{z,Kindem}$	64.8	mm
Stabilitný parameter	$r_{M,y}$	125.4	mm
Plasticický prierezový modul (pre max. prijateľný ohybový moment)	$W_{pl,y,max}$	72.73	cm^3
Plasticický prierezový modul (pre plne plasticický ohybový moment)	$W_{pl,y,pln.}$	66.51	cm^3
Plasticický prierezový modul	$W_{pl,z}$	21.26	cm^3
Plasticický výsekový prierezový modul	$W_{pl,o}$	99.40	cm^4
Plasticický tvarový súčinieľ (pre max. prijateľný ohybový moment)	$\alpha_{pl,y,max}$	1.199	
Plasticický tvarový súčinieľ (pre plne plasticický ohyb. moment)	$\alpha_{pl,y,pln.}$	1.096	
Plasticický tvarový súčinieľ	$\alpha_{pl,z}$	1.919	
Plasticický tvarový súčinieľ	$\alpha_{pl,o}$	1.917	
Plocha stredu šmyku vziahnutá k ďažisku (na základe MKP)	$\gamma_{M,FEM}$	-29.6	mm
Výsekový moment zotrvačnosti (na základe MKP)	$I_{t,y,FEM}$	896.60	cm^6
Vzperná krivka (DIN 18880-2:2008-11)	$VK_{y,DIN}$	c	
Vzperná krivka (DIN 18880-2:2008-11)	$VK_{z,DIN}$	c	
Vzperná krivka pre oceľ s $f_y \geq 460 \text{ N/mm}^2$ (DIN 18880-2:2008-11)	$VK_{y,DIN,S460}$	c	
Vzperná krivka pre oceľ s $f_y \geq 460 \text{ N/mm}^2$ (DIN 18880-2:2008-11)	$VK_{z,DIN,S460}$	c	
Vzperná krivka podľa EN	$VK_{y,EN}$	c	
Vzperná krivka podľa EN	$VK_{z,EN}$	c	
Vzperná krivka podľa EN pre oceľ S 460	$VK_{y,EN,S460}$	c	
Vzperná krivka podľa EN pre oceľ S 460	$VK_{z,EN,S460}$	c	
Priemer otvorov na pásnici	d_L	13.0	mm
Vzdialenosť otvorov na pásnici	w	37.0	mm
Plná plast. normállová síla podľa DIN 18800-1 pre $f_y,d = 21,82 \text{ kN/cm}^2$	$N_{pl,d}$	370.600	kN
Plná plasticická normállová síla podľa DIN 18800-1 pre $f_y,d = 21,82 \text{ kN/cm}^2$	$V_{pl,z,d}$	97.880	kN
Plný plasticický ohyb. moment podľa DIN 18800-1 pre $f_y,d = 21,82 \text{ kN/cm}^2$	$M_{pl,y,d}$	14.512	kNm

■ HORNÝ PÁS - ĽAVÝ

Uzavrené(B) 500/26/24/400/400/26/25/5/5



[mm]

■ PRIEREZOVÉ CHARAKTERISTIKY

Uzavrené(B) 500/26/24/400/400/26/25/5/5

Prierezová charakteristika	Symbol	Hodnota	Jednotka
Upper flange width	b_o	500.0	mm
Upper flange thickness	t_o	26.0	mm
Web thickness	s	24.0	mm

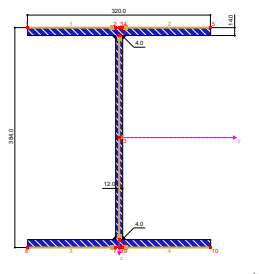
■ PRIEREZOVÉ CHARAKTERISTIKY

Uzavřené(B) 500/26/24/400/400/26/25/5

Prierezová charakteristika	Symbol	Hodnota	Jednotka
Depth	h	400.0	mm
Lower flange width	b _u	400.0	mm
Lower flange thickness	t _u	26.0	mm
Lower overlap	u	25.0	mm
Upper fillet weld thickness	a _o	5.0	mm
Lower fillet weld thickness	a _u	5.0	mm
Plocha prierezu	A	413.52	cm ²
Šmyková plocha	A _y	197.51	cm ²
Šmyková plocha	A _z	141.65	cm ²
Účinná šmyková plocha podľa EN 3	A _{v,y}	234.00	cm ²
Účinná šmyková plocha podľa EN 3	A _{v,z}	179.52	cm ²
Plocha jadra	A _{jadra}	1479.76	cm ²
Vzdialenosť ťažiska	e _z	187.6	mm
Moment zotváčnosti (plošný moment 2. stupňa)	I _y	93478.10	cm ⁴
Moment zotváčnosti (plošný moment 2. stupňa)	I _z	121720.00	cm ⁴
Polárny moment zotváčnosti	I _p	215198.00	cm ⁴
Polárny moment zotváčnosti	I _{p,M}	215226.00	cm ⁴
Polomer zotváčnosti	i _y	150.4	mm
Polomer zotváčnosti	i _z	171.6	mm
Hlavný polomer zotváčnosti	i _u	150.4	mm
Hlavný polomer zotváčnosti	i _v	171.6	mm
Polárny polomer zotváčnosti	i _p	228.1	mm
Polárny polomer zotváčnosti	i _{p,M}	228.1	mm
Hmotnosť prierezu	G	324.6	kg/m
Plocha plášťa	A _{plášť}	1.850	m ² /m
Moment tuhosti v kútení	I _t	142842.00	cm ⁴
St. Venantov moment tuhosti v krútení	I _{t,StVén}	881.70	cm ⁴
Bredtov moment tuhosti v krútení	I _{t,Bredt}	141960.00	cm ⁴
Vzdialenosť stredu šmyku k ťažisku	Z _M	-2.5	mm
Výsekový moment zotváčnosti vztiahnutý k M	I _o	139939.00	cm ⁶
Výsekový polomer zotváčnosti	i _{o,M}	8.1	mm
Stúčinieľ timenia	λ	0.062747	1/mm
Prierezový modul	W _{y,max}	4401.01	cm ³
Prierezový modul	W _{y,min}	-4982.88	cm ³
Prierezový modul	W _z	-4868.79	cm ³
Výsekový prierezový modul	W _o	1449.30	cm ⁴
Statický moment	S _{y,max}	1448.26	cm ³
Statický moment	S _{z,max}	1628.24	cm ³
Výseková súradnica	ω _{max}	96.56	cm ²
Výseková plocha (plošný moment 1. stupňa výseku)	S _{o,max}	695.46	cm ⁴
Stabilitný parameter podľa Kindema	r _{y,Kindem}	-0.2	mm
Stabilitný parameter	Γ _{M,z}	4.9	mm
Poloha osi plochy vztiahnutej k S	f _z	-1.7	mm
Plasticický prierezový modul	W _{pl,y,max}	5792.90	cm ³
Plasticický prierezový modul	W _{pl,z,max}	6470.82	cm ³
Plasticický tvarový súčinieľ	α _{pl,y,max}	1.316	
Plasticický tvarový súčinieľ	α _{pl,z,max}	1.329	
Vzperná krivka (DIN 18880-2:2008-11)	VK _{y,DIN}	c	
Vzperná krivka (DIN 18880-2:2008-11)	VK _{z,DIN}	c	
Vzperná krivka podľa EN	VK _{y,EN}	c	
Vzperná krivka podľa EN	VK _{z,EN}	c	
Vzperná krivka podľa EN pre ocel S 460	VK _{y,EN,S460}	c	
Vzperná krivka podľa EN pre ocel S 460	VK _{z,EN,S460}	c	

■ DIAGONÁLA - PRAVÁ

IS 384/320/12/14/4



■ PRIEREZOVÉ CHARAKTERISTIKY

IS 384/320/12/14/4

Prierezová charakteristika	Symbol	Hodnota	Jednotka
Depth	h	384.0	mm
Width	b	320.0	mm
Web thickness	s	12.0	mm
Hrubka pásnice	t	14.0	mm
Fillet weld thickness	a	4.0	mm
Plocha prierezu	A	132.32	cm ²
Šmyková plocha	A _y	74.78	cm ²
Šmyková plocha	A _z	40.34	cm ²
Účinná šmyková plocha podľa EN 3	A _{v,y}	89.60	cm ²
Účinná šmyková plocha podľa EN 3	A _{v,z}	42.72	cm ²
Plasticická šmyková plocha	A _{pl,y}	89.60	cm ²

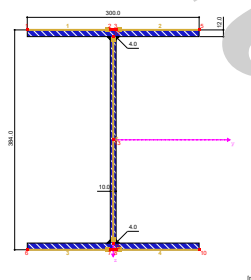
■ PRIEREZOVÉ CHARAKTERISTIKY

IS 384/320/12/14/4

Prierezová charakteristika	Symbol	Hodnota	Jednotka
Plasticá šmyková plocha	$A_{pl,z}$	44.40	cm^2
Moment zotrvačnosti (plošný moment 2. stupňa)	I_y	35192.00	cm^4
Moment zotrvačnosti (plošný moment 2. stupňa)	I_z	7650.99	cm^4
Polárny moment zotrvačnosti	I_p	42843.00	cm^4
Polomer zotrvačnosti	i_y	163.1	mm
Polomer zotrvačnosti	i_z	76.0	mm
Polárny polomer zotrvačnosti	i_p	179.9	mm
Polomer zotrvačnosti pásnice + 1/5 výšky stojiny	I_{zg}	84.7	mm
Hmotnosť prierezu	G	103.9	kg/m
Plocha plášťa	$A_{plášť}$	2.024	m^2/m
Moment tuhosti v kútení	I_t	78.24	cm^4
Výsekový moment zotrvačnosti vztiahnutý k M	I_o	2.617E+06	cm^6
Súčinatel tlmenia	λ	0.000340	1/mm
Prierezový modul	W_y	1832.92	cm^3
Prierezový modul	W_z	478.19	cm^3
Výsekový prierezový modul	W_o	8840.53	cm^4
Statický moment	$S_{y,max}$	1018.90	cm^3
Statický moment	$S_{z,max}$	179.14	cm^3
Výseková súradnica	ω_{max}	296.00	cm^2
Výseková plocha (plošný moment 1. stupňa výseku)	$S_{o,max}$	3315.20	cm^4
Plasticický prierezový modul	$W_{pl,y,max}$	2037.81	cm^3
Plasticický prierezový modul	$W_{pl,z,max}$	729.62	cm^3
Plasticický výsekový prierezový modul	$W_{pl,o}$	13260.80	cm^4
Plasticický tvarový súčinatel	$\alpha_{pl,y,max}$	1.112	
Plasticický tvarový súčinatel	$\alpha_{pl,z,max}$	1.526	
Plasticický tvarový súčinatel	$\alpha_{pl,o}$	1.500	
Vzperná krivka (DIN 18880-2:2008-11)	$VK_{y,DIN}$	c	
Vzperná krivka (DIN 18880-2:2008-11)	$VK_{z,DIN}$	c	
Vzperná krivka podľa EN	$VK_{y,EN}$	b	
Vzperná krivka podľa EN	$VK_{z,EN}$	c	
Vzperná krivka podľa EN pre ocel S 460	$VK_{y,EN,S460}$	b	
Vzperná krivka podľa EN pre ocel S 460	$VK_{z,EN,S460}$	c	

■ DIAGONÁLA - ĽAVÁ

IS 384/300/10/12/4



■ PRIEREZOVÉ CHARAKTERISTIKY

IS 384/300/10/12/4

Prierezová charakteristika	Symbol	Hodnota	Jednotka
Depth	h	384.0	mm
Width	b	300.0	mm
Web thickness	s	10.0	mm
Hrubka pásnice	t	12.0	mm
Fillet weld thickness	a	4.0	mm
Plocha prierezu	A	108.00	cm^2
Šmyková plocha	A_y	60.08	cm^2
Šmyková plocha	A_z	34.10	cm^2
Účinná šmyková plocha podľa EN 3	$A_{v,y}$	72.00	cm^2
Účinná šmyková plocha podľa EN 3	$A_{v,z}$	36.00	cm^2
Plastická šmyková plocha	$A_{pl,y}$	72.00	cm^2
Plastická šmyková plocha	$A_{pl,z}$	37.20	cm^2
Moment zotrvačnosti (plošný moment 2. stupňa)	I_y	28805.80	cm^4
Moment zotrvačnosti (plošný moment 2. stupňa)	I_z	5403.00	cm^4
Polárny moment zotrvačnosti	I_p	34208.80	cm^4
Polomer zotrvačnosti	i_y	163.3	mm
Polomer zotrvačnosti	i_z	70.7	mm
Polárny polomer zotrvačnosti	i_p	178.0	mm
Polomer zotrvačnosti pásnice + 1/5 výšky stojiny	I_{zg}	79.1	mm
Hmotnosť prierezu	G	84.8	kg/m
Plocha plášťa	$A_{plášť}$	1.948	m^2/m
Moment tuhosti v kútení	I_t	46.09	cm^4
Výsekový moment zotrvačnosti vztiahnutý k M	I_o	1.868E+06	cm^6
Súčinatel tlmenia	λ	0.000308	1/mm
Prierezový modul	W_y	1500.30	cm^3
Prierezový modul	W_z	360.20	cm^3
Výsekový prierezový modul	W_o	6696.00	cm^4
Statický moment	$S_{y,max}$	831.60	cm^3
Statický moment	$S_{z,max}$	134.96	cm^3
Výseková súradnica	ω_{max}	279.00	cm^2
Výseková plocha (plošný moment 1. stupňa výseku)	$S_{o,max}$	2511.00	cm^4
Plasticický prierezový modul	$W_{pl,y,max}$	1663.20	cm^3

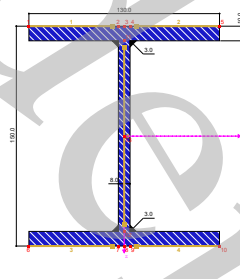
■ PRIEREZOVÉ CHARAKTERISTIKY

IS 384/300/10/12/4

Prierezová charakteristika	Symbol	Hodnota	Jednotka
Plasticický prierezový modul	$W_{pl,z,max}$	549.00	cm^3
Plasticický výsekový prierezový modul	$W_{pl,e}$	10044.00	cm^4
Plasticický tvarový súčinieľ	$\alpha_{pl,y,max}$	1.109	
Plasticický tvarový súčinieľ	$\alpha_{pl,z,max}$	1.524	
Plasticický tvarový súčinieľ	$\alpha_{pl,e}$	1.500	
Vzperná krvka (DIN 18880-2:2008-11)	VK_y,DIN	c	
Vzperná krvka (DIN 18880-2:2008-11)	VK_z,DIN	c	
Vzperná krvka podľa EN	VK_y,EN	b	
Vzperná krvka podľa EN	VK_z,EN	c	
Vzperná krvka podľa EN pre ocel S 460	$VK_y,EN,S460$	b	
Vzperná krvka podľa EN pre ocel S 460	$VK_z,EN,S460$	c	

■ CHODNÍKOVÁ KONZOLA

IS 150/130/8/10/3



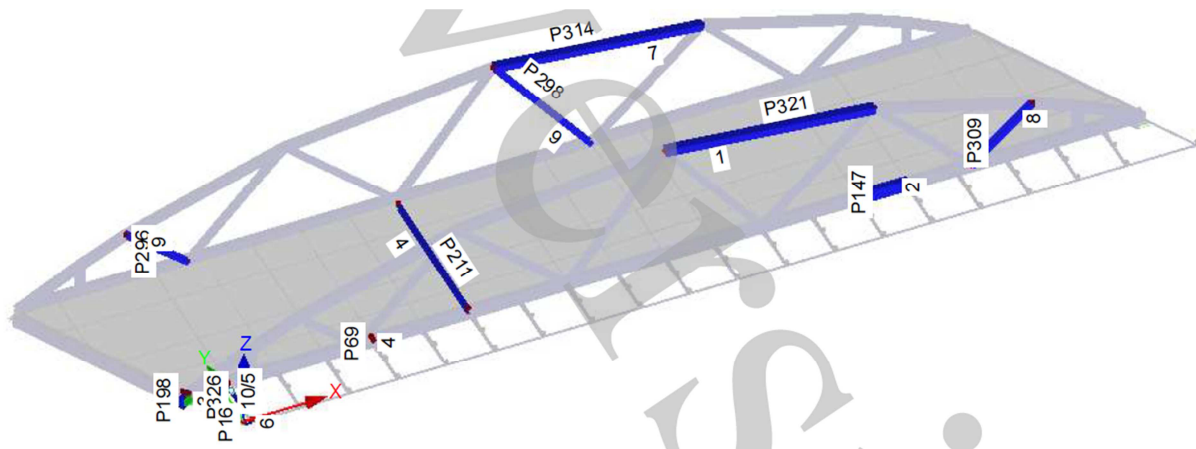
■ PRIEREZOVÉ CHARAKTERISTIKY

IS 150/130/8/10/3

Prierezová charakteristika	Symbol	Hodnota	Jednotka
Depth	h	150.0	mm
Width	b	130.0	mm
Web thickness	s	8.0	mm
Hrubká pásnice	t	10.0	mm
Fillet weld thickness	a	3.0	mm
Plocha prierezu	A	36.40	cm^2
Šmyková plocha	A_y	21.75	cm^2
Šmyková plocha	A_z	10.14	cm^2
Účinná šmyková plocha podľa EN 3	$A_{v,y}$	26.00	cm^2
Účinná šmyková plocha podľa EN 3	$A_{v,z}$	10.40	cm^2
Plasticická šmyková plocha	$A_{pl,y}$	26.00	cm^2
Plasticická šmyková plocha	$A_{pl,z}$	11.20	cm^2
Moment zotrvačnosti (plošný moment 2. stupňa)	I_y	1422.63	cm^4
Moment zotrvačnosti (plošný moment 2. stupňa)	I_z	366.72	cm^4
Polárny moment zotrvačnosti	I_p	1789.35	cm^4
Polomer zotrvačnosti	i_y	62.5	mm
Polomer zotrvačnosti	i_z	31.7	mm
Polárny polomer zotrvačnosti	i_p	70.1	mm
Polomer zotrvačnosti pásnice + 1/5 výšky stojiny	i_{zg}	34.9	mm
Hmotnosť prierezu	G	28.6	kg/m
Plocha plášťa	$A_{plášť}$	0.804	m^2/m
Moment tuhosti v kútení	I_t	10.64	cm^4
Výsekový moment zotrvačnosti vztiahnutý k M	I_{ω}	17942.20	cm^6
Súčinieľ tlmenia	λ	0.001512	1/mm
Prierezový modul	W_y	189.68	cm^3
Prierezový modul	W_z	56.42	cm^3
Výsekový prierezový modul	W_{ω}	394.33	cm^4
Statický moment	$S_{y,max}$	107.90	cm^3
Statický moment	$S_{z,max}$	21.11	cm^3
Výseková súradnica	ω_{max}	45.50	cm^2
Výseková plocha (plošný moment 1. stupňa výseku)	$S_{\omega,max}$	147.88	cm^4
Plasticický prierezový modul	$W_{pl,y,max}$	215.80	cm^3
Plasticický prierezový modul	$W_{pl,z,max}$	86.58	cm^3
Plasticický výsekový prierezový modul	$W_{pl,e}$	591.50	cm^4
Plasticický tvarový súčinieľ	$\alpha_{pl,y,max}$	1.138	
Plasticický tvarový súčinieľ	$\alpha_{pl,z,max}$	1.535	
Plasticický tvarový súčinieľ	$\alpha_{pl,e}$	1.500	
Vzperná krvka (DIN 18880-2:2008-11)	VK_y,DIN	c	
Vzperná krvka (DIN 18880-2:2008-11)	VK_z,DIN	c	
Vzperná krvka podľa EN	VK_y,EN	b	
Vzperná krvka podľa EN	VK_z,EN	c	
Vzperná krvka podľa EN pre ocel S 460	$VK_y,EN,S460$	b	
Vzperná krvka podľa EN pre ocel S 460	$VK_z,EN,S460$	c	

6 Vnútorné sily

V kapitolách 6.1 a 7 sú zobrazené vnútorné sily a následne posúdené prvky ktoré sú najviac využité pri daných kombináciach. Čísla najviac namáhaných prvkov a ich prierezy sú zobrazené na obrázku 2.6. Pri každom prvku sú dve čísla. Číslo s písmenom P značí číslo prvku a druhé, osamotené číslo, je číslo prierezu.



Obr.6 – Čísla najviac namáhaných prútov a ich čísla prierezu

■ 6.1 PRÚTY - VNÚTORNÉ SÍLY

Kombinácie výsledkov

Typ prútu č.	KZS	Uzol č.	Miesto x x [m]		Sily [kN]			Momenty [kNm]			Príslušný zaľ. stav	
					N	V _y	V _z	M _T	M _y	M _z		
16	KV31	18	0.000	Max N	8.65	14.27	-0.27	0.02	-0.01	1.25	ZS 1,2,4,11,119,132,285	
		18	0.000	Min N	2.01	3.31	-0.27	0.02	-0.01	0.29	ZS 1,2,12,178	
		18	0.000	Max V _y	8.65	14.27	-0.27	0.02	-0.01	1.25	ZS 1,2,4,11,119,132,285	
		18	0.000	Min V _y	2.01	3.31	-0.27	0.02	-0.01	0.29	ZS 1,2,12,178	
		18	0.000	Max V _z	7.73	12.74	-0.27	0.01	0.00	1.12	ZS 1,2,11,123,135,257	
		158	0.448	Min V _z	2.80	4.62	-0.35	0.04	-0.16	-1.67	ZS 1,2,4,12,128,239	
		18	0.000	Max M _T	5.57	9.18	-0.28	0.04	-0.02	0.81	ZS 1,2,4,11,128,239	
		18	0.000	Min M _T	4.97	8.18	-0.27	0.01	0.00	0.72	ZS 1,2,12,123,135,257	
		18	0.000	Max M _y	7.73	12.74	-0.27	0.01	0.00	1.12	ZS 1,2,11,123,135,257	
		158	0.448	Min M _y	2.80	4.62	-0.35	0.04	-0.16	-1.67	ZS 1,2,4,12,128,239	
		18	0.000	Max M _z	8.65	14.27	-0.27	0.02	-0.01	1.25	ZS 1,2,4,11,119,132,285	
		158	0.448	Min M _z	8.65	14.27	-0.34	0.02	-0.14	-5.14	ZS 1,2,4,11,119,132,285	
		KV37	18	0.000	Max N	8.65	14.26	-0.27	0.01	0.01	1.25	ZS 1,2,11,17,30
		18	0.000	Min N	1.74	2.87	-0.27	0.02	-0.01	0.25	ZS 1,2,12,18	
		18	0.000	Max V _y	8.65	14.26	-0.27	0.01	0.01	1.25	ZS 1,2,11,17,30	
		18	0.000	Min V _y	1.74	2.87	-0.27	0.02	-0.01	0.25	ZS 1,2,12,18	
		18	0.000	Max V _z	7.75	12.78	-0.26	0.00	0.01	1.12	ZS 1,2,11,18,33	
		158	0.448	Min V _z	3.98	6.56	-0.34	0.03	-0.15	-2.37	ZS 1,2,12,17,19	
		18	0.000	Max M _T	6.74	11.12	-0.27	0.03	-0.01	0.97	ZS 1,2,11,17,19	
		18	0.000	Min M _T	4.99	8.22	-0.26	0.00	0.01	0.72	ZS 1,2,12,18,33	
		18	0.000	Max M _y	7.75	12.78	-0.26	0.00	0.01	1.12	ZS 1,2,11,18,33	
		158	0.448	Min M _y	3.98	6.56	-0.34	0.03	-0.15	-2.37	ZS 1,2,12,17,19	
		18	0.000	Max M _z	8.65	14.26	-0.27	0.01	0.01	1.25	ZS 1,2,11,17,30	
		158	0.448	Min M _z	8.65	14.26	-0.34	0.01	-0.13	-5.14	ZS 1,2,11,17,30	
		KV38	18	0.000	Max N	8.81	14.52	-0.27	0.02	-0.00	1.27	ZS 1,2,4,11,17,30
		18	0.000	Min N	1.74	2.87	-0.27	0.02	-0.01	0.25	ZS 1,2,12,18	
		18	0.000	Max V _y	8.81	14.52	-0.27	0.02	-0.00	1.27	ZS 1,2,4,11,17,30	
		18	0.000	Min V _y	1.74	2.87	-0.27	0.02	-0.01	0.25	ZS 1,2,12,18	
		18	0.000	Max V _z	7.75	12.78	-0.26	0.00	0.01	1.12	ZS 1,2,11,18,33	
		158	0.448	Min V _z	4.14	6.83	-0.35	0.04	-0.16	-2.46	ZS 1,2,4,12,17,19	
		18	0.000	Max M _T	6.91	11.39	-0.28	0.04	-0.02	1.00	ZS 1,2,4,11,17,19	
		18	0.000	Min M _T	4.99	8.22	-0.26	0.00	0.01	0.72	ZS 1,2,12,18,33	
		18	0.000	Max M _y	7.75	12.78	-0.26	0.00	0.01	1.12	ZS 1,2,11,18,33	
		158	0.448	Min M _y	4.14	6.83	-0.35	0.04	-0.16	-2.46	ZS 1,2,4,12,17,19	
		18	0.000	Max M _z	8.81	14.52	-0.27	0.02	-0.00	1.27	ZS 1,2,4,11,17,30	
		158	0.448	Min M _z	8.81	14.52	-0.34	0.02	-0.14	-5.23	ZS 1,2,4,11,17,30	
		KV40	18	0.000	Max N	8.99	14.82	-0.27	0.03	-0.01	1.30	ZS 1,2,4,11,17,119,132,285
		18	0.000	Min N	1.72	2.84	-0.27	0.02	-0.01	0.25	ZS 1,2,12,18,178	
		18	0.000	Max V _y	8.99	14.82	-0.27	0.03	-0.01	1.30	ZS 1,2,4,11,17,119,132,285	
		18	0.000	Min V _y	1.72	2.84	-0.27	0.02	-0.01	0.25	ZS 1,2,12,18,178	
		18	0.000	Max V _z	7.44	12.27	-0.27	0.01	0.01	1.08	ZS 1,2,11,18,123,135,257	
		158	0.448	Min V _z	3.14	5.18	-0.35	0.04	-0.16	-1.87	ZS 1,2,4,12,17,128,239	
		18	0.000	Max M _T	5.90	9.73	-0.28	0.04	-0.02	0.85	ZS 1,2,4,11,17,128,239	
		18	0.000	Min M _T	4.68	7.71	-0.27	0.01	0.01	0.68	ZS 1,2,12,18,123,135,257	
		18	0.000	Max M _y	7.44	12.27	-0.27	0.01	0.01	1.08	ZS 1,2,11,18,123,135,257	
		158	0.448	Min M _y	3.14	5.18	-0.35	0.04	-0.16	-1.87	ZS 1,2,4,12,17,128,239	
		18	0.000	Max M _z	8.99	14.82	-0.27	0.03	-0.01	1.30	ZS 1,2,4,11,17,119,132,285	
		158	0.448	Min M _z	8.99	14.82	-0.34	0.03	-0.14	-5.34	ZS 1,2,4,11,17,119,132,285	
		KV41	18	0.000	Max N	8.21	13.53	-0.28	0.05	-0.02	1.19	ZS 1,2,4,11,17,119,132,285
		18	0.000	Min N	1.73	2.84	-0.27	0.02	-0.01	0.25	ZS 1,2,12,18,178	
		18	0.000	Max V _y	8.21	13.53	-0.28	0.05	-0.02	1.19	ZS 1,2,4,11,17,119,132,285	
		18	0.000	Min V _y	1.73	2.84	-0.27	0.02	-0.01	0.25	ZS 1,2,12,18,178	
		18	0.000	Max V _z	6.75	11.12	-0.27	0.01	0.00	0.98	ZS 1,2,11,18,123,135,257	
		158	0.448	Min V _z	3.19	5.26	-0.35	0.06	-0.17	-1.90	ZS 1,2,4,12,17,128,239	
		18	0.000	Max M _T	4.68	7.71	-0.27	0.01	0.01	0.68	ZS 1,2,12,18,123,135,257	
		18	0.000	Min M _T	3.98	6.56	-0.27	0.01	0.00	0.58	ZS 1,2,12,18,123,135,257	
		18	0.000	Max M _y	6.75	11.12	-0.27	0.01	0.00	0.98	ZS 1,2,11,18,123,135,257	
		158	0.448	Min M _y	3.19	5.26	-0.35	0.06	-0.17	-1.90	ZS 1,2,4,12,17,128,239	
		18	0.000	Max M _z	8.21	13.53	-0.28	0.05	-0.02	1.19	ZS 1,2,4,11,17,119,132,285	
		158	0.448	Min M _z	8.21	13.53	-0.35	0.05	-0.16	-4.88	ZS 1,2,4,11,17,119,132,285	
69	KV31	63	0.000	Max N	17.33	144.94	434.39	-0.25	-202.61	40.97	ZS 1,2,12,79,135,253	
		63	0.000	Min N	-10.20	239.59	390.74	0.15	-165.07	58.40	ZS 1,2,8,11,117,149,328	
		63	0.000	Max V _y	-4.36	351.53	661.28	-0.40	-277.66	84.46	ZS 1,2,4,12,115,190,287	
		63	0.000	Min V _y	-6.07	-19.13	649.17	0.22	-259.46	2.35	ZS 1,2,8,11,193,303	
		63	0.000	Max V _z	-3.79	115.84	841.65	0.02	-344.65	33.49	ZS 1,2,7,12,84,192,311	
		190	0.300	Min V _z	-2.11	154.42	191.30	0.12	-33.87	-9.37	ZS 1,2,11,206,237	
		63	0.000	Max M _T	-6.06	118.34	702.41	0.49	-261.30	33.63	ZS 1,2,12,119,193,287	
		63	0.000	Min M _T	-1.18	230.25	578.49	-0.69	-249.79	56.45	ZS 1,2,7,11,73,190,300	
		190	0.300	Max M _y	-6.72	185.06	323.50	0.09	-5.74	-9.86	ZS 1,2,11,148,342	
		63	0.000	Min M _y	-2.26	153.97	655.77	-0.05	-371.27	40.62	ZS 1,2,7,12,84,139,253	
		63	0.000	Max M _z	-4.36	351.53	661.28	-0.40	-277.66	84.46	ZS 1,2,4,12,115,190,287	
		190	0.300	Min M _z	-4.93	345.45	663.30	-0.37	-80.76	-21.55	ZS 1,2,4,12,118,190,287	
		KV37	63	0.000	Max N	15.18	145.71	613.20	-0.16	-309.53	40.27	ZS 1,2,12,31
		63	0.000	Min N	-35.77	288.01	192.00	0.39	-22.22	66.66	ZS 1,2,11,18,48	
		63	0.000	Max V _y	-35.31	309.80	200.39	0.44	-22.97	71.46	ZS 1,2,12,18,47	
		63	0.000	Min V _y	-0.89	85.47	205.97	-0.02	-108.81	21.78	ZS 1,2,11,17	
		63	0.000	Max V _z	13.38	130.05	622.78	-0.17	-307.78	36.76	ZS 1,2,12,17,33	
		190	0.300	Min V _z	-32.71	280.89	184.51	0.36	15.83	-19.22	ZS 1,2,11,18,51	
		63	0.000	Max M _T	-25.56	271.62	354.72	0.49	-102.93	60.77	ZS 1,2,12,18,42	
		63	0.000	Min M _T	8.17	104.86	428.28	-0.39	-202.61</			

■ 6.1 PRÚTY - VNÚTORNÉ SÍLY

Kombinácie výsledkov

Typ prútu č.	Uzol č.	Miesto x x [m]		Sily [kN]			Momenty [kNm]			Príslušný zať. stav	
				N	V _y	V _z	M _T	M _y	M _z		
69	KV38	63	0.000	Min V _y	-2.26	79.93	212.41	-0.05	-134.12	20.54	ZS 1,2,8,11,17
		63	0.000	Max V _z	12.63	128.51	631.81	-0.19	-337.46	36.58	ZS 1,2,7,12,17,33
		190	0.300	Min V _z	-32.71	280.89	184.51	0.36	15.83	-19.22	ZS 1,2,11,18,51
		63	0.000	Max M _T	-25.56	271.62	354.72	0.49	-102.93	60.77	ZS 1,2,12,18,42
		63	0.000	Min M _T	7.41	103.32	437.32	-0.41	-232.29	32.95	ZS 1,2,7,11,17,25
		190	0.300	Max M _y	-34.75	286.89	211.35	0.40	43.33	-19.98	ZS 1,2,11,18,46
		63	0.000	Min M _y	13.73	150.53	628.33	-0.17	-339.90	41.53	ZS 1,2,7,12,32
		63	0.000	Max M _z	-35.45	314.39	201.09	0.42	-55.11	72.77	ZS 1,2,4,12,18,48
		190	0.300	Min M _z	-32.17	308.68	239.58	0.44	12.87	-21.88	ZS 1,2,4,12,18,45
	KV40	63	0.000	Max N	17.33	144.94	434.39	-0.25	-202.61	40.97	ZS 1,2,12,79,135,253
		63	0.000	Min N	-29.44	271.81	388.02	0.21	-144.57	65.35	ZS 1,2,8,11,18,117,149,328
		63	0.000	Max V _y	-23.59	383.75	658.57	-0.34	-257.16	91.41	ZS 1,2,4,12,18,115,190,287
		63	0.000	Min V _y	-6.08	-50.55	649.99	0.16	-257.53	-4.73	ZS 1,2,8,11,17,193,303
		63	0.000	Max V _z	-3.81	84.42	842.46	-0.04	-342.72	26.41	ZS 1,2,7,12,17,84,192,311
		190	0.300	Min V _z	-21.35	186.64	188.59	0.18	-14.18	-12.08	ZS 1,2,11,18,206,237
	KV41	63	0.000	Max M _T	-25.29	150.56	699.70	0.55	-240.80	40.58	ZS 1,2,12,18,119,193,287
		63	0.000	Min M _T	-1.20	198.82	579.31	-0.75	-247.86	49.37	ZS 1,2,7,11,17,73,190,300
		190	0.300	Max M _y	-25.96	217.28	320.79	0.14	13.94	-12.58	ZS 1,2,11,18,148,342
		63	0.000	Min M _y	-2.26	153.97	655.77	-0.05	-371.27	40.62	ZS 1,2,7,12,84,139,253
		63	0.000	Max M _z	-23.59	383.75	658.57	-0.34	-257.16	91.41	ZS 1,2,4,12,18,115,190,287
		190	0.300	Min M _z	-24.17	377.67	660.58	-0.32	-61.08	-24.27	ZS 1,2,4,12,18,118,190,287
147	KV41	63	0.000	Max N	13.22	147.90	355.07	-0.15	-176.51	40.10	ZS 1,2,12,79,135,253
		63	0.000	Min N	-29.65	238.31	329.94	0.17	-179.33	57.13	ZS 1,2,8,11,18,117,149,328
		63	0.000	Max V _y	-22.88	342.80	539.97	-0.23	-269.81	81.78	ZS 1,2,4,12,18,115,190,287
		63	0.000	Min V _y	-7.30	-21.89	514.33	0.11	-255.29	0.43	ZS 1,2,8,11,17,193,303
		63	0.000	Max V _z	-4.02	94.98	674.21	-0.04	-339.56	27.71	ZS 1,2,7,12,17,84,192,311
		190	0.300	Min V _z	-21.05	176.64	192.02	0.15	-18.43	-11.24	ZS 1,2,11,18,206,237
		63	0.000	Max M _T	-24.00	157.27	555.85	0.47	-205.45	40.62	ZS 1,2,12,18,119,193,287
		63	0.000	Min M _T	-2.18	170.95	491.38	-0.58	-266.28	43.00	ZS 1,2,7,11,17,73,190,300
		190	0.300	Max M _y	-24.30	187.81	251.52	0.13	-3.66	-11.13	ZS 1,2,11,18,148,342
	KV31	63	0.000	Min M _y	-3.53	156.09	541.28	-0.03	-358.66	40.45	ZS 1,2,7,12,84,139,253
		63	0.000	Max M _z	-22.88	342.80	539.97	-0.23	-269.81	81.78	ZS 1,2,4,12,18,115,190,287
		190	0.300	Min M _z	-23.46	336.72	541.98	-0.21	-109.31	-21.62	ZS 1,2,4,12,18,118,190,287
		129	0.000	Max N	2837.44	9.95	-94.89	18.30	1585.88	25.80	ZS 1,2,4,11,120,220,342
		129	0.000	Min N	538.80	8.23	-41.56	13.68	519.09	10.74	ZS 1,2,12
		129	0.000	Max V _y	1418.56	21.20	-24.48	-28.92	1103.98	28.99	ZS 1,2,6,12,126,169,332
	KV37	129	0.000	Min V _y	2123.56	-1.25	-152.32	106.99	1160.70	0.09	ZS 1,2,11,109,165,239
		129	0.000	Max V _z	2285.51	17.27	62.08	-33.55	800.39	18.55	ZS 1,2,6,11,92,222,321
		47	2.670	Min V _z	1550.59	7.04	-277.33	100.75	925.73	-9.28	ZS 1,2,4,12,120,218,329
		129	0.000	Max M _T	2330.95	5.56	-159.59	155.46	1054.14	7.53	ZS 1,2,11,101,163,275
		129	0.000	Min M _T	1286.48	16.25	-23.50	-65.74	970.77	21.18	ZS 1,2,4,12,170,342
		129	0.000	Max M _y	2779.22	8.84	-195.53	60.61	1737.37	20.68	ZS 1,2,4,11,122,219,334
		47	2.670	Min M _y	907.01	11.17	-51.70	0.36	330.78	-16.28	ZS 1,2,6,12,228,321
		129	0.000	Max M _z	1611.61	15.18	-82.29	17.55	1496.05	32.82	ZS 1,2,6,12,116,220,332
		47	2.670	Min M _z	1347.97	21.10	-30.91	-19.90	1039.81	-31.93	ZS 1,2,6,12,222,325
	KV38	129	0.000	Max N	2636.50	7.25	-112.91	111.64	1304.57	11.21	ZS 1,2,11,17,57
		129	0.000	Min N	419.00	6.57	-42.37	14.40	519.12	11.24	ZS 1,2,12,18
		47	2.670	Max V _y	982.05	21.18	-27.83	56.18	380.42	-27.72	ZS 1,2,6,12,18,44
		129	0.000	Min V _y	293.01	20.01	-29.58	60.07	381.11	-26.14	ZS 1,2,12,18,44
		129	0.000	Max V _z	2168.56	3.42	-90.16	-49.76	1243.28	10.71	ZS 1,2,11,18,65
		47	2.670	Min V _z	2118.32	8.97	-10.29	-109.24	732.54	13.32	ZS 1,2,11,17,70
		129	0.000	Max M _T	2304.39	4.44	-109.26	191.65	903.37	-13.28	ZS 1,2,12,18,54
		129	0.000	Min M _T	1074.83	12.12	-18.12	-115.51	821.28	17.51	ZS 1,2,12,17,69
		129	0.000	Max M _y	2576.83	4.81	-119.16	26.74	1375.48	9.89	ZS 1,2,11,17,61
47	KV40	129	0.000	Min M _y	957.08	20.00	-27.84	72.33	379.09	-26.24	ZS 1,2,12,18,45
		129	0.000	Max M _z	833.94	11.31	-19.67	-113.34	818.39	19.95	ZS 1,2,12,18,69
		47	2.670	Min M _z	957.08	20.00	-27.84	72.33	379.09	-26.24	ZS 1,2,12,18,45
		129	0.000	Max N	2747.18	8.10	-118.20	106.81	1365.78	12.08	ZS 1,2,4,11,17,57
		129	0.000	Min N	419.00	6.57	-42.37	14.40	519.12	11.24	ZS 1,2,12,18
		47	2.670	Max V _y	982.05	21.18	-27.83	56.18	380.42	-27.72	ZS 1,2,6,12,18,44
	KV41	129	0.000	Min V _y	2168.56	3.42	-90.16	-49.76	1243.28	10.71	ZS 1,2,11,18,65
		129	0.000	Max V _z	2117.37	10.15	-8.54	-113.13	727.19	14.89	ZS 1,2,6,11,17,70
		47	2.670	Min V _z	1365.17	13.27	-140.01	174.39	801.15	-14.68	ZS 1,2,4,12,18,54
		129	0.000	Max M _T	2304.39	4.44	-109.26	191.65	903.37	8.64	ZS 1,2,11,18,52
		129	0.000	Min M _T	1185.51	12.97	-23.40	-120.33	882.49	18.39	ZS 1,2,4,12,17,69
		129	0.000	Max M _y	2687.51	5.66	-124.45	21.91	1436.68	10.76	ZS 1,2,4,11,17,61
47	KV41	47	2.670	Min M _y	1016.12	21.18	-26.10	68.43	378.40	-27.81	ZS 1,2,6,12,18,45
		129	0.000	Max M _z	892.98	12.48	-17.93	-117.23	813.03	21.52	ZS 1,2,6,12,18,69
		47	2.670	Min M _z	1016.12	21.18	-26.10	68.43	378.40	-27.81	ZS 1,2,6,12,18,45
		129	0.000	Max N	2756.24	8.32	-86.36	16.34	1380.53	19.63	ZS 1,2,4,11,17,120,220,342
		129	0.000	Min N	419.00	6.57	-42.37	14.40	519.12	11.24	ZS 1,2,12,18
		47	2.670	Max V _y	1102.76	23.07	-29.97	-22.38	827.80	-27.23	ZS 1,2,6,12,18,126,169,332
47	KV40	129	0.000	Min V _y	1933.78	-1.25	-128.11	93.88	1030.00	2.68	ZS 1,2,11,18,109,165,239
		129	0.000	Max V _z	2310.07	14.57	38.52	-28.05	732.57	15.50	ZS 1,2,6,11,17,92,222,321
		47	2.670	Min V _z	1309.38	11.68	-222.87	72.46	859.97	-12.94	ZS 1,2,4,12,18,218,329

■ 6.1 PRÚTY - VNÚTORNÉ SÍLY

Kombinácie výsledkov

Typ prútu č.	KZS	Uzol č.	Miesto x x [m]		Síly [kN]			Momenty [kNm]			Príslušný zať. stav	
147	KV41	129	0.000	Max M_T	1985.15	3.14	-124.02	121.22	897.05	7.28	ZS 1,2,11,18,101,163,275	
		129	0.000	Min M_T	1260.93	13.74	-29.95	-55.21	889.28	16.74	ZS 1,2,4,12,17,170,342	
		129	0.000	Max M_y	2723.54	7.41	-161.84	45.75	1493.11	15.58	ZS 1,2,4,11,17,122,219,334	
		47	2.670	Min M_y	731.04	15.31	-51.56	-4.56	345.11	-18.57	ZS 1,2,6,12,18,228,321	
		129	0.000	Max M_z	1246.89	12.83	-64.01	12.49	1187.18	29.64	ZS 1,2,6,12,18,116,220,332	
		47	2.670	Min M_z	1092.25	23.02	13.56	-17.34	894.31	-30.35	ZS 1,2,6,12,18,126,222,325	
198	KV31	35	0.000	Max N	-517.13	2354.80	-821.94	1123.76	522.13	-789.22	ZS 1,2,11,106,128,239	
		35	0.000	Min N	-2461.30	2999.57	-294.01	946.34	883.84	-1087.08	ZS 1,2,4,12,194,342	
		35	0.000	Max V_y	-2022.62	4027.25	-386.46	1509.72	1028.53	-1238.79	ZS 1,2,4,12,117,137,284	
		35	0.000	Min V_y	-896.06	1295.15	-220.86	455.78	327.00	-520.68	ZS 1,2,11,177	
		35	0.000	Max V_z	-1561.70	2528.49	-197.40	854.67	684.01	-816.25	ZS 1,2,12,137	
		14	0.346	Min V_z	-862.71	1809.58	-911.55	839.69	297.57	-1384.72	ZS 1,2,4,11,73,182,243	
		35	0.000	Max M_T	-1623.85	3813.03	-603.64	1689.37	1076.89	-1118.32	ZS 1,2,8,12,108,130,281	
		35	0.000	Min M_T	-1086.28	1362.54	-227.49	450.01	325.87	-567.59	ZS 1,2,4,11,177	
		35	0.000	Max M_y	-1827.63	3759.74	-469.33	1572.67	1146.35	-1139.46	ZS 1,2,12,120,131,342	
		14	0.346	Min M_y	-756.22	1434.33	-592.19	518.06	73.61	-1123.86	ZS 1,2,8,11,127,237	
		35	0.000	Max M_z	-847.95	1315.83	-220.51	467.97	310.34	-510.64	ZS 1,2,11	
		14	0.346	Min M_z	-2300.90	3949.33	-362.59	1341.40	878.48	-2658.65	ZS 1,2,4,12,113,188,340	
		KV37	35	0.000	Max N	-269.77	2146.18	-765.78	974.41	478.75	-745.37	ZS 1,2,11,18,20
		35	0.000	Min N	-2371.90	3320.62	-189.48	1128.43	1130.46	-1130.11	ZS 1,2,12,17,37	
		35	0.000	Max V_y	-1589.28	4028.81	-180.52	1448.03	954.18	-1126.89	ZS 1,2,12,18,35	
		35	0.000	Min V_y	-1233.40	972.53	-230.48	308.98	462.80	-526.63	ZS 1,2,11,17	
		35	0.000	Max V_z	-1610.08	4005.15	-173.06	1434.32	869.21	-1110.32	ZS 1,2,12,18,37	
		14	0.346	Min V_z	-1031.60	1461.65	-785.10	668.52	468.54	-1271.50	ZS 1,2,11,17,20	
		35	0.000	Max M_T	-1301.07	3894.42	-455.99	1614.62	1116.36	-1100.17	ZS 1,2,12,18,30	
		35	0.000	Min M_T	-1233.40	972.53	-230.48	308.98	462.80	-526.63	ZS 1,2,11,17	
		35	0.000	Max M_y	-2062.90	3209.89	-472.41	1308.72	1377.61	-1119.96	ZS 1,2,12,17,30	
		14	0.346	Min M_y	-471.58	1657.06	-216.98	614.87	126.89	-1080.87	ZS 1,2,11,18	
		35	0.000	Max M_z	-471.58	1657.06	-214.06	614.87	201.55	-506.84	ZS 1,2,11,18	
		14	0.346	Min M_z	-1560.65	4026.81	-201.01	1467.81	931.73	-2523.74	ZS 1,2,12,18,34	
		KV38	35	0.000	Max N	-269.77	2146.18	-765.78	974.41	478.75	-745.37	ZS 1,2,11,18,20
		35	0.000	Min N	-2562.12	3388.02	-196.11	1122.67	1129.34	-1177.02	ZS 1,2,4,12,17,37	
		35	0.000	Max V_y	-1779.51	4096.21	-187.15	1442.26	953.05	-1173.80	ZS 1,2,4,12,18,35	
		35	0.000	Min V_y	-1233.40	972.53	-230.48	308.98	462.80	-526.63	ZS 1,2,11,17	
		35	0.000	Max V_z	-1610.08	4005.15	-173.06	1434.32	869.21	-1110.32	ZS 1,2,12,18,37	
		14	0.346	Min V_z	-1221.82	1529.04	-791.74	662.75	465.11	-1341.75	ZS 1,2,4,11,17,20	
		35	0.000	Max M_T	-1360.06	3934.84	-460.18	1616.39	1088.07	-1114.96	ZS 1,2,8,12,18,30	
		35	0.000	Min M_T	-1423.63	1039.93	-237.11	303.22	461.67	-573.54	ZS 1,2,4,11,17	
		35	0.000	Max M_y	-2062.90	3209.89	-472.41	1308.72	1377.61	-1119.96	ZS 1,2,12,17,30	
		14	0.346	Min M_y	-530.56	1697.48	-221.16	616.65	97.14	-1109.66	ZS 1,2,8,11,18	
		35	0.000	Max M_z	-471.58	1657.06	-214.06	614.87	201.55	-506.84	ZS 1,2,11,18	
		14	0.346	Min M_z	-1750.87	4094.21	-207.64	1462.04	928.30	-2593.99	ZS 1,2,4,12,18,34	
		KV40	35	0.000	Max N	-140.75	2696.03	-815.49	1270.67	413.33	-785.42	ZS 1,2,11,18,106,128,239
		35	0.000	Min N	-2846.75	2656.27	-303.98	787.35	1036.29	-1103.07	ZS 1,2,4,12,17,194,342	
		35	0.000	Max V_y	-1646.24	4368.48	-380.01	1656.63	919.73	-1234.99	ZS 1,2,4,12,18,117,137,284	
		35	0.000	Min V_y	-1281.51	951.85	-230.83	296.79	479.45	-536.67	ZS 1,2,11,17,177	
		35	0.000	Max V_z	-1185.32	2869.72	-190.96	1001.58	575.21	-812.45	ZS 1,2,12,18,137	
		14	0.346	Min V_z	-1248.15	1466.28	-92.52	680.70	446.57	-1281.78	ZS 1,2,4,11,17,73,182,243	
		35	0.000	Max M_T	-1247.47	4154.26	-597.20	1836.28	968.09	-1114.52	ZS 1,2,8,12,18,108,130,281	
		35	0.000	Min M_T	-1471.73	1019.24	-237.46	291.03	478.32	-583.58	ZS 1,2,4,11,17,177	
		35	0.000	Max M_y	-2213.08	3416.44	-479.30	1413.68	1298.81	-1155.45	ZS 1,2,12,17,120,131,342	
		14	0.346	Min M_y	-379.84	1775.56	-585.74	664.97	-32.95	-1238.26	ZS 1,2,8,11,18,127,237	
		35	0.000	Max M_z	-471.58	1657.06	-214.06	614.87	201.55	-506.84	ZS 1,2,11,18	
		14	0.346	Min M_z	-1924.52	4290.56	-356.15	1488.30	771.91	-2773.05	ZS 1,2,4,12,18,113,188,340	
211	KV41	35	0.000	Max N	-194.36	2658.85	-663.13	1216.84	382.22	-752.26	ZS 1,2,11,18,106,128,239	
		35	0.000	Min N	-2701.66	2414.09	-267.01	698.06	865.98	-1007.02	ZS 1,2,4,12,17,194,342	
		35	0.000	Max V_y	-1631.48	4085.74	-341.09	1529.95	748.84	-1150.77	ZS 1,2,4,12,18,117,137,284	
		35	0.000	Min V_y	-1269.39	957.06	-230.74	299.86	475.26	-534.14	ZS 1,2,11,17,177	
		35	0.000	Max V_z	-1131.57	2783.95	-193.60	982.55	537.47	-780.86	ZS 1,2,12,18,137	
		14	0.346	Min V_z	-1547.39	1503.90	-760.68	602.17	414.52	-1321.73	ZS 1,2,4,11,17,73,182,243	
		35	0.000	Max M_T	-1110.41	3874.23	-491.58	1681.53	744.34	-999.58	ZS 1,2,8,12,18,108,130,281	
		35	0.000	Min M_T	-1744.95	1125.54	-247.32	285.45	474.44	-651.41	ZS 1,2,4,11,17,177	
		35	0.000	Max M_y	-1868.93	3092.29	-397.67	1302.42	1104.67	-1000.60	ZS 1,2,12,17,120,131,342	
		14	0.346	Min M_y	-511.45	1813.94	-486.58	653.11	-40.78	-1244.79	ZS 1,2,8,11,18,127,237	
		35	0.000	Max M_z	-471.58	1657.06	-214.06	614.87	201.55	-506.84	ZS 1,2,11,18	
		14	0.346	Min M_z	-1791.04	4040.19	-319.50	1410.10	613.47	-2584.31	ZS 1,2,4,12,18,113,188,340	
		KV31	4.082	Max N	203.46	28.43	33.40	-3.49	1120.22	5.40	ZS 1,2,11,90,144,268	
		188	0.000	Min N	-237.80	112.82	930.86	-15.77	124.29	-22.75	ZS 1,2,11,17,177,342	
		188	0.000	Max V_y	-129.65	351.78	773.53	-93.39	114.98	-83.69	ZS 1,2,12,118,196,288	
		7	8.675	Min V_y	-9.43	-235.83	-521.25	21.07	-8.38	-64.93	ZS 1,2,4,12,119,157,342	
		188	0.000	Max V_z	-141.92	99.23	956.13	-12.25	103.40	-24.11	ZS 1,2,12,122,197,323	
		7	8.675	Min V_z	155.24	8.16	-820.44	-18.37	-154.76	-20.23	ZS 1,2,12,90,144,263	
		188	0.000	Max M_T	-187.08	-226.38	733.99	126.98	80.33	58.32	ZS 1,2,8,11,198,314	
		1.531	Min M_T	50.45	23.13	206.06	-107.97	432.77	-49.69	ZS 1,2,4,11,78,142,253		
		4.082	Max M_y	201.34	40.43	34.00	-6.83	1125.40	5.62	ZS 1,2,11,122,144,288		
		7	8.675									

■ 6.1 PRÚTY - VNÚTORNÉ SÍLY

Kombinácie výsledkov

Typ prútu č.	KZS	Uzol č.	Miesto x x [m]		Sily [kN]			Momenty [kNm]			Príslušný zať. stav
					N	V _y	V _z	M _T	M _y	M _z	
211	KV37	7	8.675	Min M _y	174.35	26.72	-834.62	-17.03	-149.58	-14.07	ZS 1,2,12,36
			4.082	Max M _z	111.34	52.51	78.99	63.11	1002.15	131.40	ZS 1,2,12,18,46
			4.593	Min M _z	101.95	9.73	-95.06	18.52	942.98	-115.65	ZS 1,2,11,30
	KV38	7	8.675	Max N	180.66	-15.33	-837.33	-13.78	-151.53	-26.35	ZS 1,2,4,12,37
			8.675	Min N	-236.08	-367.77	-285.48	24.49	91.22	-96.46	ZS 1,2,11,17,51
		188	0.000	Max V _y	6.50	286.95	160.63	-23.90	37.85	-84.32	ZS 1,2,12,18,53
		7	8.675	Min V _y	-142.46	-394.84	-260.08	37.72	79.27	-105.21	ZS 1,2,4,12,17,53
		188	0.000	Max V _z	-27.85	31.04	479.49	17.22	79.42	-14.72	ZS 1,2,12,17,39
		7	8.675	Min V _z	170.48	6.71	-845.74	-18.83	-145.17	-19.90	ZS 1,2,12,18,38
			3.062	Max M _T	97.20	36.93	182.22	114.38	786.21	108.17	ZS 1,2,8,12,18,46
			3.572	Min M _T	90.83	7.98	151.08	-114.74	846.33	-104.32	ZS 1,2,4,11,17,30
			4.593	Max M _y	131.43	-52.20	-157.16	-18.28	1493.91	5.84	ZS 1,2,11,17,38
		7	8.675	Min M _y	180.58	15.00	-829.65	-15.66	-152.86	-17.55	ZS 1,2,4,12,36
	KV40	4.082	Max M _z	111.22	49.57	79.48	63.49	995.25	132.77	ZS 1,2,8,12,18,46	
			4.593	Min M _z	101.95	9.73	-95.06	18.52	942.98	-115.65	ZS 1,2,11,30
		188	0.000	Max N	203.46	28.43	33.40	-3.49	1120.22	5.40	ZS 1,2,11,90,144,268
			188	Min N	-254.66	155.87	932.38	-21.48	131.47	-34.23	ZS 1,2,11,18,117,197,342
		7	8.675	Max V _y	-146.50	394.83	775.06	-99.10	122.17	-95.17	ZS 1,2,12,18,118,196,288
		188	0.000	Min V _y	-91.50	-279.66	-514.95	28.05	27.11	-73.85	ZS 1,2,4,12,17,119,157,342
		7	8.675	Max V _z	-143.44	56.99	957.85	-6.03	103.98	-12.45	ZS 1,2,12,17,122,197,323
		188	0.000	Min V _z	153.61	50.74	-822.38	-24.76	-154.31	-8.52	ZS 1,2,12,18,90,144,263
		188	0.000	Max M _T	-188.61	-268.62	735.71	133.20	80.92	69.98	ZS 1,2,8,11,17,198,314
	KV41	4.082	Min M _T	-90.95	331.32	482.18	-110.36	94.63	-71.93	ZS 1,2,12,18,119,195,252	
			4.082	Max M _y	196.17	-23.59	36.17	-9.39	1133.18	5.77	ZS 1,2,11,17,122,144,288
		7	8.675	Min M _y	171.66	7.90	-806.74	-13.43	-165.34	-18.80	ZS 1,2,4,12,89,144,258
			4.082	Max M _z	76.38	92.50	6.65	8.53	840.99	76.75	ZS 1,2,8,12,18,114,147,342
		188	0.000	Min M _z	-86.52	384.86	779.10	-97.47	81.44	-96.48	ZS 1,2,4,12,18,111,196,288
		188	0.000	Max N	182.59	100.53	136.46	-11.48	-72.33	-36.87	ZS 1,2,4,12,209
		7	8.675	Min N	-206.41	-156.60	-401.80	7.12	63.13	-39.38	ZS 1,2,11,17,117,154,247
		188	0.000	Max V _y	-87.28	338.09	598.57	-80.69	85.74	-83.65	ZS 1,2,12,18,118,196,288
		7	8.675	Min V _y	-83.00	-257.48	-474.56	26.60	24.11	-67.55	ZS 1,2,4,12,17,119,157,342
	296	188	0.000	Max V _z	-73.64	73.16	732.72	-9.90	66.03	-19.36	ZS 1,2,12,17,122,197,323
		7	8.675	Min V _z	115.92	41.81	-724.86	-22.31	-119.81	-7.00	ZS 1,2,12,18,90,144,263
		188	0.000	Max M _T	-102.99	-208.64	545.88	102.15	34.19	52.04	ZS 1,2,8,11,17,198,314
		7.144	Min M _T	25.58	-76.96	-260.88	-93.95	473.46	22.42	ZS 1,2,4,11,17,115,147,342	
			4.593	Max M _y	156.23	-23.96	-74.38	-6.91	916.66	4.33	ZS 1,2,11,17,122,144,288
		7	8.675	Min M _y	138.47	-26.07	-704.91	-8.87	-132.56	-24.49	ZS 1,2,4,12,89,144,258
			4.082	Max M _z	69.39	102.05	23.22	11.47	693.02	62.50	ZS 1,2,8,12,18,114,147,342
		188	0.000	Min M _z	102.85	10.58	-15.17	0.01	8.70	-86.30	ZS 1,2,4,12,18,111,196,288
	KV31	235	4.490	Max N	1026.77	10.44	-16.70	0.02	7.70	-22.42	ZS 1,2,11,123,137,287
		234	0.000	Min N	367.43	0.98	-6.05	0.01	30.32	1.02	ZS 1,2,4,12,128,239
		234	0.000	Max V _y	1009.07	14.00	-14.13	0.01	72.10	33.04	ZS 1,2,11,114,138,288
		235	4.490	Min V _y	465.75	-4.16	-12.15	0.01	2.37	9.27	ZS 1,2,4,12,74,129,242
		234	0.000	Max V _z	490.58	5.93	-2.90	0.00	22.66	11.31	ZS 1,2,11,145,237
		234	0.000	Min V _z	730.32	7.41	-23.39	0.02	107.25	17.61	ZS 1,2,4,12,78,134,250
		234	0.000	Max M _T	709.72	6.15	-23.27	0.02	106.78	14.43	ZS 1,2,6,12,78,133,250
		234	0.000	Min M _T	487.84	5.96	-2.92	0.00	22.90	11.34	ZS 1,2,8,11,145,236
		234	0.000	Max M _y	735.25	7.53	-23.35	0.02	107.35	17.91	ZS 1,2,4,12,78,134,251
	KV37	235	4.490	Min M _y	621.86	2.30	-19.00	0.02	-0.49	-4.71	ZS 1,2,11,73,134,246
		234	0.000	Max M _z	1007.75	14.00	-14.06	0.01	71.83	33.05	ZS 1,2,11,125,138,288
		235	4.490	Min M _z	992.69	17.19	-6.51	0.01	62.46	40.27	ZS 1,2,11,17,35
		235	4.490	Max N	1002.55	13.41	-18.13	0.02	14.95	-28.08	ZS 1,2,11,18,34
		234	0.000	Min N	402.92	4.48	3.00	-0.00	8.42	8.73	ZS 1,2,12,17
		234	0.000	Max V _y	992.69	17.19	-6.51	0.01	62.46	40.27	ZS 1,2,11,17,35
		235	4.490	Min V _y	428.62	-4.79	-13.36	0.01	1.65	9.66	ZS 1,2,12,18,19
		234	0.000	Max V _z	762.98	7.98	9.06	-0.01	-4.13	14.90	ZS 1,2,11,17,44
		234	0.000	Min V _z	777.51	7.80	-26.34	0.03	120.34	20.10	ZS 1,2,12,18,27
	KV38	234	0.000	Max M _T	777.51	7.80	-26.34	0.03	120.34	20.10	ZS 1,2,12,18,27
		234	0.000	Min M _T	743.12	7.34	8.82	-0.01	-4.48	13.25	ZS 1,2,11,17,45
		234	0.000	Max M _y	891.65	11.01	-25.70	0.03	123.36	27.67	ZS 1,2,12,18,30
		234	0.000	Min M _y	743.12	7.34	8.82	-0.01	-4.48	13.25	ZS 1,2,11,17,45
		234	0.000	Max M _z	992.69	17.19	-6.51	0.01	62.46	40.27	ZS 1,2,11,17,35
		235	4.490	Min M _z	995.58	13.91	-9.56	0.01	26.38	-29.55	ZS 1,2,11,17,35
		235	4.490	Max N	1029.16	10.37	-16.78	0.02	8.41	-22.20	ZS 1,2,11,18,123,137,287
		234	0.000	Min N	366.74	1.16	2.49	-0.00	9.37	1.34	ZS 1,2,4,12,17,128,239
		234	0.000	Max V _y	1008.38	14.18	-5.59	0.01	51.16	33.36	ZS 1,2,11,17,114,138,288
	KV40	235	4.490	Min V _y	468.14	-4.23	-12.23	0.01	3.08	9.49	ZS 1,2,4,12,18,74,129,242
		234	0.000	Max V _z	489.89	6.10	5.64	-0.01	1.72	11.64	ZS 1,2,11,17,145,237
		234	0.000	Min V _z	732.70	7.35	-23.47	0.02	108.34	17.53	ZS 1,2,4,12,18,78,134,250
		234	0.000	Max M _T	712.11	6.08	-23.36	0.02	107.88	14.35	ZS 1,2,6,12,18,78,133,250
		234	0.000	Min M _T	487.15	6.14	5.62	-0.01	1.96	11.67	ZS 1,2,8,11,17,145,236
		234	0.000	Max M _y	737.64	7.46	-23.44	0.02	108.45	17.83	ZS 1,2,4,12,18,78,134,251
		234	0.000	Min M _y	395.05	3.60	4.58	-0.00	-0.84	6.31	ZS 1,2,11,17,127,237
		234	0.000	Max M _z	1007.06	14.17	-5.52	0.01	50.89	33.37	ZS 1,2,11,17,125,138,288
		235	4.490	Min M _z	1025.13	10.76	-9.68	0.01	19.25	-23.20	ZS 1,2,11,17,123,138,288

■ 6.1 PRÚTY - VNÚTORNÉ SÍLY

Kombinácie výsledkov

Typ prútu č.	Uzol č.	Miesto x x [m]		Sily [kN]			Momenty [kNm]			Príslušný zať. stav	
				N	V _y	V _z	M _T	M _y	M _z		
296	KV41	235	4.490	Max N	923.80	8.74	-13.90	0.01	7.15	-19.14	ZS 1,2,11,18,123,137,287
		234	0.000	Min N	362.85	1.97	2.51	-0.00	10.00	3.04	ZS 1,2,4,12,17,128,239
		234	0.000	Max V _y	903.26	12.51	-3.10	0.00	38.44	29.03	ZS 1,2,11,17,114,138,288
		235	4.490	Min V _y	457.32	-3.22	-11.06	0.01	3.78	7.09	ZS 1,2,4,12,18,74,129,242
		234	0.000	Max V _z	472.67	6.03	5.14	-0.00	2.59	11.51	ZS 1,2,11,17,145,237
		234	0.000	Min V _z	663.64	6.51	-19.45	0.02	91.18	15.04	ZS 1,2,4,12,18,78,134,250
		234	0.000	Max M _T	649.38	5.56	-19.34	0.02	90.66	12.67	ZS 1,2,6,12,18,78,133,250
		234	0.000	Min M _T	463.17	5.85	5.10	-0.00	3.01	11.02	ZS 1,2,8,11,17,145,236
		234	0.000	Max M _y	665.61	6.55	-19.44	0.02	91.22	15.15	ZS 1,2,4,12,18,78,134,251
		235	4.490	Min M _y	579.11	2.05	-15.07	0.01	0.44	-4.51	ZS 1,2,11,73,134,246
		234	0.000	Max M _z	901.94	12.51	-3.02	0.00	38.17	29.04	ZS 1,2,11,17,125,138,288
		235	4.490	Min M _z	920.01	9.09	-7.19	0.00	17.74	-20.06	ZS 1,2,11,17,123,138,288
298	KV31	11	0.000	Max N	1078.32	1.86	-4.24	0.01	-9.63	1.86	ZS 1,2,8,11,116,157,286
		69	8.810	Min N	-0.33	-2.36	5.77	0.00	25.37	2.91	ZS 1,2,4,12,82,141,256
		11	0.000	Max V _y	381.63	5.01	-0.44	0.01	-15.37	11.47	ZS 1,2,4,12,89,150,264
		69	8.810	Min V _y	872.09	-3.84	-0.74	0.00	-19.44	11.35	ZS 1,2,7,11,125,160,251
		11	0.000	Max V _z	28.39	2.99	6.58	0.00	-27.62	5.23	ZS 1,2,11,82,143,257
		11	0.000	Min V _z	862.21	3.23	-7.05	0.01	-2.82	6.33	ZS 1,2,4,12,98,155,271
		11	0.000	Max M _T	885.99	3.09	-7.05	0.01	-3.21	5.91	ZS 1,2,4,12,99,155,271
		11	0.000	Min M _T	233.17	2.67	4.35	-0.00	-20.68	4.17	ZS 1,2,11,82,168,253
		69	8.810	Max M _y	21.57	-2.23	6.58	0.00	30.31	1.90	ZS 1,2,11,82,143,257
		69	8.810	Min M _y	887.60	-2.16	-7.04	0.01	-65.34	1.86	ZS 1,2,4,12,99,155,272
		11	0.000	Max M _z	389.90	5.01	-0.34	0.01	-14.92	11.48	ZS 1,2,12,89,150,264
		69	8.810	Min M _z	374.80	-0.20	-0.44	0.01	-19.20	-9.72	ZS 1,2,4,12,89,150,264
298	KV37	11	0.000	Max N	1520.71	0.86	-11.23	0.01	3.10	-1.20	ZS 1,2,11,18,53
		69	8.810	Min N	-97.41	-2.44	17.74	-0.01	91.01	3.44	ZS 1,2,12,17,32
		11	0.000	Max V _y	484.61	5.40	4.02	0.00	-33.50	12.52	ZS 1,2,12,17,41
		69	8.810	Min V _y	1358.15	-5.42	-4.38	0.00	-49.08	20.32	ZS 1,2,11,18,57
		69	8.810	Max V _z	-77.51	-2.03	18.55	-0.01	93.16	0.70	ZS 1,2,11,17,34
		11	0.000	Min V _z	1451.87	2.40	-13.13	0.01	6.75	3.70	ZS 1,2,12,50
		11	0.000	Max M _T	1319.32	3.36	-12.13	0.02	3.79	6.52	ZS 1,2,12,18,48
		11	0.000	Min M _T	829.91	1.55	7.90	-0.01	-34.04	0.41	ZS 1,2,11,17,64
		69	8.810	Max M _y	-94.33	-2.32	18.35	-0.01	93.42	2.41	ZS 1,2,11,17,33
		69	8.810	Min M _y	1445.05	-2.82	-13.13	0.01	-108.93	5.56	ZS 1,2,12,50
		69	8.810	Max M _z	1358.15	-5.42	-4.38	0.00	-49.08	20.32	ZS 1,2,11,18,57
		69	8.810	Min M _z	477.78	0.19	10.01	0.00	28.33	-12.11	ZS 1,2,12,17,41
298	KV38	11	0.000	Max N	1523.07	0.86	-11.24	0.01	2.95	-1.20	ZS 1,2,8,11,18,53
		69	8.810	Min N	-105.67	-2.44	17.65	-0.01	89.70	3.43	ZS 1,2,4,12,17,32
		11	0.000	Max V _y	476.34	5.40	3.92	0.00	-33.95	12.51	ZS 1,2,4,12,17,41
		69	8.810	Min V _y	1358.68	-5.44	-4.39	0.00	-49.47	20.43	ZS 1,2,7,11,18,57
		69	8.810	Max V _z	-77.51	-2.03	18.55	-0.01	93.16	0.70	ZS 1,2,11,17,34
		11	0.000	Min V _z	1443.60	2.40	-13.23	0.01	6.30	3.69	ZS 1,2,4,12,50
		11	0.000	Max M _T	1311.05	3.36	-12.23	0.02	3.34	6.51	ZS 1,2,4,12,18,48
		11	0.000	Min M _T	829.91	1.55	7.90	-0.01	-34.04	0.41	ZS 1,2,11,17,64
		69	8.810	Max M _y	-94.33	-2.32	18.35	-0.01	93.42	2.41	ZS 1,2,11,17,33
		69	8.810	Min M _y	1436.78	-2.82	-13.23	0.01	-110.23	5.55	ZS 1,2,4,12,50
		69	8.810	Max M _z	1358.68	-5.44	-4.39	0.00	-49.47	20.43	ZS 1,2,7,11,18,57
		69	8.810	Min M _z	469.51	0.19	9.92	0.00	27.02	-12.12	ZS 1,2,4,12,17,41
298	KV40	11	0.000	Max N	1082.68	1.85	-4.17	0.01	-9.82	1.81	ZS 1,2,8,11,18,116,157,286
		69	8.810	Min N	-3.10	-2.35	15.48	-0.01	75.47	2.91	ZS 1,2,4,12,17,82,141,256
		11	0.000	Max V _y	378.86	5.02	3.28	-0.00	-24.40	11.50	ZS 1,2,4,12,17,89,150,264
		69	8.810	Min V _y	876.45	-3.85	-0.66	0.00	-18.97	11.37	ZS 1,2,7,11,18,125,160,251
		69	8.810	Max V _z	18.80	-2.23	16.28	-0.01	80.40	1.90	ZS 1,2,11,17,82,143,257
		11	0.000	Min V _z	862.21	3.23	-7.05	0.01	-2.82	6.33	ZS 1,2,4,12,98,155,271
		11	0.000	Max M _T	829.91	1.55	7.90	-0.01	-34.04	0.41	ZS 1,2,11,17,64
		69	8.810	Max M _y	-94.33	-2.32	18.35	-0.01	93.42	2.41	ZS 1,2,11,17,33
		69	8.810	Min M _y	1436.78	-2.82	-13.23	0.01	-110.23	5.55	ZS 1,2,4,12,50
		69	8.810	Max M _z	1358.68	-5.44	-4.39	0.00	-49.47	20.43	ZS 1,2,7,11,18,57
		69	8.810	Min M _z	469.51	0.19	9.92	0.00	27.02	-12.12	ZS 1,2,4,12,17,41
298	KV41	11	0.000	Max N	953.73	2.01	-2.90	0.00	-9.60	2.23	ZS 1,2,8,11,18,116,157,286
		69	8.810	Min N	-57.13	-2.37	13.80	-0.01	64.43	2.98	ZS 1,2,4,12,17,82,141,256
		11	0.000	Max V _y	351.36	4.54	3.41	-0.00	-23.76	10.04	ZS 1,2,4,12,17,89,150,264
		69	8.810	Min V _y	853.21	-3.63	-0.64	0.00	-18.86	10.00	ZS 1,2,7,11,18,125,160,251
		69	8.810	Max V _z	87.97	-2.32	14.59	-0.01	70.56	2.40	ZS 1,2,11,17,82,143,257
		11	0.000	Min V _z	753.06	3.17	-5.32	0.01	-5.02	6.08	ZS 1,2,4,12,98,155,271
		11	0.000	Max M _T	781.20	3.02	-5.24	0.01	-5.60	5.60	ZS 1,2,4,12,18,99,155,271
		69	8.810	Max M _y	18.80	-2.23	16.28	-0.01	80.40	1.90	ZS 1,2,11,17,82,143,257
		69	8.810	Min M _y	887.60	-2.16	-7.04	0.01	-65.34	1.86	ZS 1,2,4,12,99,155,272
		11	0.000	Max M _z	387.13	5.02	3.38	-0.00	-23.96	11.51	ZS 1,2,12,17,89,150,264
		69	8.810	Min M _z	372.03	-0.20	9.27	-0.00	30.89	-9.73	ZS 1,2,4,12,17,89,150,264
298	KV31	248	4.490	Max N	1397.10	23.71	-12.68	0.02	3.17	-46.59	ZS 1,2,4,11,115,220,336
		247	0.000	Min N	459.82	-1.00	-3.32	0.00	14.96	-2.08	ZS 1,2,12,230,236
		247	0.000	Max V _y	1376.74	28.64	-10.57	0.01	50.83	7.10	ZS 1,2,4,11,113,220,333
		248	4.490	Min V _y	523.07	-6.93	-7.05	0.01	-0.73	13.82	ZS 1,2,12,228
		247	0.000	Max V _z	977.66	11.76	2.59	-0.01	2.09	24.74	ZS 1,2,4,11,96,159,272
		247	0.000	Min V _z	1136.60	13.64	-25.14	0.03	115.16	32.64	ZS 1,2,6,12,116,171,285
		247	0.000	Max M _T	1132.72	13.34	-25.06	0.03	114.82	31.94	ZS 1,2,6,12,117,171,285
		247	0.000	Min M _T	973.03	11.67	2.56	-0.01	1.78	24.49	ZS 1,2,

■ 6.1 PRÚTY - VNÚTORNÉ SÍLY

Kombinácie výsledkov

Typ prútu č.	KZS	Uzol č.	Miesto x x [m]		Síly [kN]			Momenty [kNm]			Príslušný zať. stav
309	KV37	248	4.490	Min V_y	678.45	-1.37	-20.48	0.03	-7.12	3.39	ZS 1,2,12,72
		247	0.000	Max V_z	972.97	11.98	11.63	-0.01	-10.15	24.82	ZS 1,2,11,18,49
		247	0.000	Min V_z	990.00	13.84	-30.09	0.04	130.56	36.20	ZS 1,2,12,65
		247	0.000	Max M_T	990.00	13.84	-30.09	0.04	130.56	36.20	ZS 1,2,12,65
		247	0.000	Min M_T	929.65	10.25	11.23	-0.01	-11.74	20.26	ZS 1,2,11,18,47
		247	0.000	Max M_y	1109.25	17.59	-29.00	0.04	133.55	45.17	ZS 1,2,12,62
		247	0.000	Min M_y	929.65	10.25	11.23	-0.01	-11.74	20.26	ZS 1,2,11,18,47
		247	0.000	Max M_z	1218.96	23.70	-18.49	0.03	95.52	57.78	ZS 1,2,11,17,58
	KV38	248	4.490	Min M_z	1214.46	19.66	-14.70	0.02	14.72	-39.92	ZS 1,2,11,17,57
		248	4.490	Max N	1290.28	20.19	-17.54	0.03	10.63	-40.44	ZS 1,2,4,11,17,58
		247	0.000	Min N	587.08	7.38	4.35	-0.01	1.72	16.34	ZS 1,2,12,18
		247	0.000	Max V_y	1286.73	24.22	-17.54	0.03	89.39	59.27	ZS 1,2,4,11,17,58
		248	4.490	Min V_y	678.45	-1.37	-20.48	0.03	-7.12	3.39	ZS 1,2,12,72
		247	0.000	Max V_z	1040.74	12.50	12.58	-0.02	-16.28	26.31	ZS 1,2,4,11,18,49
		247	0.000	Min V_z	1026.16	14.06	-30.46	0.04	130.68	36.52	ZS 1,2,6,12,65
	KV40	247	0.000	Max M_T	1026.16	14.06	-30.46	0.04	130.68	36.52	ZS 1,2,6,12,65
		247	0.000	Min M_T	997.42	10.77	12.18	-0.02	-17.87	21.75	ZS 1,2,4,11,18,47
		247	0.000	Max M_y	1145.41	17.81	-29.36	0.04	133.67	45.48	ZS 1,2,6,12,62
		247	0.000	Min M_y	997.42	10.77	12.18	-0.02	-17.87	21.75	ZS 1,2,4,11,18,47
		247	0.000	Max M_z	1286.73	24.22	-17.54	0.03	89.39	59.27	ZS 1,2,4,11,17,58
		248	4.490	Min M_z	1282.23	20.18	-13.75	0.02	12.86	-40.75	ZS 1,2,4,11,17,57
		248	4.490	Max N	1401.34	23.83	-12.34	0.02	2.18	-46.89	ZS 1,2,4,11,17,115,220,336
314	KV41	247	0.000	Min N	457.71	-0.96	5.36	-0.01	-3.31	-1.94	ZS 1,2,12,18,230,236
		247	0.000	Max V_y	1380.98	28.76	-10.24	0.01	48.34	71.50	ZS 1,2,4,11,17,113,220,333
		248	4.490	Min V_y	523.07	-6.93	-7.05	0.01	-0.73	13.82	ZS 1,2,12,228
		247	0.000	Max V_z	975.55	11.80	11.26	-0.02	-16.17	24.88	ZS 1,2,4,11,18,96,159,272
		247	0.000	Min V_z	1136.60	13.64	-25.14	0.03	115.16	32.64	ZS 1,2,6,12,116,171,285
		247	0.000	Max M_T	1132.72	13.34	-25.06	0.03	114.82	31.94	ZS 1,2,6,12,117,171,285
		247	0.000	Min M_T	970.93	11.70	11.23	-0.02	-16.48	24.63	ZS 1,2,4,11,18,95,159,272
		247	0.000	Max M_y	1136.60	13.64	-25.14	0.03	115.16	32.64	ZS 1,2,6,12,116,171,285
	KV31	247	0.000	Min M_y	783.25	7.78	9.32	-0.01	-23.38	16.63	ZS 1,2,4,11,18,73,178,325
		247	0.000	Max M_z	1380.98	28.76	-10.24	0.01	48.34	71.50	ZS 1,2,4,11,17,113,220,333
		248	4.490	Min M_z	1372.44	24.68	-8.17	0.01	3.39	-48.76	ZS 1,2,4,11,17,105,220,333
		248	4.490	Max N	1255.00	18.75	-8.78	0.01	-0.69	-37.06	ZS 1,2,4,11,17,115,220,336
		247	0.000	Min N	490.30	1.14	5.10	-0.01	-2.03	2.66	ZS 1,2,12,18,230,236
		247	0.000	Max V_y	1242.44	23.16	-7.47	0.01	32.71	57.21	ZS 1,2,4,11,17,113,220,333
		248	4.490	Min V_y	540.62	-4.35	-6.36	0.01	-0.41	8.40	ZS 1,2,12,228
314	KV37	247	0.000	Max V_z	970.09	11.56	11.09	-0.02	-22.01	25.13	ZS 1,2,4,11,18,96,159,272
		247	0.000	Min V_z	1011.73	11.71	-20.67	0.03	92.77	27.25	ZS 1,2,6,12,116,171,285
		247	0.000	Max M_T	1007.85	11.42	-20.60	0.03	92.42	26.55	ZS 1,2,6,12,117,171,285
		247	0.000	Min M_T	965.46	11.46	11.06	-0.02	-22.32	24.88	ZS 1,2,4,11,18,95,159,272
		247	0.000	Max M_y	1011.73	11.71	-20.67	0.03	92.77	27.25	ZS 1,2,6,12,116,171,285
		247	0.000	Min M_y	804.58	8.39	9.48	-0.01	-27.47	18.65	ZS 1,2,4,11,18,73,178,325
		247	0.000	Max M_z	1242.44	23.16	-7.47	0.01	32.71	57.21	ZS 1,2,4,11,17,113,220,333
		248	4.490	Min M_z	1233.90	19.09	-5.41	0.00	0.17	-37.93	ZS 1,2,4,11,17,105,220,333
	KV31	11	0.000	Max N	-3031.95	-0.28	-20.52	8.56	22.05	12.22	ZS 1,2,4,11,180
		238	11.580	Min N	-6810.23	0.34	24.88	12.15	37.56	34.86	ZS 1,2,12,118,154,286
		11	0.000	Max V_y	-5417.89	3.98	-17.15	1.17	-0.84	40.64	ZS 1,2,6,12,90,144,267
		238	11.580	Max V_z	-6243.87	2.91	26.64	3.20	53.63	5.55	ZS 1,2,12,100,142,275
		11	0.000	Min V_z	-3166.95	-1.24	-21.52	13.45	24.91	5.06	ZS 1,2,4,11,172,239
		11	0.000	Max M_T	-6273.68	-1.63	-19.38	20.63	2.71	11.00	ZS 1,2,4,11,119,171,288
		11	0.000	Min M_T	-5219.49	2.23	-17.78	0.62	4.09	28.63	ZS 1,2,6,12,91,132,266
238	KV38	11	0.000	Max M_y	-6314.74	0.07	26.30	7.77	53.70	27.54	ZS 1,2,12,101,163,275
		4.632	0.000	Min M_y	-6792.88	0.14	-1.06	13.56	-50.04	35.12	ZS 1,2,11,116,153,287
		11	0.000	Max M_z	-6305.91	2.50	-17.02	3.28	-4.80	55.99	ZS 1,2,4,12,99,154,270
		11	0.000	Min M_z	-4558.98	3.05	25.16	1.41	50.25	-12.24	ZS 1,2,12,82,143,258
		11	0.000	Max N	-3055.93	-4.09	-20.46	-0.14	22.04	18.15	ZS 1,2,11,17
	KV40	238	11.580	Min N	-6329.19	2.39	25.28	5.49	40.64	44.36	ZS 1,2,12,18,48
		238	11.580	Max V_y	-5868.93	11.52	26.32	-6.61	48.08	-4.36	ZS 1,2,12,17,41
		11	0.000	Min V_y	-4480.92	-9.89	-21.64	21.19	24.06	-13.34	ZS 1,2,11,17,62
		238	11.580	Max V_z	-5560.97	5.30	26.61	1.14	51.90	-15.30	ZS 1,2,12,18,38
		11	0.000	Min V_z	-3609.91	-8.05	-22.64	18.42	28.08	-9.78	ZS 1,2,11,17,68
238	KV31	11	0.000	Max M_T	-4195.85	-5.89	-21.98	30.64	24.90	-25.18	ZS 1,2,11,18,64
		11	0.000	Min M_T	-4234.65	-2.41	-18.42	-9.76	13.91	14.32	ZS 1,2,12,17,28
		238	11.580	Max M_y	-5121.50	10.65	26.40	-8.21	54.78	-27.36	ZS 1,2,12,17,35
		4.632	0.000	Min M_y	-6196.88	4.70	-0.13	4.13	-51.33	51.84	ZS 1,2,11,18,44
		11	0.000	Max M_z	-6202.88	0.60	-17.36	-5.27	-5.65	84.88	ZS 1,2,12,17,45
	KV38	238	11.580	Min M_z	-4994.22	10.33	26.24	-8.63	54.77	-27.98	ZS 1,2,12,17,34
		11	0.000	Max N	-3005.07	-4.11	-20.53	0.43	22.52	19.26	ZS 1,2,4,11,17,180
		238	11.580	Min N	-6837.84	0.37	24.88	12.27	37.14	33.51	ZS 1,2,12,18,118,154,286
		238	11.580	Max V_y	-5395.75	9.99	25.81	-6.95	49.73	-11.00	ZS 1,2,6,12,17,90,144,267
		11	0.000	Min V_y	-5617.42	-6.26	-19.25	8.71	7.54	5.96	ZS 1,2,11,17,117,167,240
238	KV40	238	11.580	Max V_z	-6271.49	2.93	26.64	3.32	53.21	4.20	ZS 1,2,12,18,100,142,275
		11	0.000	Min V_z	-3140.07	-5.07	-21.52	5.33	25.38	12.10	ZS 1,2,4,11,17,172,239

■ 6.1 PRÚTY - VNÚTORNÉ SÍLY

Kombinácie výsledkov

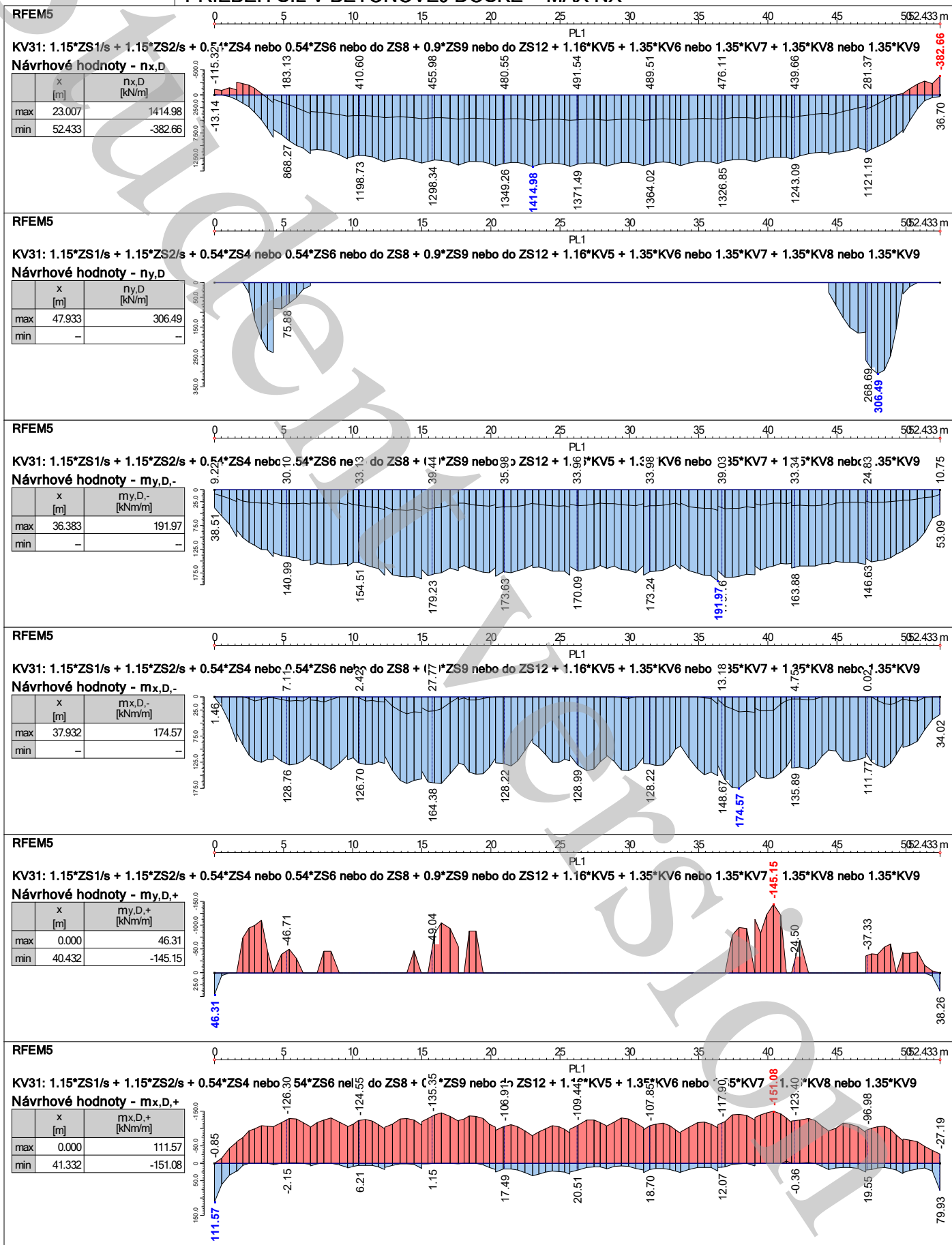
Typ prútu č.	KZS	Uzol č.	Miesto x x [m]		Sily [kN]			Momenty [kNm]			Príslušný zať. stav
					N	V _y	V _z	M _T	M _y	M _z	
314	KV40	11	0.000	Max M _T	-6301.30	-1.61	-19.37	20.74	2.19	9.91	ZS 1,2,4,11,18,119,171,288
		11	0.000	Min M _T	-5192.60	-1.59	-17.78	-7.50	4.55	35.67	ZS 1,2,6,12,17,91,132,266
		238	11.580	Max M _y	-6287.85	6.08	26.30	-0.35	54.12	21.93	ZS 1,2,12,17,101,163,275
		4.632	Min M _y	-6820.50	0.17	-1.05	13.68	-50.52	33.93	ZS 1,2,11,18,116,153,287	
		1.158	Max M _z	-6298.36	-0.45	-12.76	-4.66	-21.19	64.06	ZS 1,2,4,12,17,99,155,271	
		238	11.580	Min M _z	-4532.10	9.06	25.16	-6.71	50.66	-17.85	ZS 1,2,12,17,82,143,258
	KV41	11	0.000	Max N	-2932.64	-4.04	-20.69	0.32	23.40	21.92	ZS 1,2,4,11,17,180
		238	11.580	Min N	-6186.90	0.14	24.53	11.38	37.78	26.81	ZS 1,2,12,18,118,154,286
		238	11.580	Max V _y	-4876.87	8.97	25.11	-5.40	47.31	-6.15	ZS 1,2,6,12,17,90,144,267
		11	0.000	Min V _y	-5537.25	-5.81	-19.21	7.77	7.28	8.77	ZS 1,2,11,17,117,167,240
		238	11.580	Max V _z	-5724.84	2.13	25.97	4.33	50.76	5.21	ZS 1,2,12,18,100,142,275
		11	0.000	Min V _z	-3028.39	-4.76	-21.42	4.09	25.46	16.72	ZS 1,2,4,11,17,172,239
		11	0.000	Max M _T	-5698.04	-1.31	-19.57	18.12	5.82	10.27	ZS 1,2,4,11,18,119,171,288
		11	0.000	Min M _T	-4752.92	-2.17	-18.31	-5.85	8.82	32.19	ZS 1,2,6,12,17,91,132,266
		238	11.580	Max M _y	-5733.25	5.96	25.71	-0.37	51.65	17.60	ZS 1,2,12,17,101,163,275
		4.632	Min M _y	-6170.74	-0.06	-1.43	12.70	-47.36	26.01	ZS 1,2,11,18,116,153,287	
		2.316	Max M _z	-5658.75	-0.18	-9.12	-3.40	-29.07	55.70	ZS 1,2,4,12,17,99,155,271	
		238	11.580	Min M _z	-4236.19	8.13	24.66	-5.26	48.48	-11.04	ZS 1,2,12,17,82,143,258
321	KV31	16	11.580	Max N	-4393.23	-1.85	23.71	18.39	13.60	4.62	ZS 1,2,11,127,236
		246	0.000	Min N	-8734.95	-4.69	-31.82	33.23	43.81	-11.65	ZS 1,2,4,12,118,212,342
		246	0.000	Max V _y	-5327.98	0.46	-29.37	14.72	52.32	-3.68	ZS 1,2,6,12,171,302
		246	0.000	Min V _y	-6768.74	-8.21	-31.76	39.27	50.00	-50.48	ZS 1,2,11,97,150,273
		16	11.580	Max V _z	-4789.64	-1.53	25.93	20.80	20.94	-4.51	ZS 1,2,11,74,229,298
		246	0.000	Min V _z	-7831.89	-5.39	-33.65	33.77	64.04	-30.71	ZS 1,2,6,12,104,200,334
		246	0.000	Max M _T	-6669.45	-5.66	-30.61	42.51	46.06	-33.40	ZS 1,2,11,106,136,276
	KV37	246	0.000	Min M _T	-4843.38	-0.61	-27.89	8.94	38.55	-9.46	ZS 1,2,6,12,177
		246	0.000	Max M _y	-7344.49	-2.97	-32.54	28.55	66.39	-23.46	ZS 1,2,7,12,90,222,334
		6.948	Min M _y	-8713.99	-4.69	-0.58	33.72	-74.07	16.02	ZS 1,2,4,11,119,211,342	
		16	11.580	Max M _z	-7431.68	-6.55	20.84	37.30	-12.57	70.04	ZS 1,2,8,12,105,160,276
		246	0.000	Min M _z	-6549.62	-7.05	-31.80	35.85	52.63	-62.17	ZS 1,2,4,11,91,149,264
		16	11.580	Max N	-4364.93	2.28	23.67	26.48	14.42	17.93	ZS 1,2,11,18
		246	0.000	Min N	-7690.98	-6.52	-31.41	28.62	45.41	17.59	ZS 1,2,12,17,53
326	KV38	16	11.580	Max V _y	-5948.05	6.31	23.79	17.24	17.08	8.30	ZS 1,2,12,18,66
		246	0.000	Min V _y	-7173.13	-16.96	-32.82	44.19	51.43	-44.98	ZS 1,2,11,18,46
		16	11.580	Max V _z	-5045.99	1.22	24.65	8.18	16.25	-11.55	ZS 1,2,11,72
		246	0.000	Min V _z	-6800.64	-16.47	-33.21	44.00	63.05	-61.77	ZS 1,2,12,18,43
		246	0.000	Max M _T	-5350.08	-10.17	-29.59	51.98	48.52	-58.45	ZS 1,2,11,18,31
		246	0.000	Min M _T	-5456.62	2.12	-28.01	5.71	40.99	10.48	ZS 1,2,12,17,69
		246	0.000	Max M _y	-6411.15	-15.50	-32.89	46.19	64.95	-71.91	ZS 1,2,12,18,40
	KV40	6.948	Min M _y	-7591.55	-8.94	-0.56	32.46	-71.24	52.85	ZS 1,2,11,17,50	
		16	11.580	Max M _z	-7589.31	-4.09	20.38	41.03	-17.88	109.88	ZS 1,2,12,18,51
		246	0.000	Min M _z	-6281.54	-15.12	-32.53	48.15	58.51	-75.49	ZS 1,2,11,18,39
		16	11.580	Max N	-4364.93	2.33	23.67	26.48	14.42	17.93	ZS 1,2,11,18
		246	0.000	Min N	-8174.91	-6.29	-31.78	28.22	45.51	15.35	ZS 1,2,4,12,17,53
		16	11.580	Max V _y	-6258.51	6.90	23.34	15.56	13.11	3.07	ZS 1,2,6,12,18,66
		246	0.000	Min V _y	-7173.13	-16.96	-32.82	44.19	51.43	-44.98	ZS 1,2,11,18,46
326	KV41	16	11.580	Max V _z	-5045.99	1.22	24.65	8.18	16.25	-11.55	ZS 1,2,11,72
		246	0.000	Min V _z	-7111.10	-15.88	-33.66	42.32	64.24	-60.12	ZS 1,2,6,12,18,43
		246	0.000	Max M _T	-5350.08	-10.17	-29.59	51.98	48.52	-58.45	ZS 1,2,11,18,31
		246	0.000	Min M _T	-5767.08	2.71	-28.46	4.03	42.18	12.13	ZS 1,2,6,12,17,69
		246	0.000	Max M _y	-6585.05	-15.08	-33.20	44.76	66.38	-68.49	ZS 1,2,7,12,18,40
		6.948	Min M _y	-8075.47	-8.71	-0.93	32.06	-73.71	49.03	ZS 1,2,4,11,17,50	
		16	11.580	Max M _z	-7644.08	-4.04	20.33	40.06	-18.09	110.76	ZS 1,2,8,12,18,51
	KV31	246	0.000	Min M _z	-6765.46	-14.89	-32.90	47.75	58.61	-77.73	ZS 1,2,4,11,18,39
		16	11.580	Max N	-4363.96	2.33	23.68	28.45	14.32	14.93	ZS 1,2,11,18,127,236
		246	0.000	Min N	-8759.78	-4.61	-31.82	32.89	43.06	-13.74	ZS 1,2,4,12,17,118,212,342
		16	11.580	Max V _y	-5292.95	4.64	22.76	24.78	14.90	1.32	ZS 1,2,6,12,18,171,302
		246	0.000	Min V _y	-6739.47	-15.10	-31.79	49.33	51.05	-55.84	ZS 1,2,11,18,97,150,273
		16	11.580	Max V _z	-4789.64	-1.53	25.93	20.80	20.94	-4.51	ZS 1,2,11,74,229,298
		246	0.000	Min V _z	-7802.62	-12.27	-33.68	43.83	65.09	-36.07	ZS 1,2,6,12,18,104,200,334
326	KV40	246	0.000	Max M _T	-6640.18	-12.54	-30.64	52.57	47.11	-38.75	ZS 1,2,11,18,106,136,276
		246	0.000	Min M _T	-4868.22	-0.54	-27.90	8.60	37.80	-11.55	ZS 1,2,6,12,17,177
		246	0.000	Max M _y	-7315.22	-9.85	-32.57	38.61	67.44	-28.81	ZS 1,2,7,12,18,90,222,334
		6.948	Min M _y	-8738.83	-4.61	-0.58	33.37	-74.86	13.41	ZS 1,2,4,11,17,119,211,342	
		16	11.580	Max M _z	-7402.41	-2.37	20.81	47.36	-11.85	80.35	ZS 1,2,8,12,18,105,160,276
		246	0.000	Min M _z	-6520.35	-13.93	-31.83	45.91	53.68	-67.52	ZS 1,2,4,11,18,91,149,264
		16	11.580	Max N	-4364.29	2.32	23.68	27.92	14.35	15.73	ZS 1,2,11,18,127,236
326	KV41	246	0.000	Min N	-8125.10	-3.82	-31.28	28.71	43.47	-16.61	ZS 1,2,4,12,17,118,212,342
		16	11.580	Max V _y	-5553.12	5.09	22.17	20.99	8.81	-1.75	ZS 1,2,6,12,18,171,302
		246	0.000	Min V _y	-5894.46	-13.60	-30.64	43.69	48.10	-46.76	ZS 1,2,11,18,97,150,273
		16	11.580	Max V _z	-4663.48	-1.67	25.33	20.17	18.71	-1.57	ZS 1,2,11,74,229,298
		246	0.000	Min V _z	-7098.50	-10.69	-32.69	37.12	61.21	-28.02	ZS 1,2,6,12,18,104,200,334
		246	0.000	Max M _T	-5826.91	-11.68	-29.77	46.29	44.95	-32.62	ZS 1,2,11,18,106,136,276
		246	0.000	Min M _T	-5301.09	0.20	-28.85	7.26	42.14	-9.26	ZS 1,2,6,12,17,177
326	KV31	249	0.000	Max M _y	-6398.55	-9.03	-31.57	32.95	63.50	-21.95	ZS 1,2,7,12,18,90,222,334
		249	0.000	Min M _y	-8107.64	-3					

■ 6.1 PRÚTY - VNÚTORNÉ SÍLY

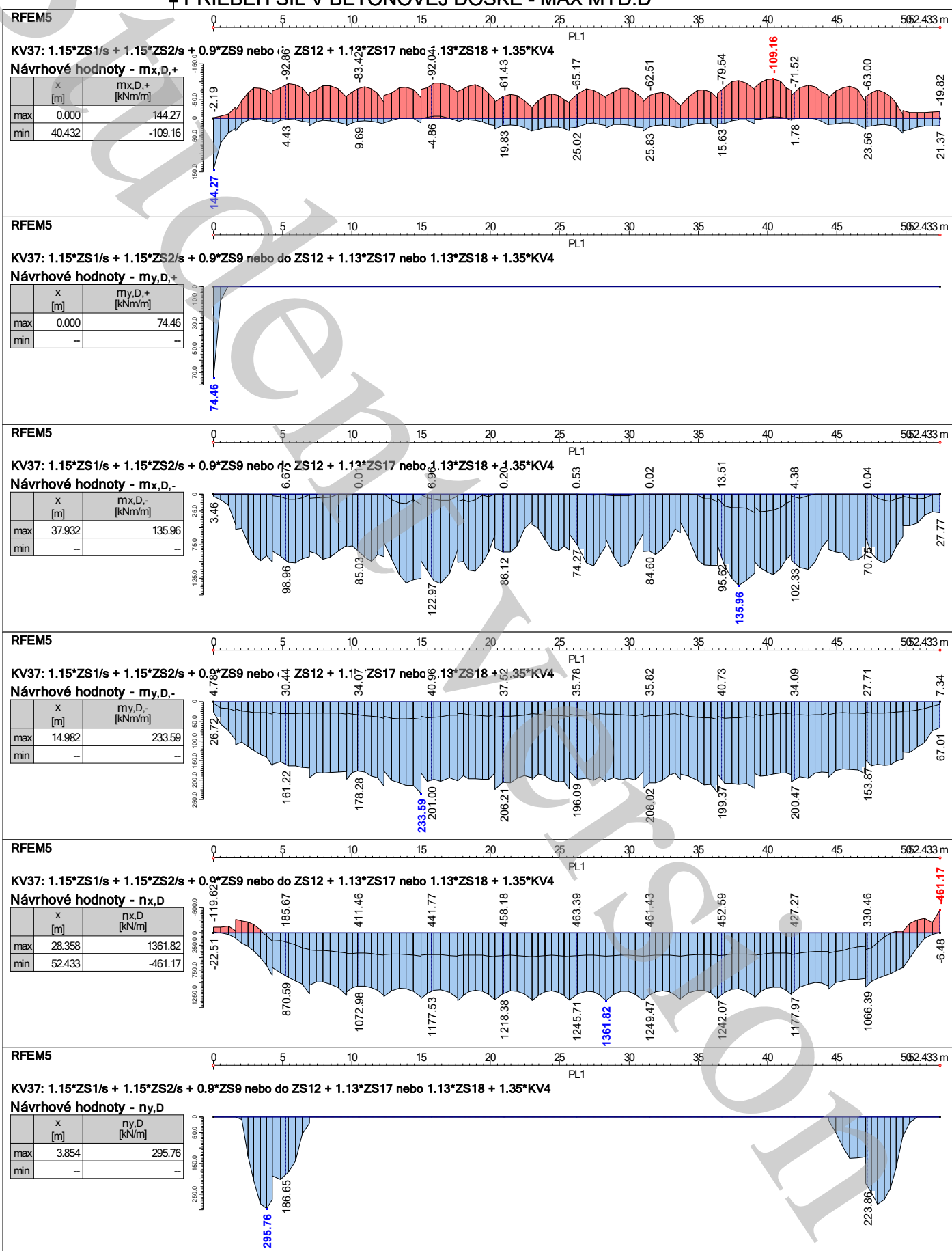
Kombinácie výsledkov

Typ prútu č.	KZS	Uzol č.	Miesto x x [m]		Sily [kN]			Momenty [kNm]			Príslušný zať. stav
					N	V _y	V _z	M _T	M _y	M _z	
326	KV31	159	1.500	Min M _y	-11.59	-1.32	-72.08	0.01	-109.09	0.00	ZS 1,2,8,11,85,190,303
		159	1.500	Max M _z	-5.61	-0.64	-50.22	0.00	-76.01	0.00	ZS 1,2
		249	0.000	Min M _z	-14.31	-1.62	-36.18	0.01	-27.64	-2.43	ZS 1,2,4,11,118,132,285
	KV37	249	0.000	Max N	-2.86	-0.33	-25.27	0.00	-19.40	-0.49	ZS 1,2,12,18
		249	0.000	Min N	-14.32	-1.61	-25.36	0.01	-19.54	-2.42	ZS 1,2,11,17,30
		249	0.000	Max V _y	-2.86	-0.33	-25.27	0.00	-19.40	-0.49	ZS 1,2,12,18
		249	0.000	Min V _y	-14.32	-1.61	-25.36	0.01	-19.54	-2.42	ZS 1,2,11,17,30
		249	0.000	Max V _z	-5.90	-0.68	-25.26	0.00	-19.39	-1.03	ZS 1,2,12,18,47
		159	1.500	Min V _z	-12.50	-1.44	-50.30	0.01	-76.26	0.00	ZS 1,2,11,17,38
		249	0.000	Max M _T	-7.93	-0.91	-25.27	0.02	-19.42	-1.36	ZS 1,2,12,18,34
		249	0.000	Min M _T	-11.18	-1.25	-25.34	-0.00	-19.51	-1.88	ZS 1,2,11,17,19
		249	0.000	Max M _y	-5.90	-0.68	-25.26	0.00	-19.39	-1.03	ZS 1,2,12,18,47
		159	1.500	Min M _y	-14.13	-1.59	-50.30	0.01	-76.26	0.00	ZS 1,2,11,17,28
		159	1.500	Max M _z	-5.61	-0.64	-50.22	0.00	-76.01	0.00	ZS 1,2
		249	0.000	Min M _z	-14.32	-1.61	-25.36	0.01	-19.54	-2.42	ZS 1,2,11,17,30
	KV38	249	0.000	Max N	-2.86	-0.33	-25.27	0.00	-19.40	-0.49	ZS 1,2,12,18
		249	0.000	Min N	-14.58	-1.65	-36.21	0.01	-27.69	-2.47	ZS 1,2,4,11,17,30
		249	0.000	Max V _y	-2.86	-0.33	-25.27	0.00	-19.40	-0.49	ZS 1,2,12,18
		249	0.000	Min V _y	-14.58	-1.65	-36.21	0.01	-27.69	-2.47	ZS 1,2,4,11,17,30
		249	0.000	Max V _z	-5.90	-0.68	-25.26	0.00	-19.39	-1.03	ZS 1,2,12,18,47
		159	1.500	Min V _z	-12.53	-1.44	-71.99	0.01	-108.82	0.00	ZS 1,2,8,11,17,38
		249	0.000	Max M _T	-7.93	-0.91	-25.27	0.02	-19.42	-1.36	ZS 1,2,12,18,34
		249	0.000	Min M _T	-11.44	-1.29	-36.20	-0.00	-27.66	-1.93	ZS 1,2,4,11,17,19
		249	0.000	Max M _y	-5.90	-0.68	-25.26	0.00	-19.39	-1.03	ZS 1,2,12,18,47
		159	1.500	Min M _y	-14.16	-1.60	-71.99	0.01	-108.83	0.00	ZS 1,2,8,11,17,28
		159	1.500	Max M _z	-5.61	-0.64	-50.22	0.00	-76.01	0.00	ZS 1,2
		249	0.000	Min M _z	-14.58	-1.65	-36.21	0.01	-27.69	-2.47	ZS 1,2,4,11,17,30
	KV40	249	0.000	Max N	-2.83	-0.33	-25.27	0.00	-19.40	-0.49	ZS 1,2,12,18,178
		249	0.000	Min N	-14.88	-1.68	-36.18	0.01	-27.63	-2.52	ZS 1,2,4,11,17,119,132,285
		249	0.000	Max V _y	-2.83	-0.33	-25.27	0.00	-19.40	-0.49	ZS 1,2,12,18,178
		249	0.000	Min V _y	-14.87	-1.68	-36.18	0.01	-27.64	-2.52	ZS 1,2,4,11,17,118,132,285
		249	0.000	Max V _z	-6.71	-0.76	-25.20	0.01	-19.31	-1.13	ZS 1,2,12,18,112,133
		159	1.500	Min V _z	-12.15	-1.39	-72.08	0.01	-109.09	0.00	ZS 1,2,8,11,17,85,190,303
		249	0.000	Max M _T	-7.73	-0.88	-25.27	0.01	-19.41	-1.32	ZS 1,2,12,18,123,135,257
		249	0.000	Min M _T	-10.26	-1.16	-36.24	-0.00	-27.71	-1.74	ZS 1,2,4,11,17,129,240
		249	0.000	Max M _y	-6.71	-0.76	-25.20	0.01	-19.31	-1.13	ZS 1,2,12,18,112,133
		159	1.500	Min M _y	-12.15	-1.39	-72.08	0.01	-109.09	0.00	ZS 1,2,8,11,17,85,190,303
		159	1.500	Max M _z	-5.61	-0.64	-50.22	0.00	-76.01	0.00	ZS 1,2
		249	0.000	Min M _z	-14.87	-1.68	-36.18	0.01	-27.64	-2.52	ZS 1,2,4,11,17,118,132,285
	KV41	249	0.000	Max N	-2.84	-0.33	-25.27	0.00	-19.40	-0.49	ZS 1,2,12,18,178
		249	0.000	Min N	-13.57	-1.54	-52.46	0.00	-39.85	-2.31	ZS 1,2,4,11,17,119,132,285
		249	0.000	Max V _y	-2.84	-0.33	-25.27	0.00	-19.40	-0.49	ZS 1,2,12,18,178
		249	0.000	Min V _y	-13.56	-1.54	-52.47	0.00	-39.86	-2.31	ZS 1,2,4,11,17,118,132,285
		249	0.000	Max V _z	-6.28	-0.71	-25.22	0.01	-19.33	-1.06	ZS 1,2,12,18,112,133
		159	1.500	Min V _z	-11.37	-1.30	-104.58	0.00	-157.80	0.00	ZS 1,2,8,11,17,85,190,303
		249	0.000	Max M _T	-6.57	-0.75	-25.26	0.01	-19.39	-1.12	ZS 1,2,12,18,123,135,257
		249	0.000	Min M _T	-10.16	-1.16	-52.50	-0.00	-39.90	-1.74	ZS 1,2,4,11,17,129,240
		249	0.000	Max M _y	-6.28	-0.71	-25.22	0.01	-19.33	-1.06	ZS 1,2,12,18,112,133
		159	1.500	Min M _y	-11.37	-1.30	-104.58	0.00	-157.80	0.00	ZS 1,2,8,11,17,85,190,303
		159	1.500	Max M _z	-5.61	-0.64	-50.22	0.00	-76.01	0.00	ZS 1,2
		249	0.000	Min M _z	-13.56	-1.54	-52.47	0.00	-39.86	-2.31	ZS 1,2,4,11,17,118,132,285

■ PRIEBEH SÍL V BETÓNOVEJ DOSKE - MAX NX



■ PRIEBEH SÍL V BETÓNOVEJ DOSKE - MAX MYD.D



■ 6.3 UZLY - PODPEROVÉ SÍLY

Kombinácie výsledkov

Uzol č.	KZS	Podperové sily [kN]			Momenty v podperách [kNm]			Kombinácie výsledkov
		P _x	P _y	P _z	M _x	M _y	M _z	
9*	KV45	Max P _x	► 0.00	204.06	-1474.20	0.00	0.00	0.00 ZS 1,2
		Min P _x	► 0.00	204.06	-1474.20	0.00	0.00	0.00 ZS 1,2
		Max P _y	0.00	► 1744.67	-1730.18	0.00	0.00	0.00 ZS 1,2,4,11,15-17,203, 342,343
		Min P _y	0.00	► -1229.48	-3059.14	0.00	0.00	0.00 ZS 1,2,12,18,106,128,243
		Max P _z	0.00	1054.73	► -1426.74	0.00	0.00	0.00 ZS 1,2,4,11,15-17,180,343
	KV46	Min P _z	0.00	-992.35	► -3308.16	0.00	0.00	0.00 ZS 1,2,12,18,117,128,286
		Max P _x	► 0.00	204.06	-1474.20	0.00	0.00	0.00 ZS 1,2
		Min P _x	► 0.00	204.06	-1474.20	0.00	0.00	0.00 ZS 1,2
		Max P _y	0.00	► 1096.53	-1609.08	0.00	0.00	0.00 ZS 1,2,5,11,17,66
		Min P _y	0.00	► -803.32	-2975.26	0.00	0.00	0.00 ZS 1,2,12,18,28
10	KV45	Max P _z	0.00	876.36	► -1455.31	0.00	0.00	0.00 ZS 1,2,5,11,17
		Min P _z	0.00	-803.32	► -2975.26	0.00	0.00	0.00 ZS 1,2,12,18,28
		Max P _x	► 0.00	0.00	-1657.56	0.00	0.00	0.00 ZS 1,2
		Min P _x	► 0.00	0.00	-1657.56	0.00	0.00	0.00 ZS 1,2
		Max P _y	0.00	► 0.00	-1657.56	0.00	0.00	0.00 ZS 1,2
	KV46	Min P _y	0.00	► 0.00	-1657.56	0.00	0.00	0.00 ZS 1,2
		Max P _z	0.00	0.00	► -1601.36	0.00	0.00	0.00 ZS 1,2,4,12,17
		Min P _z	0.00	0.00	► -3771.01	0.00	0.00	0.00 ZS 1,2,11,15,16,18,120, 177,288,343
		Max P _x	► 0.00	0.00	-1657.56	0.00	0.00	0.00 ZS 1,2
		Min P _x	► 0.00	0.00	-1657.56	0.00	0.00	0.00 ZS 1,2
14	KV45	Max P _y	0.00	► 0.00	-1657.56	0.00	0.00	0.00 ZS 1,2,4,11,17,66
		Min P _y	0.00	► 0.00	-1657.56	0.00	0.00	0.00 ZS 1,2,5,11,18,64
		Max P _z	0.00	► 0.00	-1639.73	0.00	0.00	0.00 ZS 1,2,12,17
		Min P _z	0.00	► 0.00	-3327.61	0.00	0.00	0.00 ZS 1,2,15,16,18,106, 128,243,343
		Max P _x	► 1750.61	1066.32	-3481.13	0.00	0.00	0.00 ZS 1,2,12,15,16,18,106, 128,243,343
	KV46	Min P _x	► -1228.35	-1355.97	-3888.73	0.00	0.00	0.00 ZS 1,2,4,11,17,203,342
		Max P _y	1064.75	► 1204.19	-3480.23	0.00	0.00	0.00 ZS 1,2,12,18,106,128,243
		Min P _y	-542.49	► -1493.84	-3889.63	0.00	0.00	0.00 ZS 1,2,4,11,15-17,203, 342,343
		Max P _z	80.81	404.30	► -2312.38	0.00	0.00	0.00 ZS 1,2,12,18
		Min P _z	532.75	-619.73	► -4631.94	0.00	0.00	0.00 ZS 1,2,4,11,15-17,117, 182,342,343
15	KV45	Max P _x	► 1525.18	732.00	-3970.80	0.00	0.00	0.00 ZS 1,2,5,12,18,28
		Min P _x	► -610.91	-854.02	-2662.02	0.00	0.00	0.00 ZS 1,2,11,17,66
		Max P _y	695.69	► 904.16	-3969.71	0.00	0.00	0.00 ZS 1,2,12,18,28
		Min P _y	218.58	► -1026.18	-2663.11	0.00	0.00	0.00 ZS 1,2,5,11,17,66
		Max P _z	80.81	404.30	► -2312.38	0.00	0.00	0.00 ZS 1,2,12,18
	KV46	Min P _z	1024.14	-371.31	► -4012.67	0.00	0.00	0.00 ZS 1,2,5,11,17,28
		Max P _x	► 0.00	41.63	-2118.71	0.00	0.00	0.00 ZS 1,2
		Min P _x	► 0.00	41.63	-2118.71	0.00	0.00	0.00 ZS 1,2
		Max P _y	0.00	► 475.92	-3435.43	0.00	0.00	0.00 ZS 1,2,4,11,18,203,342
		Min P _y	0.00	► -440.26	-2400.85	0.00	0.00	0.00 ZS 1,2,12,15-17,106,128, 243,343
16	KV45	Max P _z	0.00	223.84	► -2099.59	0.00	0.00	0.00 ZS 1,2,11,15,16,18,127, 236,343
		Min P _z	0.00	-200.04	► -4198.84	0.00	0.00	0.00 ZS 1,2,4,12,17,120,231, 342
		Max P _x	► 0.00	41.63	-2118.71	0.00	0.00	0.00 ZS 1,2
		Min P _x	► 0.00	41.63	-2118.71	0.00	0.00	0.00 ZS 1,2
		Max P _y	0.00	► 330.47	-3480.27	0.00	0.00	0.00 ZS 1,2,11,18,66
	KV46	Min P _y	0.00	► -351.46	-2330.58	0.00	0.00	0.00 ZS 1,2,5,12,17,28
		Max P _z	0.00	262.15	► -2099.64	0.00	0.00	0.00 ZS 1,2,5,11,18
		Min P _z	0.00	-139.08	► -3602.27	0.00	0.00	0.00 ZS 1,2,12,17,64

■ 6.3 UZLY - DEFORMÁCIE

Kombinácie výsledkov

Uzol č.	KZS	Posuny [mm]			Pootočenie [mrad]			Kombinácie výsledkov
		u _x	u _y	u _z	φ _x	φ _y	φ _z	
9	KV45	Max	4.0	2.9	0.0	1.5	8.6	1.7
		Min	-1.7	-7.0	0.0	-3.1	3.3	0.5
10	KV45	Max	32.6	1.7	0.0	10.4	-3.0	-0.1
		Min	-13.3	-10.2	0.0	3.5	-9.1	-1.2
14	KV45	Max	30.9	1.7	0.0	10.6	-3.1	-0.2
		Min	-13.3	-9.8	0.0	3.5	-8.7	-1.0
15	KV45	Max	0.0	0.0	0.0	-3.5	9.6	-0.7
		Min	0.0	0.0	0.0	-10.7	3.6	-1.9
15	KV46	Max	0.0	0.0	0.0	-3.5	8.9	-0.7
		Min	0.0	0.0	0.0	-11.0	3.6	-1.6
	KV46	Max	39.0	0.0	0.0	3.5	-4.0	2.6
		Min	-13.8	0.0	0.0	-0.7	-9.9	0.9
	KV46	Max	36.3	0.0	0.0	2.9	-4.0	2.2
		Min	-13.8	0.0	0.0	-0.6	-8.4	0.9
		Max	39.0	2.9	0.0	10.6	9.6	2.6
		Min	-13.8	-10.2	0.0	-11.0	-9.9	-1.9

7.1. Návrh význužie v betónovej doske

Použité prierezové a materiálové charakteristiky

Betón Význužie

$$\gamma_c := 1.5$$

$$\gamma_s := 1.15$$

$$f_{ck} := 35 \text{ MPa}$$

$$f_{sk} := 550 \text{ MPa}$$

$$f_{cd} := \frac{f_{ck}}{\gamma_c} = 23.333 \cdot \text{MPa}$$

$$f_{sd} := \frac{f_{sk}}{\gamma_s} = 478.261 \cdot \text{MPa}$$

$$E_{cm} := 33.5 \text{ GPa}$$

$$E_s := 210 \text{ GPa}$$

$$f_{ctm} := 3.2 \text{ MPa}$$

$$h := 240 \text{ mm}$$

$$b := 1 \text{ m}$$

Vnútorné sily

$$m_y := \frac{233 \text{ kN}\cdot\text{m}}{\text{m}}$$

$$n_x := 1361 \frac{\text{kN}}{\text{m}}$$

Krytie význužie

$$\phi_x := 28 \text{ mm} \quad s_x := 120 \text{ mm}$$

$$\phi_y := 12 \text{ mm} \quad s_y := 200 \text{ mm}$$

$$c_{minb} := \phi_x = 0.028 \cdot \text{m}$$

$$c_{mindur} := 35 \text{ mm}$$

$$c_{min} := \max(c_{minb}, c_{mindur}, 10 \text{ mm}) = 0.035 \text{ m}$$

$$c_{nom} := c_{min} + 5 \text{ mm} = 0.040 \text{ m}$$

$$c := 40 \text{ mm}$$

Účinná výška prierezu

$$d_1 := c + \frac{\phi_x}{2} = 0.054 \text{ m}$$

$$d := h - d_1 = 0.186 \text{ m}$$

Návrh význužie - $\phi 28/120$

$$A_{sreq} := \frac{m_y \cdot b}{d \cdot 0.9 \cdot f_{sd}} = 2.910 \times 10^{-3} \cdot \text{m}^2$$

$$A_{st} := \left(\frac{\phi_x}{2} \right)^2 \cdot \pi \cdot \frac{1 \text{ m}}{s_x} = 5.131 \times 10^3 \cdot \text{mm}^2$$

Statický výpočet
Víťazný variant

Poloha neutrálnej osi

$$x := \frac{A_{st} \cdot f_{sd}}{0.8 \cdot b \cdot f_{cd}} = 0.131 \text{ m}$$

Rameno síl

$$z := d - \frac{0.8 \cdot x}{2} = 0.133 \text{ m}$$

Návrhový moment

$$F_s := A_{st} \cdot f_{sd} = 2.454 \times 10^3 \cdot \text{kN}$$

$$M_{rd} := F_s \cdot z = 327.406 \cdot \text{kN m} \quad > \quad m_y \cdot b = 233.000 \cdot \text{kN m}$$

Rezerva vo výzvuži

$$\sigma_r := f_{sd} \cdot \left(1 - \frac{m_y \cdot b}{M_{rd}} \right) = 137.904 \cdot \text{MPa}$$

Napätie od osovej sily

$$\sigma_s := \frac{n_x \cdot b}{2 \cdot A_{st}} = 132.618 \cdot \text{MPa} \quad < \quad \sigma_r \quad \text{Vyhovuje}$$

$$\text{Minimálna plocha výzvuže} \quad A_{smin} := 0.0013 \cdot b \cdot d = 241.800 \cdot \text{mm}^2$$

$$\text{Maximálna plocha výzvuže} \quad A_{smax} := 0.04 \cdot b \cdot d = 7.440 \times 10^3 \cdot \text{mm}^2$$

$$A_{smin} < A_{st} = 5.131 \times 10^3 \cdot \text{mm}^2 < A_{smax}$$

Vyhovuje

$$\text{Miera využitia} \quad \rho_{smin} := 0.26 \cdot \frac{f_{ctm}}{f_{sk}} = 1.513 \times 10^{-3}$$

$$\rho_{smin} < \rho_s := \frac{A_{st}}{b \cdot d} = 0.028$$

Vyhovuje

Pomerné pretvorenie

$$\epsilon_{st} := 0.0035 \cdot \left(\frac{d - x}{x} \right) = 1.452 \times 10^{-3}$$

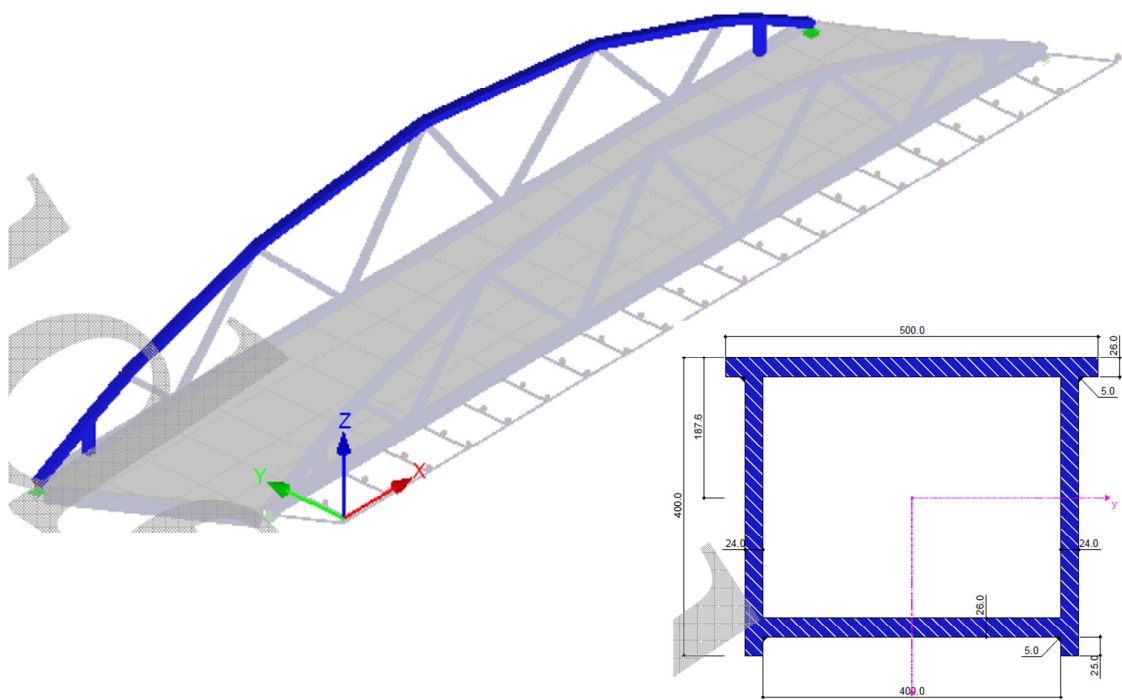
$$\epsilon_{sd} := \frac{f_{sd}}{E_s} = 2.277 \times 10^{-3}$$

$$\epsilon_{st} \leq \epsilon_{sd}$$

Vyhovuje

Statický výpočet
Víťazný variant

7.2 Horný pás - Ľavý



Prierezové charakteristiky – Prierez č.7

PRIEREZOVÉ CHARAKTERISTIKY		Uzavřené(B) 500/26/24/400/400/26/25/5/5	
Prierezová charakteristika	Symbol	Hodnota	Jednotka
Upper flange width	b_o	500.0	mm
Upper flange thickness	t_o	26.0	mm
Web thickness	s	24.0	mm
Depth	h	400.0	mm
Lower flange width	b_u	400.0	mm
Lower flange thickness	t_u	26.0	mm
Lower overlap	u	25.0	mm
Upper fillet weld thickness	a_o	5.0	mm
Lower fillet weld thickness	a_u	5.0	mm
Plocha prierezu	A	413.52	cm ²
Šmyková plocha	A_y	197.51	cm ²
Šmyková plocha	A_z	141.65	cm ²
Účinná šmyková plocha podľa EN 3	$A_{y,V}$	234.00	cm ²
Účinná šmyková plocha podľa EN 3	$A_{z,V}$	179.52	cm ²
Plocha jadra	$A_{jadrá}$	1479.76	cm ²
Vzdialenosť tažiska	e_z	187.6	mm
Moment zotrvačnosti (plošný moment 2. stupňa)	I_y	93478.10	cm ⁴
Moment zotrvačnosti (plošný moment 2. stupňa)	I_z	121720.00	cm ⁴
Polárny moment zotrvačnosti	I_p	215198.00	cm ⁴
Polárny moment zotrvačnosti	$I_{p,M}$	215226.00	cm ⁴
Polomer zotrvačnosti	r_y	150.4	mm
Polomer zotrvačnosti	r_z	171.6	mm
Hlavný polomer zotrvačnosti	r_u	150.4	mm
Hlavný polomer zotrvačnosti	r_v	171.6	mm
Polárny polomer zotrvačnosti	r_p	228.1	mm
Polárny polomer zotrvačnosti	$r_{p,M}$	228.1	mm
Hmotnosť prierezu	G	324.6	kg/m
Plocha plášťa	$A_{plášť}$	1.850	m ² /m
Moment tuhosti v kútení	I_t	142842.00	cm ⁴
St. Venantov moment tuhosti v krútení	$I_{t,Sván}$	881.70	cm ⁴
Bredov moment tuhosti v krútení	$I_t,Bredt$	141960.00	cm ⁴
Vzdialenosť stredu šmyku k tažisku	Z_M	-2.5	mm
Výsekový moment zotrvačnosti vztiahnutý k M	I_w	139939.00	cm ⁶
Výsekový polomer zotrvačnosti	$I_{w,M}$	8.1	mm
Súčinel telmenia	λ	0.062747	1/mm
Prierezový modul	$W_{y,max}$	4401.01	cm ³
Prierezový modul	$W_{y,min}$	-4982.88	cm ³
Prierezový modul	W_z	-4868.79	cm ³
Výsekový prierezový modul	W_w	1449.30	cm ⁴
Statický moment	$S_{y,max}$	1448.26	cm ³
Statický moment	$S_{z,max}$	1628.24	cm ³
Výseková súradnica	α_{max}	96.56	cm ²
Výseková plocha (plošný moment 1. stupňa výseku)	$S_{w,max}$	695.46	cm ⁴
Stabilitní parameter podľa Kindera	$I_{y,Kindem}$	-0.2	mm
Stabilitní parameter	$I_{y,z}$	4.9	mm
Poloha osi plochy vztiahnutej k S	I_z	-1.7	mm
Plasticický prierezový modul	$W_{pl,y,max}$	5792.90	cm ³
Plasticický prierezový modul	$W_{pl,z,max}$	6470.82	cm ³

Vnútorné sily – Kritický prierez – Príloha 1 – Kapitola 5.1 – Prvok 314

Kritický prierez	N	V_y	V_z	M_T	M_y	M_z
	-6837 kN	0 kN	25 kN	12 kNm	37 kNm	34 kNm

Použité prierezové a materiálové charakteristiky

$$\begin{array}{ll} A_a := 413 \text{ cm}^2 & E := 210 \text{ GPa} \\ I_y := 93478 \text{ cm}^4 & f_y := 355 \text{ MPa} \\ I_z := 121720 \text{ cm}^4 & c_{\text{pas}} := 400 \text{ mm} \\ W_{\text{ply}} := 5793 \text{ cm}^3 & t_{\text{pas}} := 26 \text{ mm} \\ W_{\text{plz}} := 6470 \text{ cm}^3 & c_{\text{stoj}} := 323 \text{ mm} \\ & t_{\text{stoj}} := 24 \text{ mm} \end{array}$$

Vnútorné sily

$$\begin{array}{l} N_{tEd} := 0 \text{ kN} \\ N_{cEd} := 6837 \text{ kN} \\ V_{yEd} := 0 \text{ kN} \\ V_{zEd} := 25 \text{ kN} \\ M_{xEd} := 12 \text{ kN}\cdot\text{m} \\ M_{yEd} := 37 \text{ kN}\cdot\text{m} \\ M_{zEd} := 34 \text{ kN}\cdot\text{m} \end{array}$$

Ostatné charakteristiky

$$\begin{array}{ll} L_{\text{cry}} := 9 \text{ m} & \text{Vzperné dĺžky sú vypočítané pomocou} \\ & \text{stabilitnej analýzy} \\ L_{\text{crz}} := 13 \text{ m} & \\ \gamma_{M0} := 1.0 & \\ \gamma_{M1} := 1.1 & \\ \alpha := 0.34 & \end{array}$$

Trieda prierezu

$$\varepsilon := \sqrt{\frac{235 \text{ MPa}}{f_y}} = 0.814$$

$$\begin{array}{lll} \text{Pásnica} & \frac{c_{\text{pas}}}{t_{\text{pas}}} = 15.385 < 33 \cdot \varepsilon = 26.849 & \text{Trieda prierezu 1} \\ \text{Stojina} & \frac{c_{\text{stoj}}}{t_{\text{stoj}}} = 13.458 < 72 \cdot \varepsilon = 58.580 & \text{Trieda prierezu 1} \end{array}$$

Posudok - Vzper - y-y

$$N_{cry} := \frac{\pi^2 \cdot E \cdot I_y}{L_{cry}^2} = 2.392 \times 10^4 \cdot kN$$

Vzperná krivka $\alpha = 0.340$

$$\lambda_y := \sqrt{A_a \cdot \frac{f_y}{N_{cry}}} = 0.783$$

$$\phi_y := 0.5 \cdot \left[1 + \alpha \cdot (\lambda_y - 0.2) + \lambda_y^2 \right] = 0.906$$

$$\chi_y := \frac{1}{\phi_y + \sqrt{\phi_y^2 - \lambda_y^2}} = 0.735$$

$$N_{bRdy} := \frac{\chi_y \cdot A_a \cdot f_y}{\gamma_{M1}} = 9.796 \times 10^3 \cdot kN \quad > \quad N_{cEd} = 6.837 \times 10^3 \cdot kN$$

Vyhovuje

Posudok - Vzper - z-z

$$N_{crz} := \frac{\pi^2 \cdot E \cdot I_z}{L_{crz}^2} = 1.493 \times 10^4 \cdot kN$$

$$\lambda_z := \sqrt{A_a \cdot \frac{f_y}{N_{crz}}} = 0.991$$

$$\phi_z := 0.5 \cdot \left[1 + \alpha \cdot (\lambda_z - 0.2) + \lambda_z^2 \right] = 1.126$$

$$\chi_z := \frac{1}{\phi_z + \sqrt{\phi_z^2 - \lambda_z^2}} = 0.603$$

$$N_{bRdz} := \frac{\chi_z \cdot A_a \cdot f_y}{\gamma_{M1}} = 8.033 \times 10^3 \cdot kN \quad > \quad N_{cEd} = 6.837 \times 10^3 \cdot kN$$

Vyhovuje

Posudok - Vzper a ohyb

$$\alpha_s := 0.875$$

$$c_{my} := 0.1 + 0.8 \cdot \alpha_s = 0.800 \quad c_{mz} := c_{my} = 0.800$$

$$k_{yy} := c_{my} \cdot \left[1 + \frac{(\lambda_y - 0.2) \cdot N_{cEd}}{\frac{\chi_y \cdot f_y \cdot A_a}{\gamma_{M1}}} \right] = 1.125$$

$$< c_{my} \cdot \left(1 + 0.8 \cdot \frac{N_{cEd}}{\frac{\chi_y \cdot f_y \cdot A_a}{\gamma_{M1}}} \right) = 1.247$$

$$k_{zz} := c_{mz} \cdot \left[1 + \frac{(\lambda_z - 0.2) \cdot N_{cEd}}{\frac{\chi_z \cdot f_y \cdot A_a}{\gamma_{M1}}} \right] = 1.339$$

$$< c_{mz} \cdot \left(1 + 0.8 \cdot \frac{N_{cEd}}{\frac{\chi_z \cdot f_y \cdot A_a}{\gamma_{M1}}} \right) = 1.345$$

$$k_{yz} := 0.6 \cdot k_{zz} = 0.803$$

$$k_{zy} := 0.6 \cdot k_{yy} = 0.675$$

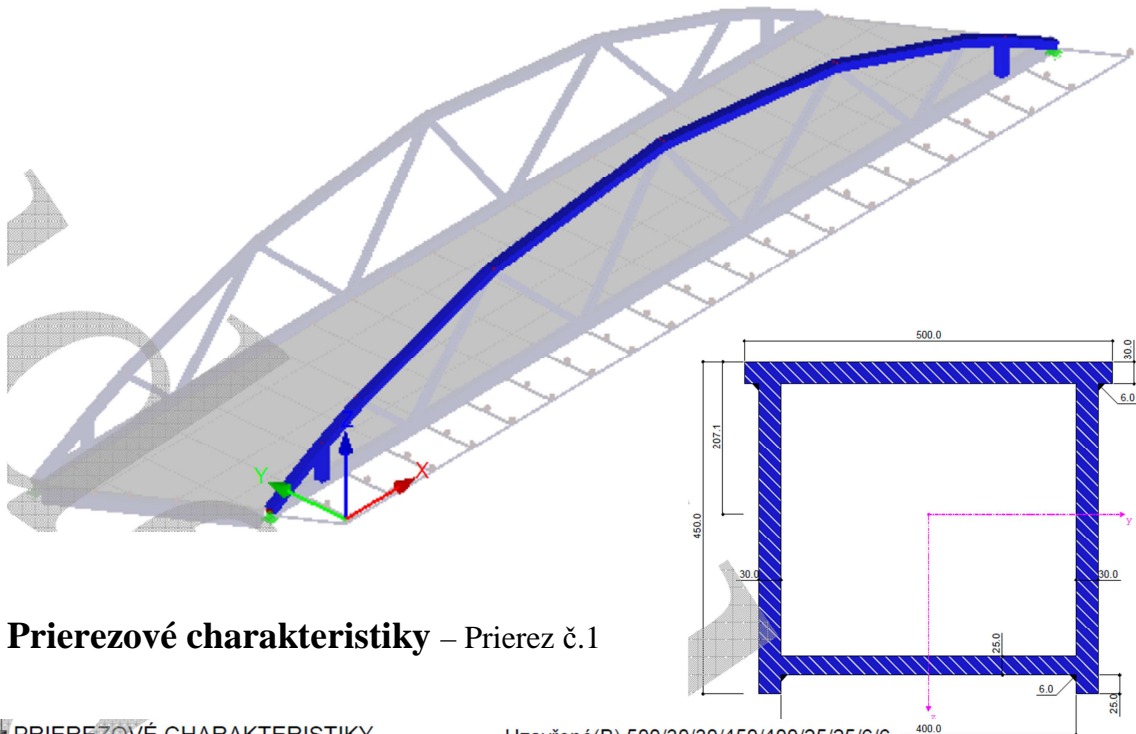
$$\chi_{LT} := 1$$

$$\frac{N_{cEd}}{\frac{\chi_y \cdot f_y \cdot A_a}{\gamma_{M1}}} + k_{yy} \cdot \frac{M_{yEd}}{\frac{\chi_{LT} \cdot W_{ply} \cdot f_y}{\gamma_{M1}}} + k_{yz} \cdot \frac{M_{zEd}}{\frac{W_{plz} \cdot f_y}{\gamma_{M1}}} = 0.733 < 1 \quad \text{Vyhovuje}$$

$$\frac{N_{cEd}}{\frac{\chi_z \cdot f_y \cdot A_a}{\gamma_{M1}}} + k_{zy} \cdot \frac{M_{yEd}}{\frac{\chi_{LT} \cdot W_{ply} \cdot f_y}{\gamma_{M1}}} + k_{zz} \cdot \frac{M_{zEd}}{\frac{W_{plz} \cdot f_y}{\gamma_{M1}}} = 0.886 < 1 \quad \text{Vyhovuje}$$

Statický výpočet Vítazný variant

7.3 Horný pás - Pravý



Prierezové charakteristiky – Prierez č.1

PRIEREZOVÉ CHARAKTERISTIKY	Prierezová charakteristika	Uzavrené(B) 500/30/30/450/400/25/25/6	
	Symbol	Hodnota	Jednotka
Upper flange width	b ₀	500.0	mm
Upper flange thickness	t ₀	30.0	mm
Web thickness	s	30.0	mm
Depth	h	450.0	mm
Lower flange width	b _u	400.0	mm
Lower flange thickness	t _u	25.0	mm
Lower overlap	u	25.0	mm
Upper fillet weld thickness	a ₀	6.0	mm
Lower fillet weld thickness	a _u	6.0	mm
Plocha prierezu	A	502.00	cm ²
Šmyková plocha	A _y	208.54	cm ²
Šmyková plocha	A _z	202.87	cm ²
Učinná šmyková plocha podľa EN 3	A _{v,y}	250.00	cm ²
Učinná šmyková plocha podľa EN 3	A _{v,z}	252.00	cm ²
Plocha jadrí	A _{jadrá}	1709.25	cm ²
Vzdialenosť táziska	e _z	207.1	mm
Moment zotrvačnosti (plošný moment 2. stupňa)	I _y	137479.00	cm ⁴
Moment zotrvačnosti (plošný moment 2. stupňa)	I _z	161259.00	cm ⁴
Polárny moment zotrvačnosti	I _p	298738.00	cm ⁴
Polárny moment zotrvačnosti	I _{p,M}	299894.00	cm ⁴
Polomer zotrvačnosti	r _y	165.5	mm
Polomer zotrvačnosti	r _z	179.2	mm
HLAVNÝ polomer zotrvačnosti	I _u	165.5	mm
HLAVNÝ polomer zotrvačnosti	I _v	179.2	mm
Polárny polomer zotrvačnosti	I _p	243.9	mm
Polárny polomer zotrvačnosti	I _{p,M}	244.4	mm
Hmotnosť prierezu	G	394.1	kg/m
Plocha plášťa	A _{plášt}	1.950	m ² /m
Moment tuhosť v kútení	I _t	202794.00	cm ⁴
St Venantov moment tuhosť v krútení	I _{t,StVén}	1424.28	cm ⁴
Bredtov moment tuhosť v krútení	I _{t,Bredt}	201369.00	cm ⁴
Vzdialenosť stredu šmyku k tázisku	Z _M	-15.4	mm
Výsekový moment zotrvačnosti vztiahnutý k M	I _o	367543.00	cm ⁶
Výsekový polomer zotrvačnosti	I _{o,M}	11.1	mm
Súčinnej tlmenia	λ	0.046132	1/mm
Prierezový modul	W _{y,max}	5660.64	cm ³
Prierezový modul	W _{y,min}	-6637.28	cm ³
Prierezový modul	W _z	-6450.37	cm ³
Výsekový prierezový modul	W _o	3265.56	cm ⁴
Statický moment	S _{y,max}	1911.62	cm ³
Statický moment	S _{z,max}	2202.36	cm ³
Výseková súradnice	W _{max}	112.55	cm ²
Výseková plocha (plošný moment 1. stupňa výseku)	S _{o,max}	1473.17	cm ⁴
Stabilitný parameter podľa Kindema	f _{y,Kindem}	16.8	mm
Stabilitný parameter	f _{M,z}	47.6	mm
Poloča osi plochy vztiahnutej k S	f _z	-8.8	mm
Plasticický prierezový modul	W _{pl,y,max}	7641.83	cm ³
Plasticický prierezový modul	W _{pl,z,max}	8293.00	cm ³

Vnútorné sily – Kritický prierez – Príloha 1 – Kapitola 5.1 – Prvok 321

Kritický prierez	N	V _y	V _z	M _T	M _y	M _z
	-8738 kN	5 kN	0 kN	33 kNm	75 kNm	13 kNm

Použité prierezové a materiálové charakteristiky

$A_a := 502 \text{ cm}^2$	$E := 210 \text{ GPa}$
$I_y := 137479 \text{ cm}^4$	$f_y := 355 \text{ MPa}$
$I_z := 161259 \text{ cm}^4$	$c_{\text{pas}} := 400 \text{ mm}$
$W_{\text{ply}} := 7641 \text{ cm}^3$	$t_{\text{pas}} := 30 \text{ mm}$
$W_{\text{plz}} := 8293 \text{ cm}^3$	$c_{\text{stoj}} := 370 \text{ mm}$
	$t_{\text{stoj}} := 30 \text{ mm}$

Vnútorné sily

$$\begin{aligned} N_{tEd} &:= 0 \text{ kN} \\ N_{cEd} &:= 8738 \text{ kN} \\ V_{yEd} &:= 5 \text{ kN} \\ V_{zEd} &:= 0 \text{ kN} \\ M_{xEd} &:= 33 \text{ kN}\cdot\text{m} \\ M_{yEd} &:= 75 \text{ kN}\cdot\text{m} \\ M_{zEd} &:= 13 \text{ kN}\cdot\text{m} \end{aligned}$$

Ostatné charakteristiky

$$\begin{aligned} L_{\text{cry}} &:= 9 \text{ m} & \text{Vzperné dĺžky sú vypočítané pomocou} \\ L_{\text{crz}} &:= 13 \text{ m} & \text{stabilitnej analýzy} \\ \gamma_{M0} &:= 1.0 \\ \gamma_{M1} &:= 1.1 \\ \alpha &:= 0.34 \end{aligned}$$

Trieda prierezu

$$\varepsilon := \sqrt{\frac{235 \text{ MPa}}{f_y}} = 0.814$$

$$\begin{aligned} \text{Pásnica} \quad \frac{c_{\text{pas}}}{t_{\text{pas}}} &= 13.333 < 33 \cdot \varepsilon = 26.849 & \text{Trieda prierezu 1} \\ \text{Stojina} \quad \frac{c_{\text{stoj}}}{t_{\text{stoj}}} &= 12.333 < 72 \cdot \varepsilon = 58.580 & \text{Trieda prierezu 1} \end{aligned}$$

Posudok - Vzper - y-y

$$N_{cry} := \frac{\pi^2 \cdot E \cdot I_y}{L_{cry}^2} = 3.518 \times 10^4 \cdot kN$$

Vzperná krivka $\alpha = 0.340$

$$\lambda_y := \sqrt{A_a \cdot \frac{f_y}{N_{cry}}} = 0.712$$

$$\phi_y := 0.5 \cdot \left[1 + \alpha \cdot (\lambda_y - 0.2) + \lambda_y^2 \right] = 0.840$$

$$\chi_y := \frac{1}{\phi_y + \sqrt{\phi_y^2 - \lambda_y^2}} = 0.777$$

$$N_{bRdy} := \frac{\chi_y \cdot A_a \cdot f_y}{\gamma_{M1}} = 1.259 \times 10^4 \cdot kN \quad > \quad N_{cEd} = 8.738 \times 10^3 \cdot kN$$

Vyhovuje

Posudok - Vzper - z-z

$$N_{crz} := \frac{\pi^2 \cdot E \cdot I_z}{L_{crz}^2} = 1.978 \times 10^4 \cdot kN$$

$$\lambda_z := \sqrt{A_a \cdot \frac{f_y}{N_{crz}}} = 0.949$$

$$\phi_z := 0.5 \cdot \left[1 + \alpha \cdot (\lambda_z - 0.2) + \lambda_z^2 \right] = 1.078$$

$$\chi_z := \frac{1}{\phi_z + \sqrt{\phi_z^2 - \lambda_z^2}} = 0.629$$

$$N_{bRdz} := \frac{\chi_z \cdot A_a \cdot f_y}{\gamma_{M1}} = 1.020 \times 10^4 \cdot kN \quad > \quad N_{cEd} = 8.738 \times 10^3 \cdot kN$$

Vyhovuje

Posudok - Vzper a ohyb

$$\alpha_s := 0.875$$

$$c_{my} := 0.1 + 0.8 \cdot \alpha_s = 0.800 \quad c_{mz} := c_{my} = 0.800$$

$$k_{yy} := c_{my} \cdot \left[1 + \frac{(\lambda_y - 0.2) \cdot N_{cEd}}{\frac{\chi_y \cdot f_y \cdot A_a}{\gamma_{M1}}} \right] = 1.084$$

$$< c_{my} \cdot \left(1 + 0.8 \cdot \frac{N_{cEd}}{\frac{\chi_y \cdot f_y \cdot A_a}{\gamma_{M1}}} \right) = 1.244$$

$$k_{zz} := c_{mz} \cdot \left[1 + \frac{(\lambda_z - 0.2) \cdot N_{cEd}}{\frac{\chi_z \cdot f_y \cdot A_a}{\gamma_{M1}}} \right] = 1.314$$

$$< c_{mz} \cdot \left(1 + 0.8 \cdot \frac{N_{cEd}}{\frac{\chi_z \cdot f_y \cdot A_a}{\gamma_{M1}}} \right) = 1.348$$

$$k_{yz} := 0.6 \cdot k_{zz} = 0.788$$

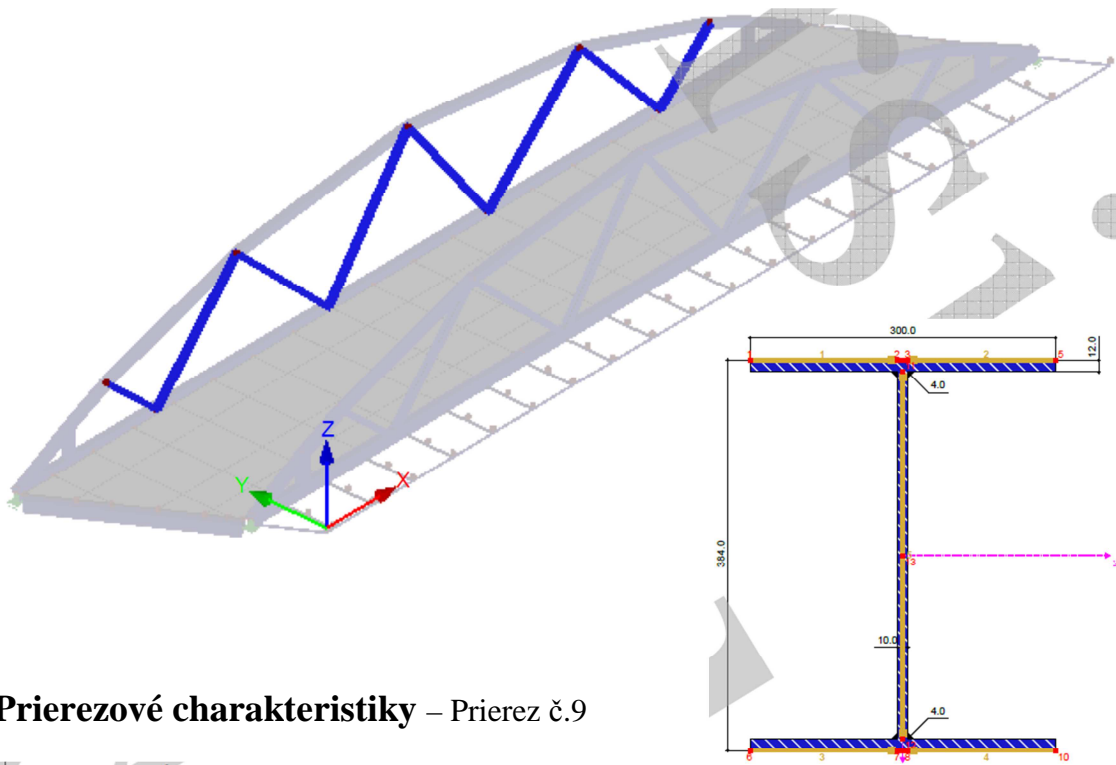
$$k_{zy} := 0.6 \cdot k_{yy} = 0.651$$

$$\chi_{LT} := 1$$

$$\frac{N_{cEd}}{\frac{\chi_y \cdot f_y \cdot A_a}{\gamma_{M1}}} + k_{yy} \cdot \frac{M_{yEd}}{\frac{\chi_{LT} \cdot W_{ply} \cdot f_y}{\gamma_{M1}}} + k_{yz} \cdot \frac{M_{zEd}}{\frac{W_{plz} \cdot f_y}{\gamma_{M1}}} = 0.731 < 1 \quad \text{Vyhovuje}$$

$$\frac{N_{cEd}}{\frac{\chi_z \cdot f_y \cdot A_a}{\gamma_{M1}}} + k_{zy} \cdot \frac{M_{yEd}}{\frac{\chi_{LT} \cdot W_{ply} \cdot f_y}{\gamma_{M1}}} + k_{zz} \cdot \frac{M_{zEd}}{\frac{W_{plz} \cdot f_y}{\gamma_{M1}}} = 0.883 < 1 \quad \text{Vyhovuje}$$

7.4 Diagonála - Ľavá



Prierezové charakteristiky – Prierez č.9

PRIEREZOVÉ CHARAKTERISTIKY		IS 384/300/10/12/4	
Prierezová charakteristika	Symbol	Hodnota	Jednotka
Depth	h	384.0	mm
Width	b	300.0	mm
Web thickness	s	10.0	mm
Hrubá pásnice	t	12.0	mm
Fillet weld thickness	a	4.0	mm
Plocha prierezu	A	108.00	cm ²
Šmyková plocha	A _y	60.08	cm ²
Šmyková plocha	A _z	34.10	cm ²
Účinná šmyková plocha podľa EN 3	A _{v,y}	72.00	cm ²
Účinná šmyková plocha podľa EN 3	A _{v,z}	36.00	cm ²
Plastická šmyková plocha	A _{p,y}	72.00	cm ²
Plastická šmyková plocha	A _{p,z}	37.20	cm ²
Moment zotrvačnosti (plôšny moment 2. stupňa)	I _y	28805.80	cm ⁴
Moment zotrvačnosti (plôšny moment 2. stupňa)	I _z	5403.00	cm ⁴
Polárny moment zotrvačnosti	I _p	34208.80	cm ⁴
Polomer zotrvačnosti	r _y	163.3	mm
Polomer zotrvačnosti	r _z	70.7	mm
Polárny polomer zotrvačnosti	r _p	178.0	mm
Polomer zotrvačnosti pásnice + 1/5 výšky stojiny	r _g	79.1	mm
Hmotnosť prierezu	G	84.8	kg/m
Plocha plášta	A _{plast}	1.948	m ² /m
Moment tuhosti v kútení	I _t	46.09	cm ⁴
Výsekový moment zotrvačnosti vztiahnutý k M	I _o	1.868E+06	cm ⁶
Súčinett' tmenia	λ	0.000308	1/mm
Prierezový modul	W _y	1500.30	cm ³
Prierezový modul	W _z	360.20	cm ³
Výsekový prierezový modul	W _o	6696.00	cm ⁴
Statický moment	S _{y,max}	831.60	cm ³
Statický moment	S _{z,max}	134.96	cm ³
Výseková súradnice	ω _{max}	279.00	cm ²
Výseková plocha (plôšny moment 1. stupňa výseku)	S _{o,max}	2511.00	cm ⁴
Plastický prierezový modul	W _{pl,y,max}	1663.20	cm ³
Plastický prierezový modul	W _{pl,z,max}	549.00	cm ³
Plastický výsekový prierezový modul	W _{pl,o}	10044.00	cm ⁴

Vnútorné sily – Kritický prierez – Príloha 1 – Kapitola 5.1 – Prvok 298

Kritický prierez	N	V _y	V _z	M _T	M _y	M _z
	-104 kN	2 kN	16 KN	0 kNm	103 kNm	21 kNm

Použité prierezové a materiálové charakteristiky

$$\begin{aligned}
 A_a &:= 108 \text{ cm}^2 & E &:= 210 \text{ GPa} \\
 I_y &:= 28805 \text{ cm}^4 & G &:= 81 \text{ GPa} \\
 I_z &:= 5403 \text{ cm}^4 & f_y &:= 355 \text{ MPa} \\
 W_y &:= 1500 \text{ cm}^3 & c_{\text{pas}} &:= 140 \text{ mm} \\
 W_z &:= 360 \text{ cm}^3 & t_{\text{pas}} &:= 12 \text{ mm} \\
 A_{vy} &:= 72 \text{ cm}^2 & c_{\text{stoj}} &:= 360 \text{ mm} \\
 A_{vz} &:= 36 \text{ cm}^2 & t_{\text{stoj}} &:= 10 \text{ mm} \\
 I_w &:= 1.868 \cdot 10^6 \text{ cm}^6 & &
 \end{aligned}$$

$$I_t := 46.1 \text{ cm}^4$$

Vnútorné sily

$$N_{tEd} := 0 \text{ kN}$$

$$N_{cEd} := 104 \text{ kN}$$

$$V_{yEd} := 2 \text{ kN}$$

$$V_{zEd} := 16 \text{ kN}$$

$$M_{xEd} := 0 \text{ kN}\cdot\text{m}$$

$$M_{yEd} := 103 \text{ kN}\cdot\text{m}$$

$$M_{zEd} := 21 \text{ kN}\cdot\text{m}$$

Ostatné charakteristiky

$$L_{\text{cry}} := 8.81 \text{ m}$$

$$L_{\text{crz}} := 8.81 \text{ m}$$

$$L_{\text{LT}} := 8.81 \text{ m}$$

$$\gamma_{M0} := 1.0 \quad \gamma_{M1} := 1.1$$

$$\alpha := 0.49$$

Trieda prierezu

$$\varepsilon := \sqrt{\frac{235 \text{ MPa}}{f_y}} = 0.814$$

$$\text{Pásnica} \quad \frac{c_{\text{pas}}}{t_{\text{pas}}} = 11.667 \quad < \quad 33 \cdot \varepsilon = 26.849 \quad \text{Trieda prierezu 1}$$

$$\text{Stojina} \quad \frac{c_{\text{stoj}}}{t_{\text{stoj}}} = 36.000 \quad < \quad 72 \cdot \varepsilon = 58.580 \quad \text{Trieda prierezu 1}$$

Posudok - Vzper - y-y

$$N_{cry} := \frac{\pi^2 \cdot E \cdot I_y}{L_{cry}^2} = 7.692 \times 10^3 \cdot kN$$

Vzperná krivka C $\alpha = 0.490$

$$\lambda_y := \sqrt{A_a \cdot \frac{f_y}{N_{cry}}} = 0.706$$

$$\phi_y := 0.5 \cdot \left[1 + \alpha \cdot (\lambda_y - 0.2) + \lambda_y^2 \right] = 0.873$$

$$\chi_y := \frac{1}{\phi_y + \sqrt{\phi_y^2 - \lambda_y^2}} = 0.721$$

$$N_{bRdy} := \frac{\chi_y \cdot A_a \cdot f_y}{\gamma_{M1}} = 2.513 \times 10^3 \cdot kN \quad > \quad N_{cEd} = 104.000 \cdot kN$$

Vyhovuje

Posudok - Vzper - z-z

$$N_{crz} := \frac{\pi^2 \cdot E \cdot I_z}{L_{crz}^2} = 1.443 \times 10^3 \cdot kN$$

$$\lambda_z := \sqrt{A_a \cdot \frac{f_y}{N_{crz}}} = 1.630$$

$$\phi_z := 0.5 \cdot \left[1 + \alpha \cdot (\lambda_z - 0.2) + \lambda_z^2 \right] = 2.179$$

$$\chi_z := \frac{1}{\phi_z + \sqrt{\phi_z^2 - \lambda_z^2}} = 0.276$$

$$N_{bRdz} := \frac{\chi_z \cdot A_a \cdot f_y}{\gamma_{M1}} = 961.484 \cdot kN \quad > \quad N_{cEd} = 104.000 \cdot kN$$

Vyhovuje

Posudok - Klopenie

$$L_{LT} = 8.810 \text{ m}$$

$$k_w := 1$$

$$k_z := 1$$

$$\kappa_{wt} := \frac{\pi}{k_w \cdot L_{LT}} \cdot \sqrt{\frac{E \cdot I_w}{G \cdot I_t}} = 1.156$$

$$C_{10} := 1.85$$

$$C_{11} := 1.77$$

$$C_1 := C_{10} + (C_{11} - C_{10}) \cdot \kappa_{wt} = 1.758$$

$$C_2 := 0$$

$$C_3 := 0$$

$$z_g := 0$$

$$z_j := 0$$

$$\zeta_g := \frac{\pi \cdot z_g}{k_z \cdot L_{LT}} \cdot \sqrt{\frac{E \cdot I_z}{G \cdot I_t}} = 0.000$$

$$\zeta_j := \frac{\pi \cdot z_j}{k_z \cdot L_{LT}} \cdot \sqrt{\frac{E \cdot I_z}{G \cdot I_t}} = 0.000$$

$$\mu_{cr} := \frac{C_1}{k_z} \cdot \left[\sqrt{1 + \kappa_{wt}^2 + (C_2 \cdot \zeta_g - C_3 \cdot \zeta_j)^2} - (C_2 \cdot \zeta_g - C_3 \cdot \zeta_j) \right] = 2.686$$

$$M_{cr} := \mu_{cr} \cdot \pi \cdot \frac{\sqrt{E \cdot I_z \cdot G \cdot I_t}}{L_{LT}} = 623.478 \cdot \text{kN m}$$

Vzperná krvka $\alpha := 0.49$

$$\lambda_{LT} := \sqrt{W_y \cdot \frac{f_y}{M_{cr}}} = 0.924$$

$$\phi_{LT} := 0.5 \cdot \left[1 + \alpha \cdot (\lambda_{LT} - 0.2) + \lambda_{LT}^2 \right] = 1.104$$

$$\chi_{LT} := \frac{1}{\phi_{LT} + \sqrt{\phi_{LT}^2 - \lambda_{LT}^2}} = 0.585$$

$$M_{bRd} := \frac{\chi_{LT} \cdot W_y \cdot f_y}{\gamma_{M1}} = 283.221 \cdot \text{kN m} \quad > M_{yEd} = 103.000 \cdot \text{kN m}$$

Vyhovuje

Posudok - Vzper a ohyb - y-y

$$\psi := 0$$

$$c_{my} := 0.6 + 0.4 \cdot \psi = 0.600$$

$$c_{mz} := c_{my} = 0.600 \quad c_{mLT} := c_{my} = 0.600$$

$$k_{yy} := c_{my} \cdot \left[1 + \frac{(\lambda_y - 0.2) \cdot N_{cEd}}{\chi_y \cdot f_y \cdot A_a} \right] = 0.613$$

$$c_{my} \cdot \left(1 + 0.8 \cdot \frac{N_{cEd}}{\chi_y \cdot f_y \cdot A_a} \right) = 0.620$$

$$k_{zz} := c_{mz} \cdot \left[1 + \frac{(\lambda_z - 0.2) \cdot N_{cEd}}{\chi_z \cdot f_y \cdot A_a} \right] = 0.693$$

$$c_{mz} \cdot \left(1 + 0.8 \cdot \frac{N_{cEd}}{\chi_z \cdot f_y \cdot A_a} \right) = 0.652$$

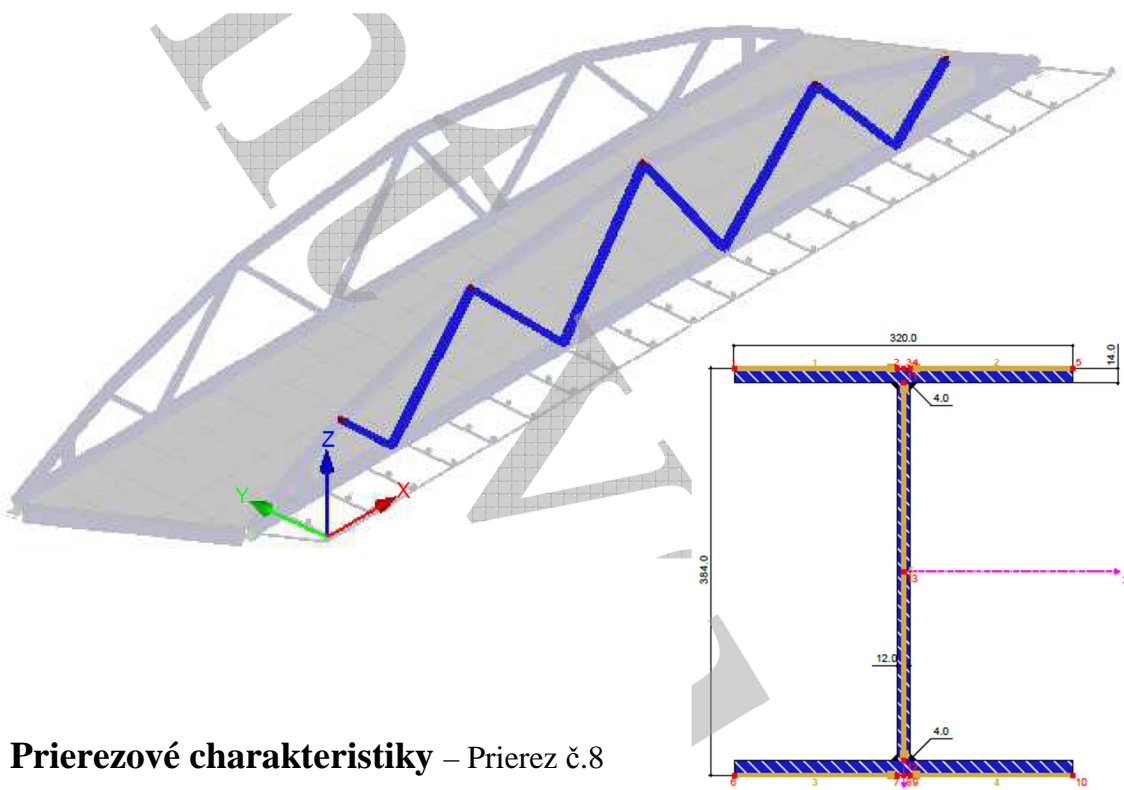
$$k_{vz} := 0.6 \cdot k_{zz} = 0.416$$

$$k_{zy} := \left[1 - \frac{0.1 \cdot \lambda_z}{(c_{mLT} - 0.25)} \cdot \frac{N_{cEd}}{N_{bRdz}} \right] = 0.950$$

$$\frac{N_{cEd}}{\chi_y \cdot f_y \cdot A_a} + k_{yy} \cdot \frac{M_{yEd}}{\chi_{LT} \cdot W_y \cdot f_y} + k_{yz} \cdot \frac{M_{zEd}}{W_z \cdot f_y} = 0.339 < 1 \quad \text{Vyhovuje}$$

$$\frac{N_{cEd}}{\chi_z \cdot f_y \cdot A_a} + k_{zy} \cdot \frac{M_{yEd}}{\chi_{LT} \cdot W_y \cdot f_y} + k_{zz} \cdot \frac{M_{zEd}}{W_z \cdot f_y} = 0.579 < 1 \quad \text{Vyhovuje}$$

7.5 Diagonála - Pravá



Prierezové charakteristiky – Prierez č.8

PRIEREZOVÉ CHARAKTERISTIKY		IS 384/320/12/14/4		
Prierezová charakteristika	Symbol	Hodnota	Jednotka	
Depth	h	384.0	mm	
Width	b	320.0	mm	
Web thickness	s	12.0	mm	
Hrubka pásnice	t	14.0	mm	
Fillet weld thickness	a	4.0	mm	
Plocha prierezu	A	132.32	cm ²	
Šmyková plocha	A _y	74.78	cm ²	
Šmyková plocha	A _z	40.34	cm ²	
Učinná šmyková plocha podľa EN 3	A _{y,v}	89.60	cm ²	
Učinná šmyková plocha podľa EN 3	A _{v,z}	42.72	cm ²	
Plastická šmyková plocha	A _{p,y}	89.60	cm ²	
Plastická šmyková plocha	A _{p,z}	44.40	cm ²	
Moment zotrvačnosti (plošný moment 2. stupňa)	I _y	35192.00	cm ⁴	
Moment zotrvačnosti (plošný moment 2. stupňa)	I _z	7650.99	cm ⁴	
Polárny moment zotrvačnosti	I _{y²}	42843.00	cm ⁴	
Polomer zotrvačnosti	i _y	163.1	mm	
Polomer zotrvačnosti	i _z	76.0	mm	
Polárny polomer zotrvačnosti	i _{y²}	179.9	mm	
Polomer zotrvačnosti pásnice + 1/5 výšky stojiny	i _g	84.7	mm	
Hmotnosť prierezu	G	103.9	kg/m	
Plocha plášta	A _{plast}	2.024	m ² /m	
Moment tuhosti v kútení	k _t	78.24	cm ⁴	
Výsekový moment zotrvačnosti vztižnutý k M	I _b	2.617E+06	cm ⁵	
Súčin telitímenia	λ	0.000340	1/mm	
Prierezový modul	W _y	1832.92	cm ³	
Prierezový modul	W _z	478.19	cm ³	
Výsekový prierezový modul	W _e	8840.53	cm ⁴	
Statický moment	S _{y,max}	1018.90	cm ³	
Statický moment	S _{z,max}	179.14	cm ³	
Výseková súradnica	ξ _{max}	296.00	cm ²	
Výseková plocha (plošný moment 1. stupňa výšeku)	S _{e,max}	3315.20	cm ⁴	
Plastický prierezový modul	W _{p,y,max}	2037.81	cm ³	
Plastický prierezový modul	W _{p,z,max}	729.62	cm ³	
Plastický výsekový prierezový modul	W _{p,e}	13260.80	cm ⁴	

Vnútorné sily – Kritický prierez – Príloha 1 – Kapitola 5.1 – Prvok 309

Kritický prierez	N	V _y	V _z	M _T	M _y	M _z
	1376 kN	28 kN	13 kN	0 kNm	51 kNm	71 kNm

Použité prierezové a materiálové charakteristiky

$A_a := 132 \text{ cm}^2$	$E := 210 \text{ GPa}$
$I_y := 35192 \text{ cm}^4$	$G := 81 \text{ GPa}$
$I_z := 7651 \text{ cm}^4$	$f_y := 355 \text{ MPa}$
$W_y := 1832 \text{ cm}^3$	$c_{\text{pas}} := 150 \text{ mm}$
$W_z := 478 \text{ cm}^3$	$t_{\text{pas}} := 14 \text{ mm}$
$A_{vy} := 75 \text{ cm}^2$	$c_{\text{stoj}} := 360 \text{ mm}$
$A_{vz} := 40 \text{ cm}^2$	$t_{\text{stoj}} := 12 \text{ mm}$
$I_w := 2.617 \cdot 10^6 \text{ cm}^6$	$\gamma_{M0} := 1$
$I_t := 78.24 \text{ cm}^4$	

Vnútorné sily

$$N_{tEd} := 1376 \text{ kN}$$

$$N_{cEd} := 0 \text{ kN}$$

$$V_{yEd} := 28 \text{ kN}$$

$$V_{zEd} := 13 \text{ kN}$$

$$M_{xEd} := 0 \text{ kN}\cdot\text{m}$$

$$M_{yEd} := 51 \text{ kN}\cdot\text{m}$$

$$M_{zEd} := 71 \text{ kN}\cdot\text{m}$$

Trieda prierezu

$$\varepsilon := \sqrt{\frac{235 \text{ MPa}}{f_y}} = 0.814$$

$$\text{Pásnica } \frac{c_{\text{pas}}}{t_{\text{pas}}} = 10.714 < 14 \cdot \varepsilon = 11.391 \quad \text{Trieda prierezu 3}$$

$$\text{Stojina } \frac{c_{\text{stoj}}}{t_{\text{stoj}}} = 30.000 < t_{\text{ah}}$$

Posudok - Tah

$$N_{tRd} := \frac{A_a \cdot f_y}{\gamma_{M0}} = 4.686 \times 10^3 \cdot \text{kN} > N_{tEd} = 1.376 \times 10^3 \cdot \text{kN}$$

Vyhovuje

Posudok - Ohybový moment - y

$$M_{yRd} := \frac{W_y \cdot f_y}{\gamma_{M0}} = 650.360 \cdot \text{kN m} > M_{yEd} = 51.000 \cdot \text{kN m}$$

Vyhovuje

Posudok - Ohybový moment - z

$$M_{zRd} := \frac{W_z \cdot f_y}{\gamma_{M0}} = 169.690 \cdot \text{kN m} \quad > \quad M_{zEd} = 71.000 \cdot \text{kN m}$$

Vyhovuje

Posudok - Ohyb a osová sila

$$\sigma_N := \frac{N_{tEd}}{A_a} = 104.242 \cdot \text{MPa}$$

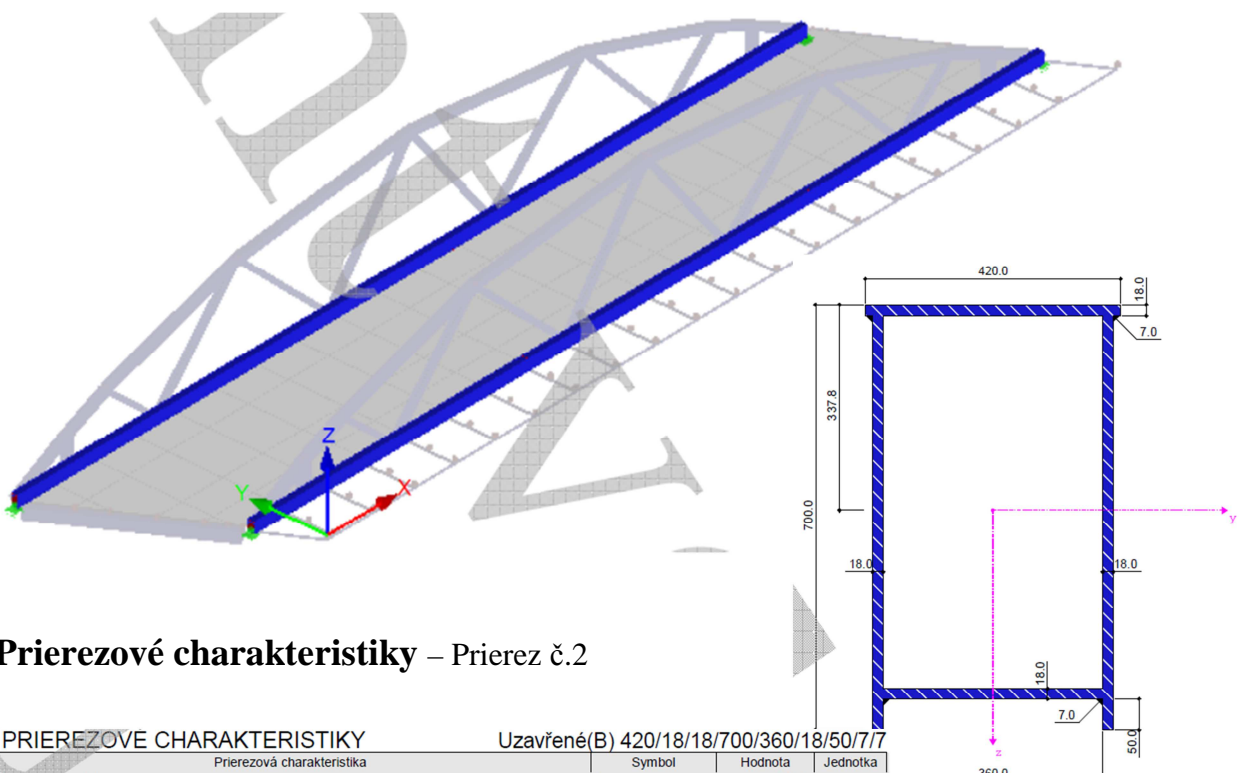
$$\sigma_{My} := \frac{M_{yEd}}{W_y} = 27.838 \cdot \text{MPa}$$

$$\sigma_{Mz} := \frac{M_{zEd}}{W_z} = 148.536 \cdot \text{MPa}$$

$$\sigma_N + \sigma_{My} + \sigma_{Mz} = 280.616 \cdot \text{MPa} \quad < \quad \frac{f_y}{\gamma_{M0}} = 355.000 \cdot \text{MPa}$$

Vyhovuje

7.6 Dolný pás



Prierezové charakteristiky – Prierez č.2

PRIEREZOVE CHARAKTERISTIKY		Uzavřené(B) 420/18/18/700/360/18/50/7/7		
	Prierezová charakteristika	Symbol	Hodnota	Jednotka
Upper flange width	b_o	420.0	mm	
Upper flange thickness	t_o	18.0	mm	
Web thickness	s	18.0	mm	
Depth	h	700.0	mm	
Lower flange width	b_u	360.0	mm	
Lower flange thickness	t_u	18.0	mm	
Lower overlap	a_u	50.0	mm	
Upper fillet weld thickness	a_o	7.0	mm	
Lower fillet weld thickness	a_u	7.0	mm	
Plocha prierezu	A	385.92	cm ²	
Šmyková plocha	A_y	102.42	cm ²	
Šmyková plocha	A_z	212.21	cm ²	
Účinná šmyková plocha podľa EN 3	$A_{y,V}$	140.40	cm ²	
Účinná šmyková plocha podľa EN 3	$A_{z,V}$	245.52	cm ²	
Plocha jadra	$A_{j,práca}$	2388.96	cm ²	
Vzdialenosť ľažiska	e_z	337.8	mm	
Moment zotrvačnosti (plošný moment 2. stupňa)	I_y	237607.00	cm ⁴	
Moment zotrvačnosti (plošný moment 2. stupňa)	I_z	105880.00	cm ⁴	
Polárny moment zotrvačnosti	I_p	343487.00	cm ⁴	
Polárny moment zotrvačnosti	$I_{p,M}$	344035.00	cm ⁴	
Polomer zotrvačnosti	r_y	248.1	mm	
Polomer zotrvačnosti	r_z	165.6	mm	
Polomer zotrvačnosti	r_u	248.1	mm	
Polomer zotrvačnosti	r_v	165.6	mm	
Polomer zotrvačnosti	r_p	298.3	mm	
Polomer zotrvačnosti	$r_{p,M}$	298.6	mm	
Hmotnosť príreazu	G	302.9	kg/m	
Plocha pláštia	$A_{plášť}$	2.340	m ² /m	
Moment tuhosti v kútení	I_t	203842.00	cm ⁴	
St. Venantov moment tuhosti v krútení	$I_{t,Svén}$	419.48	cm ⁴	
Bredtov moment tuhosti v krútení	$I_{t,Bredt}$	203422.00	cm ⁴	
Vzdialenosť stredu šmyku k ľažisku	Z_M	-12.1	mm	
Výsekový moment zotrvačnosti vztiahnutý k M	I_o	3.202E+06	cm ⁴	
Výsekový polomer zotrvačnosti	r_o	30.5	mm	
Súčin teloživota	λ	0.015671	1/mm	
Prierezový modul	$W_{y,max}$	6559.88	cm ³	
Prierezový modul	$W_{y,min}$	-7034.23	cm ³	
Prierezový modul	W_z	-5041.91	cm ³	
Výsekový prierezový modul	W_o	14685.10	cm ³	
Statický moment	$S_{y,max}$	2163.19	cm ³	
Statický moment	$S_{z,max}$	1542.48	cm ³	
Výseková súradnica	α_{max}	218.02	cm ²	
Výseková plocha (plošný moment 1. stupňa výseku)	$S_{o,max}$	4274.94	cm ⁴	
Stabilítnej parameter podľa Kindema	$r_{y,Kindem}$	-11.1	mm	
Stabilítnej parameter	$r_{v,z}$	13.1	mm	
Poloha osi plochy vztiahnutej k S	r_z	6.2	mm	
Plasticický prierezový modul	$W_{pl,y,max}$	8651.38	cm ³	
Plasticický prierezový modul	$W_{pl,z,max}$	6017.33	cm ³	

Vnútorné sily – Kritický prierez – Príloha 1 – Kapitola 5.1 – Prvok 147

Kritický prierez	N	V_y	V_z	M_T	M_y	M_z
	2900 kN	8 kN	195 kN	59 kNm	1740 kNm	19 kNm

Použité prierezové a materiálové charakteristiky

$$\begin{aligned}
 A_a &:= 385 \text{ cm}^2 & E &:= 210 \text{ GPa} \\
 I_y &:= 237607 \text{ cm}^4 & f_y &:= 355 \text{ MPa} \\
 I_z &:= 105880 \text{ cm}^4 & c_{\text{pas}} &:= 360 \text{ mm} \\
 W_y &:= 6559 \text{ cm}^3 & t_{\text{pas}} &:= 18 \text{ mm} \\
 W_z &:= 5042 \text{ cm}^3 & c_{\text{stoj}} &:= 614 \text{ mm} \\
 A_{vy} &:= 102 & t_{\text{stoj}} &:= 18 \text{ mm} \\
 A_{vz} &:= 212
 \end{aligned}$$

Vnútorné sily

$$N_{tEd} := 2900 \text{ kN}$$

$$N_{cEd} := 0 \text{ kN}$$

$$V_{yEd} := 8 \text{ kN}$$

$$V_{zEd} := 195 \text{ kN}$$

$$M_{xEd} := 59 \text{ kN}\cdot\text{m}$$

$$M_{yEd} := 1740 \text{ kN}\cdot\text{m}$$

$$M_{zEd} := 19 \text{ kN}\cdot\text{m}$$

Ostatné charakteristiky

$$\gamma_{M0} := 1.0$$

$$\gamma_{M1} := 1.1$$

Trieda prierezu

$$\varepsilon := \sqrt{\frac{235 \text{ MPa}}{f_y}} = 0.814$$

$$\text{Pásnica } \frac{c_{\text{pas}}}{t_{\text{pas}}} = 20.000 < 33 \cdot \varepsilon = 26.849 \quad \text{Trieda prierezu 1}$$

$$\text{Stojina } \frac{c_{\text{stoj}}}{t_{\text{stoj}}} = 34.111 < 72 \cdot \varepsilon = 58.580 \quad \text{Trieda prierezu 1}$$

Posudok - Tah

$$N_{tRd} := \frac{A_a \cdot f_y}{\gamma_{M0}} = 1.367 \times 10^4 \cdot \text{kN} \quad > \quad N_{tEd} = 2.900 \times 10^3 \cdot \text{kN}$$

Vyhovuje

Posudok - Ohybový moment - y

$$M_{yRd} := \frac{W_y \cdot f_y}{\gamma_{M0}} = 2.328 \times 10^3 \cdot kN \cdot m > M_{yEd} = 1.740 \times 10^3 \cdot kN \cdot m$$

Posudok - Ohybový moment - z Vyhovuje

$$M_{zRd} := \frac{W_z \cdot f_y}{\gamma_{M0}} = 1.790 \times 10^3 \cdot kN \cdot m > M_{zEd} = 19.000 \cdot kN \cdot m$$

Vyhovuje

Posudok - Ohyb a osová sila

$$\sigma_N := \frac{N_{tEd}}{A_a} = 75.325 \cdot MPa$$

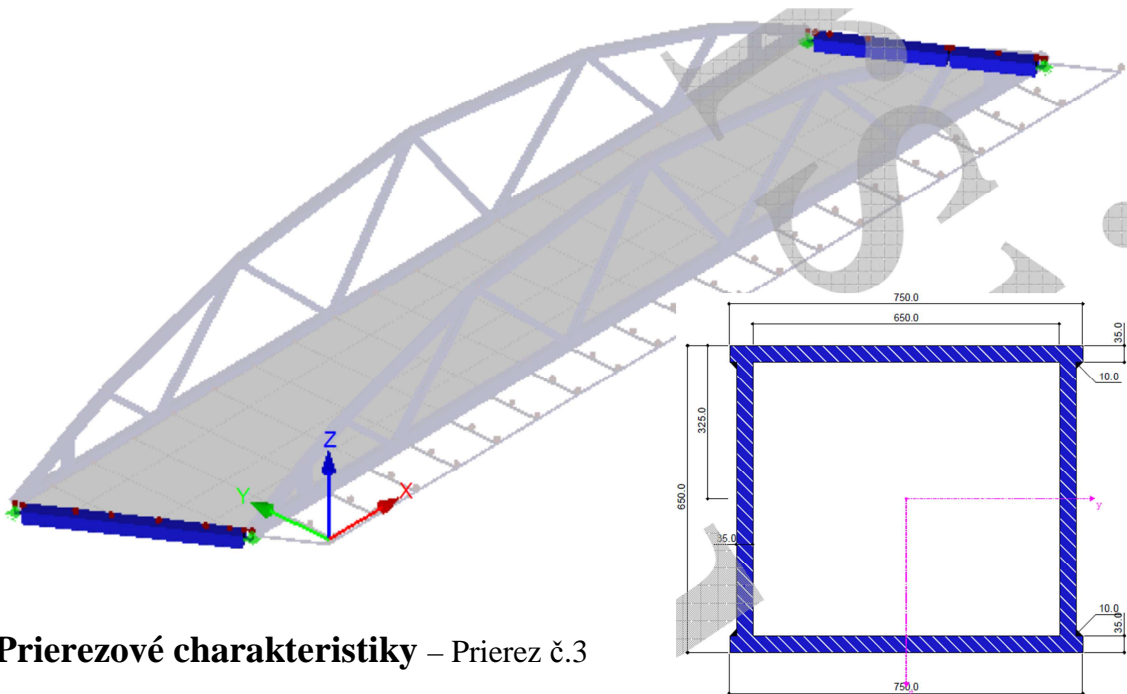
$$\sigma_{My} := \frac{M_{yEd}}{W_y} = 265.284 \cdot MPa$$

$$\sigma_{Mz} := \frac{M_{zEd}}{W_z} = 3.768 \cdot MPa$$

$$\sigma_N + \sigma_{My} + \sigma_{Mz} = 344.377 \cdot MPa < \frac{f_y}{\gamma_{M0}} = 355.000 \cdot MPa$$

Vyhovuje

7.7 Koncový priečnik



Prierezové charakteristiky – Prierez č.3

PRIEREZOVÉ CHARAKTERISTIKY		Uzavřené(A) 750/35/35/650/650/750/35/10/10		
	Prierezová charakteristika	Symbol	Hodnota	Jednotka
Upper flange width	b _u	750.0	mm	
Upper flange thickness	t _u	35.0	mm	
Web thickness	s	35.0	mm	
Inner size	b _i	650.0	mm	
Depth	h	650.0	mm	
Lower flange width	b _u	750.0	mm	
Lower flange thickness	t _u	35.0	mm	
Upper fillet weld thickness	a _u	10.0	mm	
Lower fillet weld thickness	a _u	10.0	mm	
Plocha prierezu	A	931.00	cm ²	
Šmyková plocha	A _y	417.42	cm ²	
Šmyková plocha	A _x	353.74	cm ²	
Účinná šmyková plocha podľa EN 3	A _{y,y}	525.00	cm ²	
Účinná šmyková plocha podľa EN 3	A _{y,z}	406.00	cm ²	
Plocha jadra	A _{Adra}	4212.75	cm ²	
Vzdialenosť ľažiska	e _z	325.0	mm	
Moment zotrvačnosti (plošný moment 2. stupňa)	I _y	610772.00	cm ⁴	
Moment zotrvačnosti (plošný moment 2. stupňa)	I _z	722772.00	cm ⁴	
Polárny moment zotrvačnosti	I _p	1.334E+06	cm ⁴	
Polárny moment zotrvačnosti	I _{p,M}	1.334E+06	cm ⁴	
Polomer zotrvačnosti	i _y	256.1	mm	
Polomer zotrvačnosti	i _z	278.6	mm	
Polárnym polomer zotrvačnosti	i _p	378.5	mm	
Polárnym polomer zotrvačnosti	i _{p,M}	378.5	mm	
Hmotnosť príreazu	G	730.8	kg/m	
Plocha pláštia	Aplášť	3.000	m ² /m	
Moment tuhosti v kútení	I _t	959454.00	cm ⁴	
St. Venantov moment tuhosti v krútení	I _{Lst,Vén}	3832.06	cm ⁴	
Bredtov moment tuhosti v krútení	I _{LBrett}	955622.00	cm ⁴	
Vzdialenosť stredu šmyku k ľažisku	Z _M	0.0	mm	
Výsekový moment zotrvačnosti vztiahnutý k M	I _o	1.015E+06	cm ⁵	
Výsekový polomer zotrvačnosti	i _{o,M}	8.7	mm	
Súčin tel. Imlenia	λ	0.060369	1/mm	
Prierezový modul	W _{y,max}	18793.00	cm ³	
Prierezový modul	W _{y,min}	-18793.00	cm ³	
Prierezový modul	W _z	19273.90	cm ³	
Výsekový prierezový modul	W _o	17906.30	cm ⁴	
Statický moment	S _{y,max}	5507.69	cm ³	
Statický moment	S _{z,max}	5937.31	cm ³	
Výseková súradnica	ω _{max}	56.71	cm ²	
Výseková plocha (plošný moment 1. stupňa výseku)	S _{y,y,max}	3323.68	cm ⁴	
Stabilitný parameter podľa Kindema	r _{y,Kindem}	0.0	mm	
Stabilitný parameter	r _{y,z}	0.0	mm	
Poloha osi plochy vztiahnutej k S	i _z	0.0	mm	
Plastický prierezový modul	W _{pl,y,max}	22030.80	cm ³	
Plastický prierezový modul	W _{pl,z,max}	23749.30	cm ³	

Vnútorné sily – Kritický prierez v oblasti záporného momentu – Príloha 1 – Kapitola 5.1 – Prvok 198

Kritický prierez	N	V _y	V _z	M _T	M _y	M _z
	-1247 kN	4153 kN	597 kN	1836 kNm	970 kNm	1114 kNm

Použité prierezové a materiálové charakteristiky

$A_a := 931 \text{ cm}^2$	$E := 210 \text{ GPa}$
$I_y := 610772 \text{ cm}^4$	$f_y := 355 \text{ MPa}$
$I_z := 722772 \text{ cm}^4$	$c_{\text{pas}} := 650 \text{ mm}$
$W_{\text{ply}} := 22030 \text{ cm}^3$	$t_{\text{pas}} := 35 \text{ mm}$
$W_{\text{plz}} := 23749 \text{ cm}^3$	$c_{\text{stoj}} := 580 \text{ mm}$
$A_{vy} := 417 \text{ cm}^2$	$t_{\text{stoj}} := 35 \text{ mm}$
$A_{vz} := 354 \text{ cm}^2$	

Vnútorné sily

$N_{tEd} := 0 \text{ kN}$	Kritický prierez je v oblasti záporného momentu My a preto v posudku betón neuvažujem.
$N_{cEd} := 1247 \text{ kN}$	
$V_{yEd} := 4153 \text{ kN}$	
$V_{zEd} := 597 \text{ kN}$	
$M_{xEd} := 1836 \text{ kN}\cdot\text{m}$	
$M_{yEd} := 970 \text{ kN}\cdot\text{m}$	
$M_{zEd} := 1114 \text{ kN}\cdot\text{m}$	

Ostatné charakteristiky

$$\gamma_{M0} := 1.0$$

$$\gamma_{M1} := 1.1$$

Trieda prierezu

$$\varepsilon := \sqrt{\frac{235 \text{ MPa}}{f_y}} = 0.814$$

$$\text{Pásnica } \frac{c_{\text{pas}}}{t_{\text{pas}}} = 18.571 < 33 \cdot \varepsilon = 26.849 \quad \text{Trieda prierezu 1}$$

$$\text{Pásnica } \frac{c_{\text{stoj}}}{t_{\text{stoj}}} = 16.571 < 33 \cdot \varepsilon = 26.849 \quad \text{Trieda prierezu 1}$$

Posudok - Tlak

Statický výpočet
Víťazný variant

$$N_{cRd} := \frac{A_a \cdot f_y}{\gamma_{M0}} = 3.305 \times 10^4 \cdot kN > N_{cEd} = 1.247 \times 10^3 \cdot kN$$

$$\sigma_{xc} := \frac{N_{cEd}}{A_a} = 13.394 \cdot MPa \quad \text{Vyhovuje}$$

Posudok - Ohybový moment - My

$$M_{yRd} := \frac{W_{ply} \cdot f_y}{\gamma_{M0}} = 7.821 \times 10^3 \cdot kN \cdot m > M_{yEd} = 970.000 \cdot kN \cdot m$$

$$\sigma_{xMy} := \frac{M_{yEd}}{W_{ply}} = 44.031 \cdot MPa \quad \text{Vyhovuje}$$

Posudok - Šmyk - v smere y

$$V_{plRdy} := \frac{A_{vy} \cdot f_y}{\gamma_{M0} \cdot \sqrt{3}} = 8.547 \times 10^3 \cdot kN > V_{yEd} = 4.153 \times 10^3 \cdot kN \quad \text{Vyhovuje}$$

$$\tau_{Ved} := \frac{V_{yEd}}{A_{vy}} = 99.592 \cdot MPa$$

Posudok - Krútenie

$$t_{min} := \min(t_{pas}, t_{stoj}) = 35.000 \cdot mm$$

$$W_t := (c_{pas} + t_{stoj}) \cdot (c_{stoj} + t_{pas}) \cdot 2 \cdot t_{min} = 0.029 \cdot m^3$$

$$T_{Rd} := \frac{f_y \cdot W_t}{\gamma_{M0} \cdot \sqrt{3}} = 6.044 \times 10^3 \cdot kN \cdot m > M_{xEd} = 1.836 \times 10^3 \cdot kN \cdot m$$

$$\tau_{Ted} := \frac{M_{xEd}}{W_t} = 62.260 \cdot MPa \quad \text{Vyhovuje}$$

Posudok - Ohyb, Krútenie a Šmyk

$$V_{plTRd} := \left(1 - \frac{\tau_{Ted}}{\frac{f_y}{\sqrt{3}}} \right) \cdot V_{plRdy} = 5.951 \times 10^3 \cdot kN$$

$$\check{S}myk = \frac{V_{yEd}}{V_{plTRd}} = 0.698 < 1 \quad \text{Vyhovuje}$$

$$\rho := \left(\frac{2 \cdot V_{yEd}}{V_{plTRd}} - 1 \right)^2 = 0.157$$

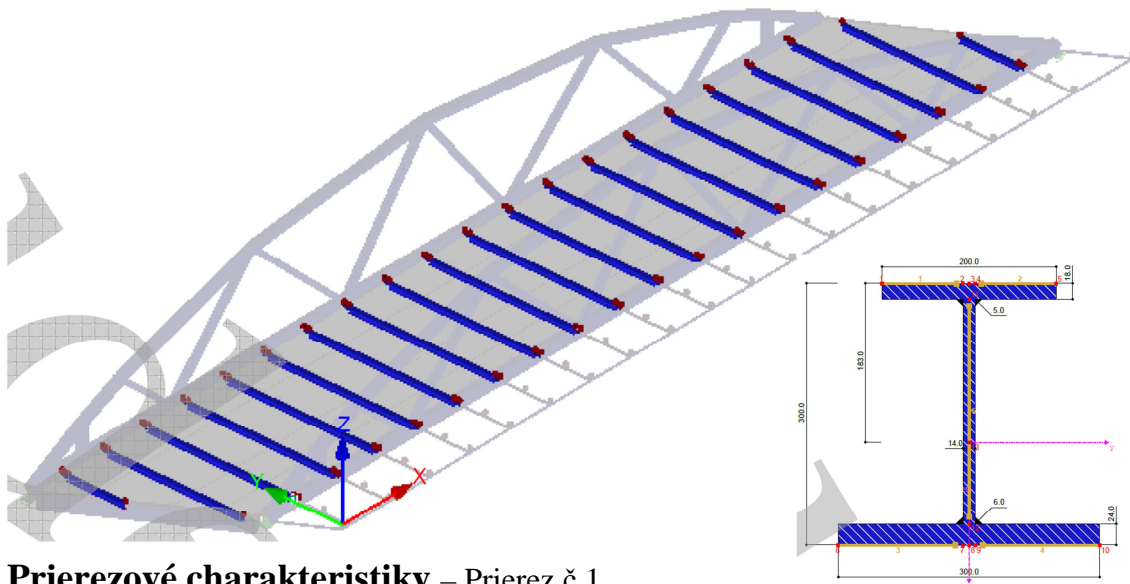
Statický výpočet
Víťazný variant

$$f_{yd} := (1 - \rho) \cdot \frac{f_y}{\gamma_{M0}} = 299.377 \cdot \text{MPa}$$

Ohyb $\frac{M_{yEd}}{W_{ply} \cdot f_{yd}} = 0.147 < 1$ Vyhovuje

$$\left(\frac{\sigma_{xc} + \sigma_{xMy}}{f_y} \right)^2 + 3 \left(\frac{\tau_{Ted} + \tau_{Ved}}{f_y} \right)^2 = 0.650 < 1 \quad \text{Vyhovuje}$$

7.8 Priečnik



Prierezové charakteristiky – Prierez č. 1

PRIEREZOVÉ CHARAKTERISTIKY		IU 300/200/18/14/300/24/5/6	
Prierezová charakteristika	Symbol	Hodnota	Jednotka
Depth	h	300.0	mm
Upper flange width	b_u	200.0	mm
Upper flange thickness	t_u	18.0	mm
Web thickness	s	14.0	mm
Lower flange width	b_d	300.0	mm
Lower flange thickness	t_d	24.0	mm
Upper fillet weld thickness	a_u	5.0	mm
Lower fillet weld thickness	a_d	6.0	mm
Plocha prierezu	A	144.12	cm ²
Šmyková plocha	A_y	81.75	cm ²
Šmyková plocha	A_z	35.89	cm ²
Vzdialenosť tažiska	e_z	183.0	mm
Moment zotrvačnosti (plošný moment 2. stupňa)	I_y	21353.30	cm ⁴
Moment zotrvačnosti (plošný moment 2. stupňa)	I_z	6605.90	cm ⁴
Polárny moment zotrvačnosti	I_p	27959.20	cm ⁴
Polárny moment zotrvačnosti	$I_{p,M}$	32201.40	cm ⁴
Moment zotrvačnosti vztahnutý k menšej pásnici	$I_{y,SF}$	21604.10	cm ⁴
Polomer zotrvačnosti	r_y	121.7	mm
Polomer zotrvačnosti	r_z	67.7	mm
Polárnym polomer zotrvačnosti	r_p	139.3	mm
Polárnym polomer zotrvačnosti	$r_{p,M}$	149.6	mm
Hmotnosť prierezu	G	113.1	kg/m
Plocha plášťa	A_{plast}	1.572	m ² /m
Moment tuhosti v kútení	k_t	193.47	cm ⁴
Vzdialenosť stredu šmyku k tažisku	Z_M	54.3	mm
Výsekový moment zotrvačnosti vztahnutý k M	I_o	764257.00	cm ⁶
Súčinieľ ľmelia	λ	0.000988	1/mm
Prierezový modul	$W_{y,max}$	1824.60	cm ³
Prierezový modul	$W_{y,min}$	-1167.04	cm ³
Prierezový modul	W_z	440.39	cm ³
Výsekový prierezový modul	W_o	3348.72	cm ⁴
Statický moment	$S_{y,max}$	816.80	cm ³
Statický moment	$S_{z,max}$	269.86	cm ³
Výseková súradnica	σ_{max}	228.22	cm ²
Výseková plocha (plošný moment 1. stupňa výseku)	$S_{u,max}$	2054.02	cm ⁴
Stabilitný parameter podľa Kindema	$r_{y,Kindem}$	-45.9	mm
Stabilitný parameter	$r_{M,z}$	-154.4	mm
Poloha osi plochy vztiahnutej k S	f_z	92.6	mm
Plasticický prierezový modul	$W_{pl,y,max}$	1513.55	cm ³
Plasticický prierezový modul	$W_{pl,z,max}$	732.64	cm ³

Vnútorné sily – Kritický prierez – Príloha 1 – Kapitola 5.1 – Prvok 211 a 69

Kritický prierez 211	N	V_y	V_z	M_T	M_y	M_z
	0 kN	52 kN	151 kN	18 kNm	1510 kNm	6 kNm
69	3 kN	84 kN	842 kN	0 kNm	-340 kNm	26 kNm
69	2 kN	154 kN	655 kN	0 kNm	-371 kNm	41 kNm

Prierezové charakteristiky

Oceľový prierez

$$A_a := 144 \cdot 10^2 \text{ mm}^2$$

$$I_y := 21353 \text{ cm}^4$$

$$I_z := 6605 \text{ cm}^4$$

$$I_t := 194 \text{ cm}^4$$

$$I_w := 0.765 \cdot 10^6 \text{ cm}^6$$

$$W_{\text{ply}} := 1514 \text{ cm}^3$$

$$A_v := 81.75 \text{ cm}^2$$

$$\gamma_{M0} := 1.0 \quad \gamma_{M1} := 1.1$$

Výška celého prierezu

$$h := 540 \text{ mm}$$

Výška oceľového prierezu

$$h_a := 300 \text{ mm}$$

Výška betónovej dosky

$$h_d := 240 \text{ mm}$$

Trieda prierezu

$$\varepsilon := \sqrt{\frac{235 \text{ MPa}}{f_{yk}}} = 0.814$$

$$c_{h,\text{pas}} := 93 \text{ mm}$$

$$c_{\text{stoj}} := 260 \text{ mm}$$

$$c_{d,\text{pas}} := 143 \text{ mm}$$

$$t_{h,\text{pas}} := 18 \text{ mm}$$

$$t_{\text{stoj}} := 14 \text{ mm}$$

$$t_{d,\text{pas}} := 24 \text{ mm}$$

Horná pásnica $\frac{c_{h,\text{pas}}}{t_{h,\text{pas}}} = 5.167 < 33 \cdot \varepsilon = 26.849$ Trieda prierezu 1

Stojina $\frac{c_{\text{stoj}}}{t_{\text{stoj}}} = 18.571 < 72 \cdot \varepsilon = 58.58$ Trieda prierezu 1

Spodná pásnica $\frac{c_{d,\text{pas}}}{t_{d,\text{pas}}} = 5.958 < 33 \cdot \varepsilon = 26.849$ Trieda prierezu 1

Vnútorné sily - MSU

$$M_{Ed,\text{faza}} := 180 \text{ kN}\cdot\text{m}$$

$$M_{Ed,\text{max}} := 1510 \text{ kN}\cdot\text{m} \quad V_{ed} := 728 \text{ kN}$$

Vnútorné sily - MSP

$$M_{Ek,\text{faza}} := 133 \text{ kN}\cdot\text{m}$$

$$M_{Ek,\text{max}} := 703 \text{ kN}\cdot\text{m}$$

Materiálové charakteristiky

$$\gamma_a := 1.0$$

$$\gamma_c := 1.5$$

$$f_{ck} := 35 \text{ MPa}$$

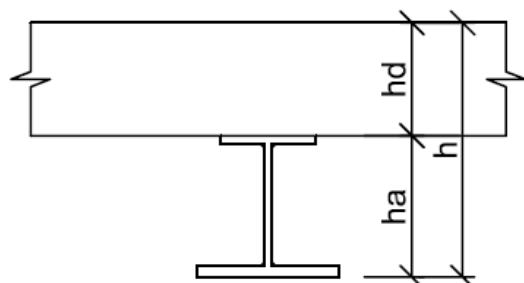
$$f_{cd} := \frac{f_{ck}}{\gamma_c} = 23.333 \cdot \text{MPa}$$

$$E_{cm} := 33.5 \text{ GPa}$$

$$G := 81 \text{ GPa}$$

$$f_{yk} := 355 \text{ MPa}$$

$$f_{yd} := \frac{f_{yk}}{\gamma_a} = 355 \cdot \text{MPa}$$



Nespražený prierez - Klopenie

$$L_1 := 8.875 \text{ m}$$

$$k_w := 1$$

$$k_z := 1$$

$$\kappa_{wt} := \frac{\pi}{k_w \cdot L_1} \cdot \sqrt{\frac{E \cdot I_w}{G \cdot I_t}} = 0.358$$

$$C_{10} := 1.13$$

$$C_{11} := 1.13$$

$$C_1 := C_{10} + (C_{11} - C_{10}) \cdot \kappa_{wt} = 1.13$$

$$C_2 := 0.46$$

$$C_3 := 0.53$$

$$\text{Vzdialenosť k pôsobisku sily } z_g := 179 \text{ mm} + 55.2 \text{ mm} = 0.234 \text{ m}$$

$$z_j := 0.45 \cdot 0.9 \cdot 280 \text{ mm} = 0.113 \text{ m}$$

$$\zeta_g := \frac{\pi \cdot z_g}{k_z \cdot L_1} \cdot \sqrt{\frac{E \cdot I_z}{G \cdot I_t}} = 0.779$$

$$\zeta_j := \frac{\pi \cdot z_j}{k_z \cdot L_1} \cdot \sqrt{\frac{E \cdot I_z}{G \cdot I_t}} = 0.377$$

$$\mu_{cr} := \frac{C_1}{k_z} \cdot \left[\sqrt{1 + \kappa_{wt}^2 + (C_2 \cdot \zeta_g - C_3 \cdot \zeta_j)^2} - (C_2 \cdot \zeta_g - C_3 \cdot \zeta_j) \right] = 1.034$$

$$M_{cr} := \mu_{cr} \cdot \pi \cdot \frac{\sqrt{E \cdot I_z \cdot G \cdot I_t}}{L_1} = 540.619 \cdot \text{kN m}$$

$$\text{Vzperná krivka} \quad \alpha := 0.49$$

$$\lambda_{LT} := \sqrt{W_{ply} \cdot \frac{f_y k}{M_{cr}}} = 0.997$$

$$\phi_{LT} := 0.5 \cdot \left[1 + \alpha \cdot (\lambda_{LT} - 0.2) + \lambda_{LT}^2 \right] = 1.192$$

$$\chi_{LT} := \frac{1}{\phi_{LT} + \sqrt{\phi_{LT}^2 - \lambda_{LT}^2}} = 0.542$$

$$M_{bRd} := \frac{\chi_{LT} \cdot W_{ply} \cdot f_y k}{\gamma_{M1}} = 264.647 \cdot \text{kN m} > M_{Ed.faza} = 180 \cdot \text{kN m}$$

Vyhovuje

Účinná šírka pásnic pre šmykové ochabnutie

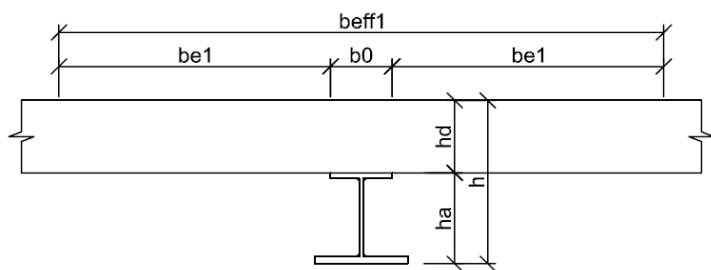
$$L_1 = 8.875 \text{ m}$$

$$b_0 := 0.20 \text{ m}$$

$$b := 2.675 \text{ m}$$

$$b_{e1} := \frac{b - b_0}{2} = 1.237 \text{ m}$$

$$L_{e1} := 0.7 \cdot L_1 = 6.212 \text{ m}$$



$$\beta_1 := 0.55 + \frac{0.025 \cdot L_{e1}}{b_{e1}} = 0.676$$

$$b_{\text{eff}1} := b_0 + \beta_1 \cdot b_{e1} \cdot 2 = 1.872 \text{ m}$$

Neutrálna os v betóne

$$x_{pl_1} := \frac{A_a \cdot f_{yd}}{b_{\text{eff}1} \cdot 0.85 \cdot f_{cd}} = 137.695 \cdot \text{mm} < 240 \text{ mm} \Rightarrow \text{n.o. leží v betóne}$$

$$M_{pl_1} := f_{yd} \cdot A_a \left(\frac{h_a}{2} + h_d - \frac{x_{pl_1}}{2} \right) = 1.642 \times 10^3 \cdot \text{kN} \cdot \text{m}$$

$$\frac{M_{Ed.\max}}{M_{pl_1}} = 0.92 < 1 \text{ Vyhovuje}$$

MSP - Priehyb priečniku

Priehyb - montážny stav

$$w_g := 28 \text{ mm}$$

Priehyb - ostatné stále

$$w_{g1} := 7.2 \text{ mm}$$

Priehyb - náhodné zaťaženie

$$w_q := 16.2 \text{ mm}$$

Hodnota nadvýšenia pre bežné priečniky

$$w_{nadv} := w_g + w_{g1} + 0.25 \cdot w_q = 39.25 \cdot \text{mm}$$

Priehyb limitná hodnota

$$w_q = 16.2 \cdot \text{mm} < \frac{L_1}{300} = 29.583 \cdot \text{mm} \quad \text{Vyhovuje}$$

Zamedzenie plastizácie pred spražením

$$n := \frac{E}{E_{cm}} = 6.269$$

$$h_d = 0.24 \text{ m}$$

Statický výpočet
Víťazný variant

$$b_{\text{eff}1} = 1.872 \text{ m}$$

$$A_c := h_d \cdot b_{\text{eff}1} = 0.449 \text{ m}^2$$

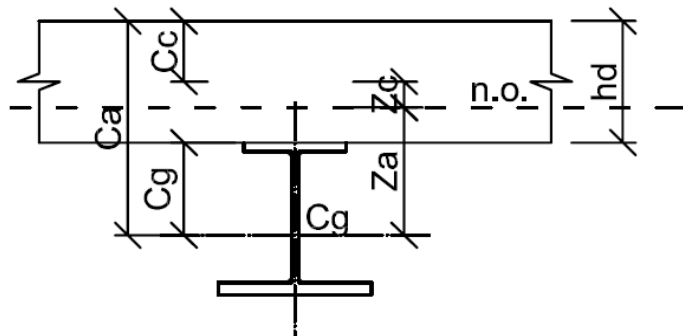
$$A_i := A_a + \frac{A_c}{n} = 0.086 \text{ m}^2$$

$$c_c := \frac{h_d}{2} = 0.12 \text{ m}$$

$$c_g := 183 \text{ mm}$$

$$c_a := c_g + h_d = 0.423 \text{ m}$$

Neutrálna os



$$z_i := \frac{\frac{A_c \cdot c_c}{n} + A_a \cdot c_a}{A_i} = 0.171 \text{ m}$$

$$z_a := c_a - z_i = 0.252 \text{ m}$$

$$z_c := z_i - c_c = 0.051 \text{ m}$$

Moment zotrvačnosti

$$I_c := \frac{1}{12} \cdot b_{\text{eff}1} \cdot h_d^3 = 2.156 \times 10^{-3} \text{ m}^4$$

$$I_i := I_y + A_a \cdot z_a^2 + \frac{(I_c + A_c \cdot z_c^2)}{n} = 1.658 \times 10^{-3} \text{ m}^4$$

Výsledné napätie - montážny stav

$$z_h := c_g = 0.183 \text{ m}$$

$$z_d := h_a - z_h = 0.117 \text{ m}$$

$$\sigma_{p.\text{horná}} := \frac{-M_{\text{Ek.faza}}}{I_y} \cdot z_h = -113.984 \cdot \text{MPa}$$

$$\sigma_{p.\text{dolná}} := \frac{M_{\text{Ek.faza}}}{I_y} \cdot z_d = 72.875 \cdot \text{MPa}$$

Výsledné napätie - spražený prierez

$$\sigma_{p.\text{horná.spráž}} := \frac{M_{\text{Ek.max}} - M_{\text{Ek.faza}}}{I_i} \cdot z_h = 62.899 \cdot \text{MPa}$$

$$\sigma_{p.\text{dolná.spráž}} := \frac{M_{\text{Ek.max}} - M_{\text{Ek.faza}}}{I_i} \cdot z_d = 40.214 \cdot \text{MPa}$$

Výsledné napätie - celkom

$$\sigma_{\text{tot.horná}} := \sigma_{p.\text{horná}} + \sigma_{p.\text{horná.spráž}} = -51.085 \cdot \text{MPa}$$

Statický výpočet
Víťazný variant

$$\sigma_{\text{tot.dolná}} := \sigma_{\text{p.dolná}} + \sigma_{\text{p.dolná.spráž}} = 113.089 \cdot \text{MPa}$$

Sprahovacie trny

$$f_u := 500 \text{ MPa}$$

$$d := 12.5 \text{ mm}$$

$$h_{sc} := 120 \text{ mm}$$

$$\gamma_{MV} := 1.25$$

$$\alpha := 1 \quad \frac{h_{sc}}{d} = 9.6 > 4$$

$$E_{cm} = 33.5 \cdot \text{GPa}$$

$$P_{Rd} := \frac{0.8 \cdot f_u \cdot \frac{\pi \cdot d^2}{4}}{\gamma_{MV}} = 39.27 \cdot \text{kN}$$

$$P_{Rdbetón} := \frac{0.29 \cdot \alpha \cdot d^2 \cdot \sqrt{f_{ck} \cdot E_{cm}}}{\gamma_{MV}} = 39.252 \cdot \text{kN}$$

$$V_{ed} = 728 \cdot \text{kN}$$

$$z := h_d - z_i = 69.304 \cdot \text{mm}$$

$$S_y := \frac{b_{eff1} \cdot h_d \cdot z}{n} = 4.967 \times 10^{-3} \cdot \text{m}^3$$

$$v_1 := \frac{V_{ed} \cdot S_y}{I_i} = 2.18 \times 10^3 \cdot \frac{\text{kN}}{\text{m}}$$

$$n := \frac{V_1}{P_{Rd}} = 55.521 \frac{1}{\text{m}} \quad \begin{array}{l} \text{Navrhujem 70 ks na polovicu priečniku} \\ \text{Dvojnásobne zahustené v krajnej štvrtine} \end{array}$$

Vertikálny šmyk

$$A_y = 8.175 \times 10^3 \cdot \text{mm}^2$$

$$V_{Rd} := 0.5 A_y \frac{f_{yk}}{\gamma_{M0}} = 1.451 \times 10^3 \cdot \text{kN} > V_{ed} = 728 \cdot \text{kN} \quad \text{Vyhovuje}$$

Spražený prierez - Klopenie dolnej pásnice - záporný moment

Vnútorné sily

$$M_{Ed} := 399 \text{kN} \cdot \text{m}$$

$$L_1 := 8.875 \text{ m}$$

$$k_w = 1$$

$$k_z = 1$$

Statický výpočet
Víťazný variant

$$\kappa_{wt} := \frac{\pi}{k_w \cdot L} \cdot \sqrt{\frac{E \cdot I_w}{G \cdot I_t}} = 0.716$$

Vzdialenosť k pôsobisko síly $z_g := 183 \text{ mm} + 54 \text{ mm} = 0.237 \text{ m}$

Vzdialosť medzi stredom šmyku a uchyteným koncom $z_v := 183 \text{ mm}$

$$\beta_2 := 0.81$$

$$\beta_1 := 0.93$$

$$M_{cr} := -\left[\frac{\left(E \cdot I_w + E \cdot I_z \cdot z_v^2 \right) \cdot \left(\frac{\pi}{k_w \cdot L} \right)^2 + G \cdot I_t}{-\beta_1 \cdot z_v + \beta_2 \cdot (z_g - z_v)} \right] = 3.721 \times 10^3 \cdot \text{kN} \cdot \text{m}$$

Vzperná krivka $\alpha := 0.49$

$$\lambda_{LT} := \sqrt{W_{ply} \cdot \frac{f_y k}{M_{cr}}} = 0.38$$

$$\phi_{LT} := 0.5 \cdot \left[1 + \alpha \cdot (\lambda_{LT} - 0.2) + \lambda_{LT}^2 \right] = 0.616$$

$$\chi_{LT} := \frac{1}{\phi_{LT} + \sqrt{\phi_{LT}^2 - \lambda_{LT}^2}} = 0.908$$

$$M_{bRd} := \frac{\chi_{LT} \cdot W_{ply} \cdot f_y k}{\gamma_{M1}} = 443.564 \cdot \text{kN} \cdot \text{m} > M_{Ed} = 399 \cdot \text{kN} \cdot \text{m}$$

Vyhovuje

■ 8.1 POSÚDENIE PRVKOV

Prút č.	Místo x [m]	ZS/SZS KZS	Posouzení	Posouzen č.	Označenie							
16	Prierez č. 6 - U 120 Ferona - DIN 1026-1											
Návrhové vnútorné sily												
N _{Ed} 8.99 kN V _{y,Ed} 14.82 kN Posúdenie M _{y,Ed} 0.14 kNm W _{pl,y} 66.51 cm ³ f _y 35.50 kN/cm ² γ _{M0} 1.000 M _{pl,y,Rd} 23.61 kNm V _{z,Ed} 0.34 kN A _{v,z} 8.57 cm ² V _{pl,z,Rd} 175.61 kN v _z 0.002 N _{Ed} 8.99 kN												
V _{z,Ed} T _{Ed} h _w t _w n _w n _w V _{y,Ed} N _{pl,Rd} h _w t _w 0.015 0.035 17.00 cm ² 603.50 kN 102.0 mm 7.0 mm 0.015 0.035 A _{v,y} V _{pl,y,Rd} V _y M _{N,pl,z,Rd} M _{z,Ed} M _{y,Ed} M _{z,Ed} -0.34 kN 0.03 kNm 9.86 cm ² 202.09 kN 0.073 7.43 kNm 1.000 1.000 9.86 cm ² 202.09 kN 0.073 7.43 kNm 1.000 1.000 0.01 0.01 0.72 0.72												
Design Formula (M _{y,Ed} / M _{N,y,Rd}) ^a + (M _{z,Ed} / M _{N,z,Rd}) ^b = 0.72 ≤ 1 (6.41)												
0.448 KV41 0.90 ≤ 1 304 Posúdenie stability - vzper okolo y podľa 6.3.1.1 a 6.3.1.2 - trieda 4												
Návrhové vnútorné sily												
N _{Ed} 5.95 kN V _{y,Ed} 9.81 kN Posúdenie NB č. 1 N _{Ed} 5.95 kN A 17.00 cm ² σ _{x,N,Ed} 0.35 kN/cm ² M _{y,Ed} -0.17 kNm I _y 364.00 cm ⁴ Z _{SP} 60.0 mm σ _{x,My,Ed} -0.28 kN/cm ² M _{z,Ed} -3.54 kNm I _z 43.20 cm ⁴ y _{SP} σ _{x,Mz,Ed} σ _{x,Ed} V _{z,Ed} S _y t τ _{V,z,Ed} V _{y,Ed} S _z τ _{V,y,Ed} -39.0 mm -31.93 kN/cm ² -31.86 kN/cm ² 0.35 kN 0.00 cm ³ 9.0 mm 0.00 kN/cm ² 9.81 kN 0.00 cm ³ 0.00 kN/cm ² T _{Ed} l _t t τ _{t,Ed} τ _{Ed} σ _{eqv} f _y γ _{M0} T _{Ed} l _t t τ _{t,Ed} τ _{Ed} σ _{eqv} f _y γ _{M0} 0.06 kNm 4.15 cm ⁴ 9.0 mm 1.27 kN/cm ² -1.27 kN/cm ² 31.94 kN/cm ² 35.50 kN/cm ² 0.06 kNm 4.15 cm ⁴ 9.0 mm 1.27 kN/cm ² -1.27 kN/cm ² 31.94 kN/cm ² 35.50 kN/cm ² -0.17 kNm -3.54 kNm												
Design Formula (σ _{x,Ed} / (f _y / γ _{M0})) ² + 3(τ _{Ed} / (f _y / γ _{M0})) ² = 0.90 ≤ 1 (6.1)												
69	Prierez č. 4 - IU 300/200/18/14/300/24/5/6	0.000 KV31 0.95	≤ 1 121)		Posúdenie prierezu - šmyk v smere z podľa 6.2.6							
Návrhové vnútorné sily												
N _{Ed} -3.79 kN V _{y,Ed} 115.84 kN Posúdenie V _{z,Ed} 841.65 kN A _{v,z} 43.34 cm ² Design Formula V _{z,Ed} / V _{pl,z,Rd} = 0.95 ≤ 1 (6.17)												
V _{z,Ed} T _{Ed} f _y γ _{M0} 841.65 kN 35.50 kN/cm ² 1.000 Posúdenie prierezu - ohyb a šmyk podľa 6.2.9.3 a 6.2.10 - trieda 4												
Návrhové vnútorné sily												
N _{Ed} -3.79 kN V _{y,Ed} 115.84 kN Posúdenie M _{y,Ed} 344.65 kNm f _y 35.50 kN/cm ² Z _{pl,0} 275.6 mm γ _{M0} 1.000 M _{pl,y,Rd} 537.31 kNm Design Formula M _{y,Ed} / M _{c,y,Rd} = 0.91 ≤ 1 (6.30)												
V _{z,Ed} T _{Ed} A _{v,z} V _{pl,z,Rd} V _z p 841.65 kN 43.34 cm ² 888.38 KN 0.947 0.801 M _{pl,y,V,Rd} M _{c,y,Rd} η 378.91 kNm 378.91 kNm 0.91												
0.000 KV31 0.91 ≤ 1 145) Posúdenie prierezu - ohyb a šmyk podľa 6.2.9.3 a 6.2.10 - trieda 4												
Návrhové vnútorné sily												
N _{Ed} 13.73 kN V _{y,Ed} 150.53 kN Posúdenie M _{y,Ed} 339.90 kNm f _y 35.50 kN/cm ² Z _{pl,0} 275.6 mm γ _{M0} 1.000 M _{pl,y,Rd} 537.31 kNm Design Formula M _{y,Ed} / M _{c,y,Rd} = 0.68 ≤ 1 (6.31)												
V _{z,Ed} T _{Ed} N _{Ed} A 144.12 cm ² N _{pl,Rd} 5116.26 kN N _{V,Rd} 4851.82 kN h _w 258.0 mm t _w n _w n _w M _{pl,y,Rd} η _{My} η _{Mz} 0.707 0.172 503.31 kNm 13.73 kN 144.12 cm ² 5116.26 kN 4851.82 kN 258.0 mm 14.0 mm 0.003 0.013 503.31 kNm 0.68 0.68												
0.000 KV38 0.68 ≤ 1 185) Posúdenie prierezu - ohyb, šmyk a osová sila podľa 6.2.9 - trieda 3 - uholník												
Návrhové vnútorné sily												
N _{Ed} 13.73 kN V _{y,Ed} 150.53 kN Posúdenie M _{y,Ed} 339.90 kNm f _y 35.50 kN/cm ² Z _{pl,0} 275.6 mm γ _{M0} 1.000 M _{pl,y,Rd} 537.31 kNm V _{z,Ed} 628.33 kN A _{v,z} 43.34 cm ² V _{pl,z,Rd} 888.38 kN Design Formula M _{y,Ed} / M _{c,y,Rd} = 0.68 ≤ 1 (6.31)												
V _{z,Ed} T _{Ed} N _{Ed} A 144.12 cm ² N _{pl,Rd} 5116.26 kN N _{V,Rd} 4851.82 kN h _w 258.0 mm t _w n _w n _w M _{pl,y,Rd} η _{My} η _{Mz} 0.707 0.172 503.31 kNm 13.73 kN 144.12 cm ² 5116.26 kN 4851.82 kN 258.0 mm 14.0 mm 0.003 0.013 503.31 kNm 0.68 0.68												
0.000 KV31 0.69 ≤ 1 361) Posúdenie stability - ohyb okolo y a tlak podľa 6.3.3, metóda 2												
Návrhové vnútorné sily												
N _{Ed} -2.26 kN V _{y,Ed} 153.97 kN Posúdenie h 300.0 mm G Design Formula M _{y,Ed} / M _{N,y,Rd} = 0.68 ≤ 1 (6.31)												
V _{z,Ed} T _{Ed} N _{Ed} A 144.12 cm ² N _{pl,Rd} 5116.26 kN N _{V,Rd} 4851.82 kN h _w 258.0 mm t _w n _w n _w M _{pl,y,Rd} η _{My} η _{Mz} 655.77 kN -0.05 kNm 13.73 kN 144.12 cm ² 5116.26 kN 4851.82 kN 258.0 mm 14.0 mm 0.003 0.013 503.31 kNm 0.68 0.68												
I _t 193.47 cm ⁴												

■ 8.1 POSÚDENIE PRVKOV

Prút č.	Místo x [m]	ZS/SZS KZS	Posouzení	Posouzen č.	Označenie			
	b 200.0 mm		k _z	1.000	M _{cr}	113771.00	kNm	
h/b	1.50		k _w	1.000	M _{cr,x}	113771.00	kNm	
KK _{LT}	c		L	0.300 m	M _{y,Ed}	371.27	kNm	
α_{LT}	0.490		I _z	6605.90 cm ⁴	$\lambda_{LT,0}$	0.400		
E	21000.00 kN/cm ²		I _w	764257.00 cm ⁶	η_{Mcr}	0.003		
Design Formula								
$M_{y,Ed} / M_{b,Rd} = 0.69 \leq 1 \quad (6.54)$								
0.000	KV40	Nelze posoudit	> 1	412)	Použiteľnosť - kombinácia zaťažení 'častá' - smer z, konzola			
Návrhové vnútorné sily								
N _{Ed}	17.33 kN		V _{z,Ed}	434.39 kN	M _{y,Ed}	-202.61	kNm	
V _{y,Ed}	144.94 kN		T _{Ed}	-0.25 kNm	M _{z,Ed}	40.97	kNm	
Posúdenie								
M _{z,max,Ed}	91.41 kNm		$\eta_{Mz,limit}$	0.333				
M _{pl,z,Rd}	260.09 kNm		η_{Mz}	0.351				
147 Prierez č. 2 - Uzavrené(B) 420/18/18/700/360/18/50/77								
0.000	KV39	0.77	≤ 1	187)	Posúdenie prierezu - ohyb, šmyk, krútenie a osová sila podľa 6.2.9.2 - trieda 3			
Návrhové vnútorné sily								
N _{Ed}	2887.52 kN		V _{z,Ed}	-192.91 kN	M _{y,Ed}	1399.80	kNm	
V _{y,Ed}	2.85 kN		T _{Ed}	70.74 kNm	M _{z,Ed}	3.27	kNm	
Posúdenie								
N _{Ed}	2887.52 kN		$\sigma_{x,My,Ed}$	19.90 kN/cm ²	f _y	35.50	kN/cm ²	
A	385.92 cm ²		$\sigma_{x,Ed}$	27.38 kN/cm ²	γ_{M0}	1.000		
$\sigma_{x,N,Ed}$	7.48 kN/cm ²		V _{z,Ed}	192.91 kN	V _{pl,z,Rd}	5032.16	kN	
M _{y,Ed}	1399.80 kNm		S _y	1105.40 cm ³	V _z	0.040		
I _y	237607.00 cm ⁴		t	18.0 mm	$\sigma_{x,Rd}$	35.50	kN/cm ²	
Z _{SP}	337.8 mm		$\tau_{V,z,Ed}$	0.50 kN/cm ²	η	0.77		
$\sigma_{x,My,Ed}$	17.13 kN/cm ²							
$\sigma_{x,Ed}$	24.25 kN/cm ²							
Design Formula								
$\sigma_{x,Ed} / \sigma_{x,Rd} = 0.77 \leq 1 \quad (6.42)$								
1.335	KV38	0.68	≤ 1	192)	Posúdenie prierezu - ohyb, šmyk a osová sila podľa 6.2.10 a 6.2.9.3 - trieda 4 - uholník			
Návrhové vnútorné sily								
N _{Ed}	2747.18 kN		V _{z,Ed}	-122.85 kN	M _{y,Ed}	1204.89	kNm	
V _{y,Ed}	8.10 kN		T _{Ed}	106.81 kNm	M _{z,Ed}	1.27	kNm	
Posúdenie								
N _{Ed}	2747.18 kN		T _{Ed}	106.81 kNm	γ_{M0}	1.000		
A	385.92 cm ²		A _k	2388.96 cm ²	V _{pl,z,Rd}	5032.16	kN	
$\sigma_{x,N,Ed}$	7.12 kN/cm ²		t	18.0 mm	V _{pl,z,T,Rd}	4727.23	kN	
M _{y,Ed}	1204.89 kNm		$\tau_{t,Ed}$	1.24 kN/cm ²	V _z	0.026		
I _y	237607.00 cm ⁴		V _{z,Ed}	122.85 kN	$\sigma_{x,Rd}$	35.50	kN/cm ²	
Z _{SP}	337.8 mm		S _y	1105.40 cm ³	η	0.68		
$\sigma_{x,My,Ed}$	17.13 kN/cm ²		$\tau_{V,z,Ed}$	0.32 kN/cm ²				
$\sigma_{x,Ed}$	24.25 kN/cm ²		f _y	35.50 kN/cm ²				
Design Formula								
$\sigma_{x,Ed} / \sigma_{x,Rd} = 0.68 \leq 1 \quad (6.42)$								
0.000	KV40	0.92	≤ 1	227)	Posúdenie prierezu - dvojosý ohyb, šmyk a krútenie a osová sila podľa 6.2.10 a 6.2.9 - trieda 3			
Návrhové vnútorné sily								
N _{Ed}	2911.34 kN		V _{z,Ed}	-192.77 kN	M _{y,Ed}	1739.02	kNm	
V _{y,Ed}	8.36 kN		T _{Ed}	54.30 kNm	M _{z,Ed}	19.15	kNm	
Posúdenie								
N _{Ed}	2911.34 kN		y _{SP}	-210.0 mm	$\tau_{V,y,Ed}$	0.00	kN/cm ²	
A	385.92 cm ²		$\sigma_{x,Mz,Ed}$	0.38 kN/cm ²	f _y	35.50	kN/cm ²	
$\sigma_{x,N,Ed}$	7.54 kN/cm ²		$\sigma_{x,Ed}$	32.65 kN/cm ²	γ_{M0}	1.000		
M _{y,Ed}	1739.02 kNm		V _{z,Ed}	192.77 kN	V _{pl,z,Rd}	5032.16	kN	
I _y	237607.00 cm ⁴		S _y	0.00 cm ³	V _{pl,y,Rd}	2877.63	kN	
Z _{SP}	337.8 mm		t	18.0 mm	V _z	0.038		
$\sigma_{x,My,Ed}$	24.72 kN/cm ²		$\tau_{V,z,Ed}$	0.00 kN/cm ²	V _y	0.003		
M _{z,Ed}	19.15 kNm		V _{y,Ed}	8.36 kN	$\sigma_{x,Rd}$	35.50	kN/cm ²	
I _z	105880.00 cm ⁴		S _z	0.00 cm ³	η	0.92		
Design Formula								
$\sigma_{x,Ed} / \sigma_{x,Rd} = 0.92 \leq 1 \quad (6.42)$								
0.000	KV31	0.78	≤ 1	232)	Posúdenie prierezu - dvojosý ohyb, šmyk a osová sila podľa 6.2.10 a 6.2.9.3 - trieda 4 - uholník			
Návrhové vnútorné sily								
N _{Ed}	1550.59 kN		V _{z,Ed}	-268.03 kN	M _{y,Ed}	1653.72	kNm	
V _{y,Ed}	7.04 kN		T _{Ed}	100.75 kNm	M _{z,Ed}	9.51	kNm	
Posúdenie								
N _{Ed}	1550.59 kN		$\sigma_{x,Ed}$	27.72 kN/cm ²	f _y	35.50	kN/cm ²	
A	385.92 cm ²		T _{Ed}	100.75 kNm	γ_{M0}	1.000		
$\sigma_{x,N,Ed}$	4.02 kN/cm ²		A _k	0.00 cm ²	V _{pl,z,Rd}	5032.16	kN	
M _{y,Ed}	1653.72 kNm		t	18.0 mm	V _{pl,y,Rd}	2877.63	kN	
I _y	237607.00 cm ⁴		$\tau_{t,Ed}$	0.00 kN/cm ²	V _{pl,z,T,Rd}	5032.16	kN	
Z _{SP}	337.8 mm		V _{z,Ed}	268.03 kN	V _{pl,y,T,Rd}	2877.63	kN	
$\sigma_{x,My,Ed}$	23.51 kN/cm ²		S _y	0.00 cm ³	V _z	0.053		
M _{z,Ed}	9.51 kNm		$\tau_{V,z,Ed}$	0.00 kN/cm ²	V _y	0.002		
I _z	105880.00 cm ⁴		V _{y,Ed}	7.04 kN	$\sigma_{x,Rd}$	35.50	kN/cm ²	
y _{SP}	-210.0 mm		S _z	0.00 cm ³	η	0.78		
$\sigma_{x,Mz,Ed}$	0.19 kN/cm ²		$\tau_{V,y,Ed}$	0.00 kN/cm ²				
Design Formula								
$\sigma_{x,Ed} / \sigma_{x,Rd} = 0.78 \leq 1 \quad (6.42)$								

■ 8.1 POSÚDENIE PRVKOV

Prút č.	Místo x [m]	ZS/SZS KZS	Posouzení		Posouzen č.	Označenie			
Návrhové vnútorné sily									
	0.000	KV31	0.78		≤ 1	304)	Postúdenie stability - vzper okolo y podľa 6.3.1.1 a 6.3.1.2 - trieda 4		
Posúdenie									
NB č.	8								
N _{Ed}	1550.59	kN	V _{z,Ed}	-268.03	kN	M _{y,Ed}	1653.72	kNm	
V _{y,Ed}	7.04	kN	T _{Ed}	100.75	kNm	M _{z,Ed}	9.51	kNm	
A	385.92	cm ²	σ _{x,Ed}	0.18	kN/cm ²	T _{Ed}	100.75	kNm	
σ _{x,N,Ed}	4.02	kN/cm ²	V _{z,Ed}	27.71	kN/cm ²	A _k	2388.96	cm ²	
M _{y,Ed}	1653.72	kNm	S _y	268.03	kN	t	18.0	mm	
I _y	237607.00	cm ⁴	t	-69.14	cm ³	τ _{t,Ed}	1.17	kN/cm ²	
Z _{SP}	337.8	mm	τ _{V,z,Ed}	18.0	mm	τ _{Ed}	1.21	kN/cm ²	
σ _{x,My,Ed}	23.51	kN/cm ²	V _{y,Ed}	0.04	kN/cm ²	f _y	27.78	kN/cm ²	
M _{z,Ed}	9.51	kNm	S _z	7.04	kN	γ _{M0}	35.50	kN/cm ²	
I _z	105880.00	cm ⁴	τ _{V,y,Ed}	42.82	cm ³	η	1.000		
Design Formula									
$(\sigma_{x,Ed} / (f_y / \gamma_{M0}))^2 + 3(\tau_{Ed} / (f_y / \gamma_{M0}))^2 = 0.78 \leq 1 \quad (6.1)$									
198									
Prierez č. 3 - Uzavrené(A) 750/35/35/650/650/750/35/10/10									
	0.000	KV40	0.78		≤ 1	142)	Postúdenie prierezu - ohyb a šmyk podľa 6.2.9.2 a 6.2.10 - trieda 3		
Návrhové vnútorné sily									
N _{Ed}	-1247.47	kN	V _{z,Ed}	-597.20	kN	M _{y,Ed}	968.09	kNm	
V _{y,Ed}	4154.26	kN	T _{Ed}	1836.28	kNm	M _{z,Ed}	-1114.52	kNm	
Posúdenie									
V _{y,Ed}	4154.26	kN	T _{Ed}	1836.28	kNm	f _y	35.50	kN/cm ²	
S _z	5937.31	cm ³	A _k	4212.75	cm ²	γ _{M0}	1.000		
I _z	722772.00	cm ⁴	t	35.0	mm	τ _{Rd}	20.50	kN/cm ²	
t	35.0	mm	τ _{t,Ed}	6.23	kN/cm ²	η	0.78		
τ _{V,y,Ed}	9.75	kN/cm ²	τ _{V,y,t,Ed}	15.98	kN/cm ²				
	0.346	KV40	0.61		≤ 1	232)	Postúdenie prierezu - dvojosý ohyb, šmyk a osová sila podľa 6.2.10 a 6.2.9.3 - trieda 4 - uholník		
Návrhové vnútorné sily									
N _{Ed}	-2591.54	kN	V _{z,Ed}	-326.35	kN	M _{y,Ed}	1136.37	kNm	
V _{y,Ed}	3584.15	kN	T _{Ed}	1274.78	kNm	M _{z,Ed}	-2490.25	kNm	
Posúdenie									
N _{Ed}	-2591.54	kN	σ _{x,Ed}	-21.75	kN/cm ²	f _y	35.50	kN/cm ²	
A	931.00	cm ²	T _{Ed}	1274.78	kNm	γ _{M0}	1.000		
σ _{x,N,Ed}	-2.78	kN/cm ²	A _k	0.00	cm ²	V _{pl,z,Rd}	8321.35	kN	
M _{y,Ed}	1136.37	kNm	t	35.0	mm	V _{pl,y,Rd}	10760.40	kN	
I _y	610772.00	cm ⁴	τ _{t,Ed}	0.00	kN/cm ²	V _{pl,z,T,Rd}	8321.35	kN	
Z _{SP}	-325.0	mm	V _{z,Ed}	326.35	kN	V _{pl,y,T,Rd}	10760.40	kN	
σ _{x,My,Ed}	-6.05	kN/cm ²	S _y	0.00	cm ³	v _z	0.039		
M _{z,Ed}	-2490.25	kNm	τ _{V,z,Ed}	0.00	kN/cm ²	V _y	0.333		
I _z	722772.00	cm ⁴	V _{y,Ed}	3584.15	kN	σ _{x,Rd}	35.50	kN/cm ²	
y _{SP}	-375.0	mm	S _z	0.00	cm ³	η	0.61		
σ _{x,Mz,Ed}	-12.92	kN/cm ²	τ _{V,y,Ed}	0.00	kN/cm ²				
Design Formula									
$\sigma_{x,Ed} / \sigma_{x,Rd} = 0.61 \leq 1 \quad (6.42)$									
	0.000	KV40	0.80		≤ 1	304)	Postúdenie stability - vzper okolo y podľa 6.3.1.1 a 6.3.1.2 - trieda 4		
Návrhové vnútorné sily									
N _{Ed}	-1247.47	kN	V _{z,Ed}	-597.20	kN	M _{y,Ed}	968.09	kNm	
V _{y,Ed}	4154.26	kN	T _{Ed}	1836.28	kNm	M _{z,Ed}	-1114.52	kNm	
Posúdenie									
NB č.	20		y _{SP}	0.0	mm	T _{Ed}	1836.28	kNm	
N _{Ed}	-1247.47	kN	σ _{x,Mz,Ed}	0.00	kN/cm ²	A _k	4212.75	cm ²	
A	931.00	cm ²	σ _{x,Ed}	-6.49	kN/cm ²	t	35.0	mm	
σ _{x,N,Ed}	-1.34	kN/cm ²	V _{z,Ed}	597.20	kN	τ _{t,Ed}	6.23	kN/cm ²	
M _{y,Ed}	968.09	kNm	S _y	0.00	cm ³	τ _{Ed}	15.98	kN/cm ²	
I _y	610772.00	cm ⁴	t	35.0	mm	σ _{eqv}	28.42	kN/cm ²	
Z _{SP}	-325.0	mm	τ _{V,z,Ed}	0.00	kN/cm ²	f _y	35.50	kN/cm ²	
σ _{x,My,Ed}	-5.15	kN/cm ²	V _{y,Ed}	4154.26	kN	γ _{M0}	1.000		
M _{z,Ed}	-1114.52	kNm	S _z	-5937.31	cm ³	η	0.80		
I _z	722772.00	cm ⁴	τ _{V,y,Ed}	9.75	kN/cm ²				
Design Formula									
$(\sigma_{x,Ed} / (f_y / \gamma_{M0}))^2 + 3(\tau_{Ed} / (f_y / \gamma_{M0}))^2 = 0.80 \leq 1 \quad (6.1)$									
211									
Prierez č. 4 - IU 300/200/18/14/300/24/5/6									
	4.593	KV37	0.62		≤ 1	101)	Postúdenie prierezu - ľah podľa 6.2.3		
Návrhové vnútorné sily									
N _{Ed}	3154.15	kN	V _{z,Ed}	-17.45	kN	M _{y,Ed}	229.59	kNm	
V _{y,Ed}	-2.67	kN	T _{Ed}	-0.01	kNm	M _{z,Ed}	-0.01	kNm	
Posúdenie									
N _{t,Ed}	3154.15	kN	γ _{M0}	1.000		τ	0.62		
A	144.12	cm ²	N _{pl,Rd}	5116.26	kN				
f _y	35.50	kN/cm ²	N _{t,Rd}	5116.26	kN				
Design Formula									
$N_{t,Ed} / N_{t,Rd} = 0.62 \leq 1 \quad (6.5)$									
	4.593	KV37	0.99		≤ 1	185)	Postúdenie prierezu - ohyb, šmyk a osová sila podľa 6.2.10 a 6.2.9 - trieda 3 - uholník		
Návrhové vnútorné sily									
N _{Ed}	3154.15	kN	V _{z,Ed}	-17.45	kN	M _{y,Ed}	229.59	kNm	

■ 8.1 POSÚDENIE PRVKOV

Prút č.	Místo x [m]	ZS/SZS KZS	Posouzení		Posouzen č.	Označenie			
			-2.67	kN		T _{Ed}	-0.01	kNm	M _{y,Ed}
Posúdenie									
M _{y,Ed}	229.59	kNm	V _z	0.020		b	200.0	mm	
f _y	35.50	kN/cm ²	N _{Ed}	3154.15	kN	t _f	35.0	mm	
Z _{pl,0}	275.6	mm	A	144.12	cm ²	a	0.251		
γ _{MO}	1.000		N _{pl,Rd}	5116.26	kN	M _{N,pl,y,Rd}	235.58	kNm	
M _{pl,y,Rd}	537.31	kNm	h _w	258.0	mm	η _{My}	0.97		
V _{z,Ed}	17.45	kN	t _w	14.0	mm	η	0.99		
A _{v,z}	43.34	cm ²	n	0.616					
V _{pl,z,Rd}	888.38	kN	n _w	2.460					
Design Formula									
$M_{y,Ed} / M_{N,y,Rd} = 0.99 \leq 1 \quad (6.31)$									
4.593	KV36	0.84	≤ 1	225)	Posúdenie prierezu - dvojosý ohyb, šmyk a osová sila podľa 6.2.10 a 6.2.9 - trieda 3 - uholník				
Návrhové vnútorné sily									
N _{Ed}	2982.44	kN	V _{z,Ed}	-16.08	kN	M _{y,Ed}	234.31	kNm	
V _{y,Ed}	-0.75	kN	T _{Ed}	0.00	kNm	M _{z,Ed}	1.10	kNm	
Posúdenie									
M _{y,Ed}	234.31	kNm	h _w	258.0	mm	A _{v,y}	108.00	cm ²	
W _{pl,y}	1513.55	cm ³	t _w	14.0	mm	V _{pl,y,Rd}	2213.56	kNm	
f _y	35.50	kN/cm ²	n	0.583		γ _y	0.000		
γ _{MO}	1.000		n _w	2.326		η _w	2.326		
M _{pl,y,Rd}	537.31	kNm	b	200.0	mm	M _{N,pl,y,Rd}	208.94	kNm	
V _{z,Ed}	16.08	kN	t _f	35.0	mm	A _{v,z}	0.583		
A _{v,z}	43.34	cm ²	a	0.251		α	2.000		
V _{pl,z,Rd}	888.38	kN	M _{N,pl,y,Rd}	256.20	kNm	β	1.000		
V _z	0.018		M _{z,Ed}	1.10	kNm	η _{My}	0.84		
N _{Ed}	2982.44	kN	W _{pl,z}	732.64	cm ³	η _{Mz}	0.01		
A	144.12	cm ²	M _{p,z,Rd}	260.09	kNm	η _M	0.84		
N _{pl,Rd}	5116.26	kN	V _{y,Ed}	0.75	kN				
Design Formula									
$(M_{y,Ed} / M_{N,y,Rd})^a + (M_{z,Ed} / M_{N,z,Rd})^b = 0.84 \leq 1 \quad (6.41)$									
296									
Prierez č. 9 - IS 384/300/10/12/4									
0.000	KV37	0.75	≤ 1	242)	Posúdenie prierezu - ohyb a šmyk podľa 6.2.9.2 a 6.2.10 - trieda 3 - uholník				
Návrhové vnútorné sily									
N _{Ed}	999.66	kN	V _{z,Ed}	-18.13	kN	M _{y,Ed}	96.37	kNm	
V _{y,Ed}	16.69	kN	T _{Ed}	0.02	kNm	M _{z,Ed}	39.49	kNm	
Posúdenie									
N _{Ed}	999.66	kN	σ _{x,Mz,f,Ed}	10.96	kN/cm ²	σ _{x,My,w,Ed}	6.02	kN/cm ²	
A _{eff}	108.00	cm ²	σ _{x,f,Ed}	26.64	kN/cm ²	σ _{x,Mz,w,Ed}	0.00	kN/cm ²	
σ _{x,N,Ed}	9.26	kN/cm ²	V _{y,Ed}	16.69	kN	σ _{x,w,Ed}	15.28		
M _{y,Ed}	96.37	kNm	A _{v,y}	72.00	cm ²	V _{z,Ed}	18.13	kN	
e _{Ny}	0.0	mm	f _y	35.50	kN/cm ²	A _{v,z}	43.20	cm ²	
W _{eff,y,min}	1500.30	cm ³	γ _{MO}	1.000		V _{pl,z,Rd}	885.42	kNm	
σ _{x,My,Ed}	6.42	kN/cm ²	V _{pl,y,Rd}	1475.71	kN	V _z	0.020		
M _{z,Ed}	39.49	kNm	V _y	0.011		σ _{x,w,Rd}	35.50	kN/cm ²	
e _{Nz}	0.0	mm	σ _{x,f,Rd}	35.50	kN/cm ²	η _w	0.43		
W _{eff,z,min}	360.20	cm ³	η _f	0.75					
Design Formula									
$σ_{x,Ed} / σ_{x,Rd} = 0.75 \leq 1 \quad (6.43)$									
0.000	KV38	0.62	≤ 1	1003)	Tlaková sila prekračuje pružnú kritickú silu pre vybočenie skrútením N _{cr,T}				
Návrhové vnútorné sily									
N _{Ed}	498.36	kN	V _{z,Ed}	-19.47	kN	M _{y,Ed}	88.34	kNm	
V _{y,Ed}	-0.18	kN	T _{Ed}	0.02	kNm	M _{z,Ed}	-0.95	kNm	
Posúdenie									
h	384.0	mm	Φ _{LT}	0.632		k _{yy}	1.000		
b	300.0	mm	χ _{LT}	0.931		k _{yz}	1.000		
h/b	1.28		k _c	1.000		k _{zy}	1.000		
K _{P,LT}	c		f	1.000		k _{zz}	1.000		
α _{LT}	0.490		χ _{LT,mod}	0.931		M _{y,Ed}	124.02	kNm	
E	21000.00	kN/cm ²	Typ	Pevné		ΔM _{y,Ed}	0.08	kNm	
G	8100.00	kN/cm ²	Diagr M _y	1) Lineárni		W _y	1497.49	cm ³	
k _z	1.000		ψ _y	1.000		M _{y,Rk}	531.61	kNm	
k _w	1.000		C _{my}	1.000		γ _{M1}	1.100		
L	4.490	m	Typ	Pevné		η _{My}	0.28		
I _w	1868180.00	cm ⁶	Diagr M _z	1) Lineárni		M _{z,Ed}	40.27	kNm	
I _t	46.09	cm ⁴	ψ _z	1.000		ΔM _{z,Ed}	0.06	kNm	
M _{cr}	1947.62	kNm	C _{mz}	1.000		W _z	358.57	cm ³	
W _y	1497.49	cm ³	Diagr M _{y,LT}	1) Lineárni		M _{z,Rk}	127.29	kNm	
λ _{LT}	0.522		ψ _{y,LT}	1.000		η _{Mz}	0.35		
λ _{LT,0}	0.400		C _{mlT}	1.000		η ₁	0.62		
β	0.750		Dielec	Torz. měkký		η ₂	0.62		
Design Formula									
$N_{Ed} / (\chi_y N_{Rk} / \gamma_{M1}) + K_{xy} M_{y,Ed} + \Delta M_{y,Ed} / (\chi_{LT} M_{y,Rk} / \gamma_{M1}) + K_{yz} M_{z,Ed} + \Delta M_{z,Ed} / (M_{z,Rk} / \gamma_{M1}) = 0.62 \leq 1 \quad (6.61)$									
$N_{Ed} / (\chi_z N_{Rk} / \gamma_{M1}) + K_{zy} M_{y,Ed} + \Delta M_{y,Ed} / (\chi_{LT} M_{y,Rk} / \gamma_{M1}) + K_{zz} M_{z,Ed} + \Delta M_{z,Ed} / (M_{z,Rk} / \gamma_{M1}) = 0.62 \leq 1 \quad (6.62)$									
298									
Prierez č. 9 - IS 384/300/10/12/4									
6.608	KV38	0.62	≤ 1	1004)	Tlaková sila prekračuje pružnú kritickú silu pre rovinový vzper N _{cr,y}				
Návrhové vnútorné sily									
N _{Ed}	-103.97	kN	V _{z,Ed}	16.15	kN	M _{y,Ed}	52.48	kNm	
V _{y,Ed}	-1.13	kN	T _{Ed}	-0.01	kNm	M _{z,Ed}	-0.50	kNm	

■ 8.1 POSÚDENIE PRVKOV

Prút č.	Místo x [m]	ZS/SZS KZS	Posouzení	Posouzen č.	Označenie			
Posúdenie								
N _{cr,T}	2753.45	kN	b	300.0	mm	C _{mz}	1.000	
λ _T	1.178		h/b	1.28		Diagr M _{y,LT}	1) Lineárni	
KVP _z	c		KVP _{LT}	c		ψ _{y,LT}	1.000	
α _z	0.490		α _{LT}	0.490		C _{mLT}	1.000	
Φ _T	1.434		G	8100.00	kN/cm ²	Dielec	Torz. měkký	
χ _T	0.444		k _z	1.000		k _{yy}	1.016	
E	21000.00	kN/cm ²	k _w	1.000		k _{yz}	1.065	
I _y	28805.80	cm ⁴	L	8.810	m	k _{zy}	0.993	
L _{cr,y}	8.810	m	I _w	1868180.00	cm ⁶	k _{zz}	1.065	
N _{cr,y}	7691.50	kN	I _t	46.09	cm ⁴	N _{Ed}	103.97	kN
A	108.00	cm ²	M _{cr}	652.78	kNm	A _i	107.65	cm ²
f _y	35.50	kN/cm ²	W _y	1489.43	cm ³	N _{Rk}	3821.74	kN
λ _y	0.705		λ _{LT}	0.900		γ _{M1}	1.100	
KVP _y	b		λ _{LT,0}	0.400		η _{Ny}	0.04	
α _y	0.340		β	0.750		η _{Nz}	0.11	
Φ _y	0.834		Φ _{LT}	0.926		M _{y,Ed}	110.23	kNm
χ _y	0.781		χ _{LT}	0.701		ΔM _{y,Ed}	0.06	kNm
I _z	5403.00	cm ⁴	K _c	1.000		W _y	1489.43	cm ³
L _{cr,z}	8.810	m	f	1.000		M _{y,Rk}	528.75	kNm
N _{cr,z}	1442.67	kN	χ _{LT,mod}	0.701		η _{My}	0.33	
λ _z	1.628		Typ	Pevně		M _{z,Ed}	20.43	kNm
KVP _z	c		Diagr M _y	1) Lineárni		ΔM _{z,Ed}	0.02	kNm
α _z	0.490		ψ _y	1.000		W _z	354.71	cm ³
Φ _z	2.174		C _{my}	1.000		M _{z,Rk}	125.92	kNm
S _{req}	66649.20	kN	Typ	Pevně		η _{Mz}	0.18	
χ _z	0.277		Diagr M _z	1) Lineárni		η ₁	0.56	
h	384.0	mm	ψ _z	1.000		η ₂	0.62	
Design Formula								
$N_{Ed} / (\chi_y N_{Rk} / \gamma_{M1}) + k_{yy} M_{y,Ed} / (\chi_{LT} M_{y,Rk} / \gamma_{M1}) + k_{yz} M_{z,Ed} / (\chi_{LT} M_{z,Rk} / \gamma_{M1}) = 0.56 \leq 1 \quad (6.61)$								
$N_{Ed} / (\chi_z N_{Rk} / \gamma_{M1}) + k_{zy} M_{y,Ed} / (\chi_{LT} M_{y,Rk} / \gamma_{M1}) + k_{zz} M_{z,Ed} / (\chi_{LT} M_{z,Rk} / \gamma_{M1}) = 0.62 \leq 1 \quad (6.62)$								
Prierez č. 8 - IS 384/320/12/14/4								
0.000	KV31	0.80	≤ 1	226)	Posúdenie prierezu - dvojosý ohyb, šmyk, krútenie a osová sila podľa 6.2.10 a 6.2.9			
Návrhové vnútorné sily								
N _{Ed}	1393.56	kN	V _{z,Ed}	-12.68	kN	M _{y,Ed}	60.11	kNm
V _{y,Ed}	27.74	kN	T _{Ed}	0.02	kNm	M _{z,Ed}	68.92	kNm
Posúdenie								
N _{Ed}	1393.56	kN	σ _{x,f,Ed}	28.22	kN/cm ²	σ _{x,My,w,Ed}	3.04	kNm/cm ²
A	132.32	cm ²	V _{y,Ed}	27.74	kN	σ _{x,Mz,w,Ed}	0.00	kNm/cm ²
σ _{x,N,Ed}	10.53	kN/cm ²	A _{v,y}	89.60	cm ²	σ _{x,w,Ed}	13.57	kNm/cm ²
M _{y,Ed}	60.11	kNm	f _y	35.50	kN/cm ²	V _{z,Ed}	12.68	kN
W _{el,y}	1832.92	cm ³	γ _{M0}	1.000		A _{v,z}	51.26	cm ²
σ _{x,My,f,Ed}	3.28	kN/cm ²	V _{pl,y,Rd}	1836.44	kN	V _{pl,z,Rd}	1050.70	kNm
M _{z,Ed}	68.92	kNm	V _y	0.015		V _z	0.012	
W _{el,z}	478.19	cm ³	σ _{x,f,Rd}	35.50	kN/cm ²	σ _{x,w,Rd}	35.50	kNm/cm ²
σ _{x,Mz,f,Ed}	14.41	kN/cm ²	η _f	0.80		η _w	0.38	
Design Formula								
$\sigma_{x,Ed} / \sigma_{x,Rd} = 0.80 \leq 1 \quad (6.42)$								
0.000	KV40	0.67	≤ 1	1003)	Tlaková sila prekračuje pružnú kritickú silu pre vybočenie skrušením N _{cr,T}			
Návrhové vnútorné sily								
N _{Ed}	1397.80	kN	V _{z,Ed}	-12.34	kN	M _{y,Ed}	57.61	kNm
V _{y,Ed}	27.85	kN	T _{Ed}	0.02	kNm	M _{z,Ed}	69.13	kNm
Posúdenie								
h	384.0	mm	Φ _{LT}	0.605		k _{yy}	1.000	
b	320.0	mm	χ _{LT}	0.956		k _{yz}	1.000	
h/b	1.20		K _c	1.000		k _{zy}	1.000	
KVP _{LT}	c		f	1.000		k _{zz}	1.000	
α _{LT}	0.490		χ _{LT,mod}	0.956		M _{y,Ed}	115.16	kNm
E	21000.00	kN/cm ²	Typ	Pevně		W _y	1832.92	cm ³
G	8100.00	kN/cm ²	Diagr M _y	1) Lineárni		M _{y,Rk}	650.69	kNm
k _z	1.000		ψ _y	1.000		γ _{M1}	1.100	
k _w	1.000		C _{my}	1.000		η _{My}	0.20	
L	4.490	m	Typ	Pevně		M _{z,Ed}	71.50	kNm
I _w	2616800.00	cm ⁶	Diagr M _z	1) Lineárni		W _z	478.19	cm ³
I _t	78.24	cm ⁴	ψ _z	1.000		M _{z,Rk}	169.76	kNm
M _{cr}	2841.08	kNm	C _{mz}	1.000		η _{Mz}	0.46	
W _y	1832.92	cm ³	Diagr M _{y,LT}	1) Lineárni		η ₁	0.67	
λ _{LT}	0.479		ψ _{y,LT}	1.000		η ₂	0.67	
λ _{LT,0}	0.400		C _{mLT}	1.000				
β	0.750		Dielec	Torz. měkký				
Design Formula								
$N_{Ed} / (\chi_z N_{Rk} / \gamma_{M1}) + k_{zy} M_{y,Ed} / (\chi_{LT} M_{y,Rk} / \gamma_{M1}) + k_{zz} M_{z,Ed} / (\chi_{LT} M_{z,Rk} / \gamma_{M1}) = 0.67 \leq 1 \quad (6.61)$								
$N_{Ed} / (\chi_x N_{Rk} / \gamma_{M1}) + k_{xz} M_{y,Ed} / (\chi_{LT} M_{y,Rk} / \gamma_{M1}) + k_{zx} M_{z,Ed} / (\chi_{LT} M_{z,Rk} / \gamma_{M1}) = 0.67 \leq 1 \quad (6.62)$								
4.490	KV31	0.66	≤ 1	1004)	Tlaková sila prekračuje pružnú kritickú silu pre rovinový vzper N _{cr,y}			
Návrhové vnútorné sily								
N _{Ed}	921.10	kN	V _{z,Ed}	-6.86	kN	M _{y,Ed}	-1.37	kNm
V _{y,Ed}	16.95	kN	T _{Ed}	0.01	kNm	M _{z,Ed}	-33.49	kNm
Posúdenie								
N _{cr,T}	10265.70	kN	χ _z	0.679		C _{my}	1.000	
λ _T	0.676		h	384.0	mm	Typ	Pevně	
KVP _z	c		b	320.0	mm	Diagr M _z	1) Lineárni	

■ 8.1 POSÚDENIE PRVKOV

Prút č.	Místo x [m]	ZS/SZS KZS	Posouzení	Posouzen č.		Označenie	
α_z	0.490		h/b	1.20	ψ_z	1.000	
Φ_T	0.846	KVP _{LT}	c		C_{mz}	1.000	
χ_T	0.739	α_{LT}	0.490		Diagr M _{y,LT}	1) Lineárni	
E	21000.00	kN/cm ²	G	8100.00	kN/cm ²		
I_y	35192.00	cm ⁴	k_z	1.000	$\psi_{y,LT}$	1.000	
$L_{cr,y}$	4.490	m	k_w	1.000	$C_{m,LT}$	1.000	
$N_{cr,y}$	36178.30	kN	L	4.490	m	Dielec	
A	132.32	cm ²	I_w	2616800.00	cm ⁶	Torz. měkký	
f_y	35.50	kN/cm ²	I_t	78.24	cm ⁴		
λ_{-y}	0.360		M _{cr}	2920.70	kNm		
KVP _y	b		W _y	1832.92	cm ³		
α_y	0.340		λ_{-LT}	0.472			
Φ_y	0.592		$\lambda_{-LT,0}$	0.400	γ_M1	1.100	
χ_y	0.942		β	0.750	M _{y,Ed}	115.16 kNm	
I_z	7650.99	cm ⁴	Φ_{LT}	0.601	W _y	1832.92 cm ³	
$L_{cr,z}$	4.490	m	χ_{LT}	0.960	M _{y,Rk}	650.69 kNm	
$N_{cr,z}$	7865.42	kN	k_c	1.000	η_{My}	0.20	
λ_{-z}	0.773		f	1.000	M _{z,Ed}	71.30 kNm	
KVP _z	c		$\chi_{LT,mod}$	0.960	W _z	478.19 cm ³	
α_z	0.490		Typ	Pevné	M _{z,Rk}	169.76 kNm	
Φ_z	0.939		Diagr M _y	1) Lineárni	η_{Mz}	0.46	
S _{t,req}	295434.00	kN	ψ_y	1.000	η_1	0.66	
					η_2	0.66	
Design Formula							
$N_{Ed} / (\chi_z N_{Rk} / \gamma_{M1}) + K_{yz} M_{y,Ed} / (\chi_{LT} M_{y,Rk} / \gamma_{M1}) + K_{yz} M_{z,Ed} / (M_{z,Rk} / \gamma_{M1}) = 0.66 \leq 1 \quad (6.61)$							
$N_{Ed} / (\chi_z N_{Rk} / \gamma_{M1}) + K_{zy} M_{y,Ed} / (\chi_{LT} M_{y,Rk} / \gamma_{M1}) + K_{zz} M_{z,Ed} / (M_{z,Rk} / \gamma_{M1}) = 0.66 \leq 1 \quad (6.62)$							
314	Prierez č. 7 - Uzavrené(B) 500/26/24/400/400/26/25/5						
	4.632	KV40	0.87	≤ 1	1005	Tlaková sila prekračuje pružnú kritickú sílu pre rovinný vzper N _{cr,z}	
Návrhové vnútorné sily							
N _{Ed}	-6820.50	kN	V _{z,Ed}	-1.05	kN	M _{y,Ed}	-50.52 kNm
V _{y,Ed}	0.17	kN	T _{Ed}	13.68	kNm	M _{z,Ed}	33.93 kNm
Posúdenie							
M _{z,Ed}	33.93	kNm	$\alpha_{cr,op}$	2.752		$\chi_{op,z}$	0.626
M _{pl,z,Rd}	2297.14	kNm	λ_{op}	0.858		χ_{op}	0.626
$\eta_{Mz,limit}$	0.333		KVP _z	c		γ_M1	1.100
η_{Mz}	0.028		α_z	0.490		η	0.87
$\eta_{ult,k,max}$	0.493		$\Phi_{op,z}$	1.030			
$\alpha_{ult,k}$	2.028		S _{t,req}	50949800.00	kN		
Design Formula							
$\gamma_{M1} / (\chi_{op} \alpha_{ult,k}) = 0.87 \leq 1 \quad (6.63)$							
321	Prierez č. 1 - Uzavrené(B) 500/30/30/450/400/25/25/6						
	6.948	KV40	0.88	≤ 1	1005	Tlaková sila prekračuje pružnú kritickú sílu pre rovinný vzper N _{cr,z}	
Návrhové vnútorné sily							
N _{Ed}	-8738.83	kN	V _{z,Ed}	-0.58	kN	M _{y,Ed}	-74.86 kNm
V _{y,Ed}	-4.61	kN	T _{Ed}	33.37	kNm	M _{z,Ed}	13.41 kNm
Posúdenie							
M _{z,Ed}	13.41	kNm	$\alpha_{cr,op}$	2.846		$\chi_{op,z}$	0.649
M _{pl,z,Rd}	2944.02	kNm	λ_{op}	0.820		χ_{op}	0.649
$\eta_{Mz,limit}$	0.333		KVP _z	c		γ_M1	1.100
η_{Mz}	0.027		α_z	0.490		η	0.88
$\eta_{ult,k,max}$	0.522		$\Phi_{op,z}$	0.988			
$\alpha_{ult,k}$	1.915		S _{t,req}	57220400.00	kN		
Design Formula							
$\gamma_{M1} / (\chi_{op} \alpha_{ult,k}) = 0.88 \leq 1 \quad (6.63)$							
326	Prierez č. 10 - IS 150/130/8/10/3 ... 5 - IS 300/200/11/12/5						
	0.000	KV41	0.68	≤ 1	1005	Tlaková sila prekračuje pružnú kritickú sílu pre rovinný vzper N _{cr,z}	
Návrhové vnútorné sily							
N _{Ed}	-13.55	kN	V _{z,Ed}	-52.51	kN	M _{y,Ed}	-39.92 kNm
V _{y,Ed}	-1.53	kN	T _{Ed}	0.00	kNm	M _{z,Ed}	-2.30 kNm
Posúdenie							
M _{z,Ed}	-2.30	kNm	α_z	0.490		$\lambda_{LT,0}$	0.400
M _{pl,z,Rd}	30.74	kNm	$\Phi_{op,z}$	0.670		β	0.750
$\eta_{Mz,limit}$	0.333		S _{t,req}	5181400.00	kN	$\Phi_{op,LT}$	0.595
η_{Mz}	0.075		$\chi_{op,z}$	0.865		$\chi_{op,LT}$	0.966
$\eta_{ult,k,max}$	0.532		h	150.0	mm	χ_{op}	0.865
$\alpha_{ult,k}$	1.881		b	130.0	mm	γ_M1	1.100
$\alpha_{cr,op}$	8.860		h/b	1.15		η	0.68
λ_{op}	0.461		KVP _{LT}	c			
KVP _z	c		α_{LT}	0.490			
Design Formula							
$\gamma_{M1} / (\chi_{op} \alpha_{ult,k}) = 0.68 \leq 1 \quad (6.63)$							

9 MSP – Medzný stav použiteľnosti

9.1 Priehyb štandardného priečniku

Priehyb od stáleho zaťaženie v priebehu montáže	$w^g = 31 \text{ mm}$
Priehyb od ostatného stáleho zaťaženia (za plnej tuhosti)	$w^{g1} = 4,8 \text{ mm}$
Priehyb od náhodného zaťaženia	$w^q = 9,2 \text{ mm}$
Hodnota nadvýšenia	$w^+ = w^g + 0,25w^q = 38,1 \text{ mm}$
Limitná hodnota priehybu priečnik	$w^{\max} = L/300 = 8,9/300 = 29,6 \text{ mm}$ $> w^q = 9,2 \text{ mm}$ Vyhovuje

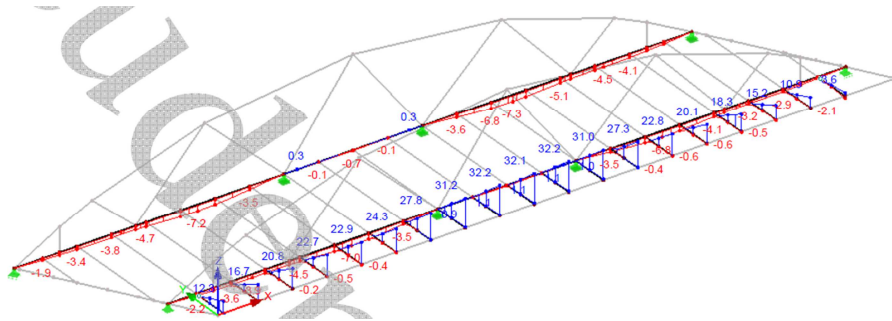
9.2 Priehyb hlavných nosníkov

Priehyb od stáleho zaťaženie v priebehu montáže	$w^g = 10,9 \text{ mm}$
Priehyb od ostatného stáleho zaťaženia (za plnej tuhosti)	$w^{g1} = 20,5 \text{ mm}$
Priehyb od náhodného zaťaženia	$w^q = 30,4 \text{ mm}$
Hodnota nadvýšenia	$w^+ = w^g + 0,25w^q = 38,25 \text{ mm}$
Limitná hodnota priehybu pre kombinované mosty	$w^{\max} = L/600 = 52,5/600 = 87 \text{ mm}$ $> w^q = 30,4 \text{ mm}$ Vyhovuje

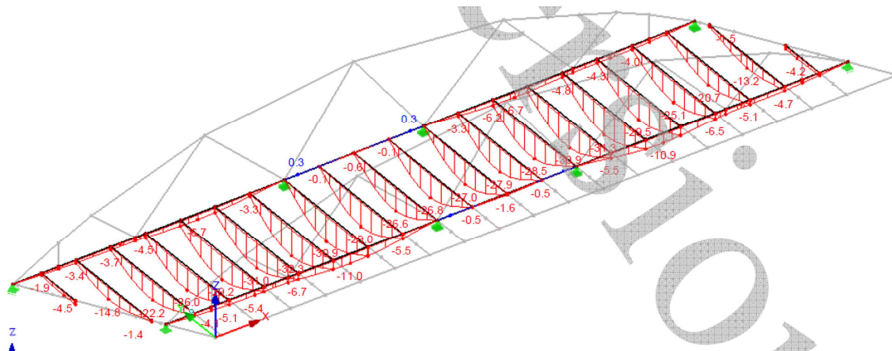
9.3 Priehyb chodníkovej konzoly

Priehyb od stáleho zaťaženie v priebehu montáže	$w^g = +32,2 \text{ mm}$
Priehyb od ostatného stáleho zaťaženia (za plnej tuhosti)	$w^{g1} = -17 \text{ mm}$
Priehyb od náhodného zaťaženia	$w^q = -9,8 \text{ mm}$
Hodnota nadvýšenia	$w^+ = w^g + 0,25w^q = 0 \text{ mm}$
Limitná hodnota priehybu priečnik	$w^{\max} = L/300 = 3000/300 = 10 \text{ mm}$ $> w^q = 9,8 \text{ mm}$ Vyhovuje

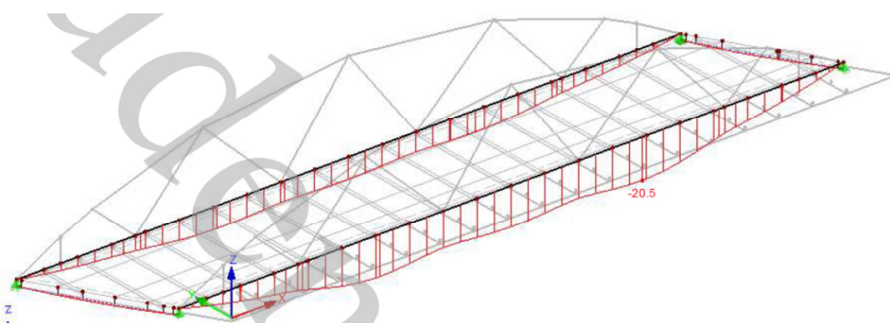
Statický výpočet Víťazný variant



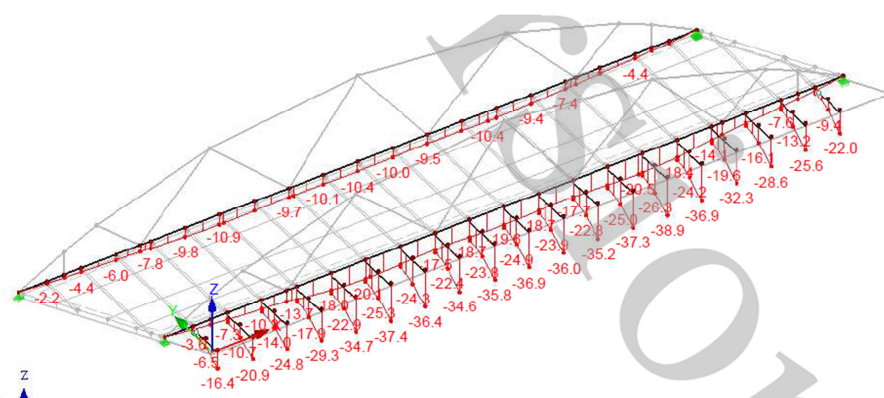
Obr. 5.1 – Vertikálna deformácia konzoly počas výstavby betónovej dosky v hlavnom poli



Obr. 5.2 – Vertikálna deformácia priečniku a dolného pásu počas výstavby betónovej dosky v hlavnom poli



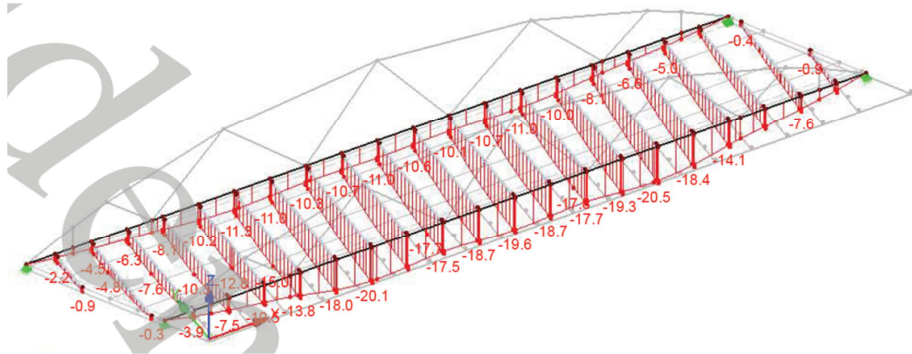
Obr. 5.3 – Ostatné stále zaťaženie + betónová doska na konzolách – priehyb dolného pásu



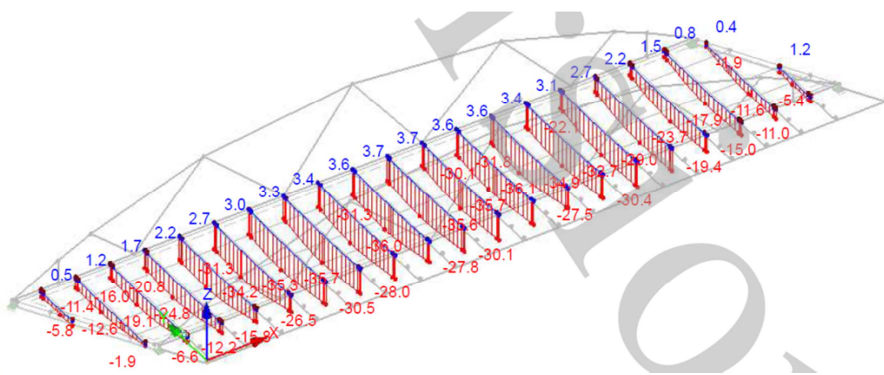
Obr. 5.4 – Ostatné stále zaťaženie – priehyb chodníkovej konzoly

Statický výpočet

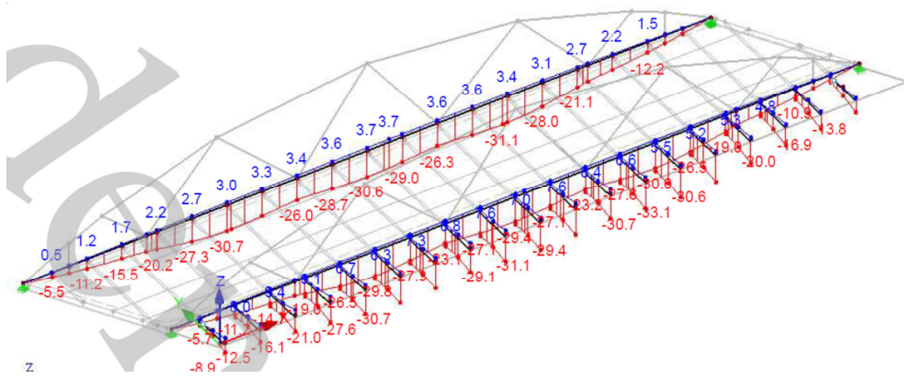
Vítazný variant



Obr. 5.5 – Deformácia štandardného priečniku od ostatného stáleho zaťaženia



Obr. 5.6 – Deformácia štandardného priečniku od náhodného zaťaženia



Obr. 5.7 – Deformácia dolného pásu a chodníkovej konzoly od náhodného zatíženia

10 Stabilita horného pásu

K výpočtu vzperných dĺžok som využil výpočtový program RFEM. Pomocou stabilitej analýzy som získal pre každý horný pás 2 stavy vybočenia. V tabuľke 10.1 sú vypísané vzperné dĺžky pre jednotlivé prúty ktoré sú súčasťou horného pásu.

Ľavý HP	L_{realne}	$L_{cr,y}$	L_{crz}	Pravý HP	L_{realne}	$L_{cr,y}$	L_{crz}
312	9,155	7,941	12,255	320	9,136	7,979	12,460
313	11,560	7,927	12,233	321	11,580	7,969	12,444
314	11,58	7,932	12,240	322	11,560	7,974	12,451
315	9,136	7,893	12,181	323	9,155	7,926	12,377
Používam pre výpočet	9 m	13 m	Používam pre výpočet	9 m	13 m		

Tab. 10.1 Vzperné dĺžky pre jednotlivé prúty

11 Dynamika

Vlastné frekvencie konštrukcie som získal dynamickou analýzou pomocou programu RFEM. Hľadal som prvú vlastnú frekvenciu pri ktorej bude kmitať celá konštrukcia.

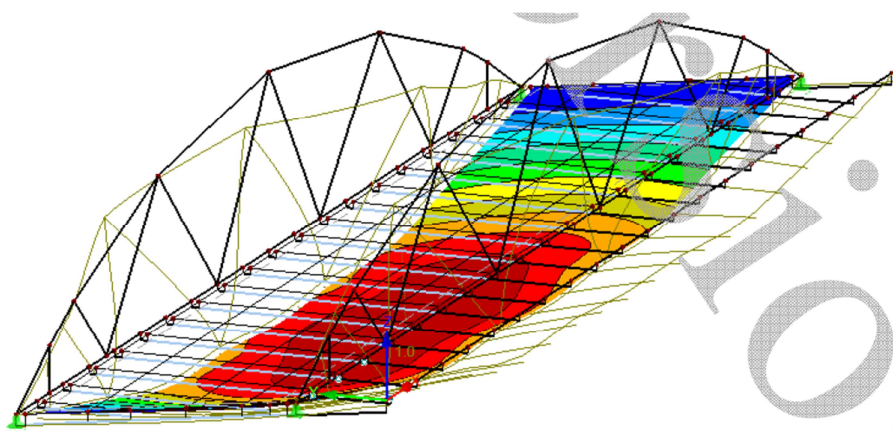
Vlastná frekvencia = 3,35 Hz

Podľa normy ČSN EN 1991-2 a obr.6.10 získam pásmo pre ktoré nie je dynamická analýza požadovaná.

$$n_{0down} = 23,58 * L^{-0,592} = 2,26 \text{ Hz}$$

$$n_{0up} = 94,76 * L^{-0,748} = 4,897 \text{ Hz}$$

Prvá vlastná frekvencia mostu je 3,35 Hz a táto frekvencia sa teda nachádza v danom pásmi a dynamická analýza nie je vyžadovaná.



Obr.11.1 – Tvar prvej vlastnej frekvencie

Statický výpočet Víťazný variant

12 Imperfekcie

Zaťažovací stav imperfekcie bol zaradený do kombinácie v ktorej je horný pás priečradoviny najviac namáhaný. Táto kombinácia (tab.12.1) bola následne spočítaná nelineárne a prvky horného pásu boli znova posúdené (tab. 12.2).

Zaťažení Výsledko	NS	Kombinácie zaťažení		č.	Faktor	Zaťažovací stav	
		Označenie					
KZ1		Nelineárny výpočet 1		1	1.15	ZS1	
				2	1.15	ZS2	Ostatné stálé
				3	0.90	ZS11	Rozdielová zložka teploty - Doska +
				4	1.13	ZS18	Vietor y
				5	1.16	ZS116	Step 44/54 Movement Sets 2 from RF-MOVE-Surfaces
				6	1.35	ZS153	Step 27/54 Movement Sets 3 from RF-MOVE-Surfaces
				7	1.35	ZS287	Step 53/54 Movement Sets 5 from RF-MOVE-Surfaces
				8	1.00	ZS348	
KZ2		Nelineárny výpočet 2		1	1.15	ZS1	Ostatné stálé
				2	1.15	ZS2	Chodník - chodci - plný
				3	0.54	ZS4	Rozdielová zložka teploty - Doska +
				4	0.90	ZS11	Vietor -y
				5	1.13	ZS17	Step 47/54 Movement Sets 2 from RF-MOVE-Surfaces
				6	1.16	ZS119	Step 31/54 Movement Sets 4 from RF-MOVE-Surfaces
				7	1.35	ZS211	Step 54/54 Movement Sets 6 from RF-MOVE-Surfaces
				8	1.35	ZS342	
				9	1.00	ZS348	

Tab.12.1 – Kombinácie pre nelineárny výpočet

■ 12. POSUDENIE - NELINEARNY VYPOCET S IMPERFEKCIAMI

Prúr. č.	Prút č.	Miesto x [m]	ZS/SZS KZS	Posouzení	Posouzení č.	Označenie
1	Uzavorené(B) 321	500/30/30/450/400/25/25/6/6 - Oblouk 6.948	KZ2	0.88	≤ 1	(1005) Tlaková sila prekračuje pružnú kritickú silu pre rovinový vzper $N_{cr,z}$ Návrhové vnútorné sily N_{Ed} -894.72 kN $V_{y,Ed}$ -16.82 kN Posúdenie $M_{z,Ed}$ 150.16 kNm $M_{pl,z,Rd}$ 2944.02 kNm $\gamma M_{z,limit}$ 0.333 γM_z 0.056 $\gamma M_{ult,k,max}$ 0.524 $\alpha_{ult,k}$ 1.907 Design Formula $\gamma M_1 / (\gamma_{op} \alpha_{ult,k}) = 0.88 \leq 1$ (6.63)
7	Uzavorené(B) 314	500/26/24/400/400/26/25/5/5 4.632	KZ1	0.87	≤ 1	(1005) Tlaková sila prekračuje pružnú kritickú silu pre rovinový vzper $N_{cr,z}$ Návrhové vnútorné sily N_{Ed} -6799.37 kN $V_{y,Ed}$ 4.01 kN Posúdenie $M_{z,Ed}$ 165.57 kNm $M_{pl,z,Rd}$ 2297.14 kNm $\gamma M_{z,limit}$ 0.333 γM_z 0.072 $\gamma M_{ult,k,max}$ 0.497 $\alpha_{ult,k}$ 2.013 Design Formula $\gamma M_1 / (\gamma_{op} \alpha_{ult,k}) = 0.87 \leq 1$ (6.63)

Tab.12.2 – Posúdenie horného pásu

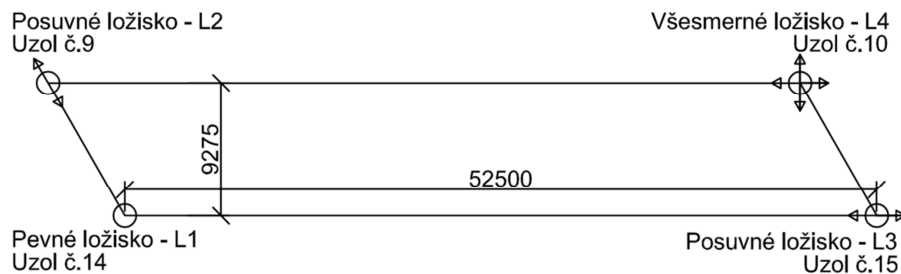
■ 13. VÝKAZ MATERIÁLU PRO PRUTY

Položka č.	Označenie priezoru	Počet Prúty	Dĺžka [m]	Cel. dĺžka [m]	Plocha [m ²]	Objem [m ³]	Mer. hmot. [kg/m]	Hmotnosť [kg]	Celk. hmot. [t]
1	3 - Uzavrené(A) 750/35/35/650/650/750/35/1 0/10	4	0.35	1.39	4.16	0.13	730.83	253.17	1.013
2	3 - Uzavrené(A) 750/35/35/650/650/750/35/1 0/10	1	0.65	0.65	1.96	0.06	730.83	477.63	0.478
3	3 - Uzavrené(A) 750/35/35/650/650/750/35/1 0/10	1	3.62	3.62	10.85	0.34	730.83	2643.96	2.644
4	3 - Uzavrené(A) 750/35/35/650/650/750/35/1 0/10	1	0.66	0.66	1.99	0.06	730.83	485.26	0.485
5	3 - Uzavrené(A) 750/35/35/650/650/750/35/1 0/10	1	2.14	2.14	6.41	0.20	730.83	1560.35	1.560
6	2 - Uzavrené(B) 420/18/18/700/360/18/50/7/7	27	2.67	72.08	168.68	2.78	302.95	808.80	21.838
7	2 - Uzavrené(B) 420/18/18/700/360/18/50/7/7	1	2.18	2.18	5.10	0.08	302.95	660.49	0.660
8	6 - U 120 Ferona - DIN 1026-1	2	3.46	6.93	3.01	0.01	13.35	46.23	0.092
9	2 - Uzavrené(B) 420/18/18/700/360/18/50/7/7	1	2.17	2.17	5.09	0.08	302.95	658.91	0.659
10	6 - U 120 Ferona - DIN 1026-1	18	2.67	48.15	20.90	0.08	13.35	35.70	0.643
11	6 - U 120 Ferona - DIN 1026-1	1	0.45	0.45	0.19	0.00	13.35	5.98	0.006
12	2 - Uzavrené(B) 420/18/18/700/360/18/50/7/7	34	0.01	0.18	0.41	0.01	302.95	1.58	0.054
13	2 - Uzavrené(B) 420/18/18/700/360/18/50/7/7	2	1.87	3.74	8.75	0.14	302.95	566.56	1.133
14	2 - Uzavrené(B) 420/18/18/700/360/18/50/7/7	2	0.80	1.60	3.74	0.06	302.95	242.25	0.484
15	2 - Uzavrené(B) 420/18/18/700/360/18/50/7/7	2	1.87	3.75	8.77	0.14	302.95	567.92	1.136
16	6 - U 120 Ferona - DIN 1026-1	1	3.90	3.90	1.69	0.01	13.35	52.07	0.052
17	4 - IU 300/200/18/14/300/24/5/6	38	0.30	11.40	17.92	0.16	113.13	33.94	1.290
18	4 - IU 300/200/18/14/300/24/5/6	1	8.11	8.11	12.75	0.12	113.13	917.41	0.917
19	4 - IU 300/200/18/14/300/24/5/6	1	3.48	3.48	5.46	0.05	113.13	393.26	0.393
20	10 - IS 150/130/8/10/3	19	1.50	28.50	22.91	0.10	28.57	42.86	0.814
21	3 - Uzavrené(A) 750/35/35/650/650/750/35/1 0/10	2	1.73	3.46	10.39	0.32	730.83	1265.85	2.532
22	2 - Uzavrené(B) 420/18/18/700/360/18/50/7/7	2	0.80	1.59	3.72	0.06	302.95	240.89	0.482
23	2 - Uzavrené(B) 420/18/18/700/360/18/50/7/7	1	2.67	2.67	6.26	0.10	302.95	810.38	0.810
24	2 - Uzavrené(B) 420/18/18/700/360/18/50/7/7	2	1.34	2.69	6.29	0.10	302.95	407.40	0.815
25	2 - Uzavrené(B) 420/18/18/700/360/18/50/7/7	2	2.17	4.34	10.15	0.17	302.95	657.33	1.315
26	2 - Uzavrené(B) 420/18/18/700/360/18/50/7/7	2	1.32	2.64	6.18	0.10	302.95	399.83	0.800
27	3 - Uzavrené(A) 750/35/35/650/650/750/35/1 0/10	1	1.62	1.62	4.85	0.15	730.83	1182.34	1.182
28	3 - Uzavrené(A) 750/35/35/650/650/750/35/1 0/10	1	0.14	0.14	0.41	0.01	730.83	98.74	0.099
29	3 - Uzavrené(A) 750/35/35/650/650/750/35/1 0/10	2	2.14	4.27	12.82	0.40	730.83	1561.23	3.122
30	3 - Uzavrené(A) 750/35/35/650/650/750/35/1 0/10	1	1.08	1.08	3.24	0.10	730.83	788.23	0.788
31	2 - Uzavrené(B) 420/18/18/700/360/18/50/7/7	1	1.35	1.35	3.16	0.05	302.95	408.98	0.409
32	7 - Uzavrené(B) 500/26/24/400/400/26/25/5/5	2	1.84	3.68	6.80	0.15	324.61	596.84	1.194
33	2 - Uzavrené(B) 420/18/18/700/360/18/50/7/7	1	1.36	1.36	3.17	0.05	302.95	410.56	0.411
34	2 - Uzavrené(B) 420/18/18/700/360/18/50/7/7	1	1.33	1.33	3.10	0.05	302.95	401.41	0.401
35	1 - Uzavrené(B) 500/30/30/450/400/25/25/6/6	2	1.84	3.68	7.17	0.18	394.07	724.55	1.449
36	2 - Uzavrené(B) 420/18/18/700/360/18/50/7/7	1	1.33	1.33	3.11	0.05	302.95	402.98	0.403
37	3 - Uzavrené(A) 750/35/35/650/650/750/35/1 0/10	1	2.40	2.40	7.19	0.22	730.83	1751.11	1.751
38	4 - IU 300/200/18/14/300/24/5/6	1	3.47	3.47	5.45	0.05	113.13	392.24	0.392
39	4 - IU 300/200/18/14/300/24/5/6	17	8.68	147.48	231.83	2.13	113.13	981.44	16.684
40	4 - IU 300/200/18/14/300/24/5/6	1	8.10	8.10	12.73	0.12	113.13	916.39	0.916
41	9 - IS 384/300/10/12/4	1	8.40	8.40	16.36	0.09	84.78	712.19	0.712
42	9 - IS 384/300/10/12/4	1	7.85	7.85	15.29	0.08	84.78	665.31	0.665
43	9 - IS 384/300/10/12/4	2	4.49	8.98	17.49	0.10	84.78	380.70	0.761
44	9 - IS 384/300/10/12/4	2	8.81	17.62	34.33	0.19	84.78	746.94	1.494
45	9 - IS 384/300/10/12/4	1	8.41	8.41	16.39	0.09	84.78	713.13	0.713
46	9 - IS 384/300/10/12/4	1	7.83	7.83	15.26	0.08	84.78	663.99	0.664
47	8 - IS 384/320/12/14/4	1	8.40	8.40	17.00	0.11	103.87	872.57	0.873

■ 13. VÝKAZ MATERIÁLU PRO PRUTY

Položka č.	Označenie prierezu	Počet Prúty	Dĺžka [m]	Cel. dĺžka [m]	Plocha [m ²]	Objem [m ³]	Mer. hmot. [kg/m]	Hmotnosť [kg]	Celk. hmot. [t]
48	8 - IS 384/320/12/14/4	1	7.85	7.85	15.88	0.10	103.87	815.14	0.815
49	8 - IS 384/320/12/14/4	2	4.49	8.98	18.18	0.12	103.87	466.41	0.933
50	8 - IS 384/320/12/14/4	2	8.81	17.62	35.66	0.23	103.87	915.14	1.830
51	8 - IS 384/320/12/14/4	1	8.41	8.41	17.02	0.11	103.87	873.72	0.874
52	8 - IS 384/320/12/14/4	1	7.83	7.83	15.85	0.10	103.87	813.49	0.813
53	7 - Uzávrené(B) 500/26/24/400/400/26/25/5/5	2	3.95	7.91	14.63	0.33	324.61	1283.37	2.567
54	7 - Uzávrené(B) 500/26/24/400/400/26/25/5/5	2	2.77	5.54	10.26	0.23	324.61	899.87	1.800
55	7 - Uzávrené(B) 500/26/24/400/400/26/25/5/5	1	9.16	9.16	16.94	0.38	324.61	2971.94	2.972
56	7 - Uzávrené(B) 500/26/24/400/400/26/25/5/5	1	11.56	11.56	21.39	0.48	324.61	3752.59	3.753
57	7 - Uzávrené(B) 500/26/24/400/400/26/25/5/5	1	11.58	11.58	21.42	0.48	324.61	3758.89	3.759
58	7 - Uzávrené(B) 500/26/24/400/400/26/25/5/5	1	9.14	9.14	16.90	0.38	324.61	2965.66	2.966
59	1 - Uzávrené(B) 500/30/30/450/400/25/25/6/6	2	3.95	7.91	15.42	0.40	394.07	1557.97	3.116
60	1 - Uzávrené(B) 500/30/30/450/400/25/25/6/6	2	2.77	5.54	10.81	0.28	394.07	1092.38	2.185
61	1 - Uzávrené(B) 500/30/30/450/400/25/25/6/6	1	9.14	9.14	17.82	0.46	394.07	3600.22	3.600
62	1 - Uzávrené(B) 500/30/30/450/400/25/25/6/6	1	11.58	11.58	22.58	0.58	394.07	4563.16	4.563
63	1 - Uzávrené(B) 500/30/30/450/400/25/25/6/6	1	11.56	11.56	22.54	0.58	394.07	4555.53	4.556
64	1 - Uzávrené(B) 500/30/30/450/400/25/25/6/6	1	9.16	9.16	17.85	0.46	394.07	3607.84	3.608
65	5 - IS 300/200/11/12/5 ... 10 - IS 150/130/8/10/3	19	1.50	28.50	31.09	0.16	45.04	67.56	1.284
Celkom		253		660.18	1133.15	15.82			124.182

14 Návrh ložísk



Tab.13.1 – Schéma ložísk

14.1 Pevné ložisko – L1 (č.14)

	R _x [kN]	R _y [kN]	R _z [kN]
Max R _x	1750	1066	3481
Max R _y	542	1493	3890
Max R _z	532	620	4631

Tab.9.1a – Maximálne reakcie – (viď. Kapitola 6.3)

u _x [mm]	u _y [mm]	u _z [mm]
0	0	0
0	0	0
0	0	0

Tab.9.1b – Maximálne posuny – (viď. Kapitola 6.3)

Návrh ložiska Reston - TF7:

Zvislá únosnosť – 11 207 kN

Horizontálna únosnosť – 1905 kN

14.2 Posuvné ložisko – L2 (č.9)

R _x [kN]	R _y [kN]	R _z [kN]
0	1745	1730
0	992	3308

Tab.9.2a – Maximálne reakcie – (viď. Kapitola 6.3)

u _x [mm]	u _y [mm]	u _z [mm]
0	5	0
0	7,3	0

Tab.9.2b – Maximálne lokálne posuny – (viď. Kapitola 6.3)

Statický výpočet
Víťazný variant

Návrh ložiska Reston – TE9i:

Zvislá únosnosť – 16 128 kN

Horizontálna únosnosť – 1775 kN

Pozdĺžny posun - +-50 mm

14.3 Posuvné ložisko – L3 (č.15)

R_x [kN]	R_y [kN]	R_z [kN]
0	440	2400
0	200	4198

Tab.9.3a – Maximálne reakcie – (viď. Kapitola 6.3)

u_x [mm]	u_y [mm]	u_z [mm]
0	9	0

Tab.9.3b – Maximálne posuny – (viď. Kapitola 6.3)

Návrh ložiska Reston – TE4a:

Zvislá únosnosť – 4 395 kN

Horizontálna únosnosť – 450 kN

Pozdĺžny posun - +-50 mm

14.4 Pevné ložisko – L4 (č.10)

R_x [kN]	R_y [kN]	R_z [kN]
0	0	3771

Tab.9.3a – Maximálne reakcie – (viď. Kapitola 6.3)

u_x [mm]	u_y [mm]	u_z [mm]
32,6	1,7	0
13,3	9,8	0

Tab.9.3b – Maximálne posuny – (viď. Kapitola 6.3)

Návrh ložiska Reston – TA4 (Mageba):

Zvislá únosnosť – 4 496 kN

Pozdĺžny posun - +-50 mm

Priečny posun - +-20 mm